Este exemplar correspondu à l'este experience de l'este de l'este de l'est de l'est

LILITO DA ADIÇÃO DE NIÓBIO NA FORMAÇÃO E ESTABILIDADE DE FILMES DE ÖXIDOS SUPERFICIAIS DE AÇOS INOXIDÂDEIS DE BÁIXO HOR DE CARBONO

SEBASTIÃO ELIAS KURI

UNIVERSIDADE ESTADUAL DE CAMPINAS
FACULDADE DE ENGENHARIA DE CAMPINAS
DEPARTAMENTO DE ENGENHARIA MECÂNICA

EFEITO DA ADIÇÃO DE NIÓBIO NA FORMAÇÃO E ESTABILIDADE DE FILMES DE ÓXIDOS SUPERFICIAIS DE AÇOS INOXIDÁVEIS DE BAIXO HOR DI CARBONO

SEBASTIÃO ULIAS KURI

Leve apresentada à Luculdade de Ingenharia da Universidade Esta dual de Campinas, para obtenção do Titulo de DOULOR EM ENGENHARIA MECÂNICA na modalidade MATERIAIS E PROCESSOS.

Orientador: Dr. Carlos V. D'Alkaine

Campinas

fevereiro/1984

UNICAMP BIBLIOTECA CENTRAL

Dedico esse trabalho à Maria, Nidia, Marilia Gabriela e Marcelo que de formas diferentes deram forças para sua execução.

Esta tese foi realizada graças a:

- Universidade Federal de São Carlos Centro de Ciências e Tecnologia - Departamento de Engenharia de Materiais;
- Projeto Nióbio através de Convênio da Fundação de Tecnologia Industrial (FTI) do Ministério da Indústria e do Comércio (MIC) e a Universidade Federal de São Carlos.
- Convênio FINEP-FNDCT nº 5.1.83.00.11.00.
- Universidade Estadual de Campinas Faculdade de Engenharia de Campinas Departamento de Engenharia Mecânica.

AGRADECIMENTOS

Agradeço ao Prof. Dr. Carlos V. D'Alkaine pela im prescindível orientação dedicada a esse trabalho, vinculada a profundos laços de amizade, que se fizeram presentes em todos os instantes.

Ao Prof. Dr. Mauricio Prates de Campos Filho pela orientação do Programa e pelas inesquecíveis discussões a regpeito da vida universitária.

Agradeço também ao Prof. Dr. Dyonisio G. Pinatti pe lo incentivo e pela discussão das idóias iniciais que deram oxigem a esse trabalho.

Aos colegas integrantes do Grupo de Metais do DEMa pelas sugestões e discussões valiosas.

A todo corpo técnico e administrativo do Departamen to de Engenharia de Materiais, sempre dispostos a colaborar com empenho e dedicação. Um agradecimento especial ao Sr. Gilberto Firmino Fragiácomo pela colaboração na operação do Forno de Indução, ao Sr. Silvio Aparecido Calciolari pelos serviços da Oficina Mecânica, ao Sr. Marco Antonio Militão de Lima Prieto pela operação do Microscópio Eletrônico de Varre dura, aos Srs. Carlos Francisco Daló e Donizetti B. Gimenez, pelos serviços junto ao Laboratório Fotográfico.

Ao Sr. Lauro Cotrim pelo excelente trabalho de dati lografia.

Ao Sr. Raimundo Garbelotti Filho pela qualidade dos desenhos.

Finalmente, agradeço a todos aqueles que de alguma forma contribuiram para a concretiração desse trabalho.

TESE DE DOUTORAMENTO APRESENTADA À FACULDADE DE ENGENHARIA DE CAMPINAS, DA UNIVERSIDADE ESTADUAL DE CAMPINAS, EM 09 DE FEVE REIRO DE 1984.

COMISSÃO JULGADORA:

(Dr. Carlos V. D'Alkaine - Orientador

Dr. Mauricio Prates de Campos Filho

Dr. Ettore Bresciani Filho

Dr. Marco Antonio Guglielmo Cecchini

Dr. Amauri Garcia

RESUMO

Neste trabalho estuda-se o efeito da adição de ele vados teores de Nióbio (até 2% em peso) na formação e estabilidade de óxidos superficiais formados sobre aços inoxidáveis de baixo teor de carbono.

Propõe-se um modelo físico de crescimento do filme de óxido superficial, admitindo-se uma distribuição de enegia livre superficial sobre um eletrodo sólido policristalino. Foi verificado o efeito do Nióbio no coeficiente de transferência de carga e na demaidade de contrate na interface metal -filme, utilizando-se o modêlo proposto.

Analisou-se o efeito do Nióbio na região de início da transpassividade em função da alteração das características semicondutoras do óxido superficial.

Em seguida à região de transpassividade ocorre uma passivação secundária e uma segunda região transpassiva que ocorre simultaneamente com evolução de oxigênio. Nesta faixa de potenciais, as transformações que ocorrem no filme de $\delta x \underline{i}$ do superficial são dependentes do potencial e da velocidade de varredura. Para baixas velocidades ($v \le 20 \text{ mV/seg}$) a taxa de transformação do filme é maior que a velocidade de variação do potencial, o que permite um rearranjo do filme para cada potencial.

O envelhecimento eletroquímico a potenciais anódicos dentro da região passiva indica que o Nióbio influencia o processo de redução do filme de óxido superficial crescido em condições potenciostáticas ou potenciodinâmicas.

ABSTRACI

The effect of high level Niobium additions (up to 2 weight per cent) in the formation and stability of superficial oxide films grown on low carbon stainless steels was studied.

A physical model is proposed to explain the oxide films growth, take into account the superficial free energy distribution on the polycrystalline solid electrode. This model allows the calculation of the charge transfer coefficient and interfacial metal-film current density and the evaluation of the Niobium effect on these parameters.

It was analysed the Niobium influence in the beginning of the transpassivity region with respect of the superficial oxide semiconductor characteristic changes.

After the transpassivity region a second passivity and a second transpassivity region occur simultaneously with exygen evolution. In these regions the superficial exide films transformations are potential and sweep velocities dependent. For low velocities (v \leqslant 20 mV/s) the film transformation rate is greater than the potential changes with allows a film rearrangement for each potential.

The electrochemical ageing in the anodic potential inside the passive region shows that the reduction process of the passivating film grown in potentiostatic or potentiodynamic conditions is affected by the Niobium content.

RELAÇÃO DE FIGURAS E TABELAS

Tabela	1.1	Composição química padrão de aços inoxidáveis c <u>o</u> merciais	3
Tabela	T.2	Composição química não padronizada de aços inox <u>i</u>	
		daveis comerciais	6
Tabela	1.3	Produção brasileira de inoxidáveis - Fonte IBS	10
Tabela	1.4	Resistência à corrosão do Nióbio metálico em <u>di</u> versos meios	13
Tabela	1.5	Prazos estimados para a exaustão das reservas atualmente conhecidas de alguns metais (11)	1.4
Figura	2.1	Efeito do Carbono na solubilidade de carbonetos em ngo 1820: 87Ni	17
Figura	2.2	Diagrama térmico Fe-Cr-Ni (14)	18
Figura	2.3	Diagrama estrutural para aços Cromo e aços Cromo- -Níquel. Diagrama de Schaeffler (17)	1.9
Figura	2.4	Efeito de elementos de liga no endurecimento por solução sólida na austenita (24)	22
Figura	2.5	Relação entre variação no parâmetro de rede devido ao soluto e o numento da tensão convencional de escoamento (25)	23
Tabela	II.1	Aumento na tensão convencional de escoamento (ton/in²) por porcentagem em peso de elemento de liga (23)	23
Tabela	11.2	Endurecimento por solução solida para o limite de resistência à tração (23)	24
Figura	2.6	Reações de transferência de carga numa interface metal-solução	27
Figura	2.7	Energias envolvidas numa reação de transferência de carga	28
Figura	2.8	Relação entre ΔG_c^{\neq} e ΔG_a^{\neq} para os casos de $E = E_e$; $E \ge E_e$ e $E \le E_c \dots$	28
Figura	2.9	Representação esquemática da variação da energia lívre padrão de ativação dos processos anódico e	
		catódico com o potencial aplicado	29

Figura 2.10	Dependência da corrente i com a sobretenção η	30
Figura 2.11	Ocupação de níveis de energia e a densidade de corrente resultante pelo efeito de tunelamento, como função da sobretensão para um sistema redox: metal inerte/sistema redox (28)	33
Figura 2.12	Ocupação de níveis de energia e densidade de corrente resultante pelo efeito do tunelamento, como função da sobretensão para um sistema semicondu tor/sistema redox (28)	34
Figura 2.13	Representação esquemática dos processos anódicos sobre um metal	35
Figura 2.14	Energia de migração de fons num filme de óxido em tunção da distância da sapertície, a) Sem - campo elétrico	39
Figura 2.15	Perfil de concentração para crescimento de filme anódico. a) Migração cátion e ânion intersticial; b) migração de cátion e vacância (75)	41
Figura 2.16	Vārias reações possíveis para um sistema - metal- -filme passivo-eletrolito (38)	42
Figura 2.17	Diagrama esquemático do potencial através de um filme passivo	4.3
Tabela 11.3	Critério de diagnóstico da redução eletroquímica de cátions em termos do coeficiente de transferên cia anódico (a_a) e catódico $(a_c)^{(40)}$	47
Figura 2.18	Condições que favorecem dissolução de estado sóli do	49
Figura 3.1	Adsorção de água sob condições: a) anódica; b) catódica (41)	52
Figura 3.2	Condições galvanostáticas para determinação de ip.	55
Figura 3.3	Densidade de corrente i _l para formação da camada passiva em função da corrente de corrosão estaci <u>o</u> nária (42)	5 5
Figura 3.4	Curvas de polarização potenciodinâmica para o Ferro a diferentes velocidades de varredura em solu ção de fosfato de potássio 0,1 M mais tetraborato de sódio 0,05 M como solução tampão para diferentes valores de pH (43)	.
	res valores de pH (57

Figura 3.5	Relação entre intensidade de pico versus v .	58
Figura 3.6	Perfil de concentração para liga Fe-3%Ti oxidado anodicamente por 1 hora a 0,60 V (SHE) em solução	
	de fosfato com pH igual a 3,0 (44)	59
Figura 3.7	Relação entre AM _{Ti} e carga elétrica para fe-3%Ti sujeito à dissolução ativa ou passivação (44)	60
Figura 3.8	Esquema de camadas de óxido (45)	62
Figura 3.9	Modêlo para estrutura de banda de camada passiva do Fe para três potenciais característicos (46)	63
Tabela III.1	Composição de filmes passivos para diferentes aços inoxidáveis (48)	66
Figura 3.10	Comparação da composição do filme passivo e do aço	67
Figura 3.11	Curvas de polarização do aço inoxidável 18-8 e dos metais Fe, Cr e Ni (70)	68
Figura 3.12	a) Espessura do filme medida por elipsometria, ca pacitancia e resistividade do filme passivo medida através de impedância da superfície passivada a 1 kHz. b) i, circuito proposto para a impedancia da superfície passiva e ii, modelo da superfície passivada, para duas condições de potenciais (49)	71
	no Fe em função do potencial de passivação obtido por ESCA, para dois tempos de crescimento do li <u>l</u> me (49)	71
Figura 3.14	Análise de AES. a) 304 passivado a 0,8 V em 5% Π_2 SO ₄ por 5 minutos; b) Idem para $316^{(50)}$	72
Figura 3.15	Curvas de polarização obtidas por voltametria c <u>í</u> clica em ácido sulfúrico à diferentes velocidades de varredura (52)	73
Figura 3.16	Perfil de concentração na superfície de um aço 18%Cr-9%Ni (54)	76
Figura 3.17	Curvas de decaimento de corrente para líga amorfa Fe-10% at Cr-13% at P-7% at C e aço 304 após ce <u>s</u> sação da abrasão durante polarização à 300 mV (SCE)	80

Figura	3.18	Relação entre log i_a versus o inverso da espessura da camada de óxido $(\frac{1}{L})$ a AE constante (60)	83
Figura	3,19	a) Energia eletrocapilar para formação de um poro num filme fino de óxido superficial em função do raio do poro e do potencial de eletrodo, para distintos potencial de eletrodo. b) Energia para nucleação de um filme superficial sobre um eletro do, para um dado potencial de eletrodo (61)	86
Figura	3.20	a) Energia de ativação para a formação de um poro em função do potencial de eletrodo, para duas di ferentes tensões superficiais da interface metal/ eletrolito. b) Barreira de ativação para nuclea ção de um filme de óxido subre um metal em função do potencial de eletrodo ((t))	67
Figura	3,21	Diagrama esquemático dos niveis de energia de eléctrons, distribuição de potencial, diferença de potencial na interface tilme-eletrólito e velocida de de dissolução de um filme fino de óxido este quiométrico (61)	89
Figura	3,22	Curvas de polarização anódica do Fe e Ni em $\rm H_2SO_4$ e a estrutura da banda de energia do elétron — do filme passivo no potencial $\rm E_{\rm bp}$. $\rm E_{\rm TR}$ é — potencial de transpassivação $\rm (61)$	90
Figura	4.1	Esquema do cadinho usado nas fusões dos aços ino xidáveis	92
Figura	4.2	Esquema da câmara de fusão do forno de indução à vacuo	93
Figura	4.3	Parte interna da câmara com detalhamento da unida de de fusão	94
Figura	4.4	Vista geral do forno de indução à vácuo	94
Tabela	IV.1	Composição do aço 1005 usado como carga base	95
Figura	4.5	Etapas de preparação dos corpos de prova	98
Figura	4.6	Macroestrutura do lingote fundido. 'Famanho natu	99
Figura	4.7	Dimensões dos corpos de prova proporcionais para o ensaio de tração, segundo norma ABNT-MB-4, modificado em relação ao seu comprimento útil	102

Figura 4.8	Fotografia mostrando acoplamento dos corpos de	
	prova na Maquina Instron modelo 1127	103
Figura 4.9	Curva típica força x elongação	105
Figura 4.10	Esquema da montagem utilizada nos ensaios de pol <u>a</u>	
	rização	1.07
Figura 4.11	Sistema eletroquímico PAR, modelo 370	108
Figura 4.12	Cela de polarização	1.09
Figura 4.13	Montagem esquemática do eletrodo de trabalho	1.1.0
Tabela V.)	Composição química dos aços inoxidáveis	112
Figura 5.1	Posicionamento doa aços A (), B (0), C (X) e	
	D (Λ), no diagrama de Schaeffler para aços inoxi	113
Figura 5.2	Análise dos aços B, C e D com relação à solubili	
	dade do carboneto de Nióbio e sua razão estequi <u>o</u> métrica, segundo Keown (63)	115
Figura 5.3	Microestruturas das amostras AL, BL, CL e DL	116
Figura 5.4	Microestruturas das amostras ALIIOO, ALI2OO e	118
Figura 5.5	Microestruturas das amostras BLITOO, BLI200 e	119
Figura 5.6	Microestruturas das amostras CL1100, CL1200 o	120
Figura 5.7	Microestruturas das amostras DEL100, DE1200 e	121
Figura 5.8	Variação da tensão de escoamento (σ _e) em função da temperatura de solubilização	1.23
Figura 5.9	Variação da tensão de escoamento (o e em função do teor de Nióbio	124
Figura 5.10	Porcentagem de redução em área na fratura versus temperatura de solubilização	126
Figura 5.11	Porcentagem de redução em área na fratura versus teor de Nióbio	127
Figura 5.12	Tensão máxima de resistência em função da tempera	128

Figura 5.13	Tensão máxima de resistência versus teor de Ni <u>ó</u> bio	129
Figura 5.14	Varinção da tensão de ruptura em função da temperatura de solubilização	1.30
Figura 5.15	Variação da tensão de ruptura em função da porce <u>n</u> tagem de Nióbio	131
Figura 5.16	Fratografia das amostras AL1100; BL1100; CL1100 e	133
Figura 5.17	Fratografía das amostras ALI200; BLI200; CLI200 e	1.34
Figura 5.18	Fratografía das amostras ALI300; BLI300; CLI300 e	135
Figura 5.19	Carva de potarização, obtida por voltametria - ej elica para amostras ALI300 e DLI300	1.39
Figura 5.20	Corrente erítica de passivação (i _c) em função do teor de Níobio para diferentes temperaturas de s <u>o</u> lubilização	L40
Figura 5.21	Curvas de polarização ponto a ponto das amostras AL1100, CL1100 e DL1100 em $\rm H_2SO_4$ - 2N	141
Figura 5.22	Curvas de polarização ponto a ponto das amostras ALE300, CL1300 e DL1300 em H ₂ SO ₄ - 2N	142
Figura 5.23	Varredura no sentido catódico para amostras ALI300 e DLI300 após varredura anódica, em $\rm H_2SO_{\chi}=2K$	144
Figura 5.24	Varredura catódica, após varredura anódica segui da de envelhecimento efetroquímico por 30 minutos	
Figura 5.25	Varredura catódica em Na ₂ CO ₃ = 0,2 M, após varre	145
Figura 5.26	Varredura catódica em Na ₂ CO ₃ 0,2 M, após varredura anódica e 30 minutos de envelhecimento eletro	1.47
Figura 5.27	Curvas voltamétricas no sentido catódico, a par	148
Figura 5.28	tir de diferentes valores de E , atingido na varredura anódica anterior para ALL300	149
		151

Figura	5.29	Relação i _{pal} versus v para amostras AL1300, CL1300	1 52
		e DL1300	132
Figura	5.30	Relação E _{pal} versus log v para as amostras ALI300,	153
		CLI 300 e DL 1300	133
Figura	5.31	Relação q_{a_1} versus $v^{-1/2}$ para as amostras AL1300, CL1300 e DL 1300	154
Figura	5.32	Voltametria no sentido anódico em Tunção da velo	
		cidade de varredura para o pico a ₂ da — amostra	
		AL1300	156
Figura	5.33	Voltametria no sentido catódico em função da velo	
		cidade de varredura para o pico a ₂ da — amostra —	
		AL1300	157
Figura	5.34	Relação $i\rho_{a2}$ versus v $^{1/2}$	158
Pigura	5.35	Refação (_{Pa2} versus v ^{1/2}	159
Figura	6.1	Resumo esquemático dos picos que aparecem has cur	
		vas de polarização	164
Figora	6.2	Anisotropia do módulo de Young para monocristais	
		de Fe-3%Si ⁽⁹⁴⁾	1.67
Tabela	VI.I	Módulo de clasticidade de alguns metais (94)	168
Figura	6.3	Representação esquemática da distribuição de ener	
		gia livre superficial num eletrodo sólido — polj	
		cristalino	169
Figura	6.4	Modelo de erescimento do filme de passivação, en	
		quanto estiver controlado na interface metal/fil	
		me	171
Figura	6.5	Representação esquemática do pico a 1	173
Figura	6.6	Representação esquemática das correntes correspon	
		dentes ao pico a_{1} em função das correntes i_{1} e i_{2} .	175
Figura	6.7	Modelo físico do crescimento de óxido superficial	
		sobre um eletrodo sólido de aço inoxidável	177
Figura	6.8	Redução do gradiente de potencial devido ao cre <u>s</u>	
		cimento do óxido e a um ϕ constante	185
Figura		Relação i versus v ⁽¹⁻ⁿ⁾	190
Figura	6.10	Relação (n (i _p -i _{lp} 0 _{lp}) versus u v	19 L

--- --

Tabela VI.2	Valores numéricos para (1-n), $i_{1p} l_p$, $K_1 e^{-\alpha}_{M/f}$ para as amostras AL1300, CL1300 e DL1300	192
Figura 6.11	Relação E versus ℓn ($i_p - i_{1p} \theta_{1p}$)	1.93
Tabela VI.3	Relação de $\alpha_{\text{M/f}}$ e $\alpha_{\text{M/f}}$ em função do teor de Ni $\overline{0}$	192
Figura 6.12	Representação da curva experimental e dos valores de i_2 , $i_2\theta_2$, i_1 e $(i_1\theta_1+i_d)$, para ALE300 a velocidade de varredura de 10 mV/seg	1.95
Figura 6.13	Representação da curva experimental e dos valores de i_2 , $i_2\theta_2$, i_1 e $(i_1\theta_1 + i_d)$, para Ch1300 a velocidade de varredura de 10 mV/seg	196
Figura 6.14	Representação da curva especimental e dos valores de i_2 , $i_2^{(i)}{}_2$, i_4 e $(i_1^{(i)}{}_1)(i_d)$, para NLI300 a velocidade de varredura de 10 mV/seg	197
Figura 6.15	Representação de curva experimental e dos valores de i_2 , i_2^{0} , i_1 , $(i_1^{0}1^{+i}d)$, para AL1300 a velocidade de varredura de 100 mV/seg	198
Figura 6.16	Representação da curva experimental e dos valores de i_2 , $i_2^0 i_2$, i_1 , $(i_1^0 i_4)$, para CLI300 a velocidade de varredura de 100 mV/seg	199
Figura 6.17	Representação da curva experimental e dos valores de i_2 , $i_2\theta_2$, i_1 e $(i_1\theta_1+i_d)$, para DLI300 a velocidade de varredura de 100 mV/seg	200
Tabela VI-4	Valores de i $\frac{1}{1p}$ $\frac{0}{tp}$ para diferentes velocidades de varredura	204
Figura 6.18	Variação de i ₁ com a velocidade de varredura para ALE300	202
Figura 6.19	Reta de Tafel da reação de evolução de hidrogênio para os diferentes aços	203
Figura 6.20	Ataque da ferrita delta na amostra DL1300 e reve lação de grão na amostra AL1300	205
Figura 6.21	Efeito da varredura e da interrupção da varredura na corrente do pico a ₉ , para o aço AL1300	207
Figura 6.22	Relação (n i versus E no início da l ^a transpassi vidade para AL1300 e velocidades de varredura me nores on ignais a 20 mV/s	209

Figura 6.23	Concentração de Ferro, Cromo e Níquel em função do tempo num ensaio de perda de massa da amostra AL1300, na região da la transpassividade	210
Figura 6.24	Concentração de Ferro, Cromo e Níquel em Função do tempo num ensaio de perda de massa da amostra AL4300, na região da 2ª passividade	211
Figura 6.25	Concentração de Ferro, Cromo e Níquel em função do tempo num ensaio de perda de massa da amostra Al-1300 na região da $2^{\frac{a}{2}}$ transpassividade	212
Tabela VI.5	Dissolução do aço All300 a diferentes potenciais. Análise por espectrometria de absorção atômica	208
Figura 6.26	Oxidos superficiais formados por envelhecimento eletroquímico dentro da região da l ^a transpassivi dade (E = 1120 mV)	214
Figura 6.27	Öxidos superficiais formados por envelhecimento efetroquímico dentro da região da $2^{\frac{R}{m}}$ passividade (E = 1430 mV)	215
Figura 6.28	Oxidos superficiais formados por envelhecímento eletroquímico dentro da região da 2ª transpassividade (E 1/20 mV)	216
Figura 6.29	Carga do pico c_1 (q_{c_1}) e carga do pico c_2 (q_{c_2}) versus E_{\max}	218
Figura 6.30	Diagrama esquemático do comportamento do poten cial através do filme passivo (38)	219
Figura 6.31	Representação esquemática de um semicondutor par cialmente degenerado através de modelo de bandas (61)	221
Figura 6.32	Potencial do pico c $_1$ em função do E $_{\max}$	222
Figura 6.33	Carga do pico c_1 (q_{c_1}) versus ℓn v	222

INDICE

AGRADECIMENTOS	i
COMISSÃO EXAMINADORA	i i
RESUMO	iii
ABSTRACT	iv
LISTA DE FIGURAS E TABELAS	V
1- ASPECTOS GERAIS E RELEVÂNCIA DESTE TRABALHO	1
1.1- Aspectos do desenvolvimento tecnológico dos aços inoxidáveis	1
1.2- Produção de aços inoxidáveis no Brasil	10
1.3- O Nióbio como elemento de ligas nos aços inoxid $\tilde{\underline{a}}$ veis	10
1.4- Resistência à corrosão do Nióbio metálico	12
	⊥ ∠
1.5- Perspectivas quanto ao formecimento de matérias primas na indústria dos aços inoxidáveis	1.2
1.6- Relevância e objetivo deste trabalho	14
2- PUNDAMENTOS TEÓRICOS	16
2.1- Introdução	16
2.2- Aspectos da metalurgia física dos aços inoxid $\underline{\tilde{a}}$ veis austeníticos	20
2.3- Reações de transferência de carga numa interface metal/solução	26
2.4- Passividade de metais	32 36 36 37 43
3- REVISÃO BIBLIOGRÁFICA	50
3.1- Passivação do Ferro	50
3.2- Modelos de filmes passivos semicondutores	61
3.3- Caracterização de filmes de óxidos superficiais sobre aços austeníticos	65
•	

	3.4-	Filmes de óxidos superficiais com estrutura amor	
		fa	78
	3.5-	Ruptura anódica de filmes passivos	81
4	EQUI	PAMENTOS, MATERIAIS E PROCEDIMENTO EXPERIMENTAL .	91
	4.1-	Preparação das ligas	91
		4.1.1- Fusão à vácuo	91
		4.1.2- O forno à vácuo	91
		4.1.3- Matérias primas	95
		4.1.4- Sequência de operações do forno de $ind\underline{u}$	
		ção	96
		4.1.5- Tratamento termomecânico	97
	4.2-	Ensaios Mecânicos	100
		4.2.1- Emsaio de tragão	100
	4.3-	Fratografia	104
	4.4-	Ensaios de cerrosão	104
		4.4.1- Sistemas de polarização	106
5-	RESUL	TADOS EXPERIMENTAIS	1 1.1.
	5.1-	Microestruturas	111
	5.2-	Ensaios de tração	122
	5.3-	Fratografia	132
	5.4-	Corrosão	137
6-	DISCU	ssão	160
	6.1-	Análise qualitativa da microestrutura e comporta	
	1	mento mecânico à temperatura ambiente	160
	6.2- 2	Aspectos gerais das curvas de polarização	163
	6.3- I	Desenvolvimento de um modelo quantitatívo para o	
		crescimento do filme de óxido superficial no p <u>i</u>	
	(o a ₁	166
	6.4- A	Aplicação do modelo proposto aos resultados expe	
	1	cimentais	1.88
ı	6.5- A	Análise qualitativa do pico a ₂	204
1	6.6- I	Discussão qualitativa dos picos da varredura c <u>a</u>	
			217

7-	RESUMO DAS CONCLUSÕES	223
8-	SUGESTÕES PARA FUTUROS TRABALHOS	225
9-	BIBLIOGRAFIA	226

1- ASPECTOS GERAIS E RELEVANCIA DISIL TRABALMO

1.1- Aspectos du Desenvolvimento Tecnológico dos Aços Inoxidaveis

O início do desenvolvimento dos aços inoxidáveis ocorreu por volta de 1910 na Europa (Inglaterra e Alemanha). Na década seguinte, algumas empresas norte americanas inicia ram a produção comercial dessas ligas. Em 1920 as primeiras remessas de aços do tipo 18%Cr 9%Ni foram usadas na França nu ma leiteria e numa corvejaria. A partir daí o desenvolvimen to dos aços inoxidáveis continuou em ritmo acelerado.,

Em 1945 apareceram os aços inoxidáveis endurecidos por precipitação $^{(1)}$.

Atualmente os aços inoxidáveis podem ser divididos em quatro grandes grupos:

a) Aços inoxidáveis martensíticos: podem ser endure cidos por tratamento térmico. Este tratamento aumenta a resistência mecânica e diminui a dutilidade. São usados geralmente em condições nas quais se deseja moderada resistência à corrosão, aliada a uma alta dureza e elevada resistência mecânica.

Estes aços possuem de 12-17%Cr, 0-4%Ni, 0,1-1,0%C e eventualmente adições de Molibdênio, Vanádio, Nióbio, Alumínio e Cobre. Alguns de seus empregos típicos são a fabricação de rolamento de esferas, cutelaria, válvulas, etc.

b) Aços inoxidáveis ferríticos: possuem de 15 a 30% de Cromo baixo teor de Carbono, nenhum Níquel e freqüentemen te adições de Molibdênio, Titânio e Nióbio. São menos resistentes à corrosão do que os austeníticos, embora sejam preferidos, em algumas condições, em função de seu baixo custo. São resistentes à corrosão atmosférica, e por isso largamente utilizados em arquitetura.

c) Aços inoxidáveis austeníticos: contém de 18 a 25% de Cromo, 8 a 20% de Níquel e baixos teores de carbono. Alguns desses aços podem apresentar baixos teores de Molibdê nio ou Nióbio. São predeminantemente austraíticos em toda temperatura, podendo no entanto, apresentar alguma ferritadel ta, em função da composição e da temperatura de solubilização. Os aços inoxidáveis austeníticos são largamente utilizados em meios ácidos ou em altas temperaturas. São muito susceptí veis ã corrosão por pites em ambientes que contém cloretos.

Os aços inoxidáveis duplex (estrutura austenítica e ferrítica) têm recebido uma atenção especial, pois apresentam uma boa performance em plantas do processo "Lime Stone" de dessulfuração de gases (2).

d) Aços inoxidáveis endurecidos por precipitação: São aços que contém de 14 a 17% de Cromo, até 7% de Níquel e alguma adição de Molibdênio, Alumínio, Titânio e Cobre. São aços austeníticos à temperatura de solubilização, e à temperatura ambiente podem ser austeníticos para facilitar a conformação, ou então apresentar estrutura martensítica. São muito utilizados na indústria espacial.

A Tabela I.l apresenta a composição química de aços inoxidáveis padrões encontrados no mercado, segundo norma SAE.

O desenvolvimento da tecnología de fundição, levou

Tabela I.1- Composição química padrão de agos incuidáveis comerciais.

Austenítico
Tipo
~ ₩

	İ																													(
Outros	,25	0,25 N	32-	•				15 = 1				.10-0	0-4.0 Cm	10-01)			· 1	- !			.0-3	.75-2.5	0-3.0 Mo	2,0-3,0 Mo	,0-3,0 M	0.10	3,0 No;	0,10-	3,0-4,0 Mo
S	0	੍ਰੰ	਼	, O,	•	_ C	0.15 min	0.06	, o,	Ó	୍ଦ	, 0	, O,	, O,	, o <u>,</u>	, O,	(O		, 0	, O	, 0,		0	0.03	0,03	୍ଦ୍		0,03	'	0,03
ה,	10	\bigcirc	0	<1 (2)	()	d	() () ()	< ∤	0	11 (0)	ਂ	0	$\frac{1}{\zeta}$	+ h + (2)	- (1 - (1)	27	31	$\frac{1}{2}$	-1	8	3	3.0	\bigcirc	10 P 10 D	CU	. e		9100	:	5,55
(a) Ni(b)	,5~5,	,0-6,	,0-1,	0,8-0,	,0-10,	,0-1C,	0	,0-10,	,0-10,	,0-10,	,0-12,	,0-10,	,00-10	,0-10,5	0,5-13,	0,0-12	2,015,Ö	2,0-15,	9,0-22,	, <u>25-0</u> , 6	9,0-22,	0,0-14,	0,0-14,	0,0-14,	0,0-14	0,0-14,		10,0-14,0	t	0,0-10,0
Composition % (6,0-1	7,0-19,	6,5-18,	6,0-18,	7,0-19,	7,0-19,	17,0-19,0	7,0-19,	8,0-20,	8,0-20,	8,0-20,	8,0-20,	7,0-19	8,0-20,	7,0-19,	9,0-21,	2,0-24,	2,0-24,	4,0-26,	4,0-26,	3,0-26,	6,0-18,	6,0-18,	6,0-18,	6,0-1	6,0-18,		16,0-18,0	0	18,0-20,0
Si	1,00	•	-	•	<u>, </u>	- 1	,—î	•	•		•	•	•		•	•	•	•		e- 1	ur,	-	•	-		•		1,00		1,00
Mn	5-7,5	/,5-10	,0-15,	•	•	•	•		•		•	•	•	•	•	•	•				•	•	ь.	•	•	•		2,00	00 6	٠,
v	0,15	U, LO	7	` ٍ	~ ·	<u>_</u>	⊢ ,	٦,	90°0	, 1 1	ď.	_	o,	0,	٦,	ر پ	, ,	ر. د	ς,	<u>ر</u> (7	တ္ဖ	0,0 0,0 0,0	, i	ð,	Ď	(20,0	80.0	<u>,</u>
Tipo	201	202 206	203	301	302	3028	303	303Se	304	304H	304L 36/13	304LN	S30430	304N	305	308	309	3098	310	3108	314	316 216	STOF	310# 317-	3161	STOLN	-	Note	317	

Tabela I.1- Composição química padrão de aços in midámeis comerciais.

Austenītico (continuação)	
stenítico (continuaç	
stenīt	ação)
stenīt	(continua
	stenīt

27.1	C	Mn	S.	% CE LOCATION	Ni(b)	Leg	w	Outros
317L	0,03	2,00	1,00	18,0-20,0	11,0-15,0	0-1.0	0,03	3.0-4.0 No
321	80,0	2,00	1,00	17,0-19,0	9,0-12,0	i0	0,03	
321H	0,04-0,10	2,00	00, 5	17,0-19,0	9,0-12,0	10 1 1 0	0,03	5xXC min Ti
329	0,10	2,00	1,00	25,0-30,0	3,0-6,0	ندر ا ا	0,03	
330	90,0	2,00	0,75-1,5	17,0-20,0	34,0-37,0		0,03	. :
347	0,08	2,00	1,00	17,0-19,0	9,0-13,0	 	0,03	l0x%C min Nb-Ta(c)
347H	0,04-0,10	2,00	1,00	17,0-19,0	9,0-13,0	10 1 0	0,03	7
348	80,0	2,00	1,00	17,0-19,0	9,0-13,0	(A)	0,03	1; 10 -Ta(c
348H	0,04-0,10	2,00	1,00	17,0-19,0	9,0-13,0	0	60,03	0,2 Cu; 10x%C min Nb-Ta(c)
384	0,08	2,00	1,00	15,0-17,0	17,0-19,0	10 to	£0 , 0	• • •
Tipo F	erritico							
0.5	ő		1,00	1,5			0.03	0 10-0 3031
60	੍ਰੰ	•	1,00		•	ر ا ا	0.043	70 Para 1100
29	٦,	•	00,1	4,0-16,0	•	! 	. (-	-
30	£.—4		1,00	ō,0	•	ا • • • • • • • • • • • • • • • • • • •	0,03	
	r 1	•	1,00	6,0	:		0.15 min	0.6 Ma(c)
SUFSe	٠,	•	1,00	0,9	:	()	0,06	0.15 min Se
1 T T	0,12 0,13	1,00	1,00	16,0-18,0	:	3.0	0,03	0,75-1,25 Mo
0	Ţ	•	00,1	0,0	:	· .	0,03	0,75-1,25Mo; 5x%C min
442	0,20	1,00	1,00	\sim	:	1 ()	0	Nb-Ta(f)
·.†	•	•	•	3.0-27		. ') (C	

Tabela I.1- Composição química padrão de aços inemidáveis comerciais.

Į.

ii co
tensitico
Mar
) Tipo
ົບ

				Composição % (a				Ontros
	C	ŒM.	Si		Ni(b)	(Fi	8	
3	T	੍ਰ	_	1,5-1	•	C	0,	:
	سز	0	•	1,5-13,	:	(T)	੍ਰੰ	::
	۲,	0	•	1,5-13,	12,5-2,50	() •	ď	:
	, <u>, ,</u>	ر پ	•	2,0-14,	•		o	0,6 No(c)
Se	0,15	C.1	1,0c	2,0-14	:	્ંં	90,0	0,15 min Se
	,15 mi	Ç		2,0-14,	:		੍ਰ	•
بدتا	 	. c4	. •	2,0-14,	:	در ا پهران	լ,	o Mo
	0-0,2	1,30		-13,	0,5-1,0	1.1	Ċ,	•
	•	C)	0	5.0-17	1,25-2,50	٠,	0	
Ą	,60-0,7	, O	, C	6,0-18	:	V.	\circ	[-
B	,75-0,			6,0-18	:	1.7	0	75
140C	5-1, 2	୍ର	<u>,</u>	ុំ	:	(.)	0	,75 M
	,10 mi	ٽن	<u> </u>	4,0-6,	:	,	Ō	્ર†
Ą-	0,1	5	50-1,	,8-0,	:		0	45-0
B.	<u> </u>	9,30-08,	±0€.	,0-10	:	. !	0	9-1,1
0.1	Ĺ,	S∃	80	, 0-6,	:		Ō,	59,0-04,
~~	0,15	00.1	00.1	0,8-0,8	:		5°,0	65
	F-14	C.	C)	o,	•	1.0	o,	, 9-1,
Tipo Enc	Endurecido por Pr	recipitação						
13-8 Mo	0,05	0,10	01,0	12,25-13,25	7,5-8,5	70.60	0,008	2 N
-5 PH	0,07	00.1	00	14,6-15,5	3,5-5,5	10.0	0,03	cu; Cu;
H4 -	0,07	1,00	00 🗄	15,5-17,5	3,0-5,0	70,0	60,03	5,0 Cu;
-7 PH	60,0	1,00	€9*t	16,0-18,0	6,5-7,75	7.0	6,03	-0,4,5 5 Al
: : : ! !								

austenīti (a) Representam valores máximos; (b) Para alguns processos de confecção de tubos, o teor de Ni de certos tipos cos pode ser ligeiramente maior; (c) Opcional; (d) 0,10% max. Ta; (e) 0,75% máximo; (f) 0,70% máximo.

Tabela I.2- Composição química não padrenizada de aços inoxidáveis comerciais

l.

Austeniticos
Inoxidaveis A
Aços
ਿਲ

Designação (a)	D)	Mn	Si	Composição 7 (Cr	(5)	, p.	w	Outros
Tipo 216 (XM-17)	80,0	7,5-9,0	1,00	17,5-22,0	5,0-7,0	0,045	0,03	2,0-3,0 Mo; 0,25-
Tipo 304HN Tipo 308 Tipo 308L	0,04-0,10 0,08 0,03	2,00 2,00 2,00	1,00	18,0-20,0 19,0-21,0 19,0-21,0	8,0-10,5 10,0-12,0 10,0-12,0	0,045 0,045 0,045	0,03	0,10-0,16N
Tipo 309S Tipo 309S Cb Tipo 309Cb+Ta Tipo 312	0,0 0,0 0,0 0,0 0,15	2,00 2,00 2,00	1,00 1,00 1,00	22,0-24,0 22,0-24,0 22,0-24,0 30,0 nom	0-15 0-15 0-15 0-15 0-15	0,045 0,045 0,045 0,045	60,0 00,0 60,0 60,0	8x½C min Nb 8x½C min Nb+Ta
	0,03 0,40 0,04	2,00 1,50 1,00 2,00	1,00 1,25 0,50 1,00	18,0~20,0 19,0 nom 21,5 nom	12,0-16,0 35,0 nom 32,0 nom 14,0-16,0	0,045 0,045 0,045	0,03	4,0-5,0 Mo
904L 18-18-2(XM-15) 18-18 Plus	0,02 0,08 0,15	2,00 2,00 17,0-19,0	1,5-2,5 1,00	19,0-23,0 17,0-19,0 17,5-19,5	23,0-22,0	0,045 0,03 0,045	0,035 0,03 0,03	4,0-5,0 Mo; 1,0-2,0Cu 0,08-0,18 N 0,5-1,5 Mo; 0,5-1,5Cu;
20Cb-3	70,0	2,00	1,00	19,0-21,0	32,0-38,0	0,045	0,035	3,0 Mo;
AL6X 303 Plus X(XM-5) HNM (d) Crutemp 25(d)	0,03 0,15 0,30	2,00 2,5-4,5 3,5	0,75 1,00 0,5	20,0-22,0 17,0-19,0 18,5 25,0	23,5-25,5 7,0-10,0 9,5	0,030 0,20 0,25	0,003 0,25 min	7,0 Mo
. 1S 700	0,04	2,00	1,00	19,0-23,0	24,0-26,0	0,04	0,03	,0 Mo; 0,5 Cu; %C min Nb(e);
JS 777 Nitronic 32(d)	0,04	2,00	1,00	19,0-23,0	24,0-26,0	0,045	0,035	Mo; 1,9-

Tabela I.2- Composição química não padronizada de agos inomidâveis comerciais.

l.

<u> </u>
(continuação
Austeniticos
Inoxidáveis
a) Aços

Nitronic 40(21-6-9) 0,068 8,0-10,0 1,00 18,0-20,0 5,0-7,0 0,06 (XM-10) Nitronic 50(22-13-5) 0,06 4,0-6,0 1,00 20,5-23,5 11,5-12,5 0,06 (XM-19) Nitronic 60 Nitroni	% (b) Ni	ςς.	Outros
itronic 40(21-6-9) 0,08 8,0-10,0 1,00 18,0-20,0 5,0-7,0 0,06 itronic 50(22-13-5) 0,06 4,0-6,0 1,00 20,5-23,5 11,5-15,5 0,04	0		0,30 N
XXI-10) Itronic 50(22-13-5) 0,06	0,0-7-0,0	60,03	0,15-0,40 N
ryogenic Tenelon (XM-31) 0,12 14,5-16,0 0,3-1,0 17,0-18,0 8,0-9,5 0,045	11,5-12,5	0,03	1,5-3,0 Mo; 0,2-0,4N; 0,1-0,3Nb; 0,1-0
Aços Inoxidáveis Ferríticos Aços Inoxidáveis Ferríticos ipo 404 ipo 430Ti ipo 444(18-2) ipo 404 ipo 444(18-2) ipo 404 ipo 444(18-2) ipo 404 ipo 444(18-2) ipo 404 ipo 404 ipo 17,5-19,5 ipo 0,04 ipo 17,5-19,5 ipo 0,40 ipo 0,40 ipo 0,40 ipo 0,40 ipo 0,40 ipo 0,75 ipo 0,75 ipo 0,15 ipo 0,010 ipo 0,30 ipo 0,75 ipo	0 \$1.60 8	04 0,03	0,35 M
Agos Inoxidáveis Ferríficos ipo 404 ipo 404 ipo 404 ipo 444(18-2) ipo 6,50 ipo 6,20	5,0-6,0	06 0,03	0,35-0,50 N
404 404 404 404 404 404 404 408 430Ti 60,106 1,000 1,0			
430Ti 430Ti 444(18-2) 0,025 1,000 1,	1,25-2,00	3 °°0	
$\begin{array}{cccccccccccccccccccccccccccccccccccc$	0,75	04 0,03	5x%C min Ti(f)
(d) 0,04 0,3 1,90 18,0 0,04 ite 26-1 (XM-27) 0,01 0,40 0,40 0,40 25,0-27,5 0,50 0,02	0 00.5	6.5	51.2
(d) 0,04 0,3 1,00 17,5-19,5 0,04 ite 26-1 (XM-27) 0,01 0,40 0,40 25,0-27,5 0,50 0,02			max N; U,2+4(&C+ %N) min (Tb+Nb)
FM		:	2,0 Al
ite 26-1 (XM-27) 0,01 0,40 0,40 25,0-27,5 0,50 0,02 Ti (XM-33) 0,06 0,75 0,75 25,0-27,0 0,50 0,04 0,010 0,30 0,20 28,0-30,0 0,15 0,02 t 0,20 0,30 0,75 24,5-26,0 3,5-1,5 0,02 t 0,25 1,00 0,75 24,5-26,0 3,5-1,5 0,04 CLIRE/SC-1 0,025 1,00 0,75 25,0-27,0 1,5-3.5 0,04	:	04 0,15 min	:
Ti (XM-33) 0,06 0,75 0,75 25,0-27,0 0,50 0,04 0,02 0,02 0,02 0,015 0,02 0,02 0,02 0,02 0,02 0,02 0,02 0,75 24,5-26,0 3,5-4,5 0,04 0,02 1,00 0,75 24,5-26,0 3,5-4,5 0,04 0,02 0,75 25,0-27,0 1,5-3.5 0,04	0,50	02 0,02	0,75-1,5Mo; 0,015N;
-2 0,010 0,30 0,20 28,0-30,0 2,0-2,5 0,02 t 0,25 1,00 0,75 25,5-26,0 3,5-1,5 0,04 0,04 0,05 1,00 0,75 25,5-26,0 1,5-3,5 0,04	0 05.50 0	.04 C,02	0,75-1,5Mo; 0,04 N;
-2 0,010 0,30 0,20 28,0-30,0 0,15 0,02 0,20 28,0-30,0 0,15 0,02 0,20 28,0-30,0 2,0-2,5 0,02 0,02 0,20 1,60 0,75 24,5-26,0 3,5-4,5 0,04 0,025 1,60 0,75 25,0-27,0 1,5-3.5 0,04			
-2 0,010 0,30 0,20 28,0-30,0 2,0-1,5 0,02 t	0,15 0	010	3,5-4,2 Mo
0,25 1,60 0,75 24,5-26,0 3,5-1,5 0,0 LIRE/SC-1 0,025 1,60 0,75 25,0-27,0 1,5-3.5 0,0	2,0-2,5	0°1 67	3,5-4,7 Mo
EA/CLIRE/SC-1 0,025 1,00 0,75 25,0-27,0 1,5-3.5 0,0	3,747,6	0,0	5-4,0Mo;U,
	1,5-3,5	0,0	; oM2, E-2, nim (N%

Tabela I.2- Composição química não padrenisada de aços inoxidáveis comerciais.

c) Aços Inoxidáveis Martensíticos

Designação (a)	U	rl.	Si	Composição % (5)	77 77	Ĉŧ	တ	Outros
Tipo 410Cb (XM-30)	0,18	1,00	1,00	11,5-13,5		0,04	0,03	0,05-0,30 Nb
Tipo 410S	80,0	1,00	1,00	11,5-13,5	0,60	0,04	0,03	•
Tipo 414L	90,0	0,50	0,15	12,5-13,0	0,5 - 0,4	0,04	0,03	0,5Mo; 0,03Al
116 Flus X(XM-6)	0,15	1,5-2,5	1,00	12,0-14,0	- :	0,05	0,15 min	0,6%
d) Aços Inoxidāveis	Endurecidos	por Precipitação	1ção				ı	
AM-350 (tipo 633)	0,07-0,11	0,5-1,25	0,50	16,0-17,0	0,4	0,04	0,03	2,5-3,0Mo; 0,07-0,13N
AM-355 (Tipo 634)	0,10-0,15	0,5-1,25	0,50	15,0-16,0		70, 0	0,03	2,5-3,25Mo
A:F-363 (d)	0,04	0,15	0,05	11,0	∪ •4	•	:	0,25Ti
Custom 450 (XM-25)	0,05	1,00	1,00	14,0-16,0		0,03	0,03	1,25-1,75Cu;0,5-1,0Mo; 8x%C min Nb
Custom 455 (XY-16)	6,05	0,50	0,50	11,0-12,5	10 1 1 1 1 1 1 1 1 1 1 1 1 1 1 1 1 1 1	\$0 , 0	0,03	0,5Mo; 1,5-2,5Cu; 1,4 Ti; 0,1-0,5Nb
PE 15-7 No	60,0	1,00	1,00	1.4,0-16,0	10 10 10 10 10 10 10 10 10 10 10 10 10 1	0,04	60,03	2,0-3,0Mo;0,75-1,5Al
Aço Inox W	0,08	1,00	1,00	16,0-17,5	6,7-0,8	0,04	0,03	0,4A1; 0,4-1,2Ti
17-10 P (d)	0,07	0,75	6,0	17,0	٠ <u>٠</u>	0,28	:	
							}	

냽 9 Valores māximos; (c) 1% māximo; (d) Composição nominal; (e) 0,50% máximo; (f) 0,75% máximo; (g) 0,80 máximo; (h) 7 N (a) A representação XM nessa coluna são designações ASTM. O número entre parênteses são designações AISI obsoletas; nimo. à produção de aços inoxidáveis com extra-baixos teores de Carbono (< 0,02% C), e praticamente livres de inclusões não metá licas. Técnicas de fusão em atmosfera inerte e refusão à vácuo, tornaram possível a produção de aços inoxidáveis com teor de carbono da ordem de 0,01% em peso.

A Tabela I.2 apresenta a composição química de aços inoxidáveis não padronizados, segundo norma SAE, usados para aplicações específicas.

A produção de aços inoxidáveis tem encontrado, peridicamente, sérios problemas com o fornecimento de matérias primas. Pode-se, por exemplo, destacar a escassez de Níquel associada aos problemas increntes à 2ª Grande Guerra. Este fato provocou a busca de elementos alternativos que substituis sem o Níquel. Desenvolveram-se então os aços de alto teor de Manganês e Nitrogênio, e a adição desses elementos, embora mantivesse a estrutura austenítica, comprometia sua resistêm cia à corrosão (3).

A propriedade mais importante dos aços inoxidáveis é sua resistência à corrosão, vital para seu emprego come<u>r</u> cial. Assim, no desenvolvimento dos diferentes tipos de in<u>o</u> xidáveis, os fatores mais relevantes são:

- (a) resistência à corrosão e à oxidação;
- (b) propriedades mecânicas e físicas.

Geralmente os aços inoxidáveis necessitam ser trabalhados a quente ou a frio, a fim de se obter a geometria de sejada para uma aplicação específica. São também soldados, quando fazem parte da construção de equipamentos e instalações. Daí a importância dos aspectos de trabalhabilidade e de soldabilidade desses aços.

1.2- Produção de Aços Inoxidáveis no Brasil

Os aços inoxidáveis no Brasil, têm sido produzidos em barras, chapas e também em forma de fio. A Tabela I.3 apresenta dados estatísticos fornecidos pelo Instituto Brasileiro de Siderurgia (IBS), sobre a produção brasileira de inoxidáveis.

Tabela 1.3-	Produção	brasileira	de	inoxidáveis	- Fonte	IBS.	
		1979	(1)	m) 1980 ((Lon)	1981	

	1979 (tou)	1980 (Lon)	1981 (ton)
Barras	15.166	26.148	24.865
Chapas e Bobinas - a Quente	3.112	1.891	2,269
Chapas e Bobinas - a Frio	43,372	45.131	44.948
Fio - Máquina	2.919	3.730	4.807

A importação brasileira de aços inoxidáveis ainda ó muito significativa: o total importado somente no mês de $j\underline{u}$ nho de 1982, foi cerca de 1.537 toneladas, de acordo com o Informe Estatístico do Ministério da Indústria e Comércio (12).

1.3- O Nióbio como Elemento de Liga nos Aços Inoxidaveis

pode-se observar pela Tabela I.1 que existem no mer cado diversos tipos de aços inoxidáveis contendo Nióbio. Os aços austeníticos do tipo 347, 347H, 348 e 348H possuem um teor de Nióbio da ordem de 10 vezes o teor de Carbono (4). A presença do Nióbio tem como objetivo estabilizar o aço tornam do-o resistente à corrosão intergranular (5), fenômeno que ocorre freqüentemente em juntas de aço inoxidável soldadas. O Nióbio também é usado em aços endurecidos por precipitação,

como é o caso dos tipos 15-5 PH, 17-4 PH.

A Tabela I.2 indica que o Nióbio é bastante emprega do nas composições de aços não padronizados. É o caso do tipo 309SCb, 20Cb-3, Nitronic 50, Monit, 410Cb, Custom 450, Custom 455.

Pode-se salientar nesse caso, a importância dos aços do tipo 20Cr/25Ni/Nb, utilizados na indústria nuclear, conforme reportado por Nicholson (6).

Do ponto de vista metalúrgico, o Nióbio caracteriza -se por uma forte tendência à formação de carbonitretos com plexos, além de ser um elemento estabilizador da estrutura ferrítica.

O Brasil é o país que possui a major reserva de Ni $_{0}$ bio, correspondente a 75% das reservas mundiais $^{(7)}$. O piro cloro é o principal minério brasileiro de Ni $_{0}$ bio, cujas principais reservas se localizam no município de Araxá (MG).

Conforme publicação do Anuário Mineral Brasileiro de 1978, o Brasil forneceu 83% do minério de Nióbio consumido mundialmente (correspondente a 19.000 toneladas/ano), responsável por 1,5% da exportação mineral brasileira. Essa exportação consiste basicamente de minério concentrado e ferro nióbio baixo grau, que são produtos de baixo índice de comercia lização. Economicamente os produtos de maior peso são o Fe-Nb alto grau, Ni-Nb, óxido de nióbio e Nióbio metálico puro. A partir do momento em que o Brasil se tornar fornecedor desses produtos mais nobres, o Nióbio deixará de ser uma esperança tecnológica para se tornar um metal estratégico dentro da própria economia nacional.

1.4- Resistência à Corrosão do Nióbio Metálico

O Nióbio é resistente à corrosão, à maioria dos ácidos orgânicos e ácidos minerais para todas as concentrações, quando a temperatura é inferior a 100 °C, com exceção do ácido do fluorídrico (10). Pode-se citar por exemplo, os ácidos ha logênicos (HCl, HI e HBr), ácido nítrico, sulfúrico e fosfórico. É particularmente resistente em condições fortemente oxidantes como sulfúrico concentrado, cloreto férrico ou cloreto cúprico (10).

Além disso, resiste ao ataque pela água do mar e a diversos metais Líquidos, como por exemplo, Bismuto abaixo de 510 $^{\rm O}$ C, Lítio abaixo de 1000 $^{\rm O}$ C, Sódio e Potássio abaixo de 1000 $^{\rm O}$ C, Urânio abaixo de 1400 $^{\rm O}$ C, etc. $^{\rm (10)}$.

Apresenta ainda sérios problemas quando polarizado catodicamente por acoplamento galvânico ou guimicamente, podendo ser totalmente destruído devido à fragilização por bidarogênio (8).

Quando o Nióbio é polarizado anodicamente, forma-se um filme passivo bastante estável que protege o metal contra a corrosão (9), mantendo a estabilidade numa faixa de potem cial bastante ampla, da ordem de 10 V.

A Tabela I.4 apresenta o comportamento do Nióbio em diversos meios corrosivos $^{(10)}$. Estudos recentes, no entanto, indicam alguns problemas, particularmente em altas temperaturas $^{(93)}$.

1.5- <u>Perspectivas Quanto ao Fornecimento de Matérias Primas na Indústria</u> dos Aços Inoxidáveis

Segundo Prates (11), as previsões quanto ao esgota

Tabela I.4- Resistência à corrosão do Nióbio metálico em diversos meios.

Solução	Concentração (% peso)	T (°C)	Taxa de Corrosão mm/y (mpy)
Soluções Ácidas			
HC1	1	ebulição	nil
	10	ebulição	0,025(1,0)
	18	ambiente	ni1
	20	ebulição	0,125(5,0)
	Concentrado	ambiente	nil
	Concentrado	110	0,125(5,0)
		ebulição	0,125(5,0)
1181/0	10% e/ 1% FeC1 ₃ 6H ₂ 0	ambiente	nil
HNO ³	65 70	250	0,025(1,0)
11 ₃ P0 ₄	60	ebulição	0,5(20,0)
4 ز	85	ambiente	0,0025(0,1)
	85	100	0,125(5,0)
	85	chul ição	3,81(150)
	40% с 50% с/БррвР	chuligao	0,25(10)
$\mathfrak{u}_2^{} \mathfrak{so}_{7}^{}$	5	50	n i 1
12114	20	ebu Li çao	0,005(0,2)
	30	ambiente	nil
	40	50	0,005(0,2)
	concentrado	ambiente	0,0025(0,1)
	concentrado	100	0,5(2,0)
Água Régia			* 1
IHNO ₃ 2HCl	* * *	ambiente	nil
J	• • •	60	0,025(1)
Ácidos Orgânicos			
Acetico	5	ebulição	nil.
	99,7	ebulição	nil
Citrico	10	ebulição	0,018(0,7)
Formico	10	ebulição	ni1
Lático	10	cbulição	0,01(0,4)
0xálico	10	ebulição	0,02(0,9)
Tricloroacético		ebulição	nil
Soluções Alcalina	<u>s</u>		
NaOH	1-40	ambiente	0,125(5,0)
	1-10	98	fragiliza
КОН	5-40	ambiente	fragiliza
14011	1-5	98	fragiliza
NH ₄ OH		ambiente	nil
Sais			_21
FeCl3	10	ambiente	nil
Na_2CO_3	1-10	ambiente	0,025(1,0)
	10,20	98	fragiliza
$Na_{2}PO_{L}$	5,10	ambiente	0,025(1,0)
Na ₃ PO ₄ Na ₂ S	9	98 ~	0,125(5,0)
ZnČl ₂	40	ebulição	nil
Diversos	2590-0 1297T CO	92	0,125(5)
Banho cromeação	25%CrO ₃ , 12%H ₂ SO ₄	ambiente	0,005(0,2)
H ₂ O ₂	30%		nil
třičloroetileno	99	ebulição	UTI

mento das reservas atualmente conhecidas e exploráveis, de vários metais de interesse industrial, são bastante pessimistas. Já a partir do final da década de 80, as reservas de alguns metais como Estanho, Prata e Mercúrio, estarão seriamente comprometidas. A Tabela I.5 fornece os prazos estimados para a exaustão das reservas atualmente conhecidas de alguns metais.

Tabela 1.5- Prazos estimados para a exaustão das reservas atualmente conhecidas de alguns metais (11).

10 a 20	20 a 50	50 a 200	200 a 400	400 a 600
Estanlio	Cobre	Tungstênio	Cromo	Ferro
Prata	Zinco	Molibdênio	Niquel	Manganês
Mercúrio	Cliumbo	Vanádío	Cobalto	Titâmio
Ouro	Platina	Antimônio	Alumínio	Nióbio

Prazos a partir de 1980 (anos).

As reservas de Alumínio, Ferro, Titânio, Manganês e Nióbio são abundantes no Brasil, cujas reservas possuem um prazo maior para sua exaustão. Dessa forma a tentativa de substituição de alguns elementos como Tungstênio, Molibdênio e Vanádio por metais do grupo do Ferro é particularmente interessante. Do ponto de vista nacional, a substituição pelo Nióbio é bastante atrativa, através das características expostas no item 1.3.

1.6- Relevância e Objetivo deste Trabalho

O Nióbio ocupa uma posição estratégica dentro do de senvolvimento tecnológico brasileiro. A situação privilegia da do Brasil, como o grande fornecedor em potencial do Nióbio, a nível de monopólio internacional, justifica o investimento

de recursos financeiros e humanos na tentativa de abrir novos mercados, promovendo uma diversificação do uso deste metal.

Neste trabalho, estuda-se o efeito da adição de ele vados teores de Nióbio (até 2% em peso), na formação, estabilidade e dissolução transpassiva de filmes de óxidos superficiais formados em condições potenciostáticas e potenciodinâmicas, em aços inoxidáveis de baixo teor de carbono, e de composição base do tipo 304L. Analisa-se a microestrutura e as propriedades mecânicas à temperatura ambiente, embora a ênfa se principal seja dada às propriedades increntes ao filme de óxido superficial, que cresce nas condições de corrosão.

Propõe-se tambóm um modelo teórico para analisar o mecanismo de crescimento do filme de óxido superficial, que permite comparar quantitativamente o efeito do Nióbio no coe ficiente de transferência de carga, e na densidade de corrente de troca na interface metal-filme. A passivação e o início da dissolução transpassiva são analisadas qualitativamente, com base no efeito do Nióbio nas características semicondutoras do óxido superficial, assim como o efeito deste elemento na redução eletroquímica desses filmes de óxidos.

2 - FUNDAMENTOS TEÓRICOS

2.1- Introdução

As propriedades mais significativas dos aços inoxidaveis são aquelas relacionadas com sua resistência à corrosão. Durante as etapas de desenvolvimento de uma liga de aço inoxidável, o controle das variáveis de fundição, processamen to e tratamentos térmicos devemser executados com objetivo fundamental de se garantir a resistência à corrosão ou a resistência à oxidação em altas temperaturas. Outros fatores que devem ser considerados são as propriedades físicas e mecânicas, características de fabricação e de soldagem.

Os aços inoxidáveis convencionais, do tipo 304, 316, 304L, 316L, etc., foram largamente estudados e os resultados obtidos, tanto do ponto de vista da metalurgia física, como processamento ou da resistência à corrosão, consistem uma importante base para o desenvolvimento de aços não convencio nais. Particularmente do ponto de vista da corrosão, embora o comportamento desses aços seja relativamente bem conhecido nos mais diversos meios corrosivas, muitas são as dúvidas relacionadas aos mecanismos do fenômeno da corrosão.

A Figura 2.1 apresenta um diagrama de equilíbrio (13), indicando o efeito do Carbono na solubilidade de carbonetos

em um aço inoxidável do tipo 18%Cr-8%Ni.

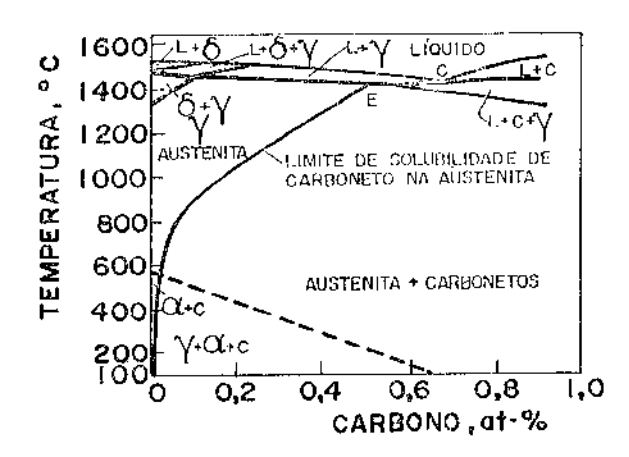


Figura 2.1- Eleito do Carbono na solubilidade de carbonetos em aço 18ZCr, 8ZNi (43).

Os aços inoxidáveis austeníticos contendo 18%Cr,8%Ni, devido à sua popularidade, têm recebido bastante atenção dos pesquisadores. Pugh e Nisbet (14) obtiveram experimentalmente os diagramas de equilíbrio ternário para o sistema Fe-Cr-Ni em diversas composições, indicado na Figura 2.2. O corte transversal correspondente a 70%Fe é o que mais se aproxima do aço usado neste trabalho.

o efeito de outros elementos de liga é muito importante, particularmente quando eles são estabilizadores de ferita (Cr, Si, Mo, Nb, etc.) ou estabilizadores de austenita (Ni, C, Mn, etc.). Alguns autores como Pryce e Andrews (15), Briggs e Parker (16) e Schneider (17), consideraram o efeito de elementos de liga na constituição dos aços inoxidáveis, através do diagrama de Schaeffler, indicado na Figura 2.3. Nesse diagrama, usa-se a composição em termos de Cromo e Níquel equivalentes, respectivamente estabilizadores da ferrita e da austenita.

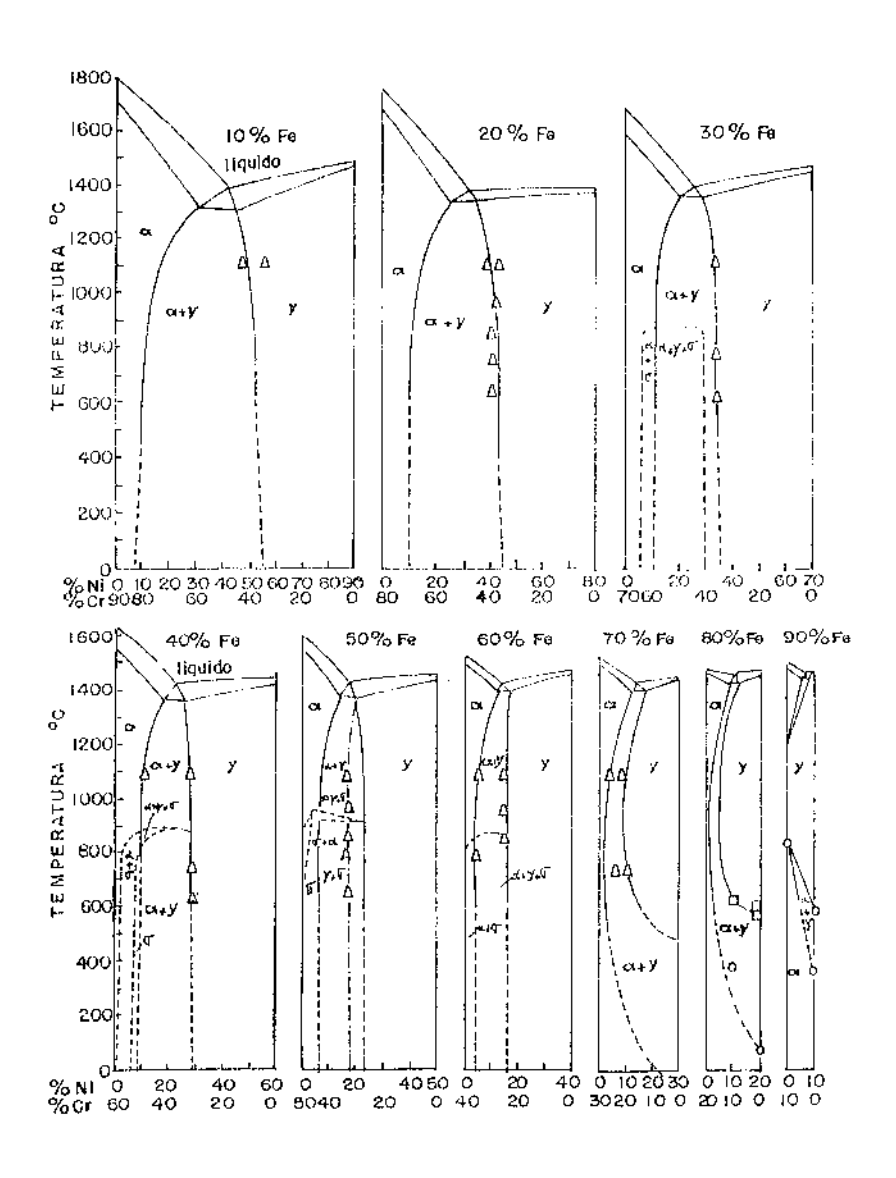


Figura 2.2- Diagrama ternário Fe-Cr-Ni (14).

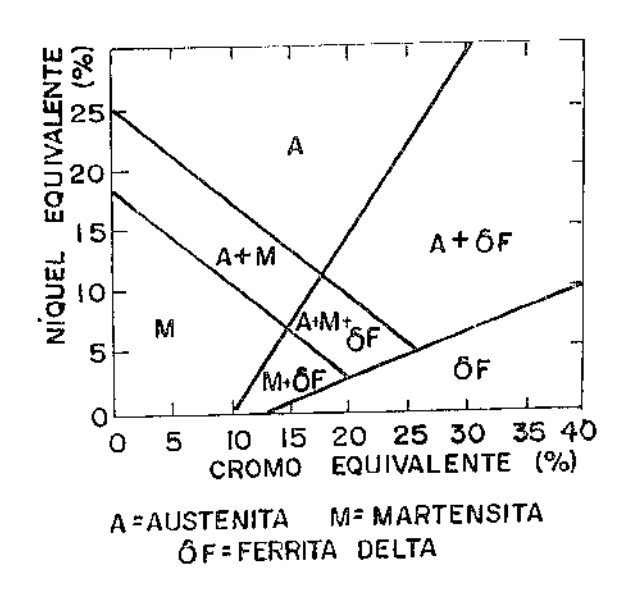


Figura 2.3- Diagrama estrutural para aços cromo e aços eromo-níquel. Dia grama Schaefffer (17).

Os valores de Níquel e Cromo equivalentes que foram aplicados com maior sucesso, numa larga faixa de aços austen<u>í</u> ticos ⁽¹⁶⁾, podem ser dados pelas expresaões:

Cromo equivalente = (Cr) + 2(Si) + 1,5(Mo) + 5(V) + 5,5(Al) +
$$1,75(Nb) + 1,5(Ti) + 0,75(W)$$
 (2.1)

Niquel equivalente =
$$(Ni) + (Co) + 0.5(Mn) + 0.3(Cu) + 30(C) + 25(N)$$
 (2.2)

onde os números entre parênteses representam porcentagem em peso.

A aplicação dessas equações deve ser feita com cuidado, particularmente quando houver algum elemento que pro voque a precipitação de carbonetos. O nióbio, por exemplo, além de aumentar o Cromo equivalente, tem muita facilidade na formação de carbonitretos. Isto diminui a concentração de

Carbono e Nitrogênio em solução, e conseqüentemente diminui o efeito desses intersticiais no cálculo do Níquel equivalente.

2.2- <u>Aspectos da Metalurgia Física dos Aços Inoxidaveis</u> Austeniticos

Os aços inoxidáveis austeníticos consistem basica mente de liga à base de ferro, contendo cerca de 18% de Cr e 8% de Ni. A presença do Níquel promove dois efeitos país: a) alargamento do campo austenítico (18), aumentando presença da austenita na temperatura de solubilização. baixos teores de Níquel, esma austenita pode transformar-se total ou parcialmente em martensita no restriamento; b) dimi nuição da temperatura de início de Formação de martensita, Mg, de tal maneira que com 8% esta temperatura está pouco abaixo da temperatura ambiente. Isto possibilita a presença de au<u>s</u> tenita estável após o resfriamento desde a temperatura de so lubilização até a temperatura ambiente. Em alguns aços menos ligados, pode ocorrer a transformação austenita-martensita quando a linha ${
m M_{_{
m S}}}$ estiver acima da temperatura ambiente. elementos de liga (menos o Co), diminuem a temperatura da li nha de início de formação de martensita.

A formação de martensita pode ocorrer também pela deformação da austenita. Cohen e outros (19), sugeriram que as deslocações em cunha constituem núcleos para a formação de martensita, o que foi posteriormente comprovado por Krisement (20) num estudo teórico sobre a martensita com um plano de hábito (225). Considerando o grande número de deslocações existentes, mesmo numa estrutura austenítica recozida, existem núcleos suficientes para a reação ocorrer. O fator determinante da cinética de transformação parece ser, então, não a taxa

de nucleação, mas a liberação de energia livre (21). A presença de martensita provoca um aumento cada vez maior do limite de resistência à tração, enquanto que a tensão de escoamento diminui inicialmente, passando a aumentar a partir de 15-20% de martensita (22).

A presença de maclas tem muita influência sobre limite de resistência à tração, porém não influencia a tensão convencional de escoamento, devido ao fato da energia de £а lha de empilhamento, que controla a taxa de endurecimento, ter pouco ou nenhum efeito à baixas deformações onde o mento é medido. O espaçamento de maclas é muito mais tante do que o tamanho de grão no controle do limite de resis tência à tração. Isto ocorre porque o efeito da energia falha de empilhamento sobre a taxa de encruamento, e portanto no limite de resistência à tração, é muito grande. Na auste nita com alta energia de falha de empilhamento, em que ocor rem relativamente poucas maclas, o limite de resistência tração depende do tamanho de grão, através de uma relação tipo Hall-Petch.

A ferrita delta exerce forte influência sobre as características dos aços inoxidáveis. Aumenta a tensão de esco amento e o limite de resistência à tração através de um efei to de endurecimento por dispersão. A ferrita possui maior ten são de escoamento do que a austenita, sendo que a concentração de deformação na fase austenítica que é mais mole, provocada pela ferrita, resulta num encruamento e consequente aumen to do valor do limite de resistência à tração (23). No caso do limite de resistência à tração, cerca de 80% do endurecimento devido à ferrita delta é atribuído à divisão do Carbono e do Nitrogênio entre a austenita e a ferrita, devido à baixa solu

bilidade desses intersticiais na fase ferrítica. Tal fato provoca um aumento na taxa de encruamento. Uma outra possibilidade é devida à diferença no coeficiente de expansão entre a austenita e a ferrita. Este fato gera deslocações na austenita, próximo à ferrita delta, aumentando sua resistência. Existe evidências que essa geração de deslocações ocorre, mas a densidade de deslocações geradas parece ser muito pequena para explicar o aumento observado na tensão de escoamento.

A Figura 2.4 mostra o efeito da adição de diversos elementos de liga na tensão de escoamento convencional.

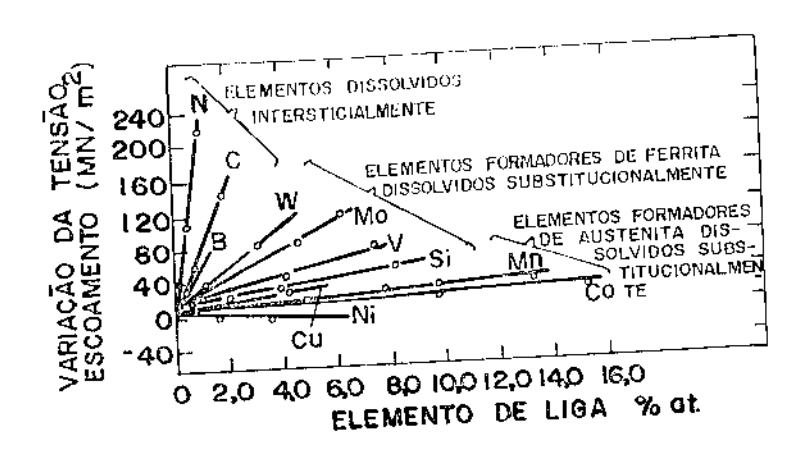


Figura 2.4- Efeito de elementos de liga no endurecimento por solução sólida na austenita (24).

Pode-se verificar a efetividade de elementos inters ticiais como C e N, na variação da tensão de escoamento. Em relação aos elementos substitucionais, observa-se que os for madores de ferrita tem maior efeito de endurecimento do que os elementos formadores de austenita. O efeito de endurecimento por solução sólida, reflete uma influência do diâmetro atômico do soluto, no parâmetro de rede da austenita e consequente mente na deformação introduzida na rede pelo elemento de liga (25), como representado na Figura 2.5.

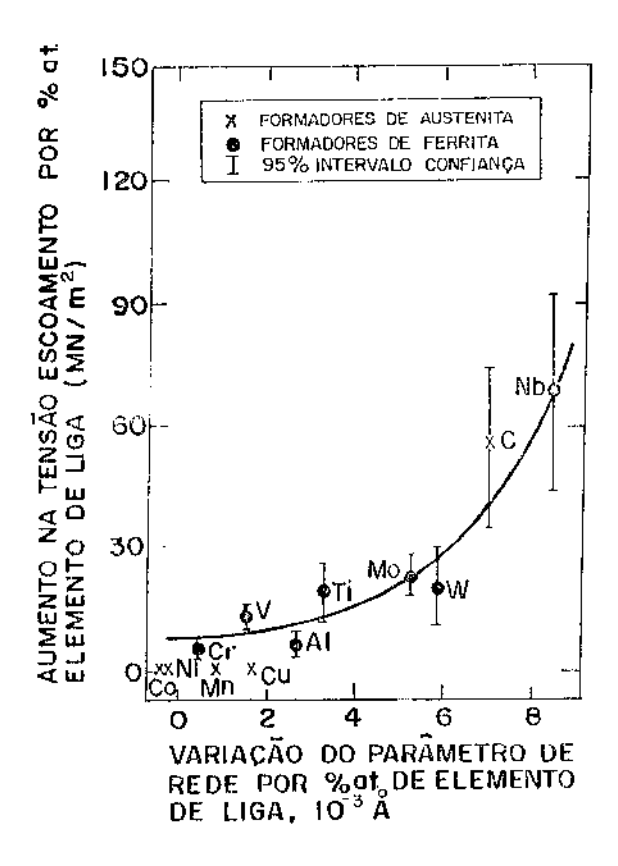


Figura 2.5- Relação entre variação no parâmetro de rede devido ao soluto e o aumento da tensão convencional de escoamento (25).

As Tabelas II.l e II.2 indicam a influência de ele mentos de liga na tensão convencional de escoamento e no limite de resistência à tração.

Tabela II.1- Aumento na tensão convencional de escoamento (ton/in²) por porcentagem em peso de elemento de liga⁽²³⁾.

	С	Si	Cr	Mo	W	V	Mn	Со	Ni	N	Ti	ΛΊ	Nb
*	22	1.,5		0,68	0,68	1,0	0,06	0,06	0,08	54			
**	23	1,3	0,24	0,94	0,29	1,2	0	0	0	32	1,70	0,82	2,60

^{*} Trabalhos anteriores.

^{**} Referência (23).

Tabela II.2- Endurecimento por solução sólida para o limite de resistên cia à tração $^{(23)}$.

43 3		Variação na tensão de resis				
Soluto	Тіро	tência (tom/im ²), 1% peso				
N	Intersticial	55				
С	Intersticial	35				
Cr	Substitucional	()				
Si	Estabilizador ferrita delta	2,4				
Мо	Estabilizador ferrita delta	0				
W	Estabilizador ferrita delta	()				
V	Estabilizador ferrita delta	0				
ΛΙ	Estabilizador Ferrita della	1,2				
Ti	Estabilizador ferrita delta	3,0				
Nb	Estabilizador territa delta	5,0				
Ni	Substitucional	0,1				
Cu	Estabilizador austenita	()				
Mii	Estabilizador austonita	O				

O Titânio e o Nióbio, reconhecidamente elementos es tabilizadores de ferrita, mostram maior efeito de endurecimen to por solução sólida do que outros elementos ierríticos. Es te fato pode ser atribuído ao grande tamanho atômico destes elementos. O efeito positivo dos elementos de liga no limite de resistência à tração, é devido ao endurecimento por solução sólida substitucional ou intersticial. Dulieu e Nutting (26) mostraram que um aumento do teor de Níquel provoca um aumento da energia por falha de empilhamento, o que diminui o número de deslocações dissociadas, e consequentemente a taxa de encruamento.

Um processo de endurecimento bastante utilizado em aços ferríticos é a precipitação de carbonetos uniformemente dentro dos grãos. Em aços austeníticos, no entanto, a precipitação é mais intensa no contorno de grão (especialmente para

baixos teores de carbono), diminuindo o efeito de endurecimento o efeito de endurecimento do pode ser obtida de um aço inoxidável austenítico, por precipitação de carbonetos do tipo $\rm M_{23}C_6$, depende muito da quantidade de carbono e nitrogênio que está em solução.

Os aços inoxidáveis austeníticos, quando aquecidos na faixa de temperatura entre 700-950 $^{\circ}$ C, podem formar um composto intermetálico frágil, chamado de fase sigma. O Cromo, Molibdênio, Titânio e Silício acentuam sua formação. Essa precipitação diminui a dutilidade e a tenacidade, particularmente quando exposto por longos períodos de tempo a temperaturas altas. A fase sigma apresenta uma cinética de precipitação lenta, a partir da estrutura totalmente austenítica, mas se hou ver a presença de ferrita delta, esta pode se transformar rapidamente em fase sigma. Esta fase possui estrutura tetrago nal ($a_0 = 4,61$ ${\rm \AA}$; $c_0 = 8,88$ ${\rm \AA}$) e uma microestrutura, como constituinte massivo ou em grandes placas do tipo Widmonstatten em contorno de grão.

Os aços austeníticos podem sofrer um efeito de fragilização à temperatura ambiente, pelo aparecimento de fases Laves, do tipo Fe_2Mo , Fe_2Nb , Fe_2Ti . Quando distribuídas homo geneamente pela estrutura, contribuem na dureza do aço. Apresentam estrutura hexagonal (a $_0$ = 4,75 Å; c $_0$ = 7,74 Å) e pos suem uma forma massiva ou forma de placas no contorno de grão. Um aumento no teor de Níquel compensa a formação de fases Laves.

A ferrita delta além dos efeitos de endurecimento já comentados, provoca um refino de grão da austenita, ocasio nando um endurecimento adicional. Os aços micro-duplex, auste nita-ferrita delta, podem apresentar tensão de escoamento da

ordem de 450 MN/m². Apresentam também melhor resistência à corrosão sob tensão do que os aços padronizados.

2.3- Reações de Transferência de Carga numa Interface Metal-Solução

A taxa de transferência de portadores de carga atra vés de uma interface, depende do potencial do eletrodo e da concentração da solução. Num par redox os elétrons são simul taneamente aceitos e doados pelo metal. As reações que ocor rem podem ser representadas por:

$$R = \frac{1}{2} \cdot O + e^{-} \tag{2.3}$$

onde R representa as espécies reduzidas e 0 as espécies oxid<u>a</u> das, sendo [R] e [O] suas respectivas concentrações. O sent<u>i</u> do I representa o sentido anódico e o 2 o sentido catódico.

O potencial de eletrodo (E) associado com as rea ções de transferência de carga é uma medida da disponibilida de de elétrons, e controla [R] e [O] na superfície do eletro do. Controla também a densidade de corrente i, definida como:

$$i = i_a - i_C \tag{2.4}$$

onde i = densidade de corrente anódica;

i = densidade de corrente catódica.

A Figura 2.6 representa as reações de transferência de carga para as situações em que se tem $E = E_e$; $E > E_e$ e $E < E_e$, onde E é o potencial de eletrodo, E_e o potencial de eletrodo de equilíbrio e $\eta = E - E_e$.

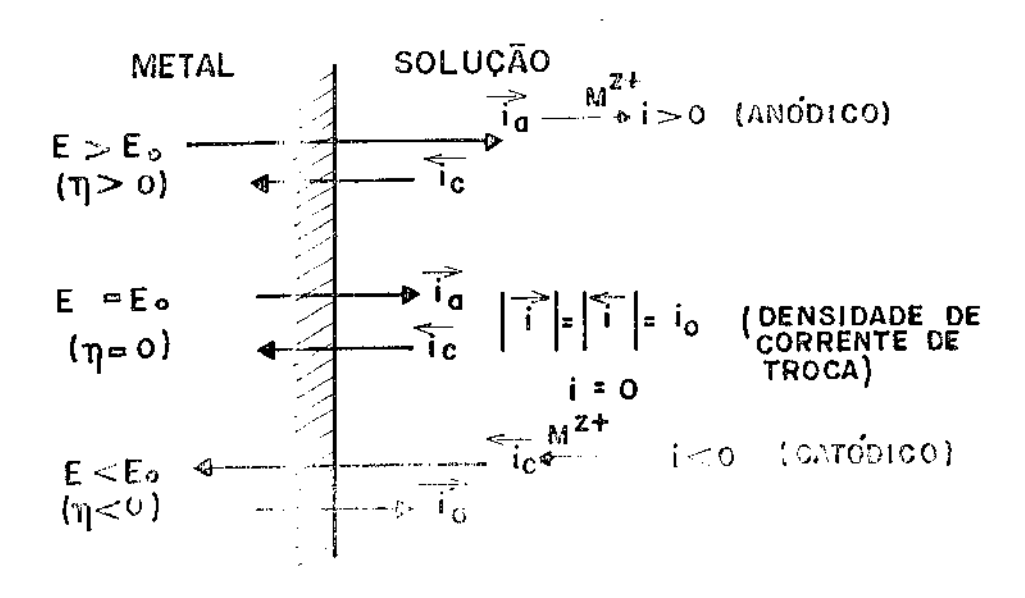


Figura 2.6- Reações de transferência de carga numa linterface metal-sol<u>u</u> ção.

A reação anódica ocorre pela passagem de fons met<u>á</u>
licos M^{Z+} através da interface, enquanto que a reação catód<u>i</u>
ca ocorre por um processo equivalente na direção oposta.

A energia livre de ativação dos processos anódico $(\Lambda G_{\mathbf{a}}^{\neq})$ e catódico $(\Lambda G_{\mathbf{c}}^{\neq})$, são fortemente dependentes do potencial de eletrodo. A relação entre essas grandezas é decisiva para o entendimento das relações entre corrente e potencial. A Figura 2.7 representa a energia envolvida em uma reação de transferência de carga. A curva (1) corresponderia à introdução de um fon metálico na solução (processo de hidratação), enquanto que a curva (2) corresponderia à extração de um fon metálico do metal, permanecendo o elétron no metal.

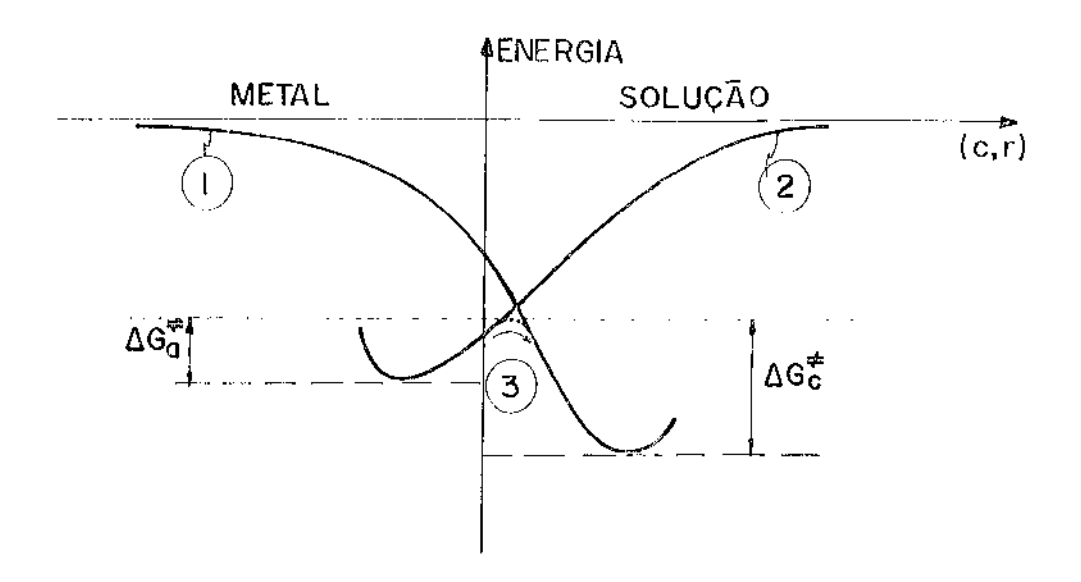


Figura 2.7- Energias enzolvidas numa renção de Transferência de carma.

A superposição das curvas (1) e (2), possibilita a transição entre as duas curvas de energia no ponto de intersecção, dando lugar ao complexo ativado. Como a transferência do elétron através da interface, não necessita da quantidade total de energia para sua transferência até o vácuo, a transição poderá ocorrer de acordo com a curva (3).

Considerando-se que $\Delta G_{\mathbf{C}}^{\not\uparrow}$ e $\Delta G_{\mathbf{a}}^{\not\uparrow}$ dependem do potencial aplicado, podem ocorrer os casos representados na Figura 2.8.

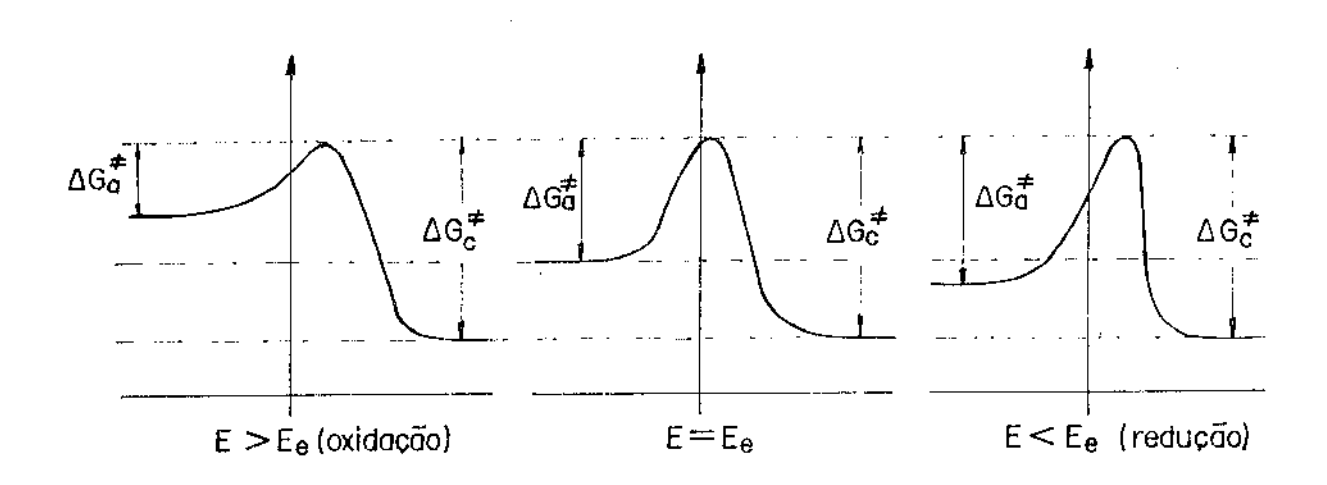


Figura 2.8- Relação entre ΔG_{c}^{\neq} e ΔG_{a}^{\neq} para os casos de $E = E_{e}$; $E > E_{e}$ e $E < E_{e}$.

Os valores de $\Delta G_{o,a}^{\neq}$ e $\Delta G_{o,c}^{\neq}$ no estado de equilíbrio, estão relacionados com ΔG_{a}^{\neq} e ΔG_{c}^{\neq} num estado qualquer pelas expressões:

$$\Delta G_a^{\neq}$$
 (E, $i \neq 0$) = $\Delta G_{O,a}^{\neq}$ - (1-a) n F n (2.5)

$$\Delta G_{\mathbf{c}}^{f}$$
 (E, i/0) $\leq \Delta G_{\mathbf{o},\mathbf{c}}^{f}$ Lan Fig (2.6)

onde: n = número de elétrons envolvidos na reação e

 α = coeficiente de transferência, relacionado com a relação de tangentes nas curvas (1) e (2) da Fig. 2.7, no ponto de intersecção (73).

Este fato está representado guaficamente na Figura 2.9.

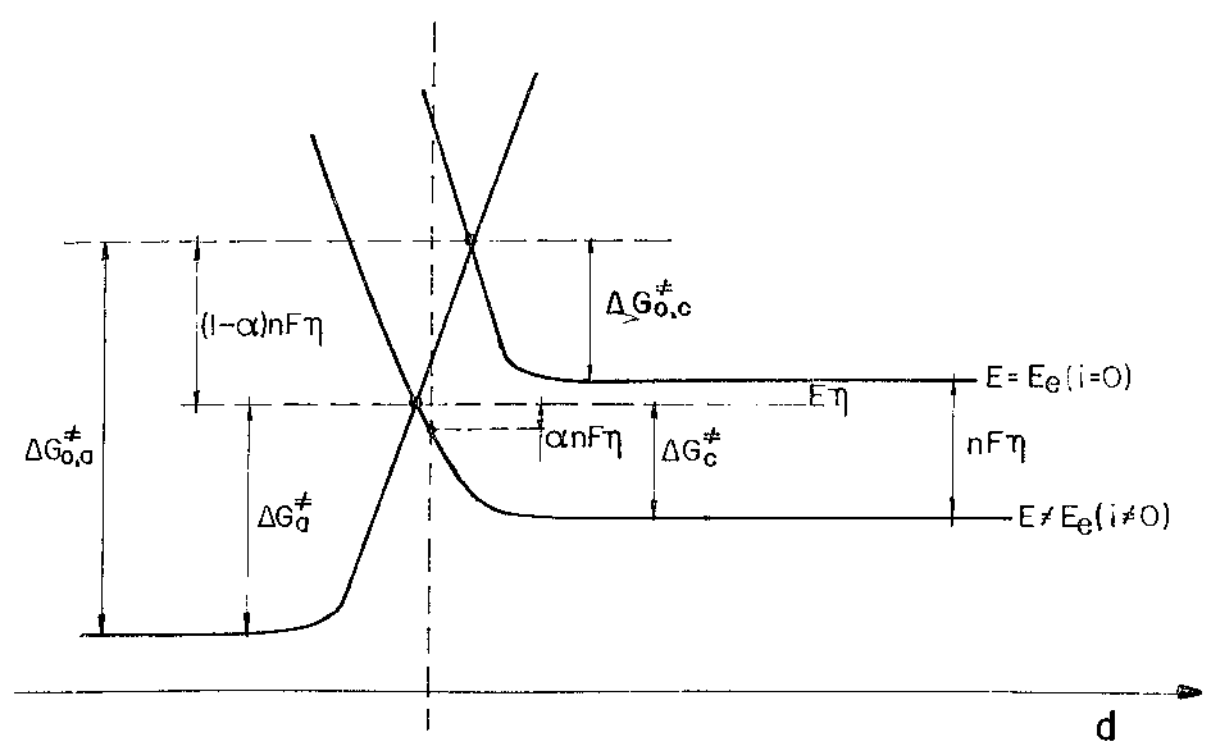


Figura 2.9- Representação esquemática da variação da energia livre padrão de ativação dos processos anódico e catódico com o potencial aplicado.

A relação entre a corrente e a sobretensão pode ser derivada, partindo-se das premissas anteriores, obtendo-se a expressão seguinte:

$$\frac{i}{i_{O}} = \frac{C_{O}(0, L)}{C_{O}^{*}} e^{\operatorname{cnf}(E-E_{O})} - \frac{C_{R}(0, L)}{C_{R}^{*}} e^{(1-\alpha)\operatorname{nf}(E-E_{O})}$$
(2.7)

Supondo que $\eta = E - E_{_{\hbox{\scriptsize \bf C}}}$ e que $C_{_{\hbox{\scriptsize \bf O}}}(0,t) = C_{_{\hbox{\scriptsize \bf O}}}^{-*}$ e $C_{_{\hbox{\scriptsize \bf R}}}(0,t) = C_{_{\hbox{\scriptsize \bf C}}}^{-*}$, a expressão torna-se

$$\frac{i}{i} = e^{\alpha n f \eta} - e^{(1-\alpha) n f \eta}$$
 (2.8)

onde: io = densidade de corrente de troca;

 $C_{0}(0,t)=concentração de oxidados na superfície do eletrodo no instante t;$

 $C_0^{-\star}$: concentração de oxidados no seio da solução; $C_R^{-}(0,t) = {\rm concentração} \ {\rm de} \ {\rm reduzidos} \ {\rm na} \quad {\rm superficie} = {\rm do}$ eletrodo no instante t;

 $c_R^{-*}:$ concentração do reduzido no seio da solução; $\mathbf{f}=\frac{F}{RT}.$

A representação gráfica dessa expressão está indica da na Figura 2.10.

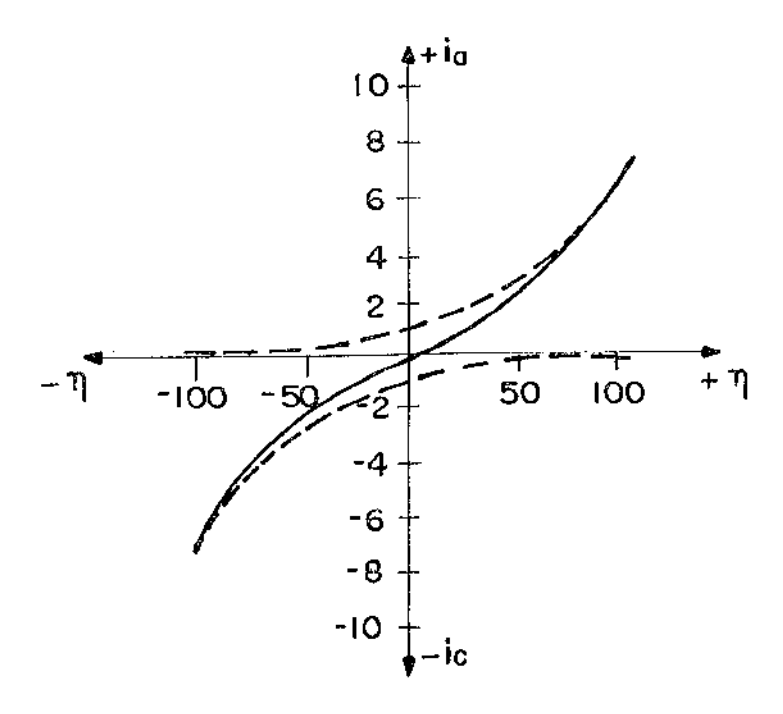


Figura 2.10- Dependência da corrente i com a sobretensão η.

2.3.1- Ponto de Vista Quântica da Reação de Transferência de Carga num Sistema Redox

Nas reações de transferência de carga ocorrendo em uma interface, o sistema deve vencer uma barreira de ativação, de acordo com as considerações discutidas na Figura 2.7. — O efeito de tunelamento da mecânica quântica, prevê a possibilidade do sistema atravessar essa barreira de potencial — com maior facilidade, do que sobrepor a barreira de energia quan do excitado. Este fato foi mostrado por Gurney (27), para uma barreira de potencial de 5 % de espessura.

$$P\left(E_{\text{ba}},\alpha\right) = \exp\left[-\frac{4\pi^{4}}{h} + \sqrt{2m}\left(E_{\text{ba}} - E_{\text{pa}}\right)\right]$$
 (2.9)

onde m é a massa da particula e h é a constante de Planck.

Por outro lado, a probabilidade termodinâmica de se encontrar partículas com energia E_{ba} é dada pela função — de Boltzmann:

$$P(E_{ba}, a) = \exp(-\frac{E_{ba}}{kT})$$
 (2.10)

Para um elétron de m = 9.1×10^{-28} gramas, $E_{ba} = 1$ eV, e a = 5 Å, a probabilidade quântica de transferência é 6×10^{-3} , enquanto que a probabilidade termodinâmica é 5×10^{-12} . Para uma barreira de energia maior ($E_{ba} = 2$ eV) as probabilidades a 25 °C são 7×10^{-4} e 2.5×10^{-23} , respectivamente. No caso de

a=2 Å e $E_{ba}=2$ eV tem-se probabilidade quântica igual a 5.5×10^{-2} e a probabilidade termodinâmica de 2.5×10^{-23} . Este fato indica que a possibilidade do elétron ultrapassar a bar reira de energia por efeito de tunelamento é maior. Este efeito é desprezível no caso de íons metálicos em virtude da mas sa ser muito grande.

O processo de tunelamento pode ocorrer através da barreira de potencial, somente entre dois estados eletrônicos de mesma energia, considerando os dois lados da interface. A transferência é de um nível ocupado no eletrólito, a um esta do desocupado no metal ou semicondutor. A rígura 2.11 aprosenta a distribuição de densidade de estados de energia do elétron, em um processo anódico onde o reduzido é uma substância em solução, no metal e no eletrólito e a ocupação desses níveis de energia pelos elétrons (hachurado), de acordo com Gerischer (28). A rigura 2.12 representa o caso de uma interface semicondutor/eletrólito.

2.4- Passividade de Metais

Na literatura científica o termo passividade é aplicado a qualquer metal que apresenta um melhoramento na sua resistência à corrosão, devido ao aparecimento de filmes em sua superfície. Wagner (29) deu a seguinte definição fenomeno lógica: "Um metal pode ser chamado passivo, quando a quantida de de metal consumida por uma reação química ou eletroquímica num dado tempo, é significativamente menor sob condições de maior afinidade de reação (isto é, uma maior diminuição de energia livre) do que sob condições correspondentes a uma afinidade mais baixa". A Figura 2.13 representa esquematicamente

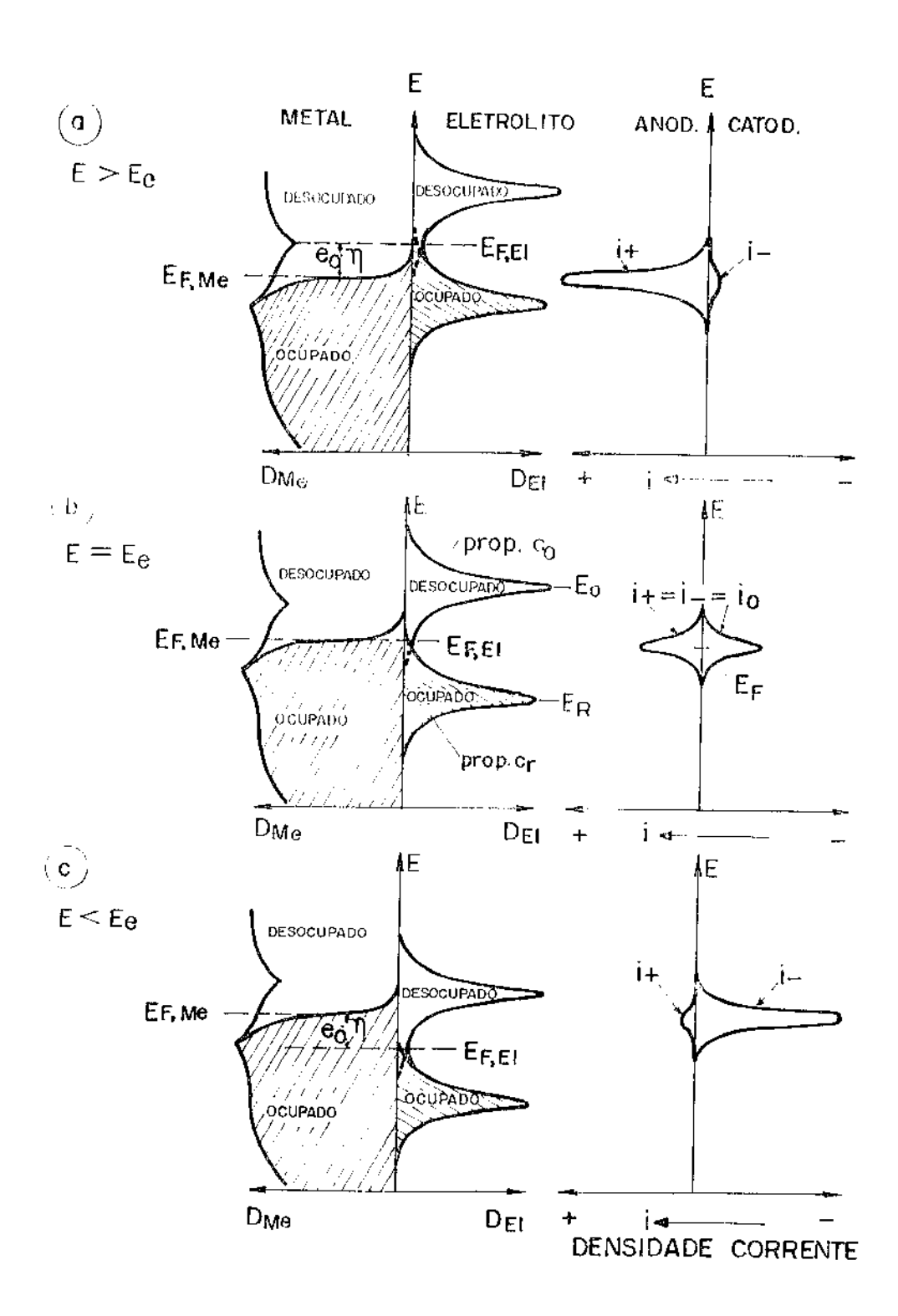


Figura 2.11- Ocupação de níveis de energia e a densidade de corrente <u>re</u> sultante pelo efeito de tunelamento, como função da sobreten são para um sistema redox: metal inerte/sistema redox (28).

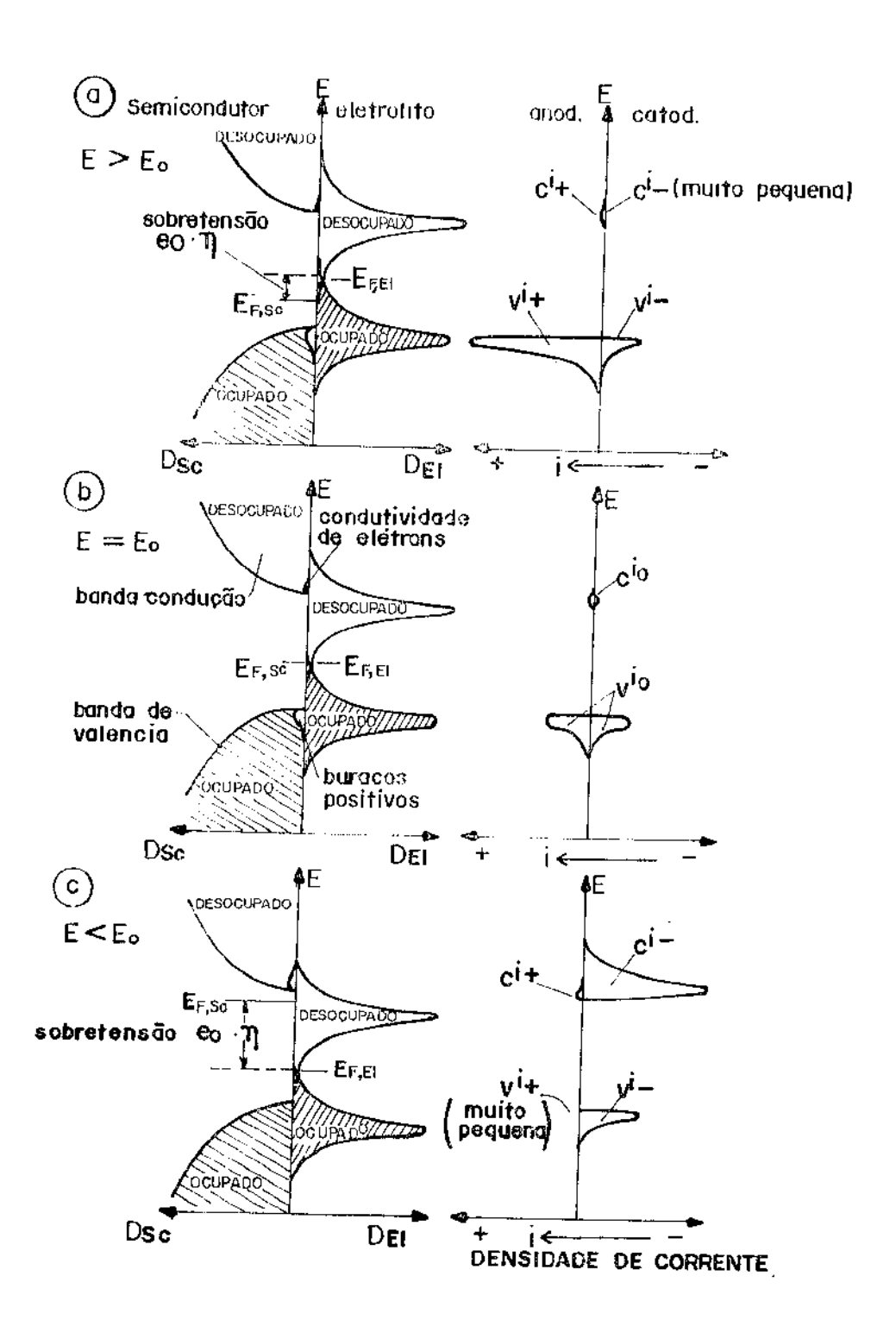


Figura 2.12- Ocupação de níveis de energia e densidade de corrente resultante pelo efeito do tunclamento, como função da sobretensão para um sistema semicondutor/sistema redox (28).

os processos anódicos que podem ocorrer sobre um metal, atra vos de uma curva típica de corrente em função do potencial, e mostra o fenômeno de passivação.

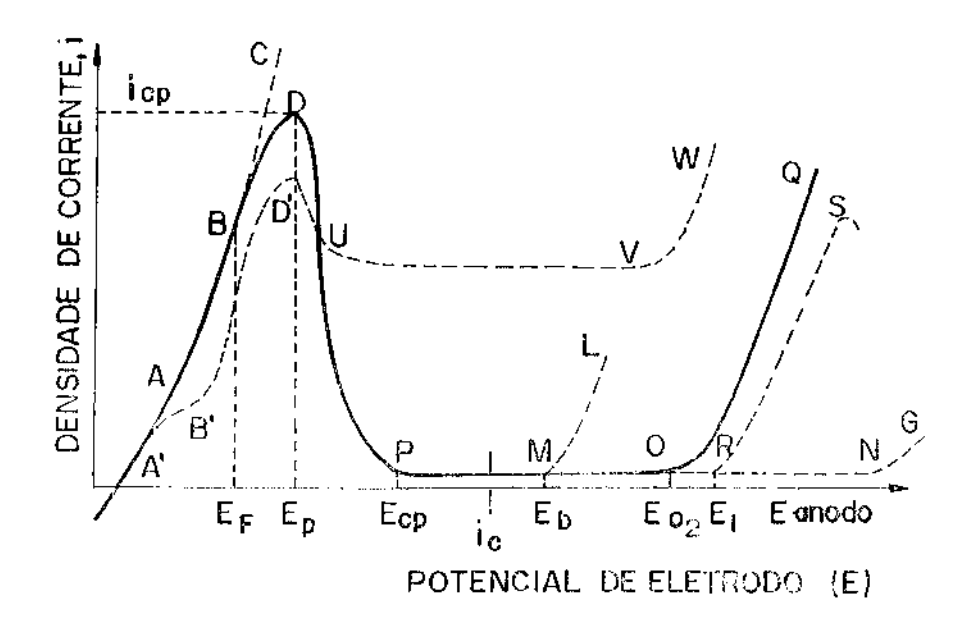


Figura 2.13- Representação esquemática do processo amódico sobre um metal.

ABDPOQ: curva típica, ativa, passiva e transpassiva para metal em água (Fe,Ni); ABC: dissolução tívre (Fe em alcalis);

ABDML: curva na presença de anions ativos, com possível for mação de sal na região ativa (Fe em solução de cloretos);

ABDPRS: comportamento ativo, passivo e transpassivo de metais que dissolvem na região transpassiva como cátions de alta valência, com possibilidade de aparecer passivação secun dária (Cr); ABDUVW ou A'B'D'UVW: para metais formando filmes menos protetores (Cu,Zn); ABDPNG: para metais de baixa condutividade eletrônica, com possível formação de óxidos a potenciais mais altos (A1, Ti, Ta).

No estado ativo ocorre uma reação de oxidação segu<u>n</u>

do:

$$M \rightarrow M^{Z+} + ze$$
 (2.11)

enquanto que a potenciais mais anódicos, a curva se desvia de uma relação logarítmica simples devido ao fato da dissolução ser impedida por outro processo anódico, através da formação de um filme protetor segundo uma reação do tipo:

$$M + H_2O \rightarrow MO + 2H^+ + ze^-$$
 (2.12)

No potencial de passivação (E_p) é alcançada a corrente crítica de passivação (i_{cp}) . Para potenciais mais altos, a dissolução é continuamente impedida por esse processo, até atingir o potencial de completa passividade, E_{cp} . Numa faixa de potenciais acima de E_{cp} , a corrente é em muitos casos, completamente independente do potencial aplicado, sendo conhecida como região da passividade. Para potenciais acima da faixa de passividade, a corrente aumenta grandemente junto com o potencial, devido à presença de algum sistema de óxido-redução (geralmente devido à evolução de oxigênio), ou ao fenômeno da transpassividade, associado à uma dissolução atra vés do óxido.

2.4.1- Teorias da Passividade

2.4.1.1- Teoria da Adsorção

Esta teoria foi desenvolvida por Uhlig (30-31), Kaba nov et al (32) e Kolotyrkin (33). Ela supõe que a variação na cinética da passividade, é devida à adsorção ativada do oxigê nio presente na solução. A base do processo anódico é a dis solução direta do metal assistida pela adsorção de ânions. Se gundo Uhlig (30), o filme passivo é composto de oxigênio atômico e molecular quimicamente adsorvido, acompanhado por OH e

H₂O. A formação da ligação química, impede que os átomos metálicos deixem suas posições na rede. Quando átomos (ou fons) de oxigênio são adsorvidos, um número específico de átomos metálicos próximos à camada de oxigênio, formam uma estrutura muito estável (M.O.O₂) de fons negativos de oxigênio, com fons positivos do metal, sendo que a razão entre essas duas espécies depende da pressão de oxigênio. O caso da teoria de Uhlig corresponde com bastante aproximação ao que ocorre com os metais nobres (Pt, Au).

Alguns metais, como Cromo, Titânio, Ferro e Níquel, podem ser passivados em soluções desarejadas, usando o oxigênio da água. Nessas condições, a formação de oxigênio molecular a baixos potenciais catódicos é impossível. Assim, a car ga total calculada em termos da espessura do filme, pode exceder razoavelmente os limites para a formação de uma monocama da de fons de oxigênio (considera-se que 0,5 mC/cm² corresponde a uma monocamada de fons oxigênio, se cada fon metálico adsorve um fon de oxigênio). Este fato sugere que a camada contém átomos de oxigênio e do metal, o que resultaria num filme de óxido passivante de muitas camadas de espessura, em vez de uma camada de oxigênio adsorvida. A formação destas camadas de óxido configura uma segunda teoria, que será analisada em seguida.

2.4.1.2- Teoria do Filme de Óxido

Esta teoria considera a formação de um filme de óxido protetor sobre o metal que melhora sua resistência à corrosão. Este filme é uma nova fase proveniente da reação do metal com o meio ambiente. Estudos de difração de elétrons (34) e elipsometria (35), evidenciaram experimentalmente a validade desta teoria. Com base nesta teoria, todas as propriedades

físico-químicas do metal num meio corrosivo, ficam em parte encobertas pelas propriedades do filme de óxido protetor.

Baseado nessa teoria, tem sido feita alguma discus são sobre os mecanismos de formação do filme, sua espessura, a dependência com o potencial, etc.

Os trabalhos pioneiros nessa área, consideravam a formação de uma camada primária de baixa condutividade que poderia ser devida à precipitação de um sal ou hidróxido do metal na superfície do eletrodo (74).

Nessa teoria, o conceito de passivação está ligado às mudanças nas propriedades lísico-químicas do filmo primário. O filme passivo é livre de poros e representa uma bar reira entre o metal e o meio ambiente, dependendo de sua condução iônica e eletrônica e de sua velocidade de corrosão na solução. Estas idéias gerais, foram desenvolvidas principal mente por Sato e Okamoto (36) e Pavlov e Popova (37).

O crescimento de filmes passivos ocorre pela migração de cátions e ânions através deles. Para que isto ocorra deve existir um gradiente de atividade ou um campo elétrico dentro do filme, sendo que à temperatura ambiente, possivel mente na maioria dos casos, o gradiente de atividade não é o fator decisivo. A Figura 2.14 apresenta esquematicamente a barreira de energia potencial para a migração de partículas carregadas com e sem a ação de um campo elétrico.

Um campo elétrico abaixa a barreira de energia <u>po</u> tencial para o movimento de uma partícula carregada em uma direção e aumenta essa barreira na direção oposta. A energia potencial é dependente do campo e a frequência de salto pode ser dada por ⁽⁷⁵⁾:

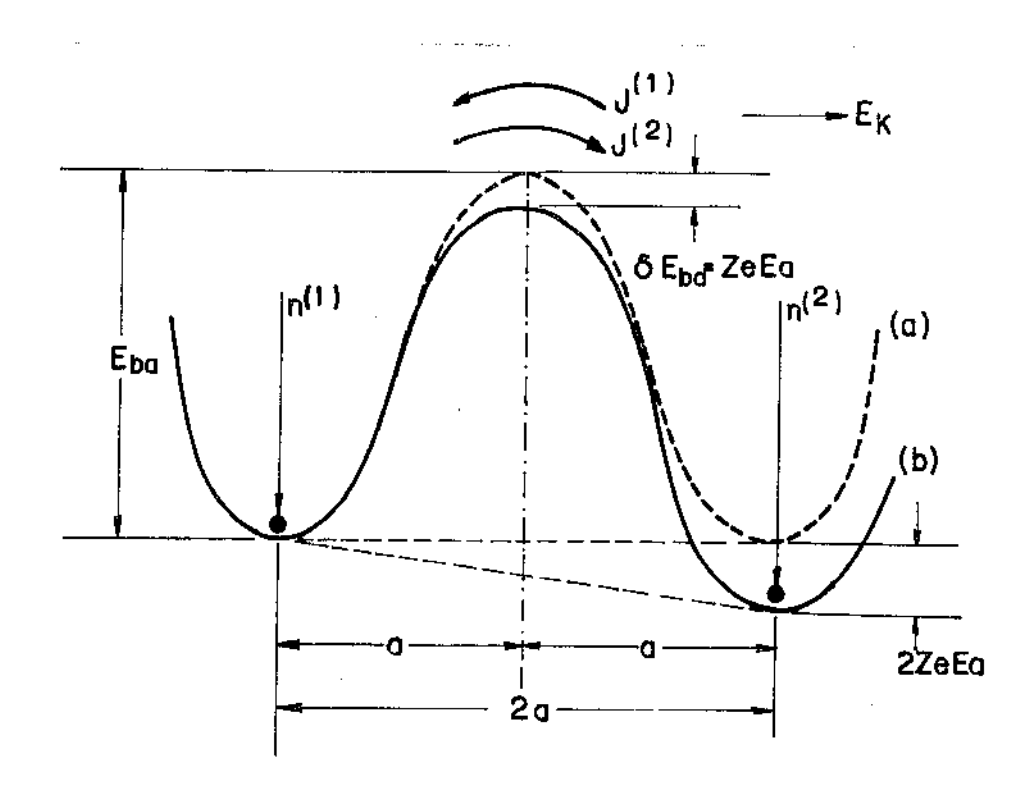


Figura 2.14- Energia de migração de íons num filme de óxido em função da distância da superfície. a) Sem campo elétrico; b) com cam po elétrico E (75).

$$vexp \left[\frac{-E_{ba} - ZeEa}{kT} \right]$$
 (2.13)

numa direção e por:

$$vexp \left[\frac{-E_{ba} + ZeEa}{KT} \right]$$
 (2.14)

na direção oposta. Nas expressões (2.13) e (2.14),

E_{ba} = altura da barreira de energia;

e = carga eletrônica;

Ze = carga da partícula;

E = campo elétrico;

k = constante de Boltzmann;

T = temperatura;

ν = frequência de salto;

Ea = largura da barreira de energia.

Se n⁽¹⁾ representa o número de partículas carreg<u>a</u> das por unidade de área na posição 1, e n⁽²⁾ o número corre<u>s</u> pondente de partículas do outro lado da barreira, então o fl<u>u</u> xo total de partículas carregadas é dado por:

$$J = J^{(1)} - J^{(2)} = n^{(1)} \text{ vexp } \frac{-(E_{ba} - NeEa)}{kT} - n^{(2)} \text{ vexp } \frac{-(E_{ba} + ZeEa)}{kT}$$
(2.15)

onde $J^{(1)}$ = fluxo de partículas que sai da posição l; e $J^{(2)}$ = fluxo de partículas que sai da posição 2.

Se a diferença $n^{(1)}-n^{(2)}$ é aproximadamente zero a equação do fluxo fica:

$$J = 2n^{(1)} \operatorname{vexp} \frac{-E_{ba}}{kT} \operatorname{sen } h \frac{\operatorname{ZeEa}}{kT}$$
 (2.16)

Se

$$E > \frac{|\mathbf{kT}|}{|\mathbf{Zea}|}$$
 vem:

$$J = n^{(1)} - vexp = \frac{-E_{ba}}{kT} exp = \frac{ZeEa}{kT}$$
 (2.17)

No caso em que $E \sim \left| \frac{kT}{Zea} \right|$ vem que:

$$J = K.E \tag{2.18}$$

onde

$$K = \frac{2Zea}{kT} n^{(1)} vexp \frac{-E_{ba}}{kT}$$
 (2.19)

Considerando-se o caso limite do campo elétrico nu lo, o fluxo de corrente será devido à diferença de concentração n $^{(1)}$ -n $^{(2)}$. Logo:

$$J \simeq \left| n^{(1)} - n^{(2)} \right| \operatorname{vexp} \frac{-E_{ba}}{kT}$$
 (2.20)

O crescimento do filme anódico pode ocorrer pelo transporte de cátions ou de ânions ou dos dois simultaneamen te, através do filme de óxido. A Figura 2.15 ilustra esquema ticamente dois casos possíveis sendo: (a) devido ao transpor te de cátions metálicos e ânions de oxigênio, (b) devido ao transporte de cátions metálicos e de vacâncias de átomos metálicos.

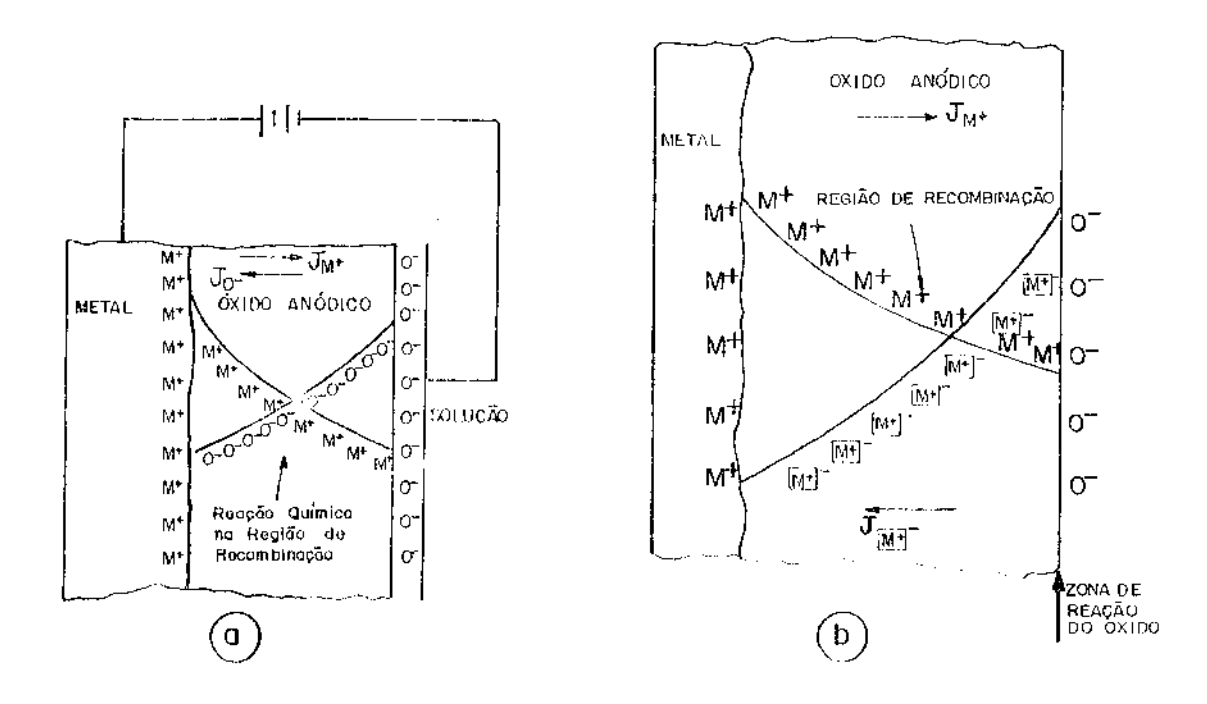


Figura 2.15- Perfil de concentração para crescimento de filme anódico. a) migração cátion e ânion intersticial; b) migração de cátion e vacância (75).

Segundo Vetter (38), num sistema composto de um metal, um filme passivo e um eletrólito, pode-se ter diversas reações possíveis, como representado na Figura 2.16.

Na Figura 2.16, o equilibrio representado por $\alpha(1,2a)$ e $\beta(2b,3)$ na presença do equilibrio $\alpha(2a,2b)$ e $\beta(2a,3b)$

Figura 2.16- Várias reações possíveis para um sistema metal-filme passi vo-eletrólito (38).

2b), dá o potencial de Flade. O equilíbrio entre 2a e 2b significa que não existe diferença de potencial através do óxido, $(\Lambda\phi=0)$, pois não se tem circulação de corrente. Qualquer diferença de potencial existente no filme passivo, pode ser representada de acordo com a Figura 2.17.

A relação entre a densidade de corrente iônica em função da intensidade de campo dentro do filme é dada pela se guinte equação $^{(38)}$:

$$i = i_O \exp \left(\frac{\alpha z F}{RT} \cdot a \cdot \frac{\Lambda \phi}{\ell}\right)$$
 (2.21)

onde: α = coeficiente de transferência;

z = carga da espécie iônica;

a = distância de salto;

 $\Delta \phi$ = diferença de potencial através do filme;

 ℓ = espessura do filme.

Considerando-se que a corrente contém somente uma componente iônica (corrente eletrônica nula), a variação da espessura do óxido pode ser dada por (38):

$$\frac{d\ell}{dt} = \frac{1}{E} \frac{dE}{dt} \tag{2.22}$$

onde E = intensidade de campo através do filme.

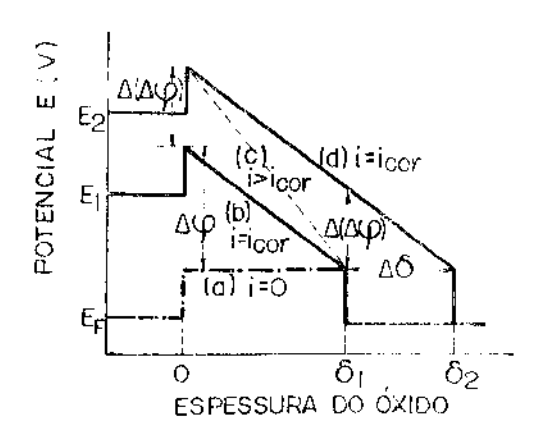


Figura 2.17- Diagrama esquemático do potencial através de um filme passivo. a) Potencial de Flade E_f (i=0); b) Potencial $E_1 = E_f$ (i = i_{corr} , espessura estacionária δ_1); c) Depois potencial aumentar para $E_2 + E_1 + E_f$ (i = i_{corr} , crescimento camada); d) Em E_2 (i = i_{corr} , espessura estacionária δ_2 , depois aumento $\Delta \delta$ (38).

2.4.2- Dissolução de Oxidos

A manutenção do estado passivo depende das .caracte rísticas elétricas e eletrônicas do filme e de sua estabilida de no meio. Para descrever corretamente qualquer processo de dissolução, é necessário conhecer a composição e o estado cristalino do óxido. Por exemplo, é importante saber se se trata de um óxido estequiométrico ou não estequiométrico, se existe

ou não átomos estranhos na estrutura do óxido base, como esses átomos poderão afetar a dissolução, etc.

No fenômeno de dissolução devem ser considerados tam to os estados superficiais como as características internas do óxido superficial, principalmente quando apresentarem de feitos estruturais, como posições vacantes ou fons intersticiais. Estes aspectos são particularmente importantes quando o óxido superficial for um semicondutor.

O caráter iônico ou covalente do óxido determina a energia de ativação necessária para a dissolução, influindo na velocidade de dissolução superficial. O tipo de ligação influi também nas características internas do filme, devido aos fenômenos de difusão e migração de fons no seio do filme superficial. Dessa forma, as principais características estruturais do óxido que influem no fenômeno de dissolução são:

- presença de defeitos na estrutura do óxido;
- grau de covalência da ligação MO;
- presença de íons estranhos;
- existência de sítios preferenciais de dissofução nos planos cristalográficos;
- anisotropia devido aos planos cristalográficos.

Geralmente, as reações que ocorrem sobre um metal recoberto com um óxido, podem ser resumidas em três casos:

- a) Para óxidos com espessura menor do que 30 Å, α efeito de tunelamento de elétrons pode ocorrer α .
- b) Para espessura maior do que 100 Å, mas menor do que a espessura da camada de carga espacial, as cinéticas ligadas ao filme de óxido são funções das propriedades do metal base, do óxido e das interfaces metal óxido e óxido solução (39). Este fato aplica-se melhor em condições galvanostáticas, que são condições de crescimento do óxido bastante drásticas. Em

alguns casos de crescimento do óxido em condições potenciodinâmicas, que são pouco citadas na literatura, pode ocorrer de filmes de espessura da ordem de 20 Å, se enquadrarem nesta si tuação. Essas condições de crescimento não são drásticas e se assemelham mais ao que ocorre realmente num processo cor rosivo.

c) Quando a espessura do óxido for muito maior que a camada de carga espacial, a cinética da reação independe do metal base, dependendo somente da interface óxido solução, do movimento das partículas necessário para o crescimento do fil me e das propriedades semicondutoras do filme de óxido (76).

Para óxidos predominantemente iônicos, em geral en volvem somente a transferência de fons da interface óxido-so lução, sob a influência de um campo elétrico, e a dissolução é classificada como química não oxidativa (76). Isto ocorre à medida que o estado de oxidação do metal for o mesmo no óxido e na solução.

Os óxidos covalentes envolvem uma forma de transferência de carga na dissolução, que é classificada como ele troquímica, se esta transferência de carga é determinante na cinética. Neste caso, o estado de oxidação do metal no óxido e na solução é diferente. O processo de dissolução eletroquímica pode ser oxidativo ou redutivo, dependendo do tipo de óxido (76).

Para um óxido do tipo MO pode-se escrever:

$$MO + 2H^{+} \rightarrow M^{2+} + H_{2}O$$
 (química não oxidativa) (2.23

$$MO + 2H^{+} \longrightarrow M^{2+} + H_{2}O$$

$$M^{2+} \longrightarrow M^{+3} + e \qquad (quimica oxidativa)$$

$$MO + 2H^{+} \longrightarrow M^{+3} + H_{2}O + e$$

$$MO + 2H^{+} \longrightarrow M^{2+} + H_{2}O$$

$$M^{2+} + e \longrightarrow M^{+} \qquad (quimica redutiva)$$

$$MO + 2H^{+} + e \longrightarrow M^{+} + H_{2}O$$

Dois outros mecanismos de dissolução dos óxidos são possíveis:

a)
$$2H^+ + 2e \longrightarrow 2H^O$$

 $2H^O + MO \longrightarrow M + H_2O$
resultando: $MO + 2H^+ + 2e \longrightarrow M + H_2O$
(combinação átomo de hidrogênio-óxido) (2.26)

b) MO +
$$2\Pi^+$$
 + $2e \longrightarrow M + \Pi_2O$ (mecanismo de estado sólido) (2.27)

A Tabela II.3 formece um critório de diagnóstico para a redução eletroquímica, em termos do coeficiente de transferência anódico e catódico (40).

Esta tabela não permite distinguir entre um mecanismo e outro, sendo necessária a aplicação de outros critérios.

As condições que favorecem uma dissolução de estado sólido são:

a) Uma densidade de corrente de troca relativamente alta para a reação global, em relação à corrente de troca global da dissolução química não oxidativa.

Tabela II.3- Critério de diagnôstico da redução eletroquímica de câtions em termos do coeficiente de transferência anódico (α_c) e cations tódico $(\alpha_c)^{(a)}$ (40).

Reação Geral	Etapa Determinante da Velocidade	αa	b a	$\alpha_{\rm c}$	Ьс
	Etapa de hidratação	2	0,030	0	re
	Etapa solução	2	0,030	0	eχ
$MO + 2H^{+} + 2e \rightarrow M + H_{2}O$	$M^{2+} + e \rightarrow M^{+}$	1,5	0,040	0,5	0,120
_	M + (2 > M	0,5	0,120	0,5	0,040
	Etapa de hidratação	2	0,030	0	α
$MO + H_2O + 2e \rightarrow M + 20II$	$M(OH)_2 + e \rightarrow MOH + OH$	1,5	0,040	0,5	0,120
_	$MOH + e \rightarrow M + OH$				

⁽a) Fator de simetria β considerado como 0,5.

- b) Um óxido com caráter iônico e alto "band gap", como indicado na Figura 2.18a. Pode-se observar que para um alto "band gap", existe uma baixa densidade de estados de energia, que podem ser ocupados pelos elétrons da banda de valência do semicondutor. Este fato faz com que a corrente de redução seja praticamente nula, favorecendo a dissolução de estado sólido. No caso de um baixo "band gap", indicado na Figura 2.18b, existe maior disponibilidade de estados de energia desocupados a serem preenchidos pelos elétrons da banda de valência, o que implica numa corrente de redução significativa.
- c) Um óxido que não seja predominantemente iônico e que tenha alguma característica que retarde a reação de evolução de hidrogênio.
- d) Uma baixa mobilidade eletrônica no óxido, como ocorre em alguns casos de metais de transição (40), de acordo com o indicado na Figura 2.18c. Nesse caso, mesmo para um baixo "band gap", a corrente de redução é praticamente zero

pois fica controlada pela baixa condutividade eletrônica do óxido.

No caso da dissolução do óxido sem alteração no estado de oxidação do cátion ou do ânion (dissolução não oxidativa), as características eletrônicas do óxido têm pouca importância na determinação da cinética de sua dissolução, mas osfatores cristalográficos e intensidade de ligações do tipo M-O ou M-OH, seguem tendo influência apenas na superfície do óxido.

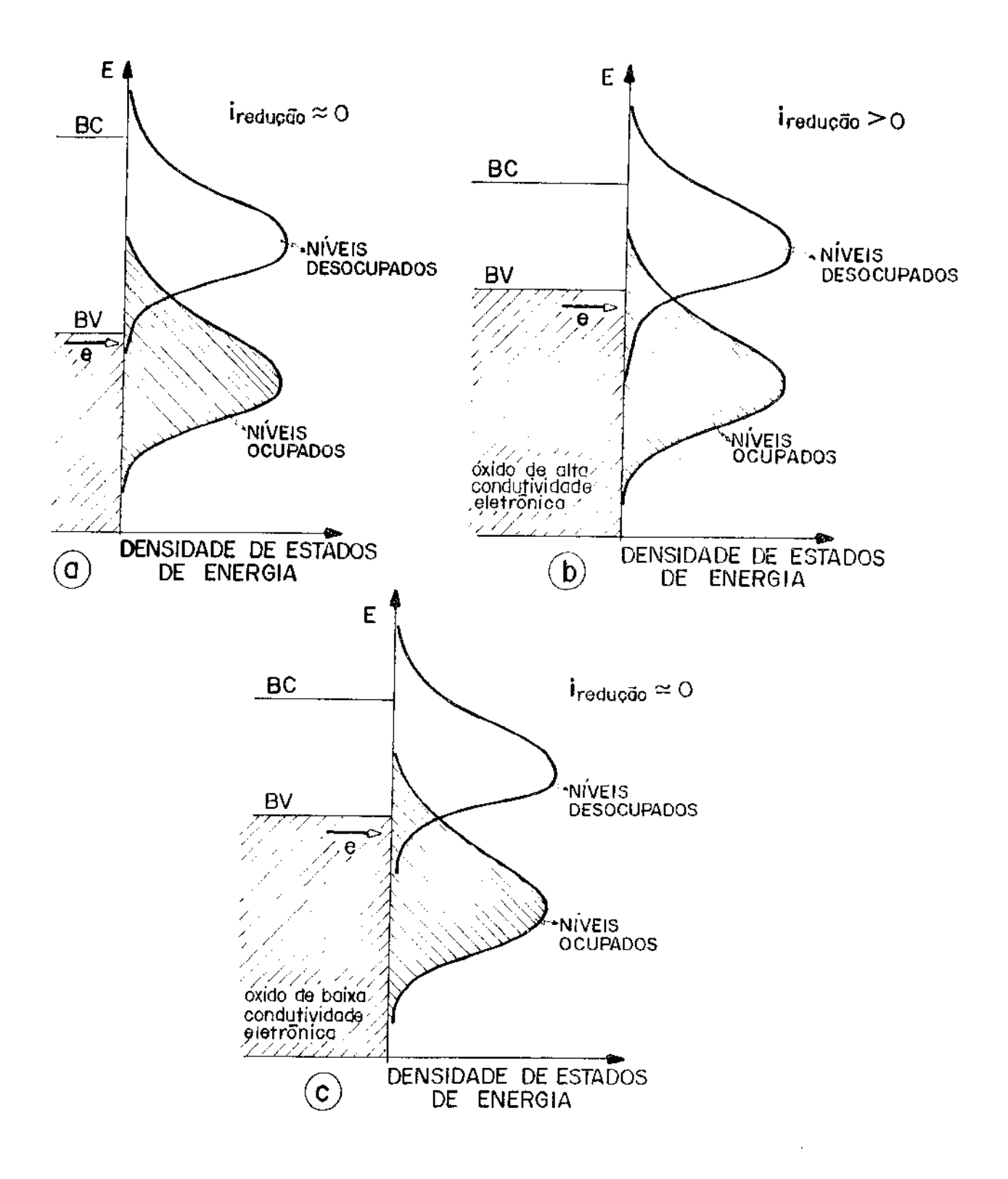


Figura 2.18- Condições que favorecem dissolução de estado sólido. a) Efei to do band gap; b) Efeito condutividade eletrônica do óxido. Os estados de energia na solução podem ser representados pela reação 2H⁺ + 2e \rightarrow H₂ em meio ácido e por 2H₂O + 2e \rightarrow H₂ + 2OH em meio neutro ou alcalino; c) Baixa condutividade eletrônica.

3- REVISÃO BIBLIOGRÁFICA

A formação e a estabilidade dos filmes de óxidos su perficiais, crescidos eletroquimicamente sobre as superfícies metálicas, tem tido um crescente interesse científico e tecno lógico. A resistência à corrosão dos materiais metálicos que sofrem o fenômeno de passivação, depende diretamente das características e propriedades desses filmes de óxido superficiais. Este capítulo tem como objetivo relatar alguns dos principais trabalhos que discutem a formação, estabilidade, características e ruptura dos óxidos superficiais formados sobre superfícies metálicas.

3.1- Passivação do Lenno

A passivação de metais tem sido muito estudada, sem do que o ferro tem recebido especial atenção. Ebersbach, Schwabe e Ritter (71) estudaram a cinética do processo de passivação para os metais Ferro, Níquel e Cobalto em soluções aquosas, usando medidas potenciostáticas. Segundo esses autores, o fenômeno de passivação pode ser visto como um processo competitivo entre reações de formação do filme de óxido anódico e as reações que removem o óxido superficial da superfície metálica, representadas respectivamente por:

Me +
$$H_2O \longrightarrow MeOH + H^+ + e^-$$
 (3.1)

Me +
$$H_2O \longrightarrow MeOH^+ + H^+ + 2e$$
 (3.2)

$$Me + H_2O \longrightarrow MeO + 2H^+ + 2e$$
 (3.3)

$$MeO + 2A^{-} + H_{2}O \longrightarrow MeA_{2} + 2OH^{-}$$
 (3.4)

Essas reações poderiam ocorrer simultaneamente, sendo que, uma delas seria favorecida em função do potencial e da concentração dos reagentes levando a uma dissolução ativa (equação 3.2), ou a uma passivação (equações 3.1, 3.3 e 3.4).

Os autores propõem que

$$i = (i_1 + i_2) (1-0)$$
 (3.5)

onde: i = densidade de corrente anódica total;

i_l = densidade de corrente para dissolução ativa;

i₂ = densidade de corrente devido ao processo de passivação, na região não passivada;

0 = fração da superfície passivada.

e que

$$\left(\frac{\partial \theta}{\partial t}\right)_{E, a_{D}^{-}, a_{H}^{+}} = C i_{2}(1-\theta) - K\theta - B\theta \qquad (3.6)$$

onde: C é a área coberta por Coulomb;

 $B = f_B(a_H^+)$ é a taxa de degradação da camada passiva, devido ao pH do meio;

 $K = \phi(a_{\Lambda}^{-})$ é a velocidade de degradação da camada passiva devido à presença do ânion Λ^{-} .

T. P. Hoar ⁽⁴¹⁾ propôs em 1970, que as reações totais

necessárias para produzirem um óxido ou uma base de metal b<u>i</u> valente, podem ser representadas por:

$$M + 2H_2O \longrightarrow M(OH)_2 + 2H_{aq}^+ + 2e$$
 (3.7)

$$M + H2O \longrightarrow MOsólido + 2H+aq + 2e$$
 (3.8)

Sugere que o fenômeno de adsorção é a primeira eta pa de todo processo heterogêneo que ocorra numa interface me tal/solução. A natureza do complexo metal-adsorbato, determina a passivação ou a dissolução do metal. Em soluções aquo sas diluídas, a água é o adsorbato na interface metal-solução, com os dipolos orientados de acordo com o potencial do eletro do, como indicado na Figura 3.1.

Figura 3.1- Adsorção de água sob condições: (a) anódica; (b) catódica (41).

Vetter e Corn $^{(42)}$ observaram que o ferro passivo é coberto por uma camada não porosa de $\mathrm{Fe_3O_4/\gamma\text{-}Fe_2O_3}$ com espessura de 20 a 40 Å. Para potenciais mais positivos do que o potencial de Flade, a composição do óxido passivante em contato com o eletrólito seria $\gamma\text{-}\mathrm{Fe_2O_3}$. Este filme de óxido passivo poderá ser dissolvido em soluções ácidas, de tal forma que a dissolução da camada no eletrólito, será compensada por uma corrente de corrosão denominada $\mathrm{i_c}$. Este processo de dissolu

ção envolve a migração de ions de ferro através da camada pas siva, provocada por um campo elétrico da ordem de 10⁷ V/cm. A reação global de transferência de ions metálicos na interface óxido solução, pode ser representada pela reação:

$$Fe^{3+}$$
 $\xrightarrow{\text{findo}}$ Fe^{3+} ag. (3.9)

A reação (3.9) corresponde à corrente de corrosão i. Paralelamente ao processo de corrosão, ocorre a reação:

$$^{\text{H}}_{2}^{\text{O}}$$
 aquoso $\frac{i_{\ell}>0}{i_{\ell}<0}$ 0^{2-} oxido $+2\text{H}^{+}$ aquoso (3.10)

A corrente i_{ℓ} representa a corrente total dessa reação, sendo que $i_{\ell}>0$ significa que a reação total relativa a (3.10) ocorre no sentido da formação da camada de óxido, isto é,

$$\left|i_{\ell}\right| > \left|i_{\ell}\right|$$
 (3.11)

Se i $_\ell$ <0 a reação total relativa a (3.10) ocorre no sentido de remoção da camada de óxido e portanto

$$\left|i_{\ell}^{+}\right| < \left|i_{\ell}^{-}\right| \tag{3.12}$$

As relações (3.11) e (3.12) levam em consideração o fato que

$$i_p = i_p^+ - i_p^-$$
 (3.13)

Com base nestas considerações, pode-se descrever a corrente total da seguinte forma:

$$i = i_C + i_{\ell}$$
 (3.14)

Sob condições estacionárias, a espessura da camada de óxido deve ser constante, de tal forma que para a densida de de corrente de corrosão estacionária $i_{c,o}$, o valor de i_{ℓ} é zero. O valor de $i_{c,o}$ é independente do potencial de eletro do $^{(77)}$ e pode ser determinado analiticamente. A densidade de corrente i_{c} também independe do potencial do eletrodo $^{(78)}$. Os valores de i_{c} e $i_{c,o}$ dependem no entanto, da diferença de p_{c} tencial filme-solução, que pode ser variada pela condição gal vanostática.

A corrente de corrosão pode ser expressa como:

$$i_{c} = i_{c,0} \exp \frac{\alpha_{c}^{+} F}{RT} \eta_{2,3}$$
 (3.15)

onde: $\eta_{2,3}$ = sobretensão na interface óxido solução; $\alpha_c^+ = \text{coeficiente de transferência de carga aparente.}$ Por outro lado, tem-se:

$$i_{\ell} = i_{\ell,0} \left[\exp \left(\frac{\alpha_{\ell}^{+} F}{RT} \eta_{2,3} \right) - \exp \left(-\frac{\alpha_{\ell}^{-} F}{RT} \eta_{2,3} \right) \right]$$
 (3.16)

Considerando as equações (3.15) e (3.16) pode-se escrever:

$$i_{\ell} = i_{\ell,0} \left[\left(\frac{i_{C}}{i_{C,0}} \right)^{\alpha_{\ell}^{+}/\alpha_{C}^{+}} - \left(\frac{i_{C}}{i_{C,0}} \right)^{-\alpha_{\ell}^{-}/\alpha_{C}^{+}} \right]$$
(3.17)

Os valores de $\alpha_{\rm c}^{+}$ podem ser calculados pela expressão $^{(78)}$:

$$\frac{d \ln i_{O,C}}{d p H} = - \kappa_{C}^{+} \qquad (3.18)$$

Para medir os valores de i_{ℓ} utilizou experiências qualvanostáticas de acordo com a Figura 3.2.

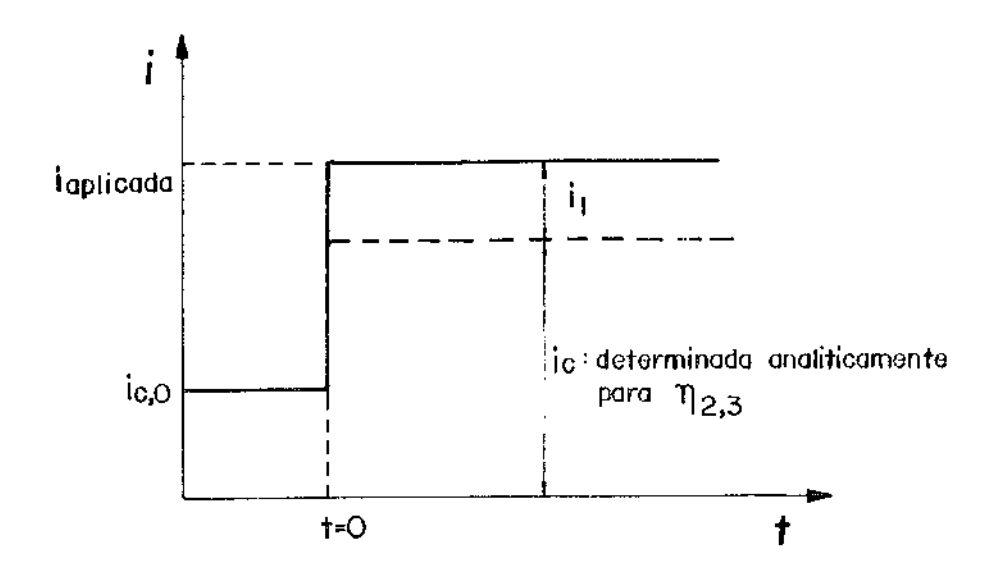


Figura 3.2- Condições galvanostáticas para determinação de \mathbf{i}_{ℓ} .

Dessa forma, conhecido $i_{C,O}$, i_{C} e i_{ℓ} obteve a Figura 3.3, baseado na equação (3.17), para dois diferentes valores de pH.

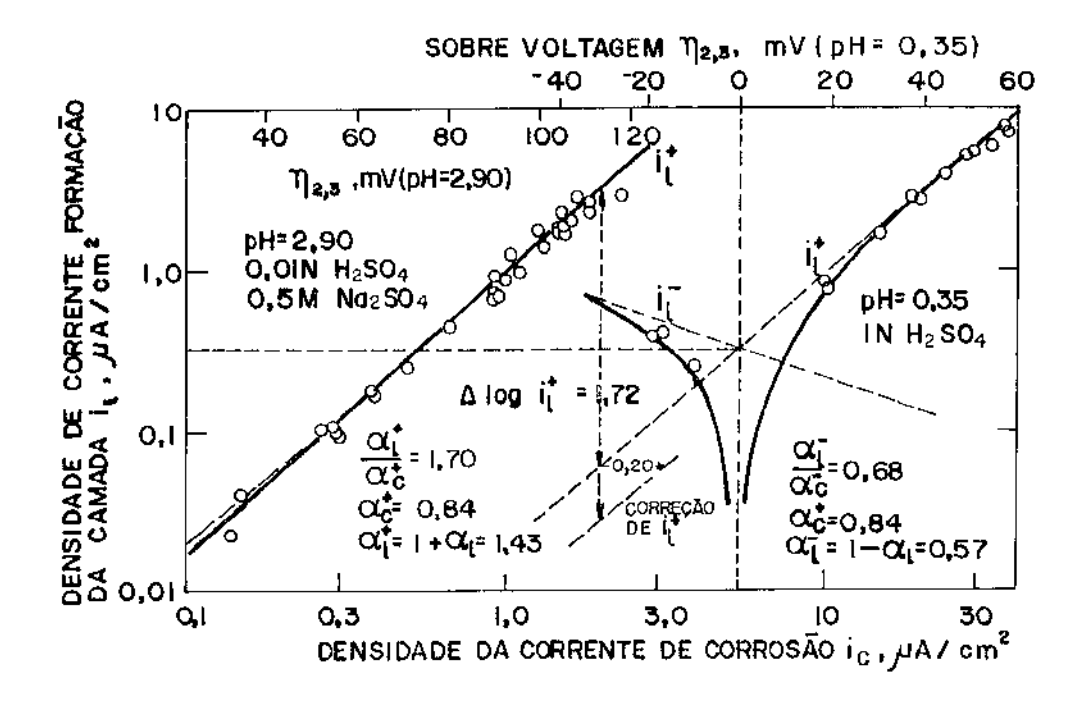


Figura 3.3- Densidade de corrente i_ℓ para formação da camada passiva em função da corrente de corrosão não estacionária $^{(42)}$.

As reações

$$O^{2-}$$
 (óxido) + H^{+} (solução) OH (ox) (3.19)

 OH^{-} (ox) + H^{+} (solução) OH^{-} (sol)

estão relacionadas com o coeficiente de transferência α_ℓ^- e en volvem um equilíbrio químico.

A reação

$$^{\rm H}_{\rm 2}^{\rm O}({\rm solução})$$
 $^{\rm OH}_{\rm Oxido}$ $^{\rm + H}_{\rm (solução)}$ (3.20)

está relacionada com o coeficiente de transferência $\alpha_\ell^+.$

Considerando que o número de elétrons envolvidos na reação é 2 e que $\alpha_\ell^-=0.57$ e $\alpha_\ell^+=143$, supõe que a barreira de energia da reação (3.20) é simétrica.

Ogura e Sato (43) estudaram o fenômeno de dissolução catódica do filme passivo sobre o ferro usando técnica galva nostática e potenciodinâmica, considerando a reação:

$$Fe_{2}^{O_{3}} + 6H^{+} + 4e^{-} \longrightarrow Fe^{2+} + Fe + 3H_{2}^{O}$$
 (3.21)

Observaram que para diferentes velocidades de varredura, as curvas de polarização apresentaram forte dependência com o pH. A Figura 3.4 mostra as curvas de polarização para dois valores de pH.

Essas curvas representam a redução catódica do filme passivo, após envelhecimento eletroquímico a +0,7 V (SCE) durante 30 minutos. Os desenhos menores representam uma ampliação da curva de polarização na região correspondente ao primeiro pico. Para pH igual a 9,0, o primeiro pico (Ep₁)

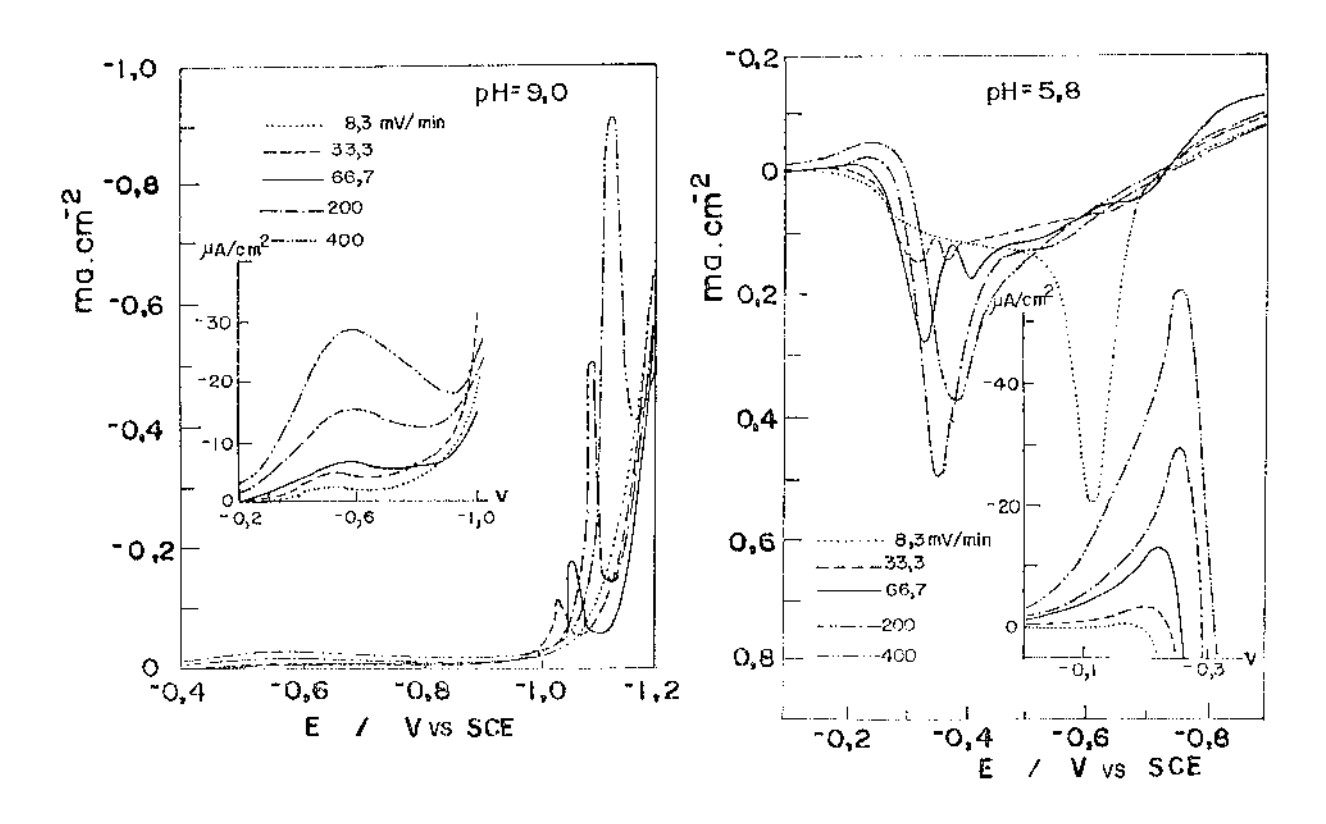
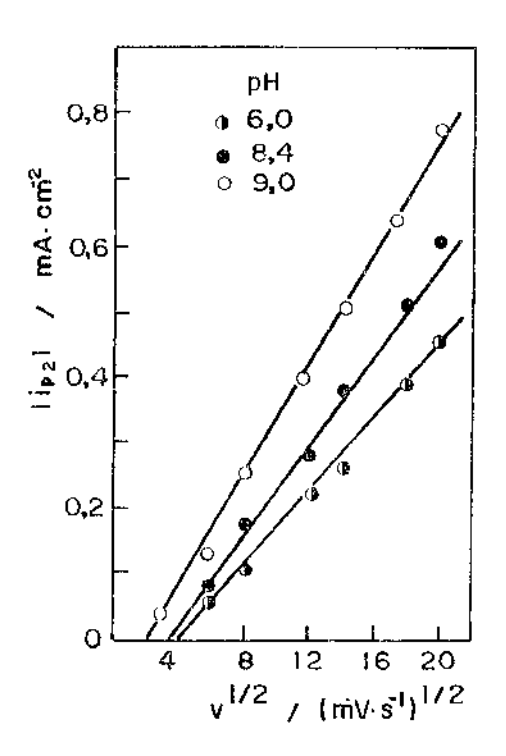


Figura 3.4- Curvas de polarização potenciodinâmica para o ferro a diferentes velocidades de varredura em solução de fosfato de potas sio 0,1 M mais tetraborato de sódio 0,05 M como solução tam pao para diferentes valores de pH (43).

aparece a -0,55 V e é aproximadamente independente da veloc \underline{i} dade de varredura. O outro pico (E_{p_2}) ocorre entre -1,02 e -1,14 V e é dependente da velocidade de varredura. O primeiro pico é atribuído à redução do óxido férrico.

Para pH igual a 5,8, o primeiro pico ocorre entre -0,16 e -0,26 V, enquanto que o segundo não fica definido em qualquer potencial antes da evolução de hidrogênio. Para esse pH, na faixa de potenciais compreendida entre -0,2 a -0,7 V, passa uma corrente anódica, atribuída à dissolução anódica do metal base, confirmada por análise colorimétrica. A forma desses picos anódicos é complicada sendo difícil estabelecer uma relação com a velocidade de varredura.

A intensidade de corrente do segundo pico (i_{P_2}) que aparece a potenciais mais catódicos, apresenta uma relação $l\underline{i}$ near com $v^{1/2}$, como pode ser observado na Figura 3.5.



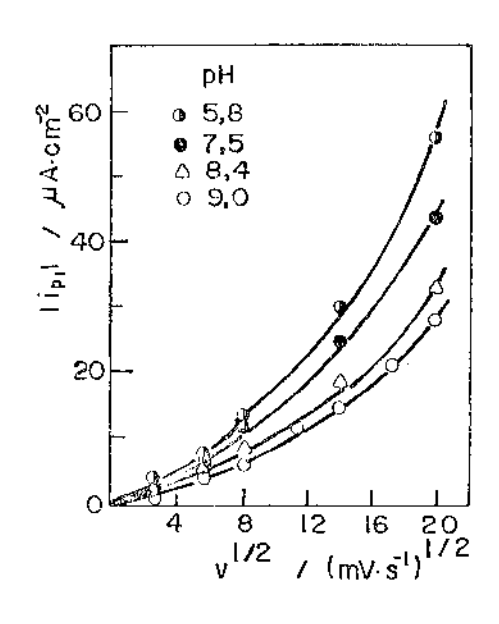


Figura 3.5- Relação entre intensidade de pico versus $v^{1/2}$ (43).

Através da relação linear da intensidade de corrente de pico com v^{1/2}, sugere que a reação é controlada por difusão, sem assinalar de qual espécie iônica. A intersecção das curvas com a abcissa a um valor diferente de zero, pode significar que um tempo de indução é necessário antes da reação no eletrodo ser controlada por difusão. Este tempo de indução foi observado para a passivação anódica do ferro e foi atribuído à transferência de carga que é a etapa controladora do processo no estágio inicial de passivação.

Aparentemente Ogura e Sato atribuíram o fenômeno à difusão de H^+ , tendo em conta as equações de Nicholson e Shain $^{(79)}$. D'Alkaine $^{(69)}$ propôs uma interpretação diferente de Nicholson e Shain para a relação i_{p} versus $\text{v}^{1/2}$, para o

caso de filmes passivantes. Neste último caso, o modelo cor responde ao fenômeno de migração dos fons dentro do filme passivante.

A não linearidade observada para o outro pico, indica que a reação no eletrodo é controlada por um processo de transferência de carga. Esta relação no entanto pode ser $1\underline{i}$ nearizada considerando i_p versus v. Neste caso D'Alkaine $^{(80)}$ tem proposto um modelo teórico para este fenômeno.

Seo, Matsumura e Sato (44) estudaram o efeito da adição de titânio na corrosão do Ferro, mostrando o efeito do Titânio no filme de óxido superficial.

Observaram que a adição de 3% de Titânio reduz de 1/5 a corrente dentro da região passiva.

A análise de superfície por técnica "Auger Electron Spectroscopy" (AES), indicou um enriquecimento da camada ex terna do óxido com Titânio, como indicado na Figura 3.6.

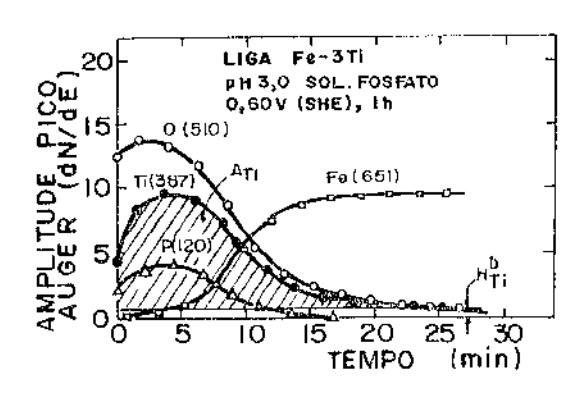


Figura 3.6- Perfil de concentração para liga Fe-3%Ti oxidado anodicamente por 1 hora a 0,60 V (SHE) em solução de fosfato com pH igual a 3,0⁽⁴⁴⁾.

Define a quantidade de Titânio enriquecido no filme, $\Delta M_{\mathrm{Ti}}\text{, como:}$

$$\Delta M_{Ti} = \frac{\Lambda_{Ti}}{H_{Ti}^b}$$
 (3.22)

onde: A_{Ti} = área achuriada na Figura 3.6, relativa ao perfil de concentração do Titânio;

 H_{Ti}^{b} = amplitude do pico Auger relativo ao Ti, correspondente a composição do metal base.

O valor de AM_{Ti} está representado na Figura 3.7 em função da carga elétrica que passa pelo eletrodo sujeito à dissolução ativa. Nesta figura, o gráfico pequeno indica a corrente galvanostática de passivação para um dos pontos do gráfico maior da Figura 3.7. Verifica-se uma proporcionalida de entre essas grandezas, sugerindo que o enriquecimento de Titânio no filme passivo está diretamente relacionado com a quantidade de dissolução ativa da amostra. Observou por ab sorção atômica, que a quantidade de Perro em solução aumenta com a carga durante a dissolução ativa, enquanto que não foi detectada a presença de Titânio.

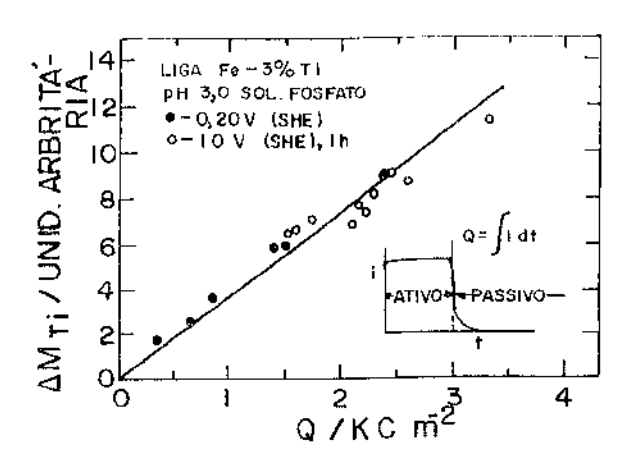


Figura 3.7- Relação entre AM_{Ti} e carga eletrica para Fe-3%Ti sujeita dissolução ativa ou passivação (44).

3.2- Modelos de Filmes Passivos Semicondutores

Segundo Schultze e Habib (45) o processo de inibição num eletrodo, pode ocorrer devido à formação de um filme pas sivo com espessura maior do que 3 Å. Os modelos propostos para a formação dessas camadas superficiais estão representados na Figura 3.8. Nesta figura, o desenho a indica o estágio inicial de formação da camada de óxido (A) no caso de uma mo nocamada (B) e de várias camadas (C). O desenho b apresenta uma camada homogênea sem poros (D), um óxido duplo (E) e um óxido poroso (F). O efeito da diminuição da corrente está relacionado com uma interação eletrostática entre o eletrólito e a camada de óxido superficial (81,82). A influência dessas camadas superficiais na cinética do eletrodo pode ser devida à reações do tipo:

- a) reações de transferência de elétrons (83);
- b) reações de transferência de ions (38);
- c) reações óxido-redução envolvendo a formação e ruptura de ligações químicas (84).

Estes óxidos superficiais, são geralmente semicondu tores ou isolantes e nesse caso o efeito de tunelamento de elétrons deve ser esperado. Para superfícies sólidas, constituídas de vários planos cristalinos, a cinética das reações de transferência de elétrons são independentes da orientação cristalográfica, mas as reações de transferência de fons e reações redox são fortemente dependentes do plano cristalino (85).

A estrutura eletrônica do óxido superficial pode alterar a cinética da reação de transferência de elétrons por várias ordens de grandeza, dependendo da espessura do óxido,

banda proibida e concentração de doadores e receptores. Propõem que a implantação de fons metálicos no óxido, pode alterar as características semicondutoras da camada de óxido su perficial permitindo uma alteração na cinética das reações a, b e c citadas anteriormente.

Para superfícies sólidas a influência de heteroge neidades pode trazer complicações, desde que cada plano cristalino deve ser tratado separadamente. Para reações com diversas etapas, deve-se fazer uma análise do sistema como um todo, determinando a estrutura superficial, recobrimento e parâmetros como coeficiente de transferência de carga anódica, entalpia de ativação, grau de recobrimento, etc.

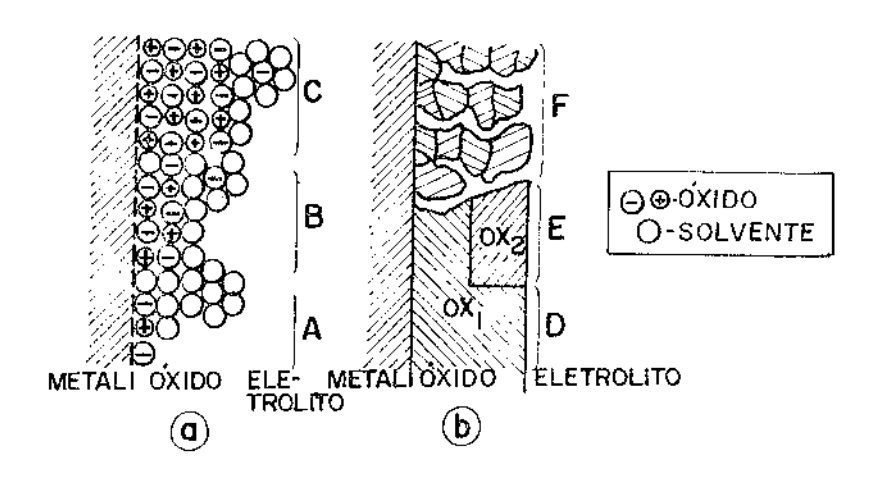


Figura 3.8- Esquema de camadas de óxido. (a) Estágio inicial de formação da camada de óxido (A), dupla camada (B) e várias camadas (C); (b) Camada homogênea sem poros (D), óxido duplo (E) e camada porosa (E) (45).

De acordo com Stimming e Schultze $^{(46)}$ a camada pas siva sobre o Ferro consiste de uma camada interna de $\mathrm{Fe_3O_4}$ e uma camada externa de $\mathrm{\gamma Fe_2O_3}$, cuja espessura $(10\text{-}40\ \text{Å})$ depende de do potencial de eletrodo. O óxido interno $\mathrm{Fe_3O_4}$ tem uma condutividade próxima à dos metais, mas a camada externa de $\mathrm{\gamma - Fe_2O_3}$ pode comportar-se como semicondutor do tipo p, um

isolante ou mesmo um condutor do tipo n. A camada de γ -Fe $_2$ O $_3$ pode ser caracterizada por um potencial de banda plana igual a -0,1 V (vs ENH), banda proibida de 1,6 eV, constante dielé trica igual a 12 e concentração de doadores da ordem de 10^{20} cm $^{-3}$.

A estrutura de banda da camada passiva e seu comportamento eletroquímico, dependem fortemente do potencial de eletrodo e da espessura do óxido, como representado na Figura 3.9 para três diferentes potenciais em relação ao γ -Fe $_2$ 0 $_3$.

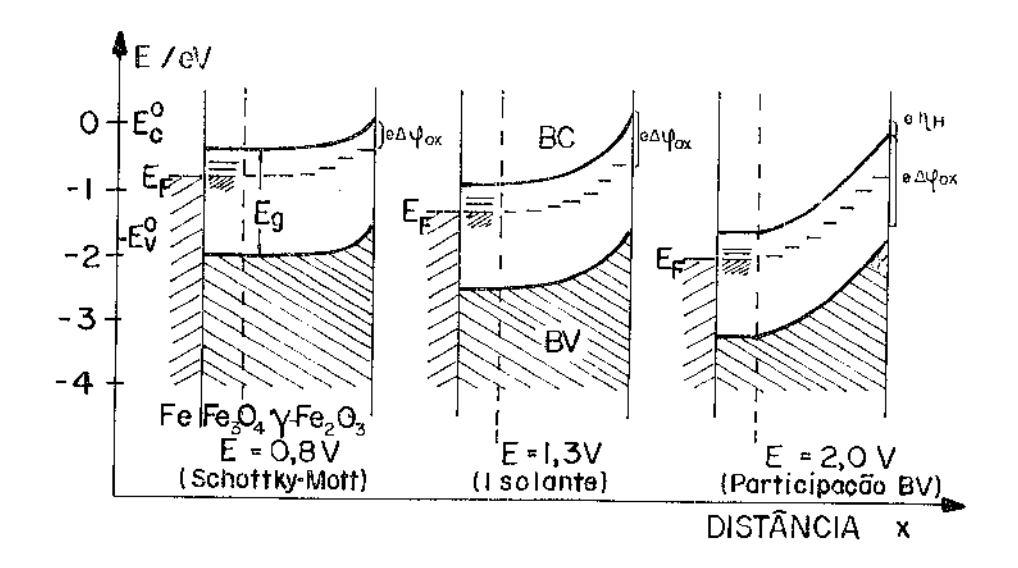


Figura 3.9- Modelo para estrutura de banda da camada passiva do Fe para três potenciais característicos (46).

Devido à condutividade quase metálica da camada de ${\rm Fe_3^{O}}_4$, considera-se muito grande o número de elétrons no nível de Fermi ${\rm E_F^{}}$. O potencial ${\rm E_C^{O}}$ representa a energia da banda de condução na superfície do semicondutor e é considerado como potencial de referência. Quando um semicondutor é colocado em contato com uma solução, o sentido do movimento de elétrons nessa interface depende da posição relativa do nível de Fermi do semicondutor em relação ao da solução. Quando o nível de Fermi do semicondutor estiver acima do da solução,

haverá um fluxo de elétrons no sentido do semicondutor para a solução. Isto faz com que o semicondutor fique com um exces so de cargas positivas, que dada as características do óxido fica distribuída numa região de carga espacial próxima a interface. O campo elétrico resultante da distribuição dessa carga espacial, promove o entortamento das bandas de condução e de valência para cima, no caso do semicondutor estar carregado positivamente.

Um excesso de elétrons na região de carga espacial, promove um movimento no sentido do seio do semicondutor numa direção consistente com o campo elétrico existente.

Para um potencial que não promova a distribuição de carga espacial no semicondutor, de maneira que o campo elétrico seja nulo as bandas não são entortadas. Este potencial é chamado de potencial de banda plana (flat-band potential). No caso da Figura 3.9a, para um potencial aplicado de 0,8V (hess) ocorre um entortamento indicado por $e \Lambda \phi_{\rm OV}$.

Nestas condições, a capacitância da camada de carga espacial obedece a seguinte relação, conhecida como equação de Mott-Schottky (73):

$$\frac{1}{c_{\text{sc}}^2} = \left(\frac{2}{e_{\text{t.f.}}N_{\text{D}}}\right) \left[-\Lambda\phi - \frac{kT}{e}\right]$$
 (3.23)

onde: C_{sc} = capacitância da camada de carga espacial;

 ε = constante dielétrica do semicondutor;

e = carga unitária do elétron;

T = temperatura absoluta;

 $N_{_{
m D}}$ = concentração de doadores;

 $-\Delta \phi = E - E_{bp}$;

E = potencial do eletrodo;

 $E_{\rm bp}$ = potencial de banda plana.

Para potenciais mais altos, como indicado na Figura 3.9b, para 1,3 V (hess), a camada externa comporta-se como um isolante e a capacitância torna-se proporcional ao inverso da espessura da camada de óxido (86).

Para potenciais muito altos, indicado na Figura 3.9c para 2,0 V (hess), o entortamento da banda de valência na su perfície do semicondutor é tão grande, que atinge níveis mais altos do que o nível de Fermi no seio do óxido, o que gera a criação de buracos na banda de valência na superfície do óxido.

3.3- <u>Caracterização de Filmes de Oxidos Superficiais sobre</u> <u>Aços Austeníticos</u>

Nos trabalhos pioneiros de T.N. Rhodin (47,48), os filmes de óxidos sobre aços inoxidáveis austeníticos foram caracterizados segundo espessura, estrutura, composição e observado o efeito do filme na resistência à corrosão, usando métodos químicos e difração de elétrons. Para filmes passivos muito finos, observou que a distribuição de elementos de liga, pode variar entre a liga e o filme de óxido. Observou que não ocorre significativo enriquecimento de Cromo e Ferro no filme passivo. No entanto, o filme se enriquece com Níquel e Silício. Este efeito pode ser observado na Figura 3.10 para o aço inoxidável 304.

A Tabela III.l apresenta a composição de filmes pa \underline{s} sivos para diferentes aços inoxidáveis.

Verificou que as propriedades do filme são partic \underline{u} larmente sensíveis à composição da liga, do meio corrosivo e

Tabela III.1- Composição de filmes passivos para diferentes aços inoxidáveis .

Tipo do Filme de	Natureza do Filmo	Método	[ਸ ਲ	a)	Cr	Ni	• 	Sį	ـــ ــ	N.		o _M	0
		Analítico	- 57 - 27	DP ²	24	DP	2	DP	57	DP	189	DF	<i>\$</i> ~2	DP
r-+	Tipo 304, espessura	Raio-X	37,2	4,0	13,4	2,0	9,4	1,2	:	-	:	:		
	do óxido, 30 Å	Químico	34,0	3,1	1,0	3,4	10,7	0,2	6,6	2,0	:	:	:	:
ı	īipo 316, espessura	Raio-X	42,1	3,2	12,6	0,7	4,9	9,0	:	:	:	:	(1, 2)	-
	do émido, 30 X	Químico	45,0	4,2	13,0	2,0	ં.	2,1	14,5	ω C1	:	:	4,2	1,1
J		Raio-X	45,4	4,2	17,7	3,0	7.7	8,0	:	:	(3,3)	:	(0,1)	:
	do óxido, 30 Å	Quimico	44,5	2,0	20,7	3,2	8,2	2,6	12,9	3,2	1 · ·	1,0	0,4	0,1
C1		Raio-X	15,0	2,0	5,5	3,7	3,8	0,2	:	:	:	:	:	:
	do óxido, 300 Å	Químico	15,1	2,6	9,94	0,0	0,4	0,5	3,3	0,1	:	:	:	;
C·1	Tipo 3:6, espessura	Raio-X	25,0	3,2	36,8	3,1	0,5	0,3	÷	:	:	:	(0,2)	
	de ómide, 300 Å	Químico	25,2	7,0	36,1	4,3	5,2	0,8	7,0	6,0	:	:	1,6	Ó
r)		Raio-X	24,8	2,8	36,1	2,1	2,2	0,1	:	:	:	:	:	:
	do Exido, 300 Å	Químico	25,0	3,2	35,2	ί, 1	2,2	0,1	2,0	0,2	c-l	:	0,3	;

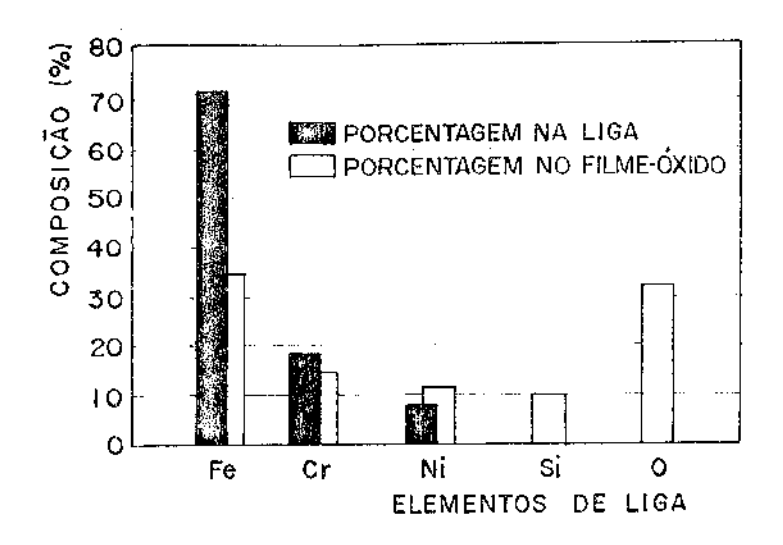


Figura 3.10- Comparação da composição do filme passivo e do aço 304⁽⁴⁸⁾.

tratamento superficial. Sugere que certos elementos de liga como Silício e Molibdênio, modificaram as características do filme no sentido de formar filmes mais resistentes à corrosão.

Shibata e Okamoto (70) estudaram a estabilidade filme passivo, formado por ataque químico em ${\rm HNO}_3$ ou ciostaticamente em diferentes soluções de $\Pi_2^{(SO)}$ 4, através medida do tempo de auto-ativação. Consideraram o tempo de auto-ativação como o tempo necessário para o decaimento do po tencial, desde o potencial de passivação até o potencial vre de corrosão. Concluiram que ocorre uma variação estrutu ral do filme passivo a um potencial crítico de ±0,4 V A máxima estabilidade do filme passivo é obtida a um cial de +0,32 V, e é explicada considerando um enriquecimento seletivo da superfície do óxido com Cromo. Observaram que quantidade de água de absorção no filme, é inversamente porcional ao tempo de auto-ativação. Considerando as de polarização dos metais Fe, Cr e Ni constituintes do aço inoxidável, propõem que a composição e a espessura do filme

passivo, dependem do potencial aplicado de acordo como indicado na Figura 3.11. A parte superior dessa figura representa um modelo do filme formado nas diferentes regiões de potenciais.

Okamoto e Shibata (72) estudaram a quantidade do água de ligação existente no filme passivo formado sobre o aço 304 em 1 N de $\rm H_2SO_4$, usando a técnica de traçador de radioisótopo. Verificaram que a quantidade de água diminui com o aumento do potencial de passivação e com o tempo. A quantidade de água desabsorvida (q) do filme superficial, aumenta com o tempo de acordo com uma expressão de tipo:

$$q = k \log t + c \tag{3.24}$$

onde k e c são valores constantes.

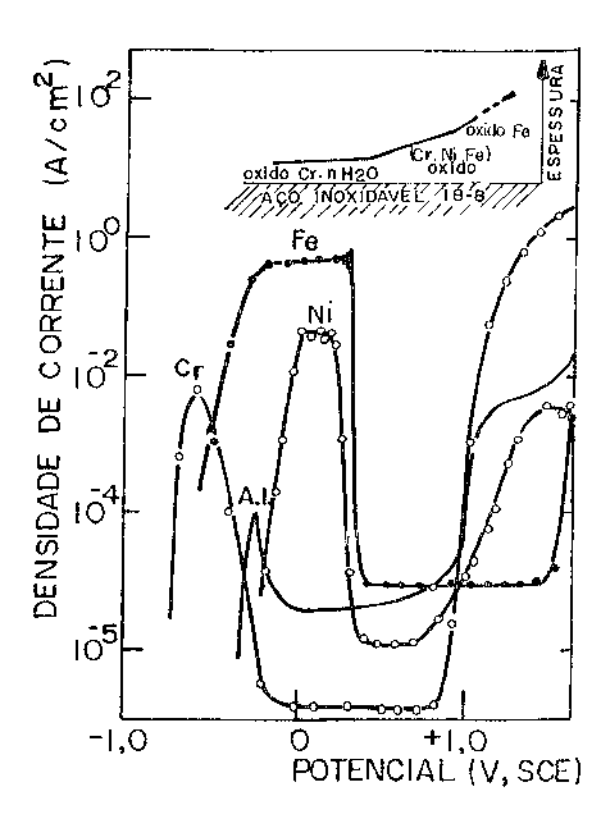


Figura 3.11- Curvas de polarização do aço inoxidável 18-8 e dos metaís Fe,

Cr e Ní. O esquema na parte superior da figura indica o mo

delo do filme formado nas diferentes regiões de potenciais (70).

Consideraram que o filme passivo contém dois diferentes tipos de água de ligação, dependentes do potencial de passivação. Os filmes formados a potenciais inferiores a 500 mV, absorvem a água em não mais que uma monocamada o que provocaria fácil desidratação. Por outro lado, os filmes forma dos a potenciais superiores a 500 mV, absorveriam água em todo o filme, dificultando a desidratação. Do ponto de vista da corrosão, os filmes de óxido mais difíceis de serem desidratados, são mais dificilmente dissolvidos em solução ácida. Este fato faz com que os filmes passivos formados a potenciais superiores a 500 mV, apresentem carior resistência à con rosão.

Okamoto (49) estudou comparativamente a natureza do filme formado sobre aço do tipo 18-8 e a condição eletroquímica para a formação do filme. Verificou que a variação de corrente pode ser expressa por:

$$i = i_0 \exp(\frac{\pi}{Q})$$
 (3.25)

onde: i = densidade de corrente a potencial constante;

Q = quantidade de carga total que passa através da in terface;

 α = constante dependente do potencial.

O valor de α sofre uma variação brusca a 0,4V (SCE), atribuída como uma mudança na dissolução seletiva de elementos da liga em função do potencial. Mediu por elipsometria a espessura do filme de óxido e admitindo um filme de óxido homogêneo calculou a capacidade através da equação:

$$C_{f} = \frac{\varepsilon}{4\pi\ell} \tag{3.26}$$

onde: ℓ é a espessura do filme e \sim a constante dielétrica do filme.

A capacidade diminui com a espessura até potencial de +0,6 V, e depois aumenta. Baseado neste fato, propõe circuito equivalente a dois capacitores em paralelo, um cor respondendo ao filme e o outro \tilde{a} adsorção de ânions. Estes f \underline{a} tos estão indicados na Figura 3.12. A adsorção de fons na i $\underline{\mathbf{n}}$ terface metal-filme nos poros do filme (fig. 12.b.ii), observada por técnica de absorção de infra-vermelho. Determi nou a variação do filme usando espectroscopia de elétrons (ESCA). A Figura 3.13 apresenta uma relação da altura dos pi cos relativos ao Cromo e ao Níquel, em relação à altura do pi co do Ferro obtido no espectro ESCA. Indica que a composição do filme depende da condição de sua formação, especialmente do potencial e tempo de passivação e que o enriquecimento de Cro mo e Niquel ocorre para potenciais na zona de +0,4 V, para um tempo de passivação de 60 minutos. Um aumento no tempo passivação não altera a concentração de Níquel, mas aumenta sensivelmente o teor de Cromo. Este enriquecimento de Cromo é considerado a principal razão para a presença da água de li gação na região de potenciais inferiores a ± 0.4 V. Este efe<u>i</u> to é justificado através da comparação das curvas de polariza ção dos metais Fe, Cr e Ni, como indicado na Figura 3.11, uma vez que a região ativa para o Cromo ocorre a mais baixos tenciais, em relação aos outros metais considerados.

Ogawa et all ⁽⁵⁰⁾ analisaram a composição de filmes passivos formados sobre aços 304 e 316 em 5% de H₂SO₄, util<u>i</u> zando Auger Electron Spectroscopic Analysis (AES). Observaram que a concentração de Cromo próximo à superfície do filme passivo, aumenta com o potencial de passivação, teor de Cromo no substrato e com o tempo de passivação. O teor de Ferro no

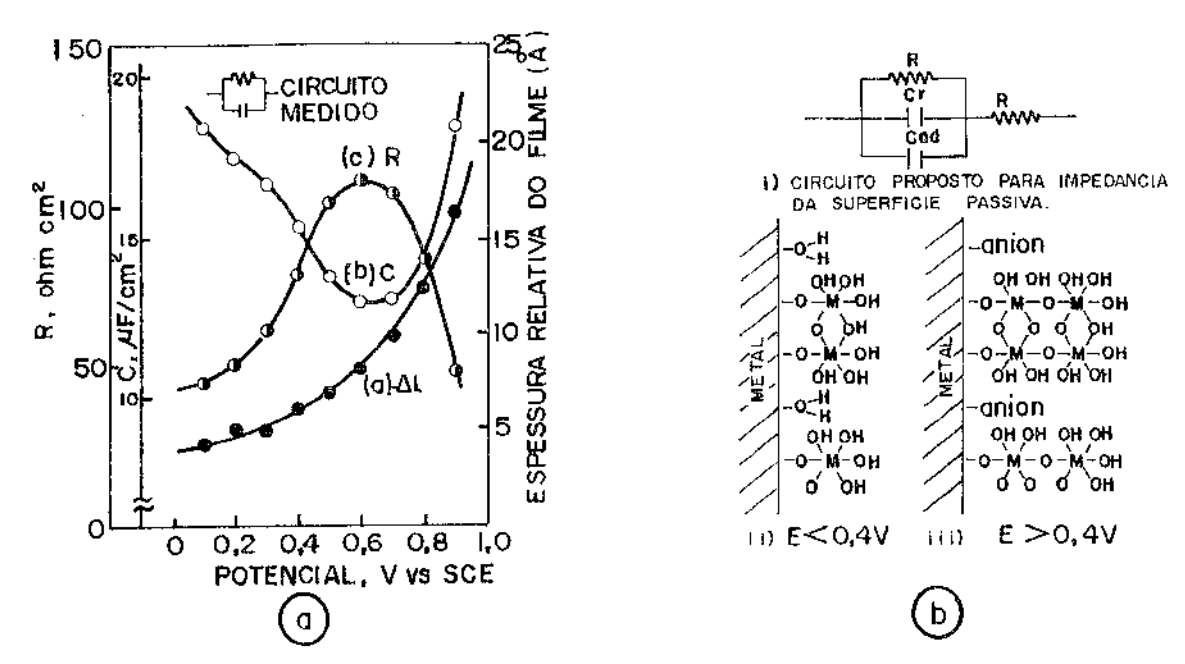


Figura 3.12- a) Espessura do filme medida por elipsometria, capacitancia e resistividade do filme passivo medida através impedância da superfície passivada a l kHz. b) i) circuito proposto para a impedância da superfície passiva e ii) modelo da superfície passiva e fície passivada, para duas condições de potenciais (49)

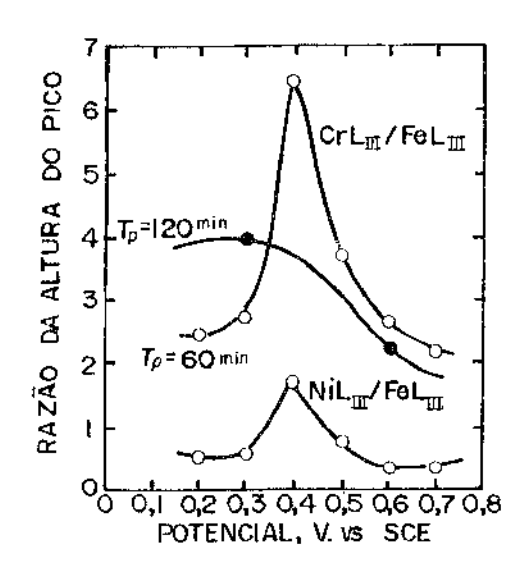


Figura 3.13- Razão da altura dos picos do Cr e Ni em relação ao Fe em fun ção do potencial de passivação obtido por ESCA, para dois tempos de crescimento do filme (49).

entanto, diminui com o potencial de passivação, na superfície do filme passivo. O teor de Molibdênio é difícil de ser de terminado no filme de óxido próximo à superfície, a não ser

quando o filme é formado depois de considerável dissolução ativa ou em soluções contendo CI. Observaram que fons de mo libdato aceleram a repassivação, sendo que o Molibdênio tem efeito na formação do filme passivo, e o Cromo é o elemento mais importante na resistência à corrosão do filme passivo. A Figura 3.14 apresenta os resultados da análise de AES para o aço 304 e 316. Observa-se o enriquecimento de Cromo próximo à superfície e a presença de Enxofre no filme passivo. A concentração de Enxofre na superfície é atribuída ao fato da passivação ter sido feita em um meio contendo fons sulfato, que constituem a fonte de Enxofre observado no filme.

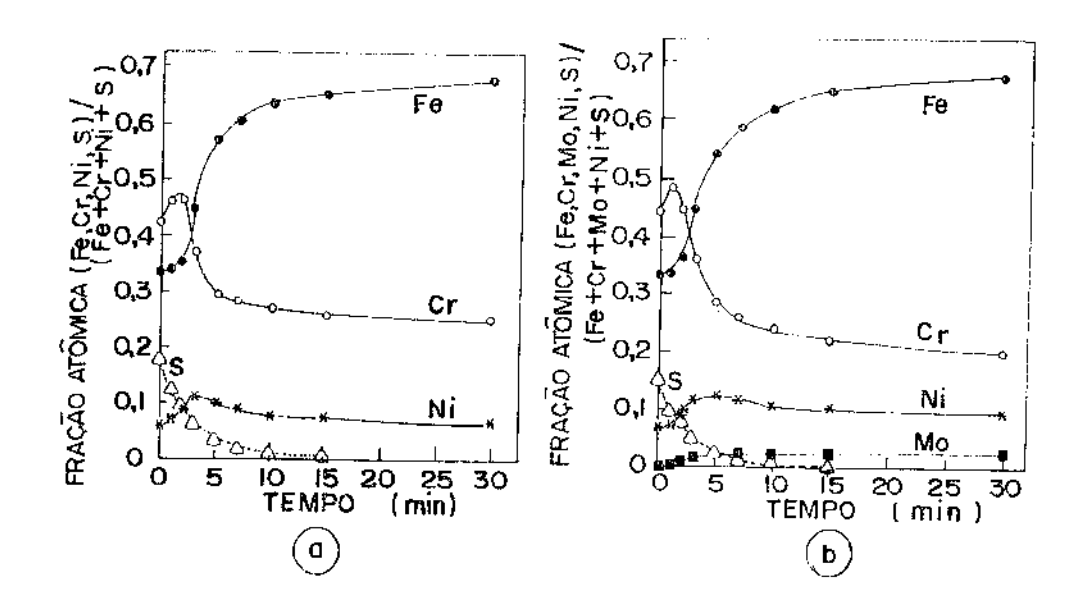


Figura 3.14- Análise de AES. (a) 304 passivado a 0.84 V em 5% $^{12}S0_4$ por 5 minutos. (b) Idem para $^{16}S0_6$.

Seo e Sato ⁽⁵¹⁾ usando um método diferencial de AES, que permite obter a composição exata de sucessivas camadas

do filme de óxido, eliminando o efeito de camadas subsequen tes, estudaram a passivação dos aços 304 e 316. Verificaram que não há enriquecimento superficial de Molibdênio no Do ponto de vista microscópico o filme passivo está con tinuamente rompendo e sendo reparado, como sugerido em riências de análise de ruído no filme passivo (87). que a ruptura do filme depende principalmente do próprio me, enquanto que a repassivação depende principalmente substrato. Os resultados desse trabalho, indicam que o efei to benéfico do Molibdênio na resistência à corrosão de ferrosas não pode ser atribuído à qualquer alteração do filme passivo. Este fenômeno deve ser atribuído à um aumento na ca pacidade de repassivação do substrato, devido ao Molibdênio, nos locais onde ocorre a ruptura do lilme.

Ishikawa ⁽⁵²⁾, estudou o eleito da velocidade de var redura, na passivação eletroquímica dos aços 304 e 316 em so lução 0,1 M H₂SO₄ a 50 °C. Observou que na região de potem ciais relativos à transição do estado ativo para o passivo, ocorrem pelo menos dois picos anódicos de corrente como observado na Figura 3.15.

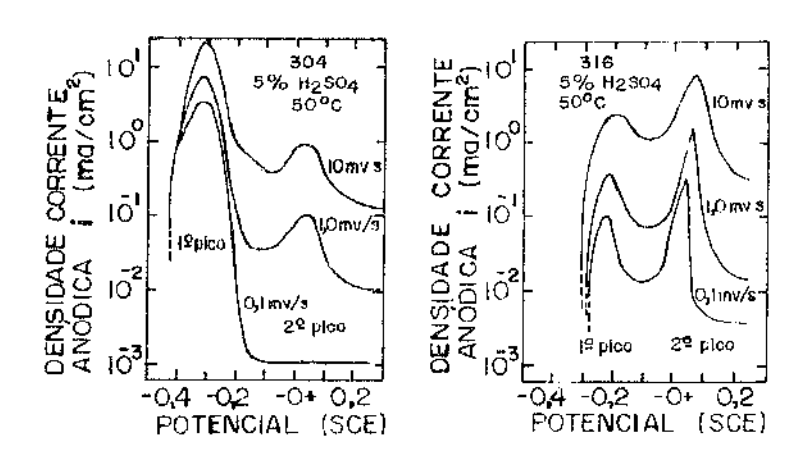


Figura 3.15- Curvas de polarização obtidas por voltametria cíclica em ací do sulfúrico a diferentes velocidades de varredura (52).

Observando-se essa figura, verifica-se que no caso do aço 304, o primeiro pico é maior do que o segundo pico. No caso do aço 316, ocorre o inverso. Sugere que estes fatos po dem ser utilizados como forma de identificação desses aços. Para o aço 304, o potencial do primeiro pico é de -0,30V (SCE) enquanto que para o aço 316 é -0,25 V (SCE). O segundo pico ocorre no potencial de +0,05 V (SCE) para os dois aços. Suge re que o segundo pico pode ser atribuído a diversos fatores tais como:

- a) dissolução seletiva de elementos estabilizadores da austenita, como por exemplo o Níquel;
- b) ionização de átomos de hidrogênio adsorvidos no aço;
 - c) posterior oxidação de fons dissolvidos;
- d) diferença entre o potencial de dissolução anód \underline{i} ca do aço e o potencial de formação do filme de óxido.

Propõe que o processo de passivação nos aços inoxidáveis, está relacionado com um processo primário de dissolução anódica, uma precipitação dos produtos dissolvidos na su perfície além de um processo secundário para a formação do filme de óxido passivo nos sítios ativos remanescentes da su perfície. O primeiro pico, relacionado com o processo de pas sivação primária, é reprodutível devido à fácil dissolução do filme precipitado; o segundo pico, relacionado ao processo se cundário de formação de óxido, não é reprodutível devido a alta estabilidade do filme de óxido superficial no meio considerado.

Saito et alii⁽⁵³⁾ estudaram a estabilidade de filmes passivos em aços inoxidáveis do tipo 304, em relação à quant<u>i</u> dade de água de ligação presente no filme passivo. Observaram

que existem dois tipos de água de ligação e que possuem dife rentes ações inibidoras contra o ataque de fons cloreto. primeiro tipo consiste principalmente de moléculas de água ou hidroxila, que poderiam ser facilmente substituidos por ions cloreto. Esta água atua como uma espécie efetiva para captu rar ions liberados pelo metal, resultando ions metalicos droxilados do tipo MOH+, que contribuem para reparar o filme. O segundo tipo consiste provavelmente de pontes de ligação en tre ions metálicos. Esta água aumenta a resistividade do fil me contra o ataque por cloreto, devido à sua forte ligação ao ion metalico, mas tem pouca habilidade de promover a repassi vação. O primeiro tipo pode se transformar no segundo para altas temperaturas ou longos tempos de passivação, não ocor rendo, entretanto, o processo inverso.

Prazak et alii⁽⁵⁴⁾ estudaram o problema da corrosão seletiva por decapagem anódica galvanostática, seguida de análise espectrométrica em aços inoxidáveis austeníticos. A Figura 3.16 mostra os resultados da composição do filme de óxido em solução ácida e em solução de cloreto de magnésio. Nesta figura as setas indicam a escala de concentração em relação aos elementos analisados.

Usando a lei de Faraday, a espessura da camada remo vida durante a condição galvanostática, pode ser calculada de acordo com:

$$d = \frac{M}{Z} \cdot \frac{I.t}{F.A.D} \qquad (3.27)$$

onde: d = espessura da camada removida;

M = peso atômico do metal;

Z = valência do ion metalico;

I = corrente;

t = tempo;

F = constante de Faraday;

A = area do eletrodo;

D = densidade do metal.

Para o caso de uma liga metálica o fator $\frac{M}{Z}$ foi corrigido, considerando os diferentes íons metálicos que passam para a solução.

Após cada ensaio galvanostático, a solução era ana lisada quantitativamente.

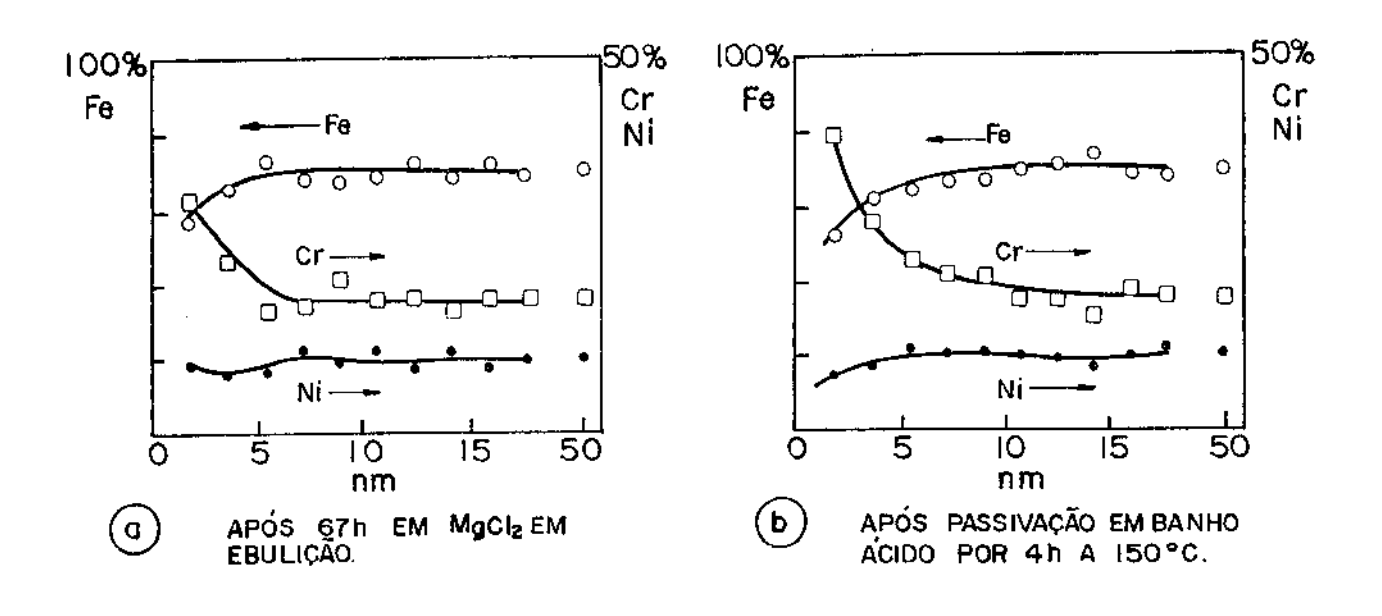


Figura 3.16- Perfil de concentração na superfície de um aço 18%Cr-9%Ni (54).

Observaram um enriquecimento superficial com Cromo, uma redução do teor de Ferro, enquanto que não foi detectado qualquer alteração em relação ao Níquel. A partir de 10 nm aproximadamente, as composições observadas coincidem com a composição da liga. Sugerem que o método de decapagem galva nostática é apropriado para esse tipo de medida. Um inconveniente é que durante a decapagem, os produtos poderão ficar retidos sobre a superfície, devido ao fenômeno de adsorção, o

que interfere com a medida da composição das camadas finas.

Vu Quang et alii⁽⁵⁵⁾ estudaram o efeito da composição e da temperatura, na passivação de aços inoxidáveis austeníticos e ligas à base de Níquel, através da medida da densidade de corrente crítica para passivação. Verificaram que um aumento do teor de Cromo, sempre melhora a tendência à passivação e que o Níquel também contribui para uma diminuição da densidade de corrente crítica para os aços inoxidáveis. A adição de Molibdênio melhora a passivação mais efetivamente em H₂SO₄ do que em HCl.

Com um aumento da temperatura de 30 °C para 100 °C, a densidade de corrente crítica passa a ser aproximadamente 50 vezes maior, dependendo da composição da liga. Sugerem que o processo de corrosão pode ser preferencialmente controlado por difusão de fons metálicos através do óxido, ao invés de pelo processo de transferência de carga, quando o valor da energia de ativação do processo é sensivelmente menor que 14 kcal/mol. A presença de Enxofre (88) e Nióbio (89) como elementos estabilizadores, parece aumentar o pico de dissolução ativa.

Manniing e Duquette ⁽⁵⁶⁾ estudaram a estabilidade de filmes passivos em aços 304L na presença de fons cloreto, em função da temperatura de formação do filme, numa autoclave contendo água deionizada, contendo 100 ppm de fon cloreto. Ve rificaram que, a medida que a temperatura de formação do filme aumenta, a estrutura do semicondutor varia de maneira que a condutividade passa do tipo p a 25 °C, para um tipo n a 289 °C. A condutividade tipo n está associada com a estrutura não estequiométrica do filme, resultante de vacâncias de oxigênio. Este fato melhora a condutividade iônica dos fons cloreto através do filme. Assim, este tipo de óxido semicon

dutor, é mais susceptível à corrosão localizada, do que filmes semicondutores do tipo p. Considerando que os íons clore to são muito grandes para se moverem através de um filme do óxido, a formação de cloretos próximo à interface óxido-ele trólito ocorre devido ao movimento de íons metálicos, o que é consistente com um óxido tipo p. Propõem que o aumento da temperatura de formação do filme melhora a estabilidade do filme, devido a uma condutividade do tipo p no filme de óxido semicondutor.

Bogaerts et alii⁽⁵⁷⁾ estudaram a passivação de aços inoxidáveis austeníticos, em soluções aquosas à altas tempera turas e alta pressão, usando técnica eletroquímica e AES (Auger Electron Spectroscopy). Verificaram um enriquecimento de Níquel na interface óxido-metal, particularmente em tempe raturas elevadas (200 °C-275 °C). A baixas temperaturas, qua se nenhum ion cloreto foi detectado no filme passivo, ocorrem do entretanto um enriquecimento à temperaturas mais altas. A incorporação de Cl⁻ no filme de óxido, ocorre após tratamento anódico no potencial de pitting à temperatura de 175 °C. Atribui esse fato às transformações que ocorrem no óxido semicom dutor, de acordo como proposto por Manniing e Duquette ⁽⁵⁶⁾. Sa lientam a grande influência da temperatura no comportamento à corrosão e à passivação dos aços inoxidáveis 304.

3.4- Filmes de Oxidos Superficiais com Estrutura Amorfa

McBee & Kruger ⁽⁵⁸⁾ estudaram as características es truturais de filmes de óxidos passivos sobre ligas Fe-Cr. Propõem que, em função do teor de Cromo, os óxidos passivos apresentam as seguintes estruturas:

0%Cr: Estrutura do tipo spinel bem orientado (A fórmula do spinel é do tipo AB_2O_4 , onde A e B são metais de valên cia 2 e 3, respectivamente).

5%Cr: Estrutura de spinel bem orientada.

12%Cr: Estrutura de spinel pobremente orientada.

19%Cr: Estrutura de spinel principalmente amorfa.

24%Cr: Estrutura de spinel completamente amorfa.

Concluiram que a passividade mais estável ou a melhor resistência à corrosão, é encontrada quando o teor de Cr promove a formação de um óxido misto de Ferro e Cromo, com tendência a ser amorfo. Óxidos vítreos tendem a ser mais protetores, devido ao fato que a mobilidade de fons, é menor do que em estruturas cristalinas que contém defeitos e contornos de grão.

Hashimoto et alii⁽⁵⁹⁾ estudaram a taxa de formação do filme passivo sobre ligas amorfas, comparando os resulta dos com aço inoxidável comercial do tipo 304. A Figura 3.17 compara o decaimento da corrente a potencial constante, após remoção do filme por abrasão para a liga amorfa e aço 304 em duas soluções diferentes. Durante a abrasão em H₂SO₄, a densidade de corrente para a liga amorfa, em qualquer potencial é sempre maior do que para o 304, indicando que a liga amorfa é mais reativa sem o filme passivo. Após a abrasão, a liga amorfa apresenta uma maior taxa de diminuição da corrente e um estado estacionário menor do que o aço 304 (Figura 3.17a).

Em meio contendo cloreto, o decaimento da corrente não é sensivelmente afetado pela adição de Cl⁻, mas o aço não mais se passiva devido à presença de pitting (Figura 3.17 b). Verificaram que a composição do filme passivo sobre a liga amorfa, não é diferente daquela observada sobre os aços inoxidaveis comuns e, consequentemente, sua maior resistência à

corrosão deve ser interpretada bascando-se em outros parâme tros.

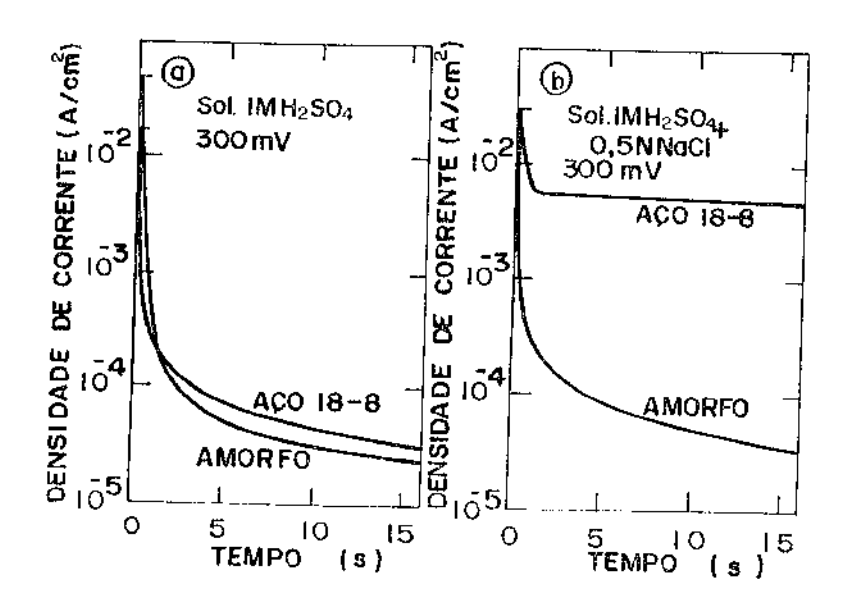


Figura 3.17- Curvas de decaimento de corrente para liga amorfa Fe-10%atCr -13%atP-7%atC e aço 304 após cessação da abrasão durante po larização à 300 mV (SCE) (59).

A alta reatividade das ligas cristalinas, é atribuí da à existência de altas concentrações de defeitos cristali nos como contorno de grão, segregação, etc. Da mesma forma, a alta resistência à corrosão apresentada pelas ligas amorfas, pode ser devida à formação de um filme passivo uniforme sobre um substrato que é completamente homogêneo, livre de defeitos cristalinos.

Consideram ainda que o filme passivo, consiste principalmente de hidróxido do tipo $\text{CrO}_{\chi}(\text{OH})_{\chi}$ e que devido a maior reatividade da liga amorfa na ausência do filme passivo, a formação desse filme ocorre mais rapidamente e são mais grossos quando comparados com o 304.

3.5 - Ruptura Anodica de Filmes Passivas

Sato e Noda (60) estudaram a relação entre a corrente iônica, espessura do óxido e a diferença de potencial existente através da camada de óxido formada no estado estacionario. O estado estacionário era alcançado dentro de uma hora, a potencial constante, e nesse caso a diferença de potencial através da camada de óxido pode ser estimada como um sobrepotencial ΔE, dada por:

$$\Delta E = E - E_{f}^{O}$$
 (3.28)

onde $\mathbb{E}_{\bar{1}}^{\mathbf{o}}$ representa o potencial para o qual a espessura da barreira de óxido vale zero, sendo dependente do valor do pH da solução.

No estado estacionário a espessura da camada de óxido do permanece constante, e a corrente iônica no filme de óxido é igual à corrente de corrosão, que é independente do poten cial dentro da região de passividade.

A Figura 3.18 indica a relação da corrente ionica (i_a) com o inverso da espessura da camada de δx ido.

Assim, pode-se escrever que a corrente iônica obede ce uma relação do tipo

$$i_a = i_{ao} \exp \left(B \frac{AE}{L}\right)$$
 (3.29)

Na relação 3.29, o valor de B, segundo Cabrera-Mott (90), é dado por:

$$B = \frac{Z - a \cdot c}{kT} \tag{3.30}$$

onde: Z = valência iônica;

e = carga elementar;

a = distância de ativação para migração do fon.

Considerando o valor de $E_{\rm f}^{\rm O}$ como sendo o potencial de Flade, o valor de B pode ser determinado através da inclinação das retas indicadas na Figura 3.18. Nesse caso, o valor de B encontrado foi

$$B = 3,25 \times 10^6 \text{ cm V}^{-1}$$
 (3.31)

Da mesma figura pode-se obter o valor de i_{ao}, a pa<u>r</u> tir da intersecção das retas com o eixo das ordenadas. Assim,

$$i_{ao} = 2.0 \times 10^{-14} \text{ A cm}^{-2}$$
 (3.32)

A variação da espessura do filme com o potencial pode ser dado como $^{(38)}$:

$$\frac{dL}{dt} = \frac{1}{L_E} \frac{dE}{dt}$$
 (3.33)

onde: L = espessura do filme;

E = potencial do eletrodo;

 I_{E}^{-} = intensidade de campo elétrico através do filme.

Pela comparação do coeficiente de difusão e da energia de ativação para migração de fons no filme de óxido, sugerem que no caso do Ferro em soluções ácidas, a corrente iônica é realizada preferencialmente por fons de oxigênio em vez de fons de Ferro.

O coeficiente de difusão de fons na camada de óxido foi determinado considerando que $^{(91)}$:

$$D = \frac{i_{ao} B k T}{Z^2 e^2 C}$$
 (3.34)

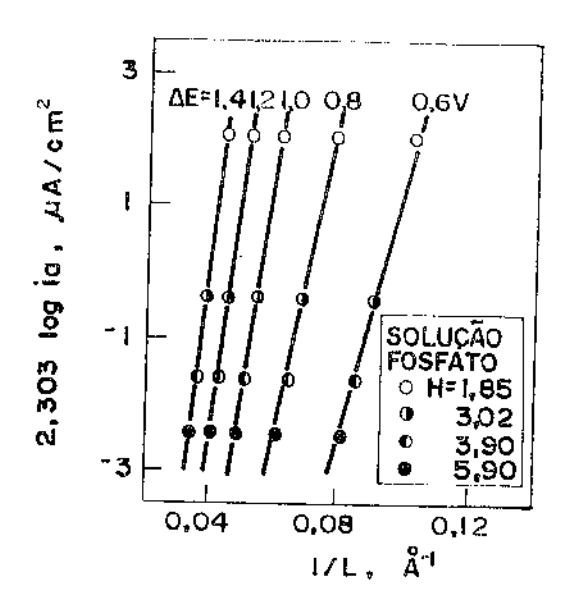


Figura 3.18- Relação entre log i versus o inverso da espessura da camada de $\widetilde{\text{oxido}}$ (1/L) a AE constante $^{(60)}$.

onde C é a concentração do fon considerado na camada de óxido. Pode-se observar que a corrente iônica e o coeficiente de $d\underline{i}$ fusão dependem dos valores de i_{ao} e B.

A nergia de ativação para migração de íons (A*) pode ser determinada, considerando-se a variação do coeficiente de difusão com a temperatura numa relação do tipo Arrhenius:

$$D = D_{o} \exp \left(\frac{A^{\star}}{RT}\right) \tag{3.35}$$

Sato $^{(61)}$ estudou a estabilidade de filmes passivos em soluções aquosas em termos de energia eletrocapilar e di \underline{s} solução eletroquímica do filme passivo.

A ruptura do filme passivo sobre um metal para a formação de um poro cilíndrico, requer certa energia, dada por (61):

$$A_{b} = \{2\pi r h \sigma + \pi r^{2} (\sigma_{m} - \sigma)\} - 0.5\pi r^{2} C_{d} \Lambda E^{2}$$
 (3.36)

onde: $A_{\rm b}$ = energia para formação do poro;

r = raio do poro;

h = espessura do filme;

υ = tensão superficial da interface filme/eletrólito;

 $\sigma_{\rm m}$ = tensão superficial da interface metal/eletrólito;

 ΔE = diferença de potencial entre metal e eletrólito;

 $C_{ extbf{d}}^{}$ = diferença na capacitância do eletrodo por unidade de área entre o metal passivado e o metal sem filme na solução.

Nesta expressão o primeiro termo refere-se às ener gias relacionadas com o aparecimento e desaparecimento de su perfícies devido à tensões superficiais e o segundo termo, a energia acumulada na forma de distribuição de cargas, e por tanto visualizadas através de um modelo de um capacitor.

Analogamente, a energia para nucleação do filme $-p\underline{o}$ de ser dada por:

$$A_{f} = \{2\pi r h_{0} - \pi r^{2} (o_{m} - o)\} - 0.5\pi r^{2} c_{d}, \Delta E^{2} - \pi r^{2} h_{Fox} ze_{H}$$
 (3.37)

onde: C_d, = diferença na capacitância do eletrodo por unidade de área entre a interface metal/solução e a interface metal/filme/solução;

 $\rho_{\rm OX}$ = densidade molecular do filme (número de moléculas de óxido em um volume unitário);

z = número de elétrons envolvidos na formação de uma molécula de óxido;

e = carga elementar do elétron;

η = sobrepotencial para formação do filme.

Nesta equação, a interpretação dos dois primeiros termos é idêntica aquela feita na equação (3.36), enquanto que o terceiro termo representa a energia eletroquímica associada à formação do filme.

A Figura 3.19 apresenta a energía eletrocapilar para formação de um poro em um filme de óxido passivo fino (Figura 3.19a), e a energía para nucleação de um filme de óxido sobre o eletrodo metálico (Figura 3.19b).

Na Figura 3.20 está indicada a variação da barreira de energia para ruptura e para a formação do filme passivo, em função do potencial de eletrodo, podendo-se observar que em ambos os casos essa energia cai rapidamente com o aumento do potencial.

A corrente de dissolução de um filme passivo — pode ser representada por:

$$I_{d} = I_{d}^{O} C_{A}^{x} \exp \left\{ \frac{\alpha P}{RT} \Delta \phi_{H} \right\}$$
 (3.38)

onde: $\Lambda \phi_H$ é a diferença de potencial na interface filme-solu ção;

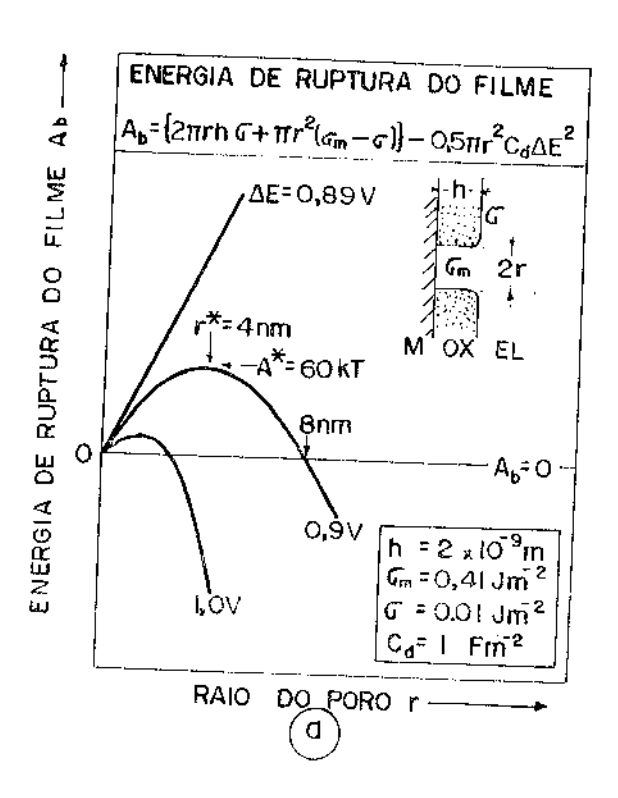
α = constante cinética;

 $C_{\overline{A}}$ = concentração do ânion envolvido no processo de dissolução;

x = ordem de reação do ânion.

A Figura 3.21 esquematiza os níveis de energia do elétron e a distribuição do potencial interno no filme, como função do potencial de eletrodo.

Na Figura 3.21, $E_{
m bp}$ corresponde ao potencial de banda plana do filme e, portanto, ao potencial de Flade. $\varepsilon_{
m c}$ ã energia mínima da banda de condução, $\varepsilon_{
m v}$ à energia máxima da



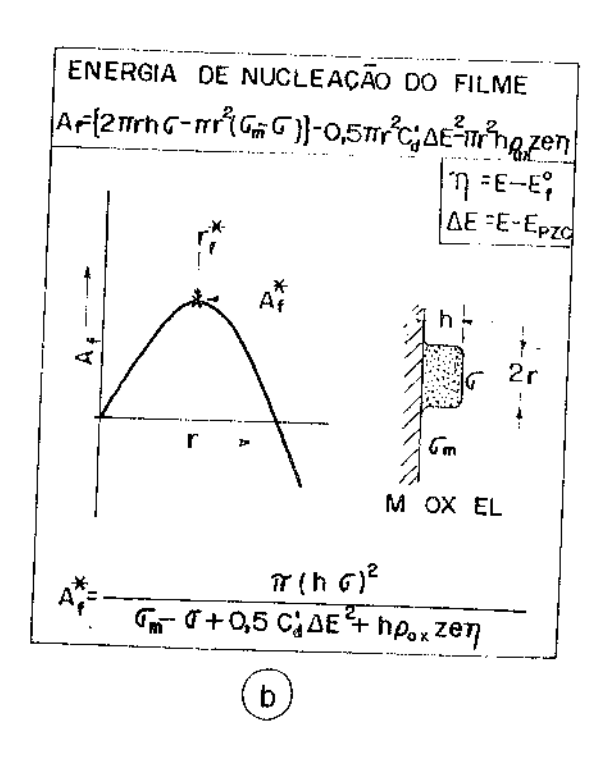
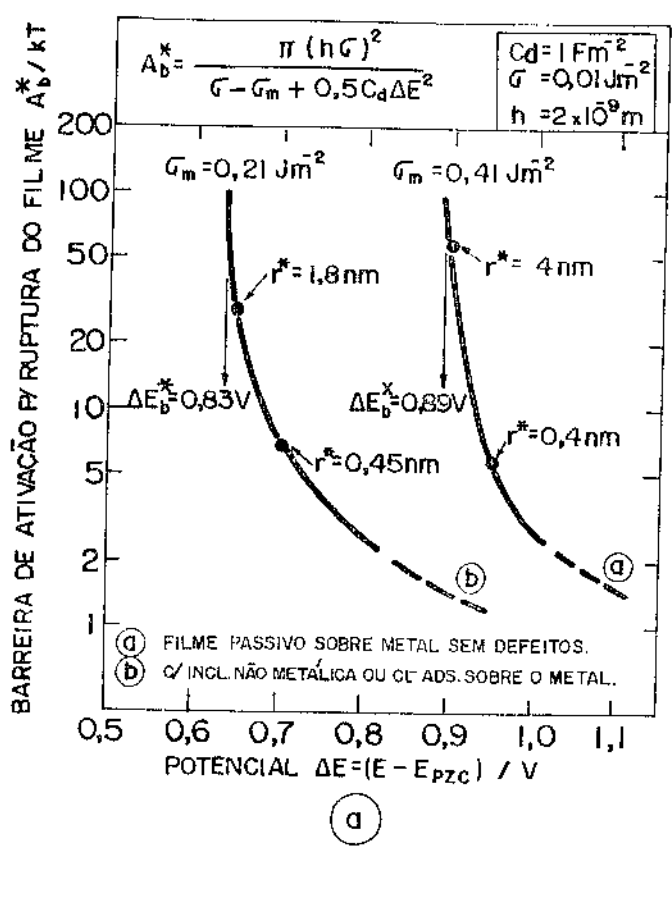


Figura 3.19- (a) Energía eletrocapitar para formação de um poro num filme fino de óxido superficial em função do raio do poro e do <u>po</u> tencial de eletrodo, para distintos potenciais de eletrodo. (b) Energía para nucleação de um filme superficial sobre um eletrodo, para um dado potencial de eletrodo (61).



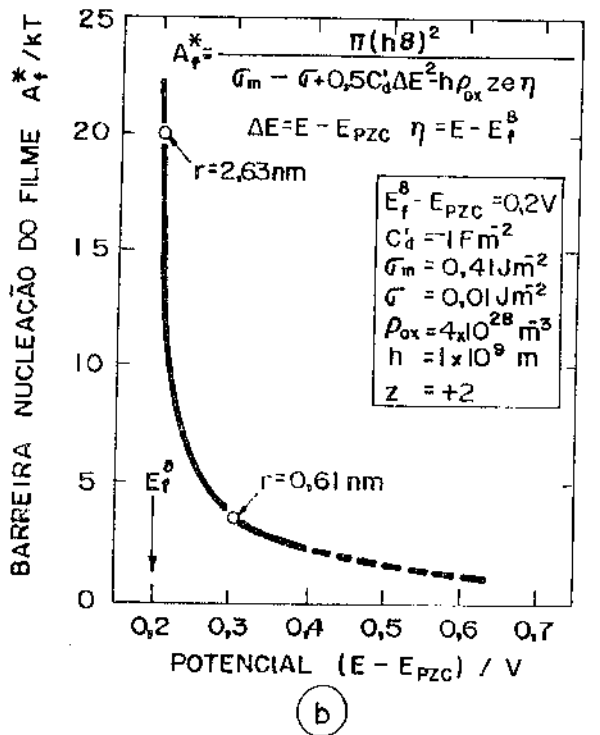


Figura 3.20- (a) Energia de ativação para formação de um poro em função do potencial de eletrodo, para duas diferentes tensões super ficiais da interface metal/eletrólito. (b) Barreira de ativação para nucleação de um filme de óxido sobre um metal em função do potencial do eletrodo (61).

banda de valência; f_F é o nível de Fermi do sistema para um dado potencial; i_{ox} é a corrente de dissolução do filme por passagem de o^2 do óxido à solução na forma de H_2O ou OH; i_M é a corrente de dissolução do óxido na zona de transpassiva ção; ϕ_M é o potencial interno do metal para um dado potencial; ϕ_S é o potencial interno da solução. Para o potencial de Fla de não existe gradiente de potencial interno no filme e $\Delta\phi_H$ toma um valor que é determinada pela adsorção de fons na su perfície do filme, assim como pelos seus estados superficiais.

Para pequenas polarizações anódica ou catódica, o nível de Fermi é abaixado ou elevado produzindo uma queda de potencial anódica ou catódica representada por um encurvamento da banda para cima ou para baixo, sem provocar variações no valor de $\Lambda\phi_H$ na interface filme-eletrólito. Esta situação é mantida enquanto o nível de Fermi do metal estiver dentro da banda proibida na superfície do filme.

Quando o nível de Fermi do metal, cai entre o ní vel de energia da banda de valência e da banda de condução, na banda proibida do semicondutor na superfície do filme, a cor rente de dissolução é independente do potencial de eletrodo. Este fato tem sido observado no caso do Ferro passivado, estado estacionário $^{(42)}$. A diferença de potencial $\Delta\phi_{\mathrm{H}}$, deixa de ser constante quando o nível de Fermi do metal cai fora da banda proibida na superfície do filme. Nesse caso, a corren te de dissolução passa a ser dependente do potencial de trodo. Uma polarização muito grande, pode provocar um encurvamento da banda tão grande que o nível de Fermi do metal fi ca mais baixo que a banda de valência, ou mais alto que a ban da de condução da camada mais externa do óxido, o que provoca um tunelamento de elétrons, deixando no filme buracos posit<u>í</u> vos, ou acumulando elétrons na camada mais externa do filme,

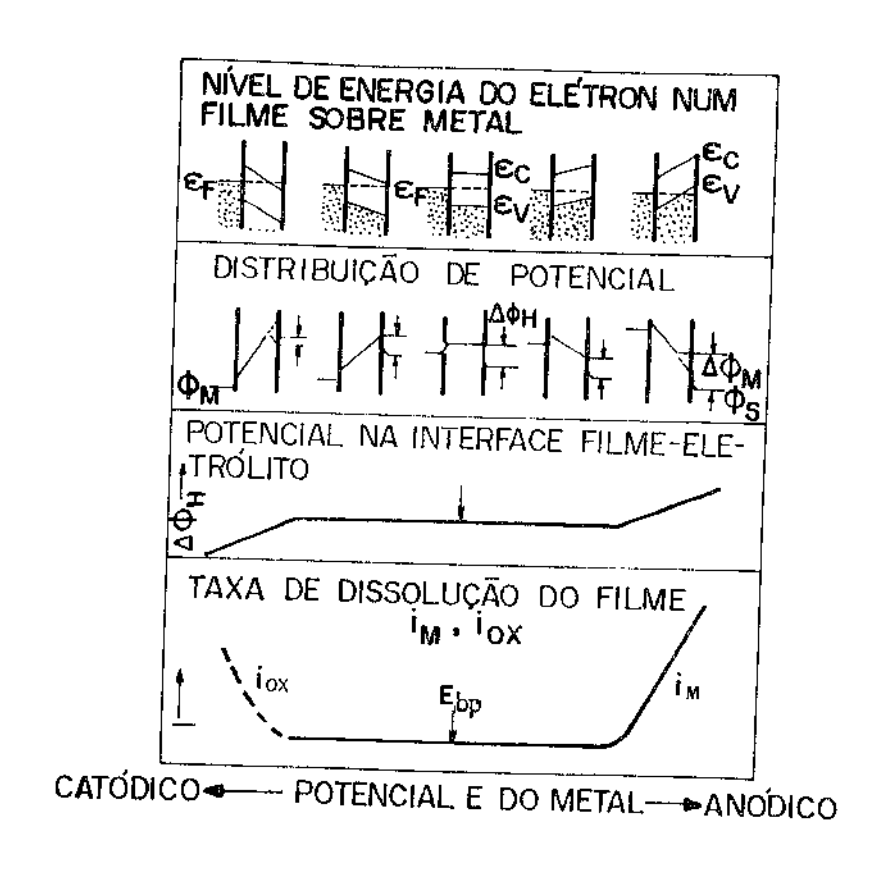


Figura 3.21- Diagrama esquemático dos níveis de energia de elétrons, dis tribuição de potencial, diferença de potencial na interface filme-eletrólito e velocidade de dissolução de um filme fino de óxido estequiométrico (61).

transformando a superfície do filme em um semicondutor degene rado ou semi-metal.

Essas duas situações, provocam um aumento—anódico ou catódico respectivamente, em $\Lambda\phi_{\rm H}$. Esse aumento anódico de $\Delta\phi_{\rm H}$ com o potencial de eletrodo resulta na dissolução—trans passiva, enquanto que um aumento catódico leva a uma—dissolução do filme passivo, devido a um aumento na velocidade—de transferência de oxigênio do filme para o eletrólito. A Figura 3.22 mostra curvas de polarização anódica para o Ferro e o Níquel em ácido sulfúrico e a estimativa da estrutura de ban da no filme passivo no $E_{\rm bo}$.

Pode-se observar que o óxido tipo n sobre o Ferro, é

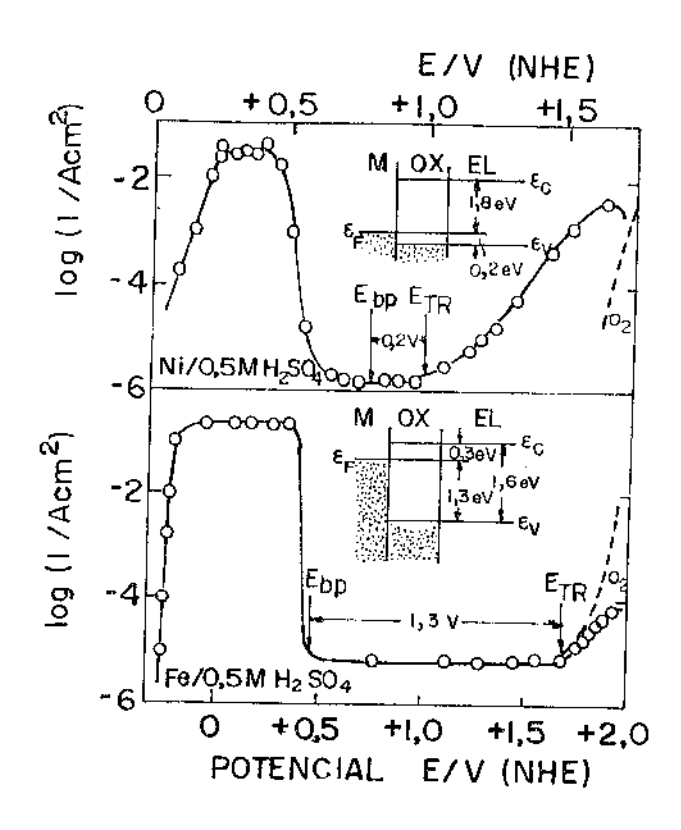


Figura 3.22- Curvas de polarização anodica do Ferro e Níquel em ${\rm H_2SO_4}$ e a estrutura de banda de energia do elétron do filme passivo no potencial ${\rm E_{bp}}$. ${\rm E_{TR}}$ é o potencial de transpassivação $^{(61)}$.

eletroquimicamente estável em relação à polarização anódica, enquanto que o óxido tipo p, sobre o Níquel, é relativamente instável e sujeito à dissolução transpassiva, a mais baixos potenciais. A região de potencial entre $E_{\rm bp}$ e $E_{\rm TR}$ corresponde à diferença de energia do elétron entre o nível de Fermi e a banda de valência no filme. O filme de óxido passivo do tipo n, em que o nível de Permi está localizado na parte superior da banda proibida (caso do Fe na Figura 3.22), é mais estável do que o filme de óxido do tipo p (caso do Ni na Figura 3.22), em que o nível de Fermi está situado próximo à banda de valência.

1

4- EQUIPAMENTOS, MATERIAIS E PROCEDIMENTO EXPERIMENTAL

4.1- Preparação das Ligas

4.1.1- Fusão à Vácuo

As amostras de aço inoxidável foram fundidas num forno de indução à vácuo, fabricação Inductotherm, utilizando -se aço 1005 como carga base.

A fusão foi efetuada em um cadinho de material cer $\frac{\hat{a}}{2}$ mico (Magnedan), sinterizado, empregando-se um tarugo de grafite como carga. A sinterização foi realizada através do aquecimento do cadinho até uma temperatura da ordem de 1800°C, com velocidade média de aquecimento em torno de 200°C/hora. A figura 4.1 apresenta um esquema do cadinho utilizado nas fusões dos aços inoxidáveis.

A vida útil dos cadinhos é de 6 a 8 corridas; após esse tempo de uso as paredes de Magnedan apresentam-se seria mente danificadas, tornando-se irrecomendável seu uso após es se número de corridas.

4.1.2- O Forno à Vácuo

O formo de indução à vácuo do Departamento de Enge

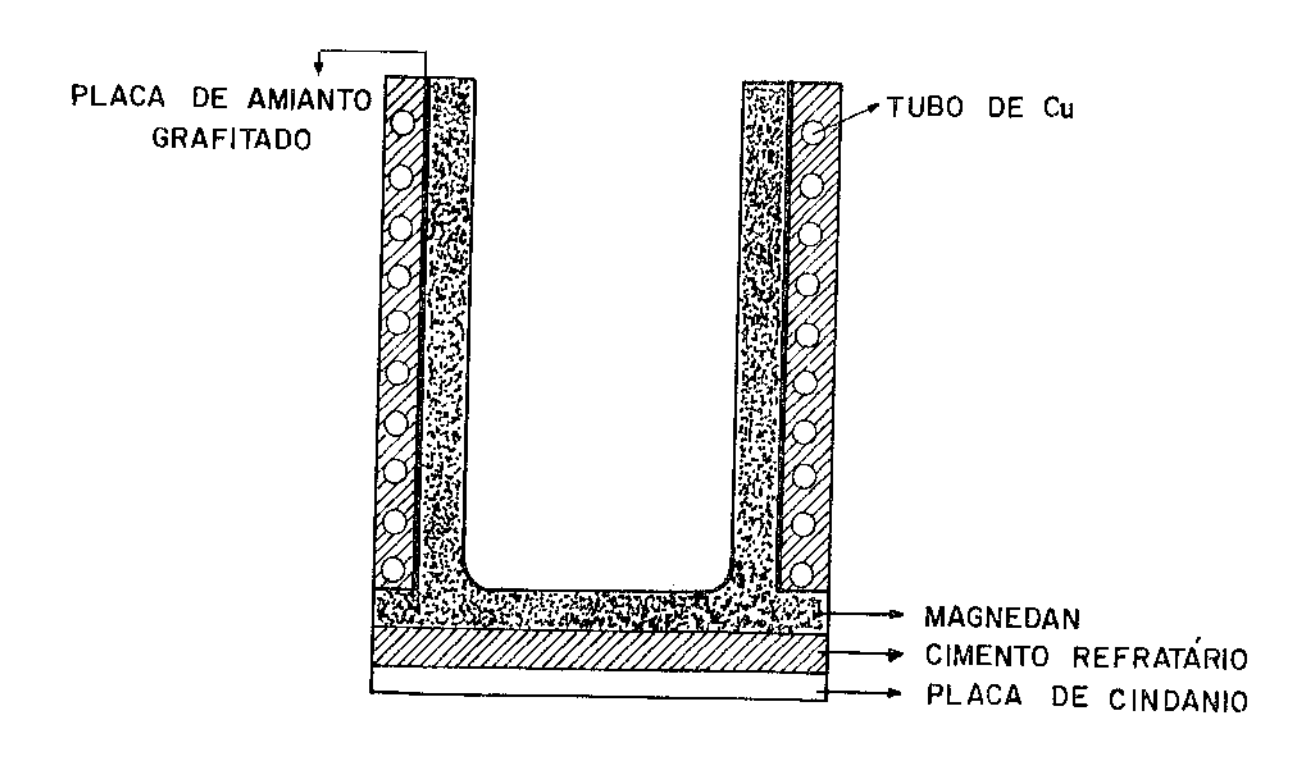


Figura 4.1- Esquema do cadinho usado nas fusões dos aços inoxidaveis.

nharia de Materiais da UFSCar é de média freqüência e fabrica ção Inductotherm. Suas principais características são:

- Potência máxima 60 kW
- Capacidade do cadinho 7 kg
- Tensão de alimentação 400 V

A câmara de fusão, que contém a unidade de fusão o sistema de vazamento, é de formato cilíndrico tendo 600 de diâmetro e 650 mm de comprimento; é confeccionado em aço inoxidavel e está envolto parcialmente por uma tubulação $\mathbf{e}\mathbf{x}$ terna, onde circula água de refrigeração. O cadinho um sistema basculante acionado manualmente. A adição de e1ementos de liga é feita através de uma câmara externa, o que possibilita a adição sob vácuo. O controle de temperatura é feito através de um pirômetro de infra-vermelho, Localizado externamente na parte superior da câmara de fusão. 2.4 mostra um esquema de câmara de fusão; a Figura 4.3 senta uma fotografía da parte interna da câmara com

mento da unidade de fusão e a Figura 4.4 uma vista geral do equipamento composto pela câmara de fusão, painel de controle do equipamento de vácuo e fonte de alimentação.

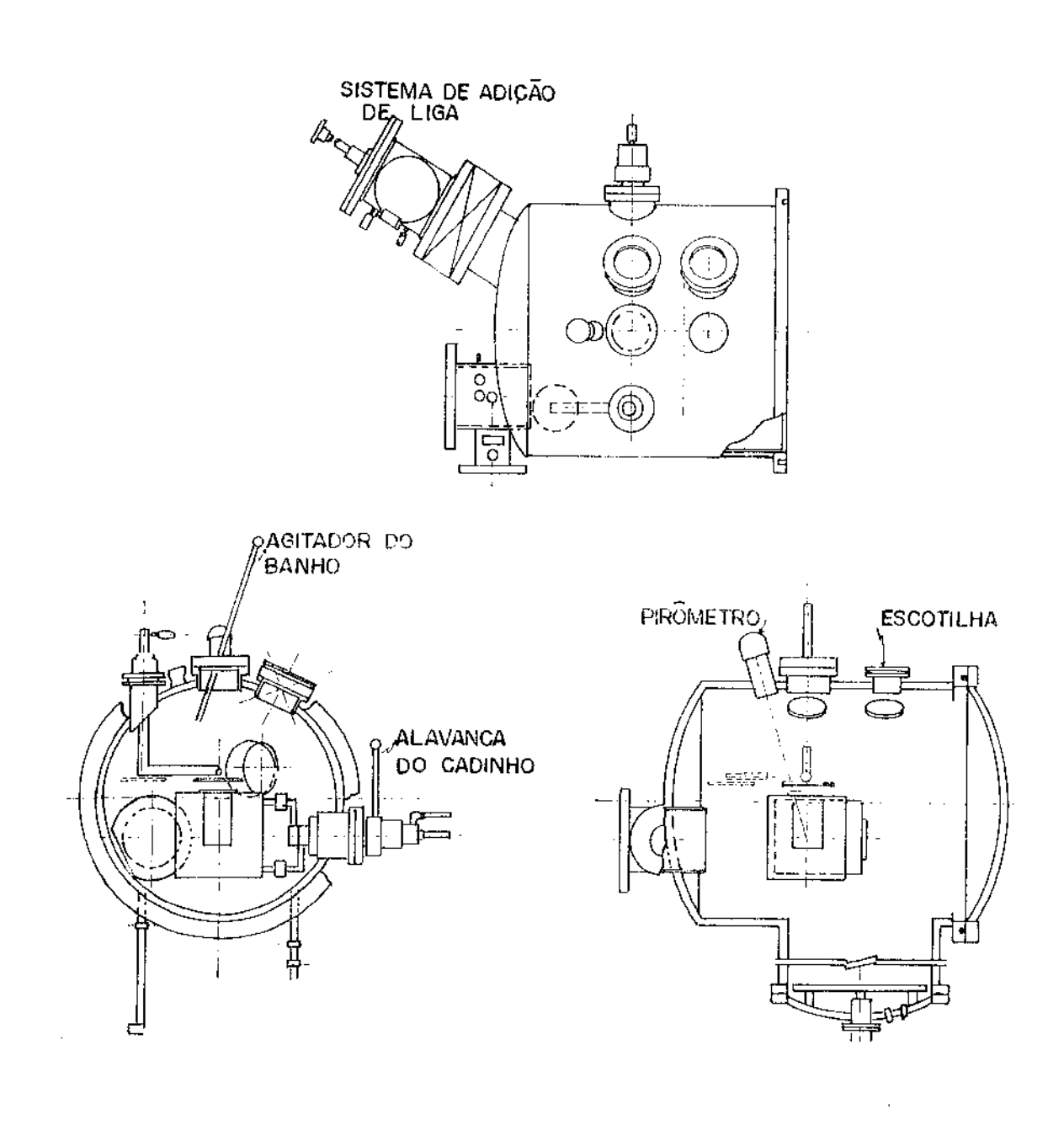


Figura 4.2- Esquema da câmara de fusão do forno de indução à vácuo.



Figura 4.3- Parte interna da câmara com detalhamento da unidade de fusão.

1) Recipiente para adição de elementos de liga; 2) — Cadinho;

3) Tampa do cadinho; 4) Proteção da escotilha; 5) — Circulação

de água.

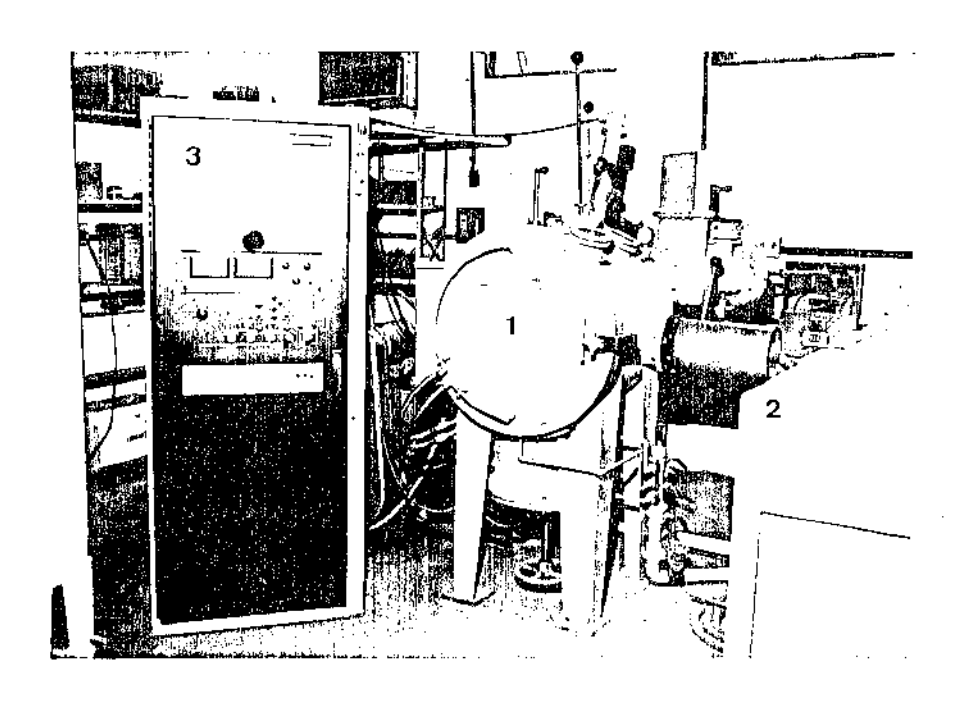


Figura 4.4- Vista geral do forno de indução à vácuo. 1) Câmara de fusão;
2) Fonte de alimentação; 3) Paínel de controle.

4.1.3- Materias Primas

Como carga base foi utilizado um aço com a composição indicada na Tabela IV.1.

Tabela IV.1- Composição do aço usado como carga base.

Elemento	С	Si	Mn	P	S	Cr	Ní	Мо	Cu
% em peso	0,07	0,22	0,05	0,02	0,01	0,19	0,69	0,08	0,16

As adições de liga foram feitas com Manganês, Silício, Níquel e Cromo metálicos, enquanto que o Nióbio foi adicionado na forma de FeNb concentração de 64%, de acordo com produto comercial fornecido pela Companhia Brasileira de Metalurgia e Mineração.

Foram realizadas diversas corridas experimentais para a determinação do rendimento desses elementos de liga e os resultados foram:

- Rendimento do Manganês 0,90
- Rendimento do Silício 0,60
- Rendimento do Níquel 0,92
- Rendimento do Cromo 0,88
- Rendimento do Nióbio no FeNb 0,88

Considerando-se os rendimentos acima, o cálculo das adições foi feito segundo:

Peso Ferro liga =
$$\frac{\text{Peso da carga x }\Delta C}{\text{R x CE}}$$
 (4.1)

onde: AC = variação na concentração do elemento considerado;

R = rendimento;

CE = teor do elemento considerado no Ferro liga.

4.1.4- Sequência de Operações do Forno de Indução

Λ fusão foi efetuada obedecendo-se às seguintes eta pas:

 $1^{\frac{d}{4}}$ etapa: Consiste no aquecimento da carga base (aço 1005), através de um aumento gradativo na potência do forno sob vácuo (p = 200 μ). Considera-se $1\mu = 10^{-6}$ mm de Hg = 1,32 x 10^{-6} atm.

 $2^{\underline{a}} \ \text{etapa: Quando a temperatura da carga estiver probaima a sua temperatura de fusão, quebra-se o vácuo com Argonio (p - 1 atm).}$

 3^{a} etapa: Início e fim da fusão da carga sob atmos fera de Argônio.

4ª εtapa: Após fusão completa de carga, liga-se o sistema de vácuo e inicia-se o "boilling". A agitação do ba nho deve ser controlada, para evitar a projeção de aço para fora do cadinho. Isto pode ser conseguido através do desliga mento da bomba de vácuo. Este procedimento de liga-desliga se repete até que o vácuo seja da ordem de 400 μ, o que demanda um período de cerca de 15 minutos. Nesta etapa ocorre a des carbonetação mais intensa.

 $5^{\frac{d}{2}}$ etapa: Consiste na manutenção do metal líquido sob baixa pressão (p \simeq 400 μ) durante 15 minutos para permitir a descarbonetação nesta etapa quiescente.

 $6\frac{a}{2}$ etapa: Quebra do vácuo com Argânio (p < 1 atm).

7ª ctapa: Adições de elementos de liga em atmosfera de Argônio na sequência: - adição de Manganês e Silício

- adição de Niquel
- Adição de Cromo
- Adição de FeNb.

Adotou-se essa seqüência considerando-se o rendimento e a pressão de oxigênio de cada elemento. Como o Manganês e o Silício possuem uma pressão de oxigênio relativamente baixa, foram colocados primeiro para completar a desoxidação do banho líquido, o que pode justificar o baixo rendimento apresentado pelo Silício. Entre a adição de um elemento e outro, o banho líquido foi observado visualmente, para assegurar a total fusão da carga adicionada, sendo então acrescentada a nova liqa.

 δ^{a} etapa: Espera-se 3 minutos para homogeneização do banho líquido.

9ª etapa: Vazamento em coquilha de ferro fundido cinzento, com resfriamento dentro da câmara de fusão em atmos fera de Argônio.

1.1.5- Tratamento Termomecânico

A partir do lingote fundido procedeu-se a uma série de tratamentos termomecânicos, até a obtenção final dos cor pos de prova para ensaios de tração, corrosão e metalografia. A Figura 4.5 mostra as etapas de preparação do corpo de prova. O lingote fundido indicado no desenho I, foi cortado até a obtenção da chapa a ser laminada, de acordo com o desenho IV. Através do corte nº 1 do desenho II obteve-se material para análise química, e o corte nº 2 é para eliminar o rechupe. O aplainamento indicado em III teve por objetivo obter chapa de espessura constante e conseqüentemente obter a mesma redução por ocasião do tratamento mecânico. A Figura 4.6 mostra a ma croestrutura de um lingote fundido.

A laminação a quente foi realizada em diversos pas ses com uma redução em torno de 10% em cada um, seguido de um

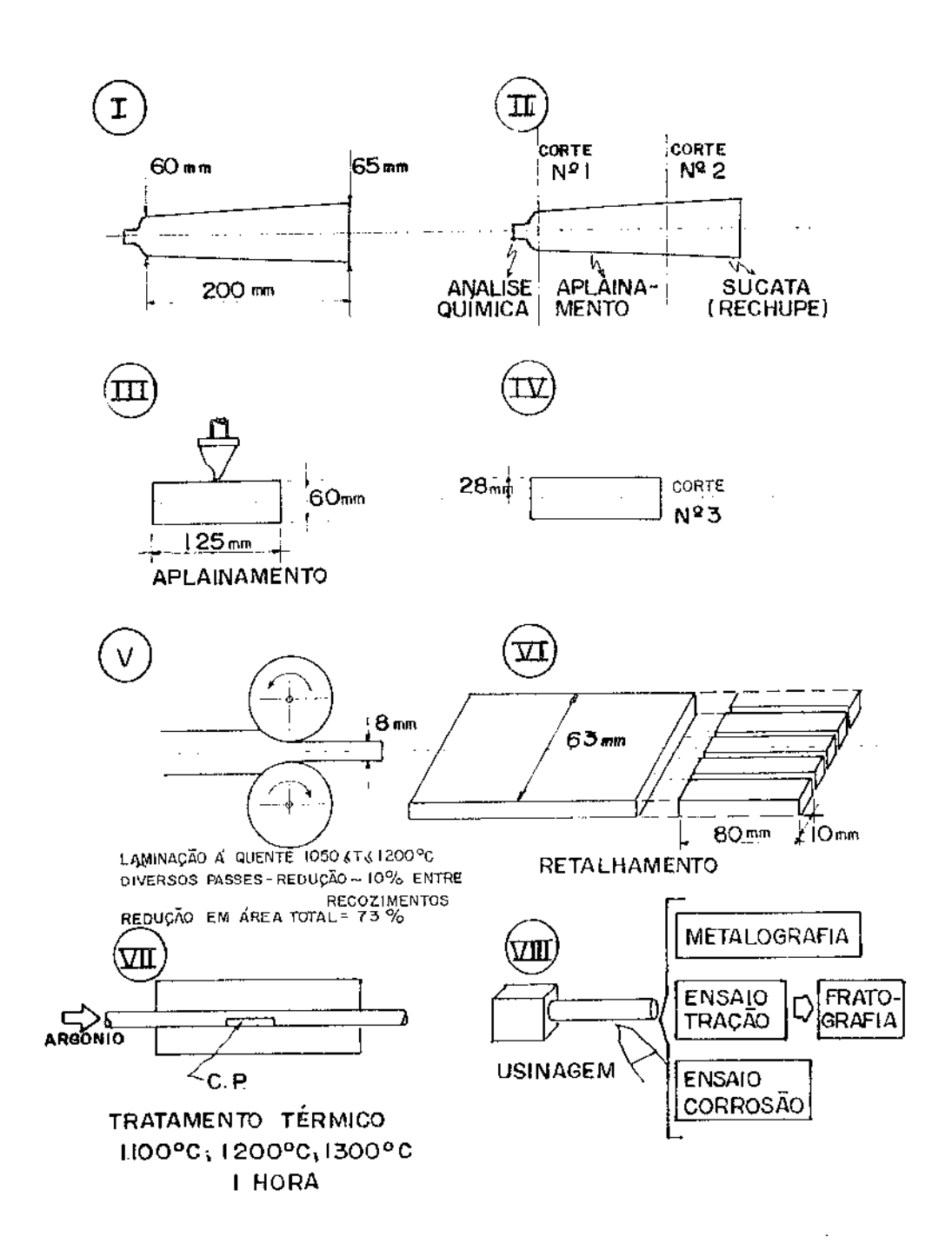


Figura 4.5- Etapas de preparação dos corpos de prova.

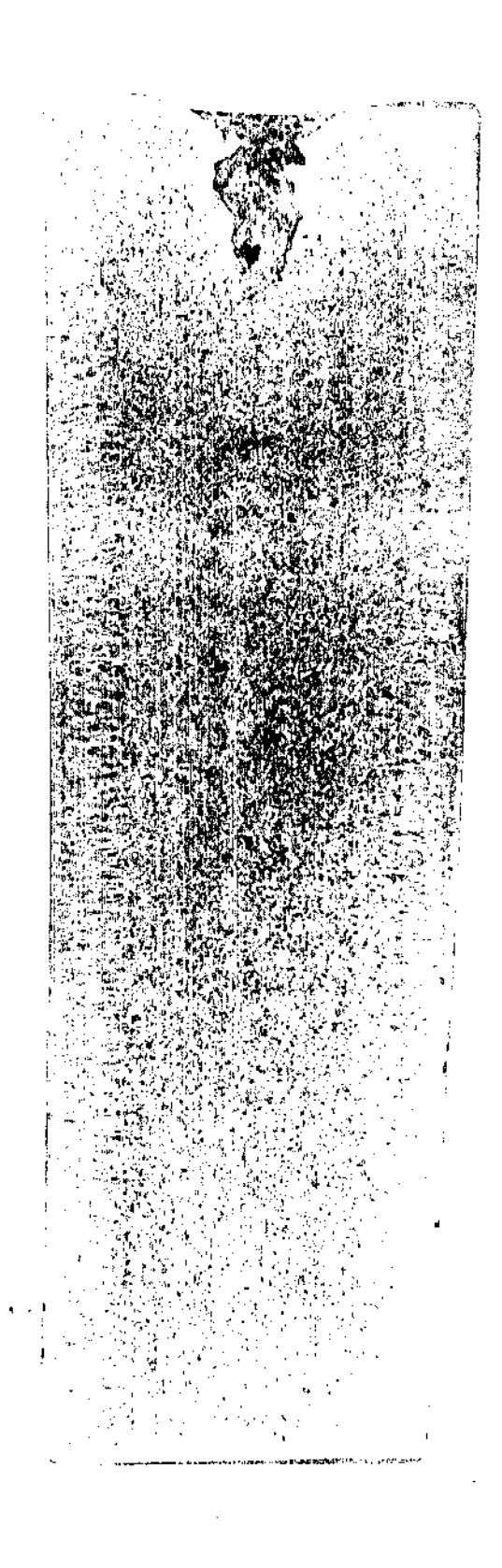


Figura 4.6- Macroestrutura do lingote fundido. Tamanho natural. Ataque: reagente de Kalling.

recozimento para recristalização após cada passe, à temperatu ra de 1200 $^{
m O}$ C. A chapa foi enfornada a uma temperatura inf $_{
m C}$ rior a 700 °C, sendo que o tempo de encharque foi de meia ho ra por polegada de espessura. A temperatura de laminação man teve-se no intervalo 1050 °C < T < 1200 °C. A redução área total na laminação foi da ordem de 73%, sendo que, após o último passe, as chapas foram resfriadas em água à tempera tura ambiente, para evitar precipitação de carbonetos em con torno de grão. A chapa foi retalhada em tarugos (desenho VI, Figura 4.5) que foram tratados termicamente num forno horizon tal de resistência de carboneto de silício em atmosfera de Ar gônio (Desenho VII, Figura 4.5). Utilizou-se temperaturas de 1100 °C, 1200 °C ou 1300 °C durante 1 hora, seguido de friamento em água. Desses tarugos tratados termicamente, fo ram usinados os corpos de prova para os ensaios de tração, ensaios de corrosão e metalografia.

4.2- Ensaios Mecânicos

4.2.1- Ensaio de Tração

O equipamento usado foi uma máquina Instron modelo 1127 e os testes foram realizados à temperatura ambiente (25 $^{\rm O}$ C). Como acessório neste ensaio, utilizou-se um extensometro mecânico curto, acoplado a um calibrador Instron modelo A18-3C que possibilita uma ampliação de 100 vezes da região elástica. Este extensômetro pode ser utilizado até 10% de de formação (Δ L = 2,5 mm) e dessa forma assim que o limite con vencional de escoamento (ϵ = 0,2%) puder ser definido com se gurança, ele deve ser retirado do corpo de prova.

Os corpos de prova têm o formato cilíndrico com com primento fixo, de acordo com a Norma ABNT-MB-4 para corpos de prova proporcionais, modificados em relação ao seu comprimento útil. A Figura 4.7 apresenta as dimensões dos corpos de prova usados.

Os corpos de prova foram acoplados à máquina de tração através de um sistema de garras do tipo cunha, como indicado na Figura 4.8. Os ensaios foram realizados à velocidade constante de 1 mm/min, à temperatura ambiente de 25±2 °C, sendo que a partir dos gráficos Força x Elongação obteve-se os sequintes parâmetros mecânicos:

a) Tensão de escoamento convencional

Definido como:

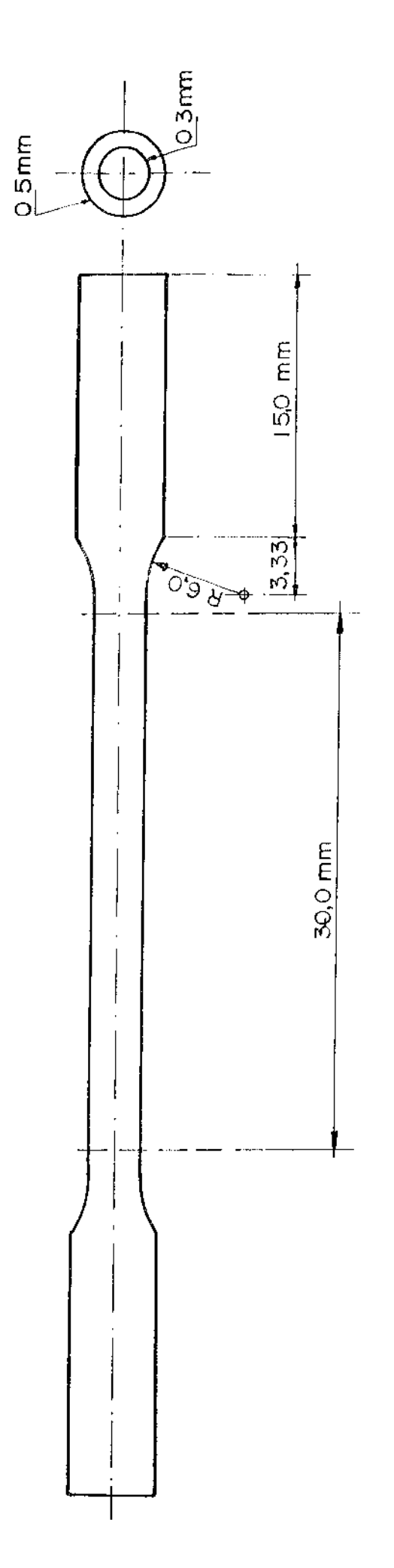
$$\sigma_{e} = \frac{Fe}{\Lambda_{o}}$$

onde Fe é a força no ponto correspondente a uma deformação convencional de 0,2% e $\Lambda_{_{\rm O}}$ é a área inicial da seção transver sal do corpo de prova, na região de comprimento útil. Conside rando-se que a parte reta da curva é muito pequena, aplica-se uma carga acima do limite convencional previsto de 0,2%, ali viando-se em seguida a carga, e repetindo-se a aplicação sem retirar o extensômetro. Dessa forma a curva força x elonga ção apresentará uma histerese, cujos dois pontos extremos de finem uma reta. O valor de Fe é definido pela intersecção da curva força elongação com uma reta paralela a esta que passa por $\epsilon = 0,2$ %.

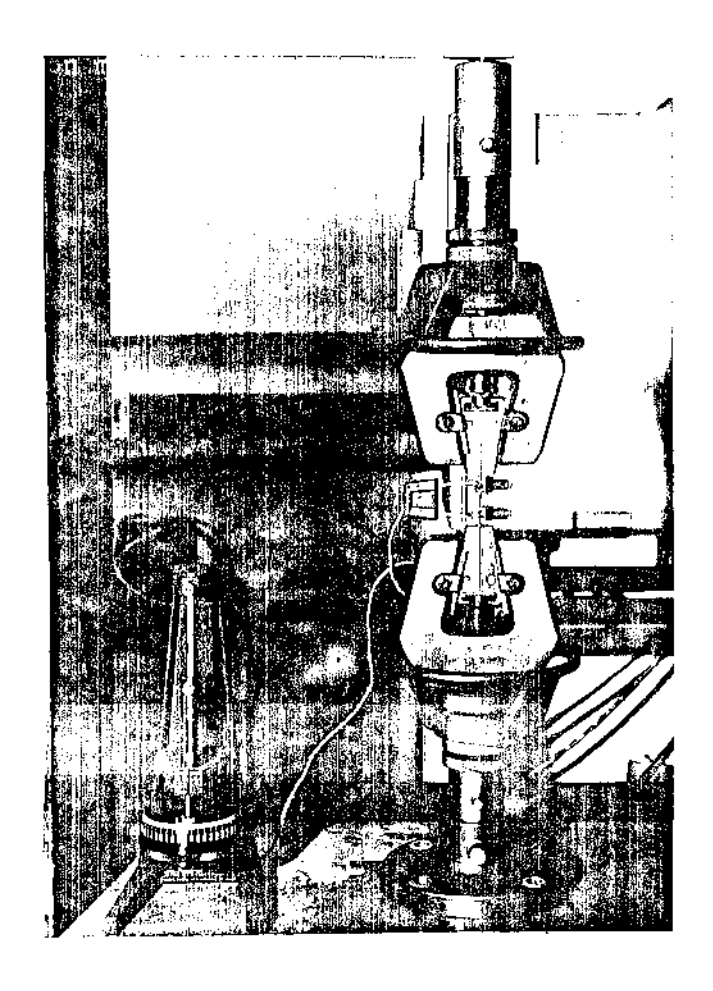
b) Limite de resistência à tração

$$\sigma_{R} = \frac{F_{\text{max}}}{A_{O}}$$

onde F é a força máxima na curva força x elongação.



Fígura 4.7- Dimensões dos corpos de prova proporcíonais para ensaio de tração, segundo norma ABNI-NB-4, modificado em re lação ao seu comprimento útil.



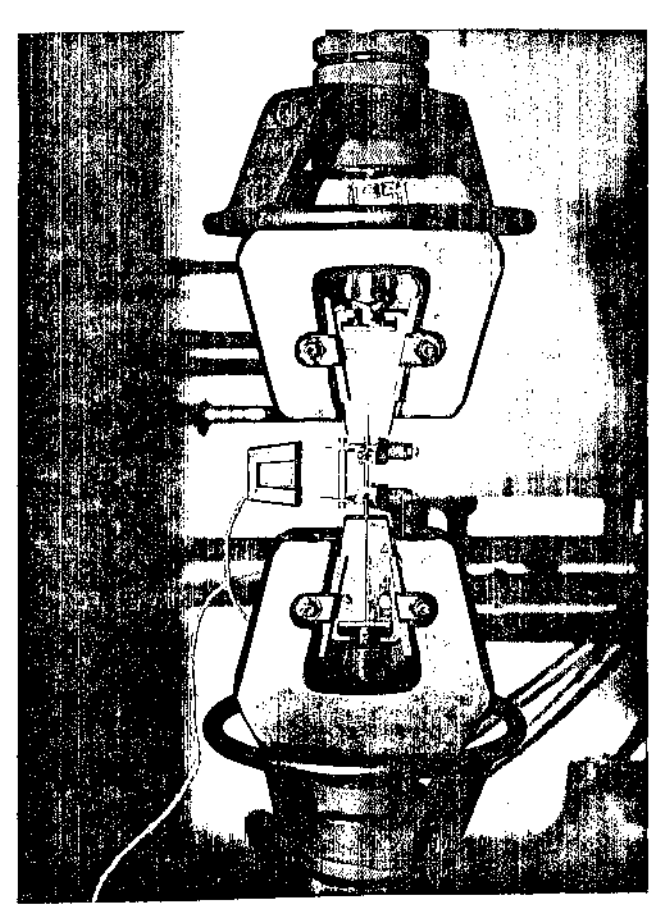


Figura 4.8- Fotografía mostrando acoplamento dos corpos de prova na Maquina Instron modelo 1127.

c) Tensão de ruptura:

$$o_{rup} = \frac{F_{rup}}{A_{o}}$$

onde F_{rup} é a força de ruptura.

d) Redução em área na fratura:

$$AA = \frac{A_O - A_f}{A_O}$$

onde $\mathbf{A}_{\mathbf{f}}$ é a área do corpo de prova na região de ruptura.

A redução em área na fratura é dada em porcentagem.

A Figura 4.9 mostra uma curva força x elongação tipica, indicando como foram feitas as medidas das grandezas mencionadas anteriormente.

4.3- Fratografia

Foi usado um microscópio eletrônico de varredura da marca Cambridge, modelo S4-10, com voltagem máxima de operação de 50 kV.

Após a fratura no teste de tração, cortou-se a região fraturada que foi fixada através de um adesivo condutor sobre o suporte de amostra do microscópio. Observou-se dessa forma a topografia na região da fratura, classificando-a como dútil, dútil-frágil ou frágil em função do teor de Nióbio e temperatura de solubilização.

4.4- Ensaios de Corrosão

Foi utilizado um sistema eletroquímico PAR modelo 370, do qual foram usadas as seguintes unidades:

a) Unidade potenciostática/galvanostática, modelo

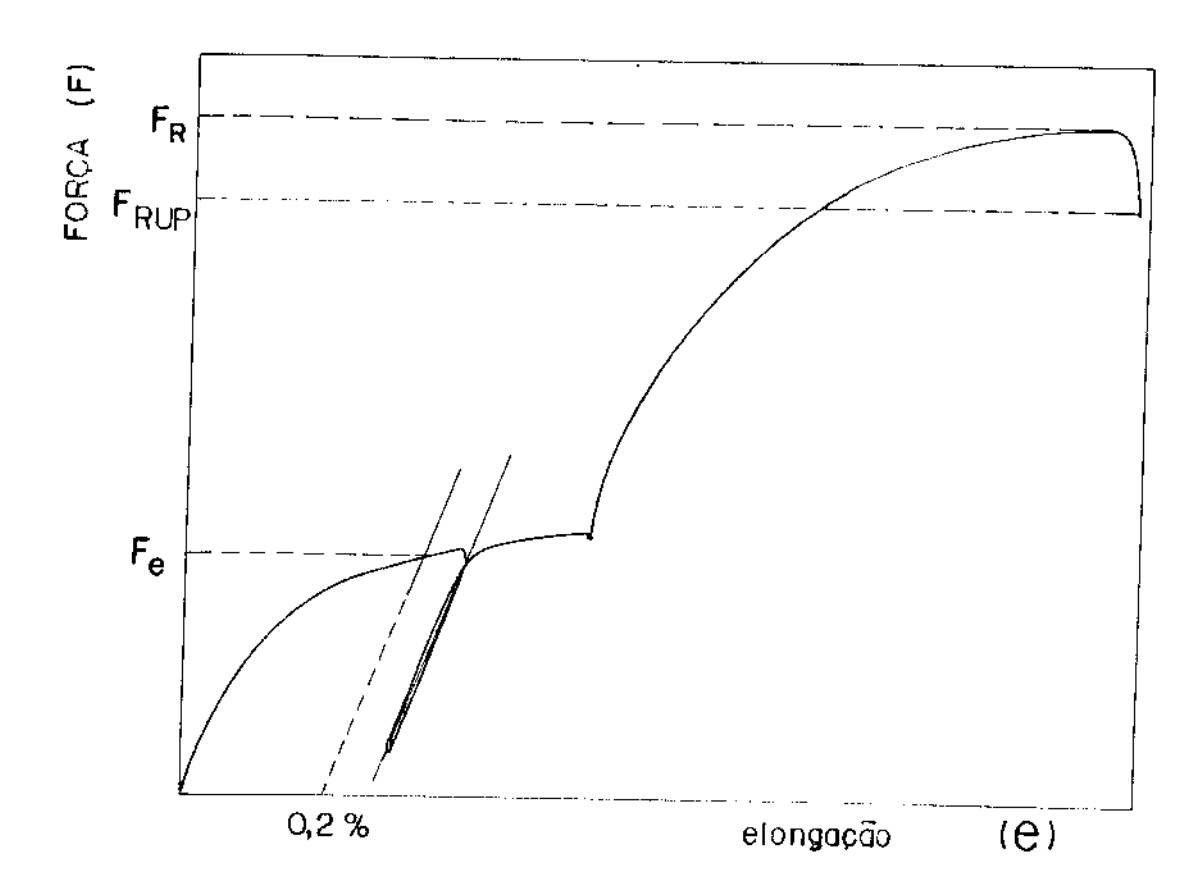


Figura 4.9- Curva típica força x elongação.

173 tendo acoplado o módulo "plug in" conversor logarítmico de corrente, modelo 376. Possui dois canais independentes de potencial/corrente, cada um ajustado para qualquer potencial na faixa de 44,999 V. Acompanha um eletrometro, modelo 178, que permite monitorar o potencial através de um eletrodo de referência.

O modelo 376 tem sete escalas de corrente na faixa de lµ A até 1 A e o erro de medida é da ordem de 0,2%. Possui duas maneiras de medida de corrente, sendo que em uma a volta gem de saída é proporcional à corrente, enquanto que na outra a saída é proporcional ao logarítmo da corrente da cela em relação à faixa de corrente selecionada.

b) Programador Universal, modelo 175 com capacidade de operação na forma de varreduras ou pulsos com precisão na aplicação do potencial da ordem de 110,25 mV. Permite nominalmente varreduras de 1, 2, 5, 10, 20, 50, 100, 200, 500 e 1000 mV/seg, e possui multiplicadores que permitem varreduras com velocidades intermediárias.

4.4.1- Sístemas de Polarização

O sistema utilizado está indicado esquematicamente na Figura 4.10.

A fotografia na Figura 4.11 dá uma vista geral do equipamento utilizado.

A cela de polarização foi construída em vidro pirex com capacidade para 100 ml de solução. Possui dois compartimentos removíveis de vidro, para o contra-eletrodo e eletrodo de referência, que estão separados da cela por uma placa poro sa. A cela está acoplada a uma tampa com orifícios que permi

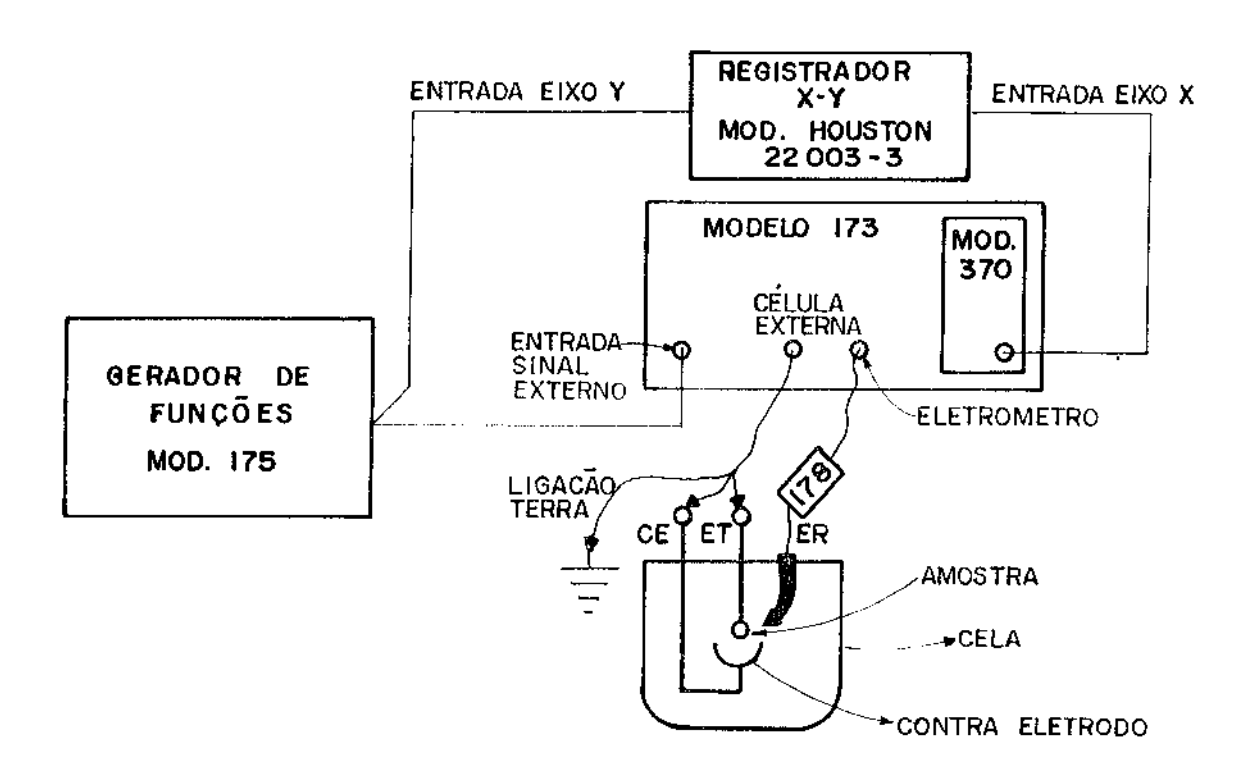


Figura 4.10- Esquema da montagem utilizada nos ensaíos de polarização .

CE = contraeletrodo de platina; ET = eletrodo de trabalho;

ER = eletrodo de referência (calomelano saturado).

tem a entrada dos eletrodos e de um dispositivo para entrada e saída de gases. Utilizou-se o eletrodo de calomelano saturado como referência, em relação ao qual foram medidos todos os potenciais.

A Figura 4.12 mostra a cela de polarização com $\,\mathrm{d}\underline{\mathrm{e}}\,$ talhes.

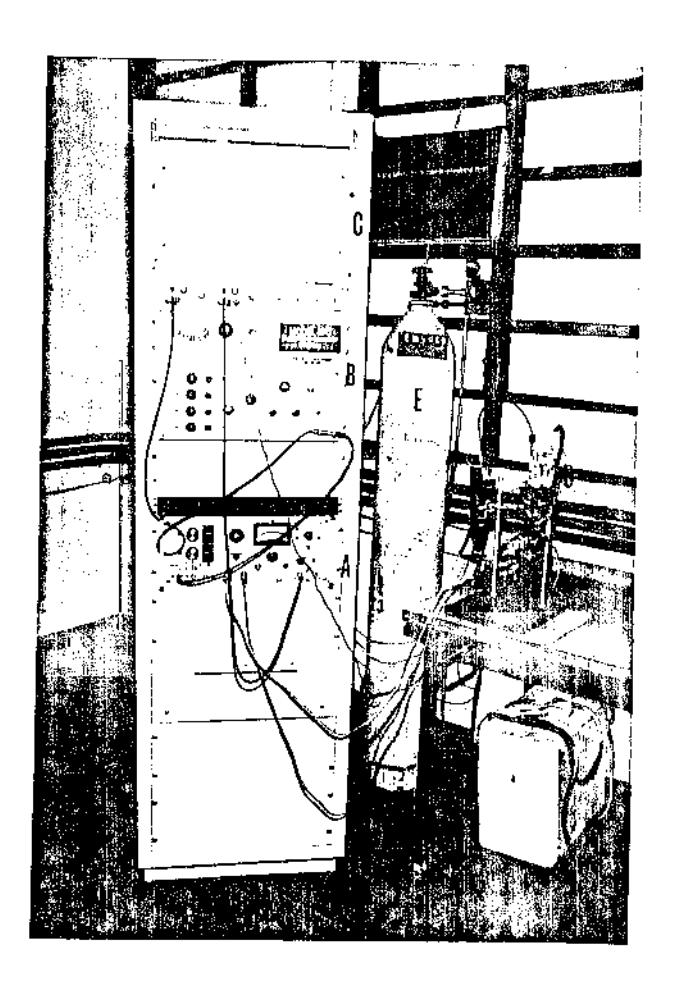


Figura 4.11- Sistema eletroquímico PAR, modelo 370.

- A: Unidade potenciostática/galvanostática.
- B: Programador Universal Gerador de funções.
- C: Registrador X-Y.
- D: Célula de polarização.
- E: Cilíndro de nitrogênio SS.

O eletrólito utilizado foi uma solução de ácido sulfúrico 2N, desaerada com Nitrogênio super-seco durante 30 minutos antes das medidas, e mantido nessa atmosfera. Os ensaios foram realizados à temperatura de 25/2 $^{\rm O}$ C.

Os corpos de prova foram tirados de barras cilíndr \underline{i} cas como indicado na Figura 4.5, etapa VIII. Em uma das extremidades foi soldado um fio de cobre para facilitar o contato elétrico, enquanto que as faces laterais foram cobertas

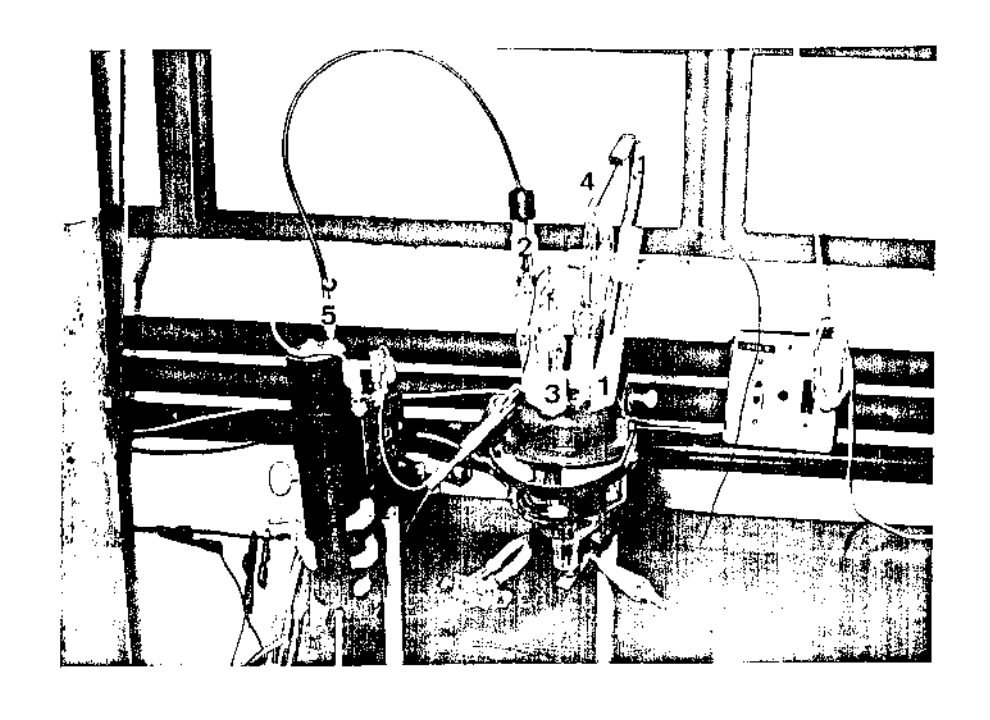


Figura 4.12- Cela de polarização. 1: eletrodo de trabalho; 2: eletrodo de referência; 3: contra-eletrodo; 4: torneira para borb<u>u</u>
Thamento de gâs; 5: eletrômetro PAR.

com resina polylite T-208, deixando em contato com a solução apenas uma base do cilindro com área de 0,2 cm², de acordo com a Figura 4.13.

A área exposta do corpo de prova foi polida até a lixa 600. Posteriormente, antes de cada ensaio de polariza ção, foi feito um polimento em lixa 400, seguido de lavagem em água, depois em lixa 600 e lavagem com álcool etilico. Após a última lavagem o corpo de prova era imediatamente colocado na solução da cela em condições de polarização catódica a -700 mV, para impedir o crescimento de qualquer filme de

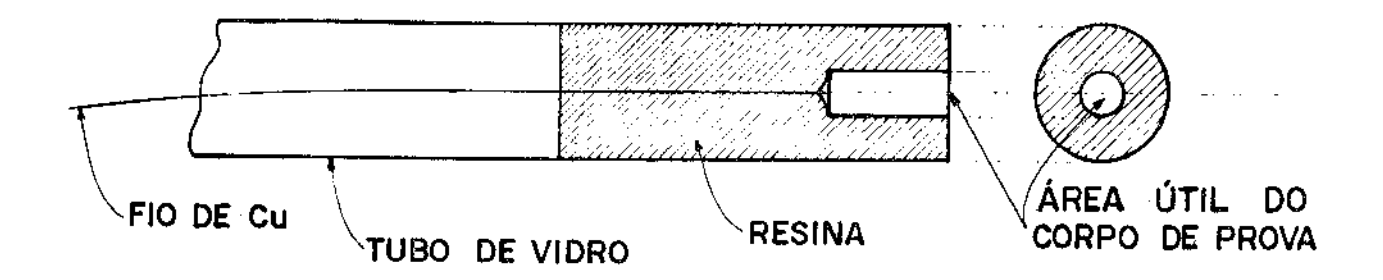


Figura 4.13- Montagem esquemática do eletrodo de trabalho.

passivação prévio às medidas. Este procedimento foi o que apresentou os melhores resultados do ponto de vista da reprodutividade das curvas de polarização. É interessante salien tar que a tentativa de redução do filme de óxido superficial através da polarização catódica, dentro da região de evolução de hidrogênio (= -1500 mV) levou a uma sobrecarga de corrente após alguns segundos da aplicação do potencial, o que seria indicativo de um fenômeno de redução ou da ruptura do filme, provocada pela turbulência do meio, resultado da grande evolução de hidrogênio.

A reprodutividade das curvas de polarização depende da concentração da solução, fato que justifica a utilização de uma solução de concentração $2N^{\left(92\right)}$.

A reprodutividade depende também da velocidade de varredura, sendo tanto mais irreprodutível quanto maior for a velocidade. Neste trabalho a irreprodutividade está dentro de uma faixa da ordem de 10% para as mais altas velocidades de varredura utilizadas.

5- RESULTADOS EXPERIMENTAIS

5.1- Microestruturas

A composição química dos aços usados neste trabalho, obtidos por fusão à vácuo, está indicada na Tabela V.1.

As representações AL, BL, CL e DL indicam que esses aços foram laminados e em seguida esfriados em água, enquanto que a representação XL0000 significa:

X: teor de Nióbio de acordo com a Tabela V.1;

L: aço laminado;

0000: 4 dígitos indicando a temperatura de solubilização após laminação, durante uma hora, seguida de resfriamento em água.

Comparando-se os dados da Tabela V.l com os da Tab<u>e</u> la I.l, verifica-se que os aços A, B, C e D têm composição s<u>e</u> melhante ao aço SAE 304L. Apresentam um teor de Carbono, Fo<u>s</u> foro e Enxofre mais baixo do que o 304L. Segundo o diagrama de Schaeffler ⁽⁶²⁾, indicado na Figura 5.1, as amostras B, C e D deverão apresentar diferentes teores de ferrita delta.

Embora esses aços apresentem baixos teores de carbo no e nitrogênio, pode ocorrer a precipitação de carbonitretos complexos de Nióbio, uma vez que o Nióbio tem baixa solubilidade na matriz austenítica e possui forte afinidade pelo car

Tabela V.1- Composição química dos aços inexidáveis.

N Edg	258	123	178	103	
0 O	124	88	135	83	
co.	0,011	0,014	0,013	0,014	
Nb	zero	0,52	1	1,94	
V Nb	0,05	0,05	0,05	0,05	
14	90,0		90,0	90,0	
Cu	0,05	0,05	0,05	0,05	
Mo	60,0	60,0	60,0	60,0	
Ni	11,00	11,20	11,10	11,00	
Cr	18,24	18,80	18,20	18,84	
ρ.,	0,02	0,02	0,02	0,02	
Mn	1,16	1,13	1,21] , [
Si	1,02	1,00	1,02	1,01	
O	0,02	0,02	0,02	0,02	
Açc	Ą,	យ	Ü	О	

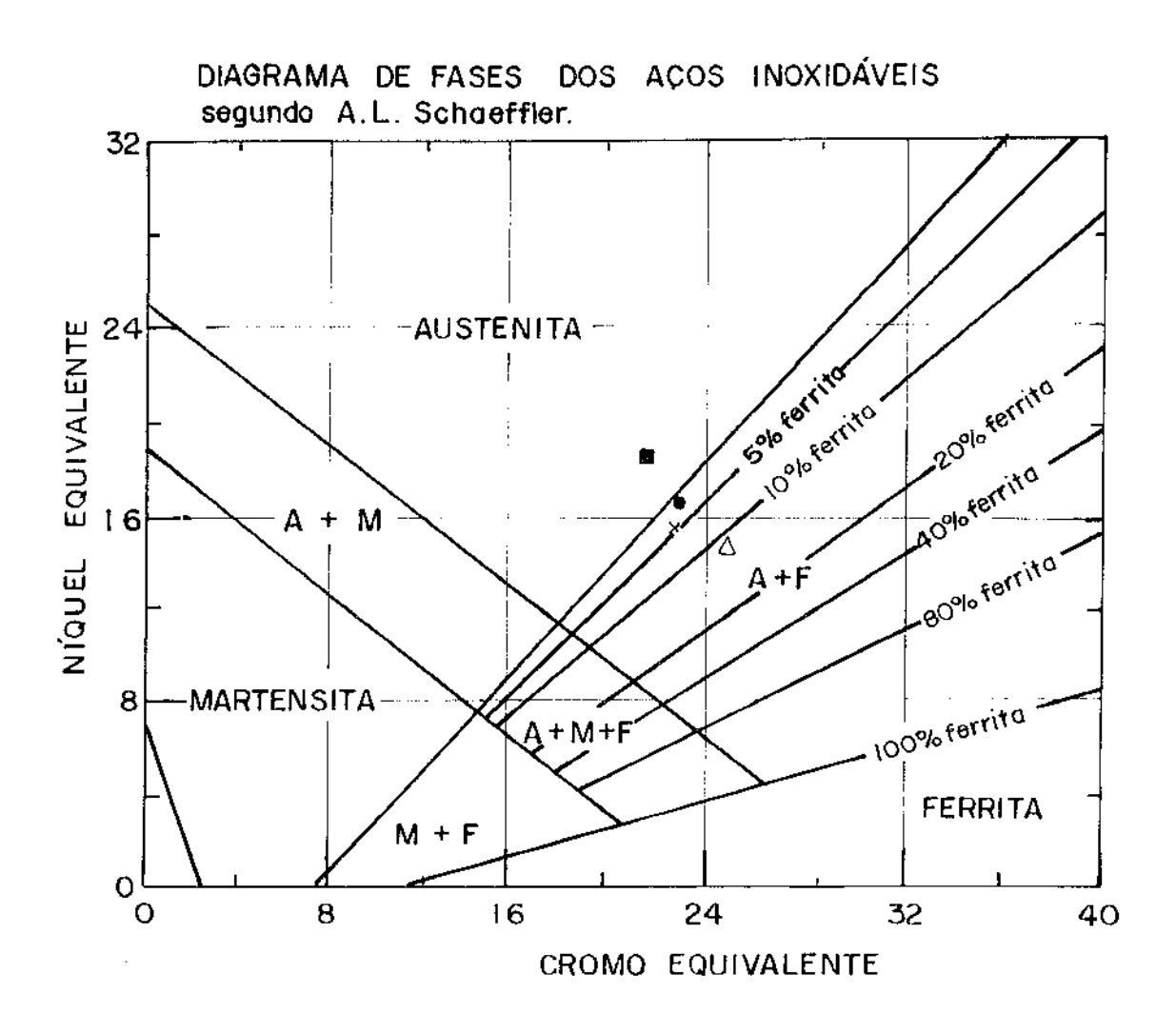


Figura 5.1- Posicionamento dos aços Λ (Δ), Β (Φ), C(X) e D (Λ) no diagr<u>a</u> ma de Schaeffler para aços inoxidáveis (62).

bono e Nitrogênio. A solubilização desses carbonitretos, de pendem da composição do aço e da temperatura de solubilização. A Figura 5.2 apresenta os resultados dos trabalhos desenvolvidos por Keown (63), quanto à solubilização de carbonitretos de Nióbio em aço inoxidável austenítico do tipo 18-8, e indicam que os aços B, C e D podem ser classificados como aços hiper estequiométricos em relação ao teor de Nióbio, Carbono e Nitrogênio. Nessa figura, as retas representam as diferentes com posições de Carbono, Nitrogênio e Nióbio que satisfazem a condição estequiométrica para a formação de carbonetos do tipo NbC ou Nb $_4$ C $_3$. Qualquer composição abaixo dessas retas representa os aços hiperestequiométricos (excesso de Nióbio), en quanto que acima dessas retas estão os aços hipoestequiométricos (falta de Nióbio).

As isotermas indicam que para qualquer composição, pertencentes à parte inferior dessas curvas, os carbonetos poderão ser solubilizados à temperatura da isoterma correspondente.

As micrografias da Figura 5.3 mostram o efeito refinador de grão devido à presença de Nióbio, após a laminação à quente. A amostra AL apresenta grãos austeníticos equiaxiais, sem qualquer indício da laminação anterior. As amostras BL, CL e DL apresentam no entanto uma textura levemente orientada, no sentido da laminação, atribuída ao efeito do Nióbio na cintícia de recristalização.

Após a laminação, os aços foram solubilizados nas temperaturas de 1100, 1200 ou 1300 ^OC por uma hora, seguido de resfriamento em água à temperatura ambiente.

As fotografias das Figuras 5.4, 5.5, 5.6 e 5.7 apresentam as microestruturas para os diferentes tratamento térmicos.

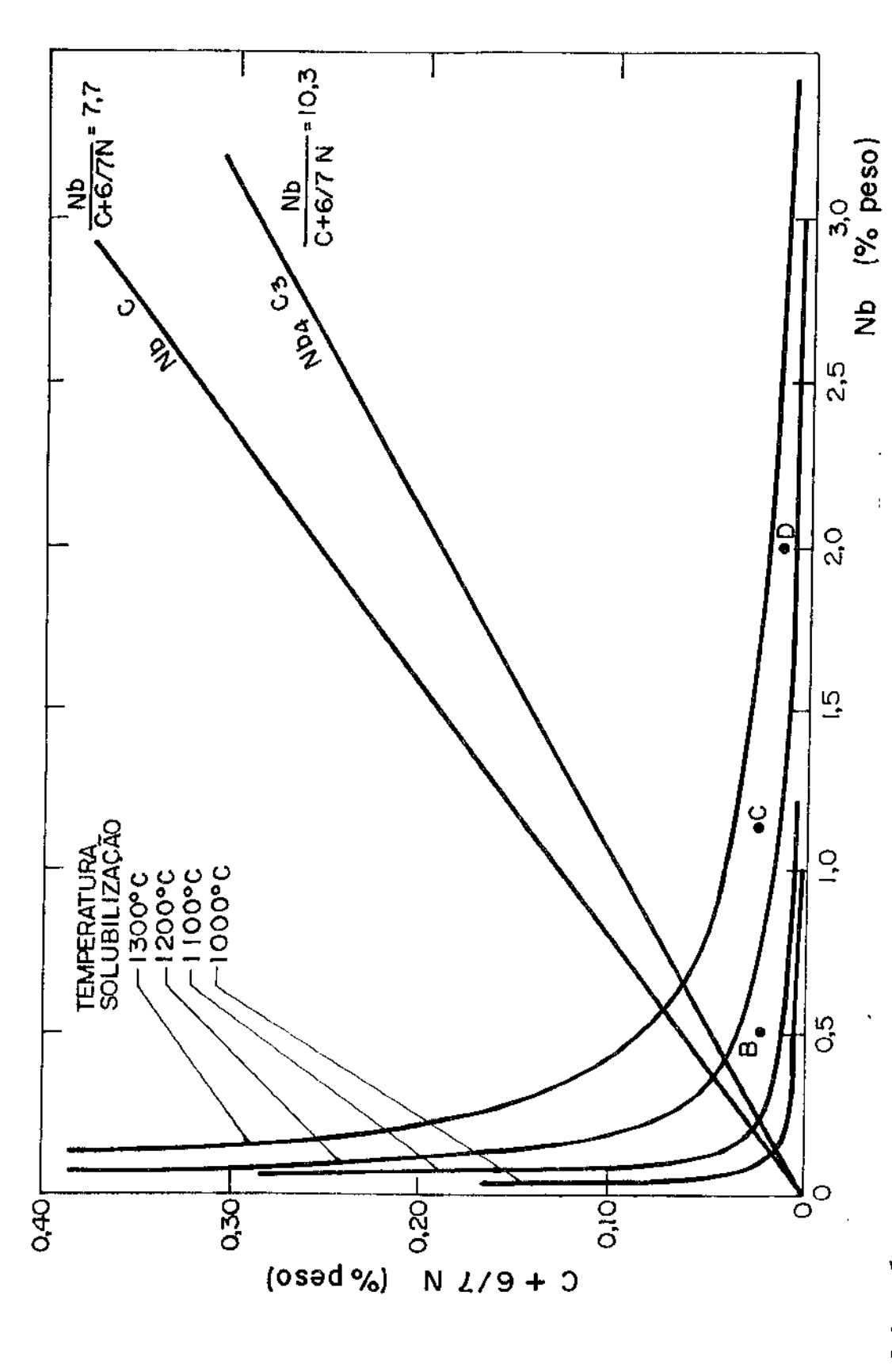


Figura 5.2- Análise dos aços B, C e D com relação à solubilidade do carboneto de Nióbio e sua razão estequiométrica, gundo Keown (63).

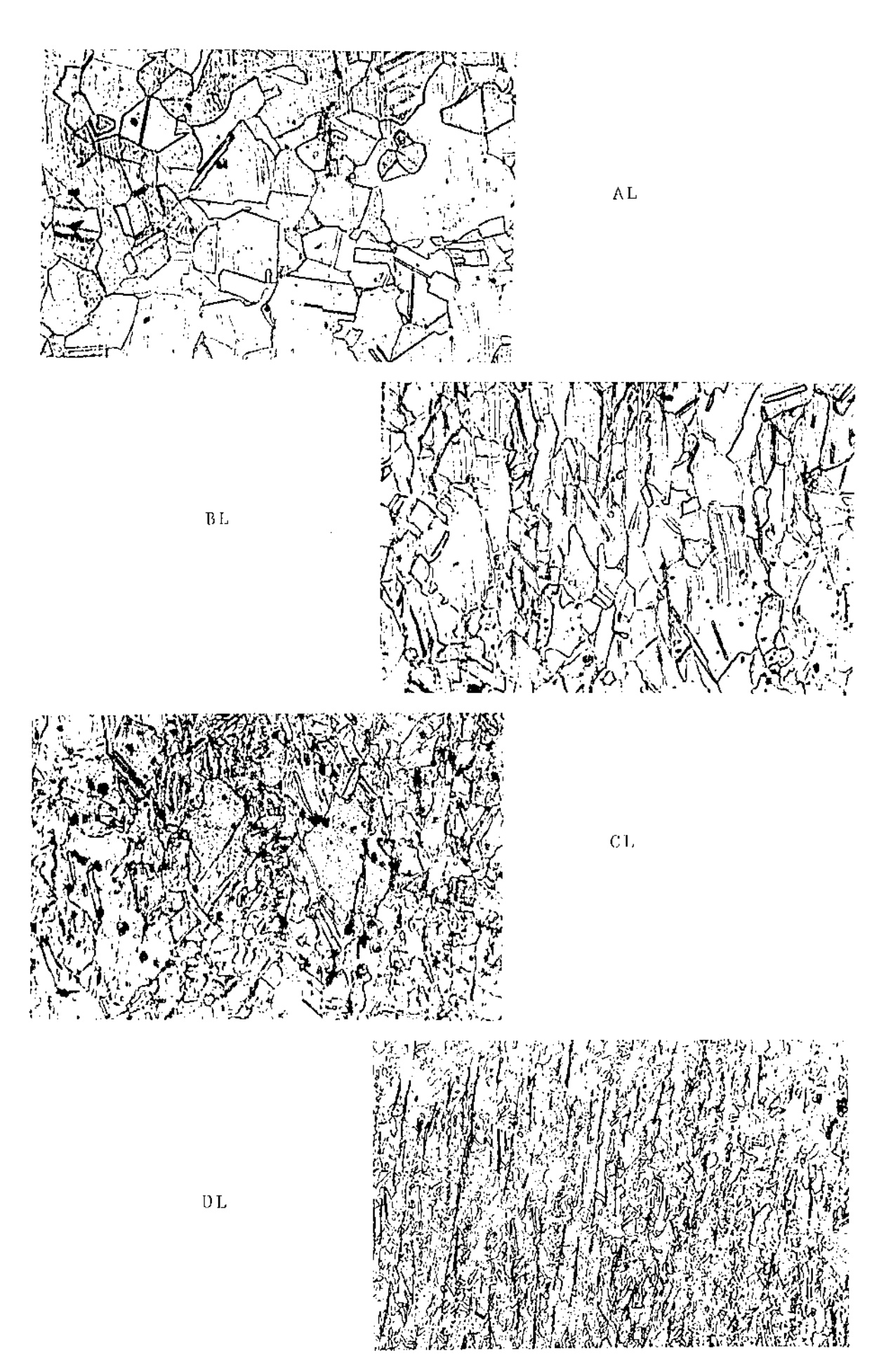


Figura 5.3- Microestruturas das amostras AL, BL, CL e DL. Aumento: 100X. Ataque: 10~ml HNO_3 , 20~ml HC1, 10~ml alcool metilico.

UNICA IP SPIL PLEEPA Observa-se pelas micrografias da Figura 5.4 que as amostras do tipo AL apresentam uma granulação grosseira, que aumenta com a temperatura de solubilização. Apresentam uma estrutura austenítica típica, com grãos equiaxiais porém irregulares, além dos grãos apresentarem contornos de maclas.

As amostras BL, indicadas nas micrografias da Figura 5.5, apresentam uma sensível diminuição de tamanho de grão em relação à amostra AL, com a granulação dependendo da temperatura de tratamento térmico. A estrutura austenítica apresenta-se com grãos equiaxiais e com contornos de macla.

Nas micrografias da Figura 5.6 são indicadas as microestruturas das amostras CL. Pode-se verificar uma granulação mais fina que nas amostras anteriores. As amostras CLll00 e CLl200 apresentam o mesmo aspecto das amostras AL e BL. Na amostra CLl300 verifica-se a presença de uma $2^{\frac{a}{2}}$ fase, conhecida como ferrita δ , caracterizando uma estrutura duplex auste nita-ferrita. O teor de ferrita é da ordem de 37%. Não é nítida a presença de maclas.

Para as amostras DL, de maior teor de Nióbio, mos tradas nas micrografias da Figura 5.7, verifica-se ainda o fe nômeno de refino de grão. As amostras DL1100 e DL1200 apre sentam uma estrutura austenítica fina de grãos equiaxiais on de aparecem contornos de maclas. A amostra DL1300 é uma estrutura duplex com 53% de ferrita, destacando-se ainda uma 3ª fase precipitada geralmente em contorno de grão austenítico-austenítico ou austenítico-ferrítico. Os resultados obtidos na análise fratográfica (item 5.3), sugerem tratar-se de uma fase extremamente frágil, enquanto que a análise qualitativa com microsonda eletrônica, revela que são precipitados ricos em Nióbio e Cromo.

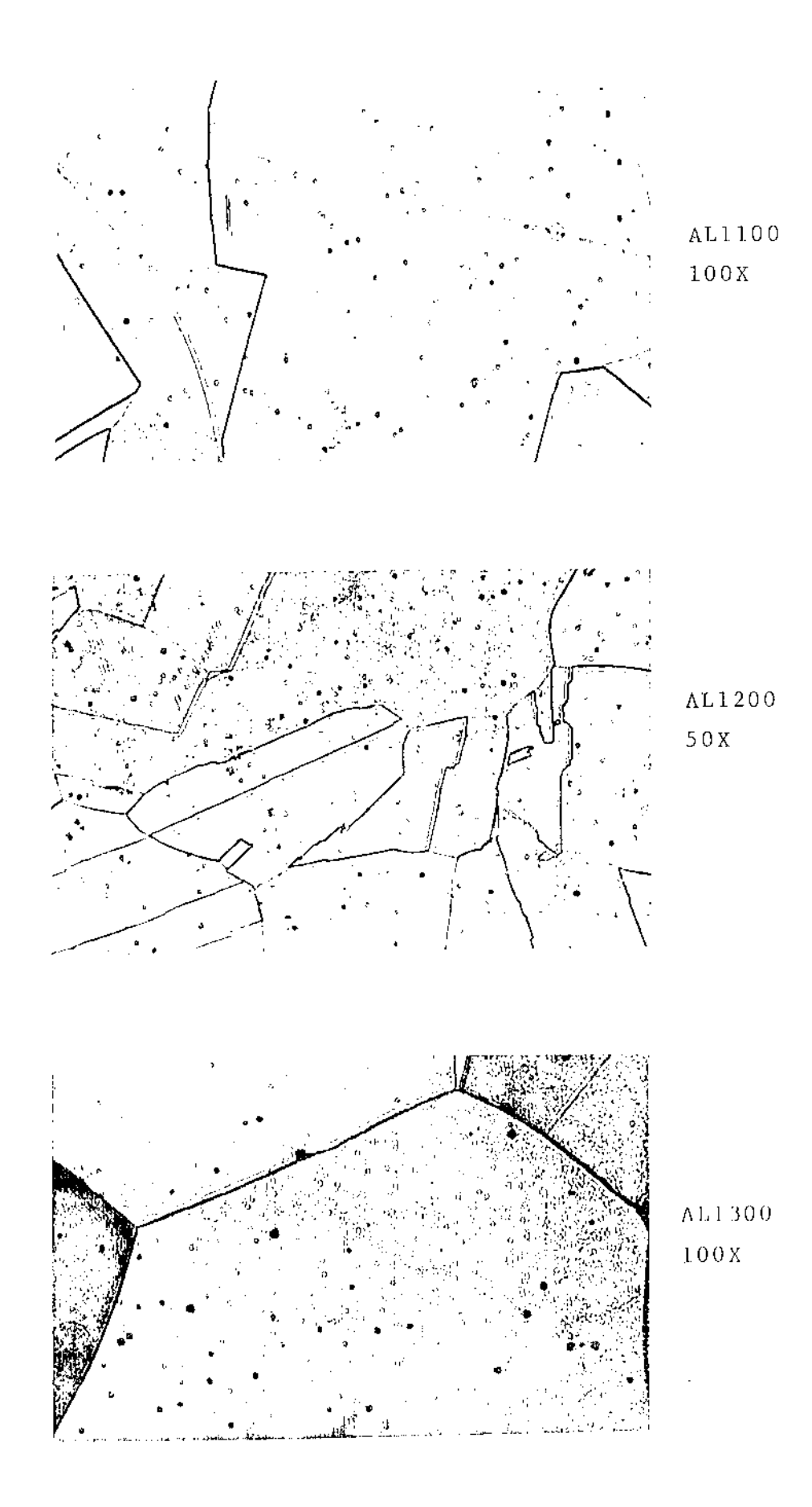


Figura 5.4- Microestruturas das amostras Λ L100, Λ L1200 e Λ L1300. Λ taque: 10 ml HNO_3 , 20 ml HC1, 10 ml \tilde{a} Lcool met \tilde{i} lico.

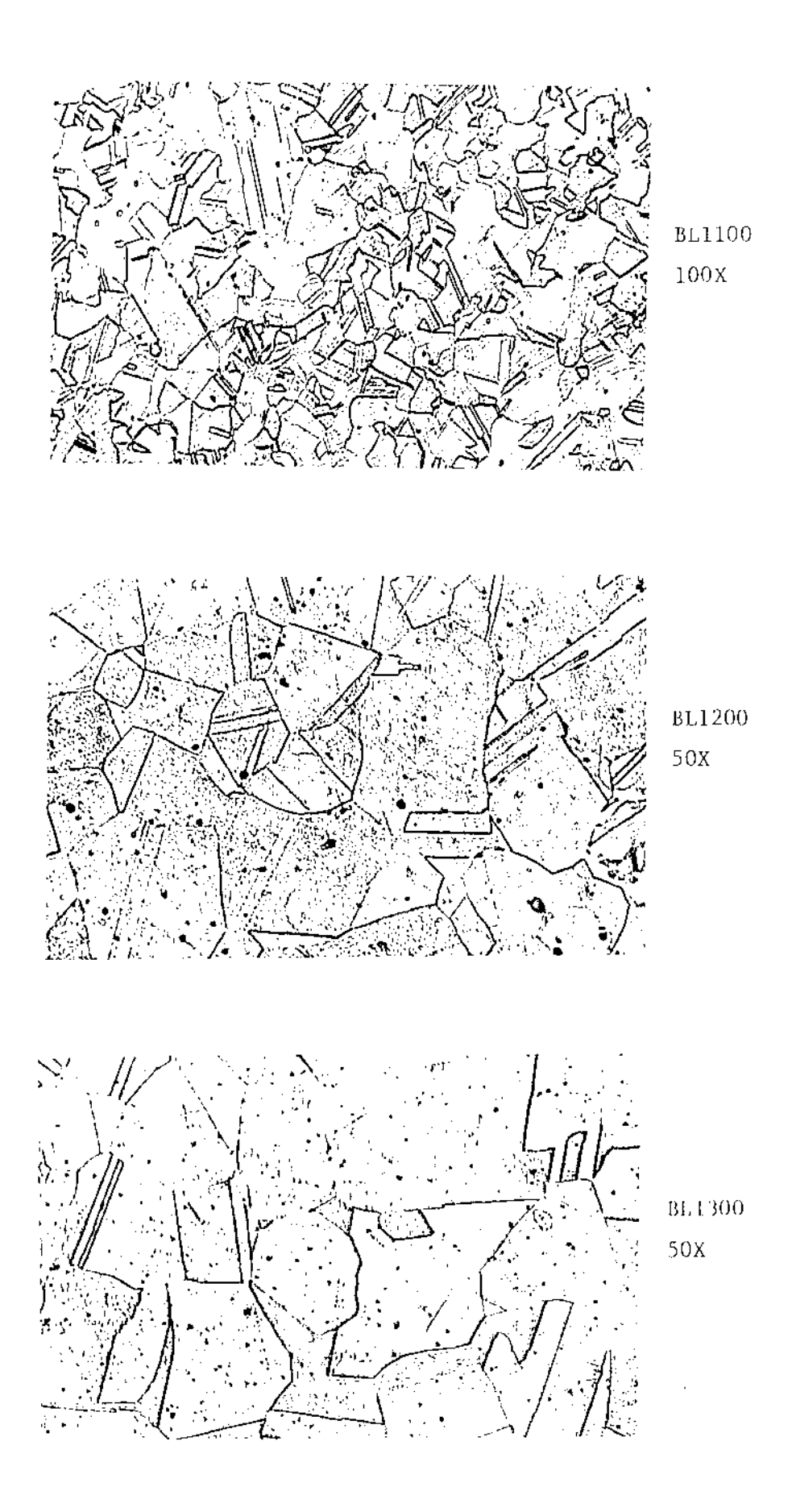


Figura 5.5- Microestruturas das amostras BL1100, BL1200 e BL1300. Ataque: 10 ml HN0 $_3$, 20 ml HC1, 10 ml álcool metílico.

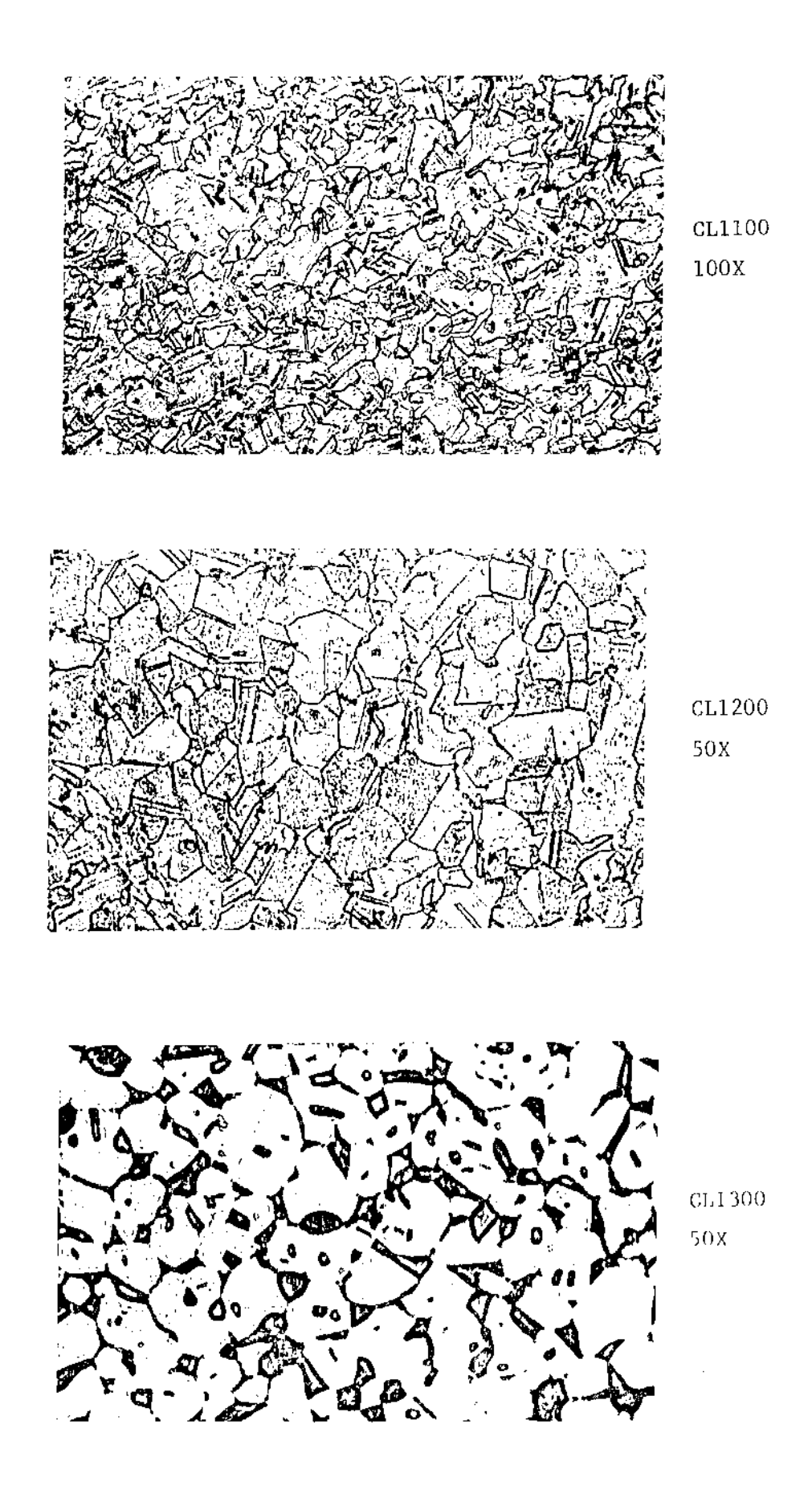


Figura 5.6- Microestruturas das amostras CL1100, CL1200 e CL1300. Ataque: $10~\text{ml HNO}_3$, 20~ml HCl, 10~ml alcool metalico.

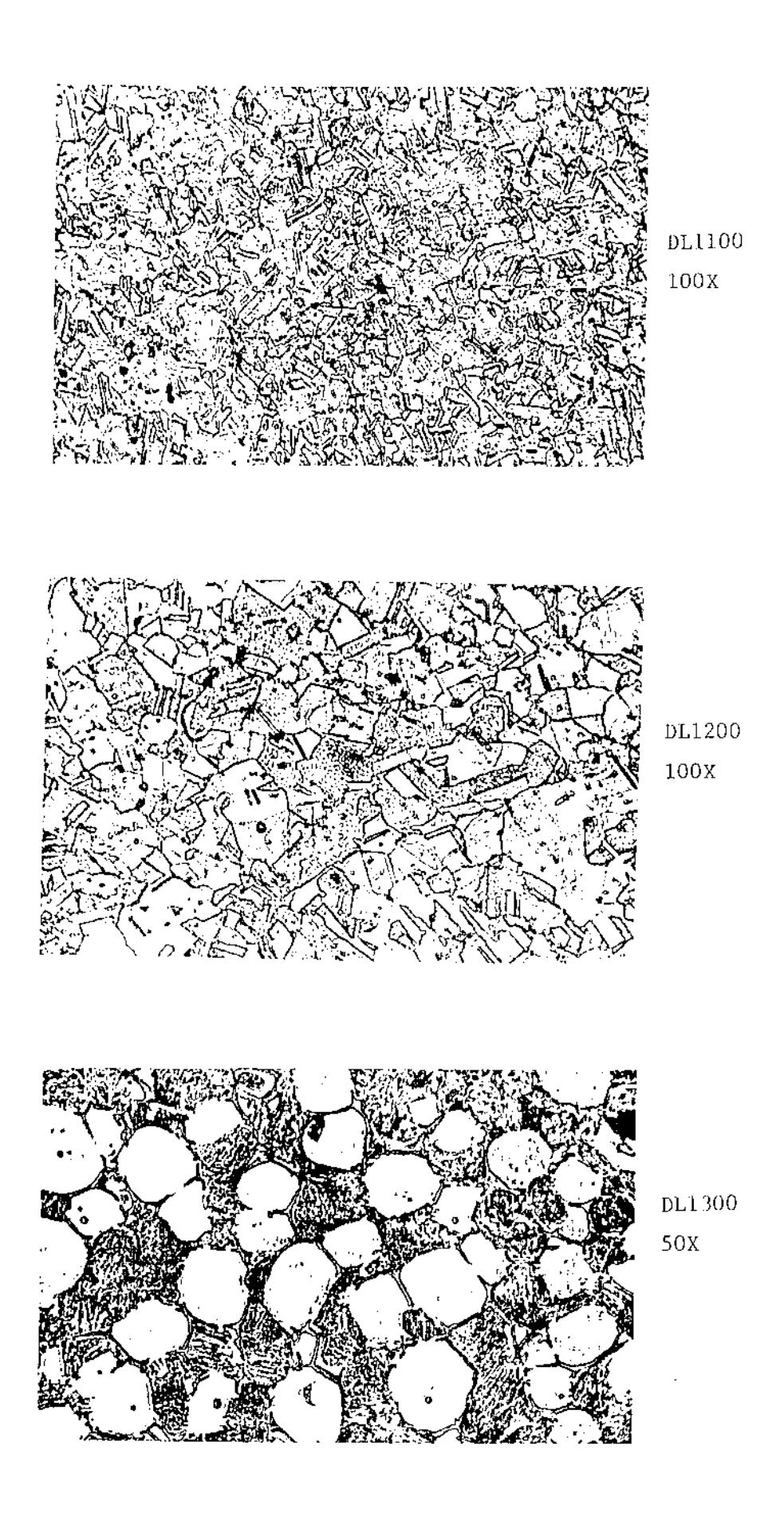


Figura 5.7- Microestruturas das amostras DL1100, DL1200 e DL1300. Ataque: 10 ml HN0 $_3$, 20 ml HCL, 10 ml álcool metílico.

As amostras que contém Nióbio, apresentam uma granulação fina mesmo para tratamentos térmicos prolongados a tem
peraturas elevadas, o que mostra o caráter refinador de grão
deste elemento. Conclui-se que, do ponto de vista do efeito
da granulação nas propriedades mecânicas, tratamentos térmi
cos deste tipo são perfeitamente viáveis.

5.2- Ensaio de Tração

Foram realizados dois ensaios de tração para cada amostra AL, BL, CL e DL, solubilizadas por 1 hora nas tempera turas de 1100, 1200 ou 1300 °C. Os dados experimentais a se guir representam uma média desses dois ensaios. A partir da curva Força x Elongação obteve-se os parâmetros mecânicos como descrito na seção 4.2.1.

mento em função da temperatura de solubilização. Observa-se que para as amostras AL a tensão de escoamento diminui com o aumento da temperatura de solubilização. Para as outras composições B, C e D, os valores mais altos da tensão de escoamen to correspondem à temperatura de 1300 °C, enquanto que os mais baixos à temperaturas de 1200 °C. Os valores correspondentes à temperatura de solubilização de 1100 °C estão situados numa faixa intermediária. Independentemente da temperatura de solubilização, a tensão de escoamento aumenta significativamen te em função do teor de Nióbio como indicado pela Figura 5.9. Não existe uma variação significativa apenas para as amostras BL1100 e BL1200 em relação a AL1100 e AL1200.

A Figura 5.10 representa a dutilidade dos aços, ex pressa em termos de porcentagem de redução em área na fratura,

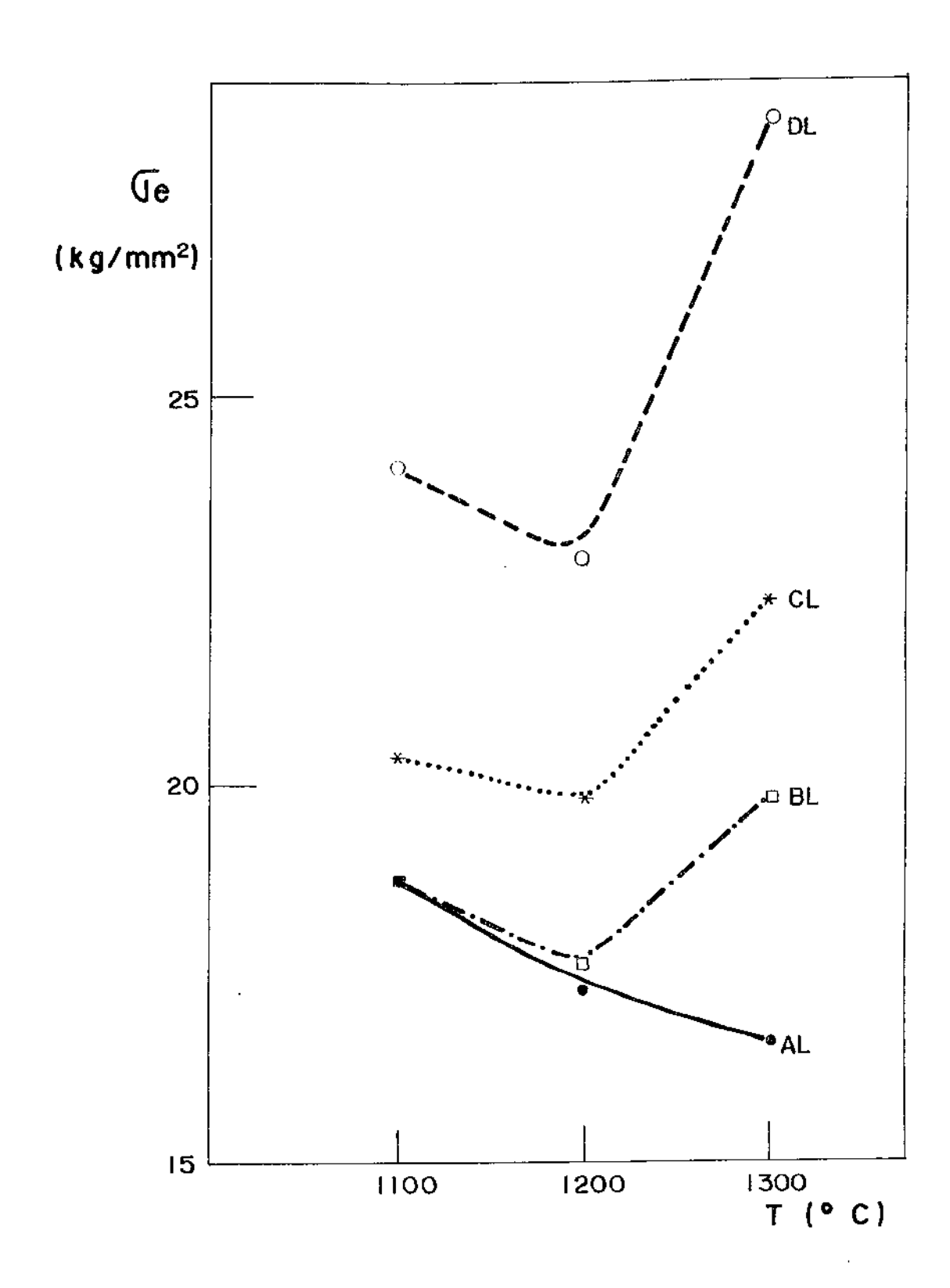


Figura 5.8- Variação da tensão de escoamento ($\sigma_{\rm e}$) em função da temperatura de solubilização.

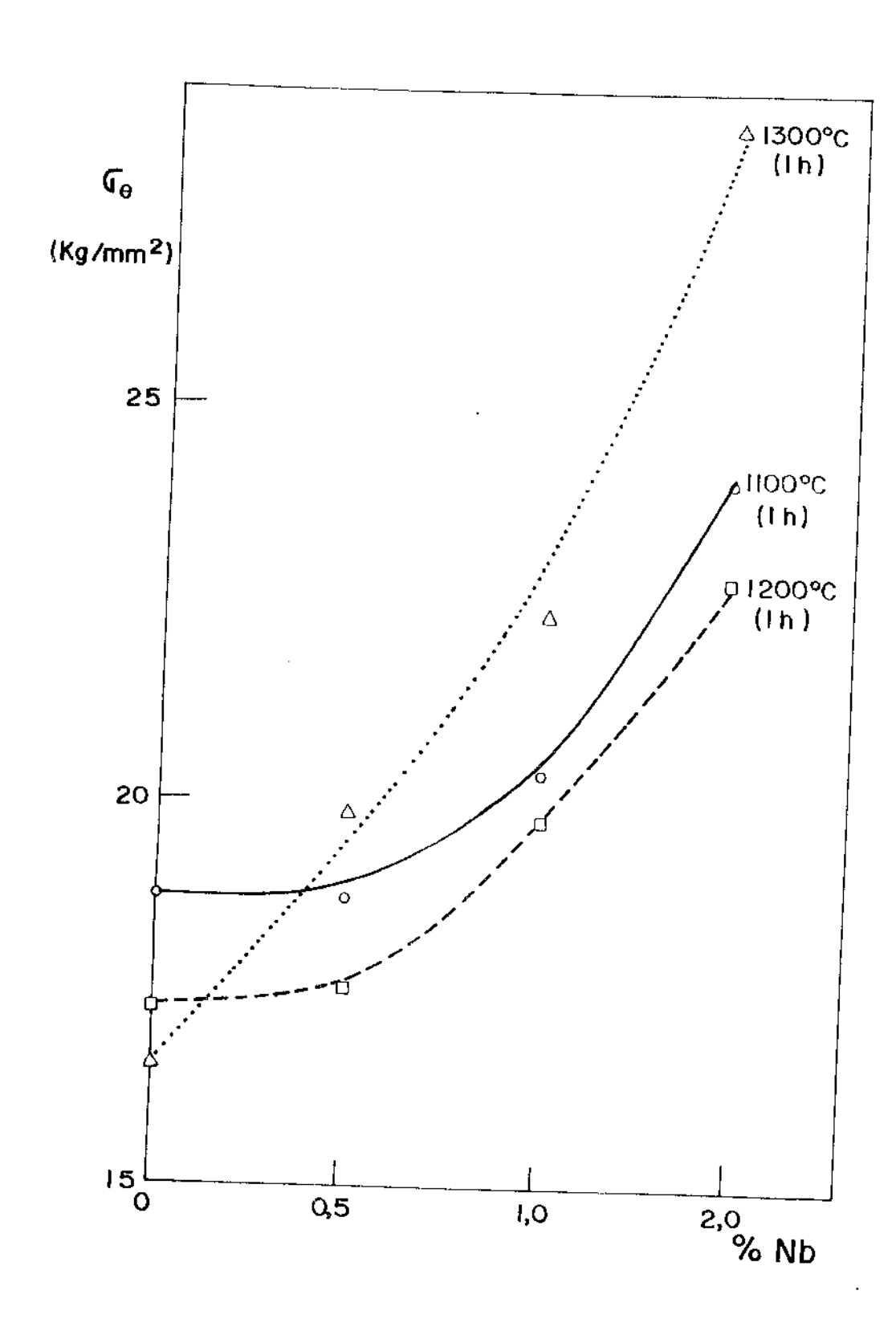


Figura 5.9- Variação da tensão de escoamento (σ_e) em função do teor de Nióbio.

em função da temperatura de solubilização. Observa-se que a amostra de comportamento mais dútil é a ALI300, e a de comportamento mais frágil a DLI300. A diferença na dutilidade en tre elas é da ordem de 60%. Temperaturas de solubilização su periores a 1200 °C, comprometem seriamente a dutilidade dos aços de alto teor de Nióbio, CL e DL. Para os aços BL, a dutilidade não é afetada pela temperatura de solubilização, en quanto que para os aços AL a dutilidade cresce com a temperatura de solubilização.

Na Figura 5.11 está indicada a variação da redução em área na fratura em função do teor de Nióbio. Pode-se observar que temperaturas de solubilização da ordem de 1300°C, com prometem seriamente a dutilidade dos aços. Os aços DL1200 apresentam dutilidade da ordem de 60%, enquanto que os aços DL1300 uma dutilidade de 30%. Verifica-se dessa forma que o efeito benéfico do aumento da temperatura de solubilização na dutilidade dos aços ao Nióbio, se verifica apenas até temperaturas da ordem de 1200°C, sendo indiferente para os aços do tipo BL.

A variação da tensão máxima de resistência em função da temperatura de solubilização para as diferentes composições, está indicada na Figura 5.12. Verifica-se que para as amostras AL, σ_R diminui em função da temperatura, o mesmo ocorrendo em relação à amostra DL.

Existe entretanto um aumento de $\sigma_{\mbox{\scriptsize R}}$ para as amostras BL e CL a partir da temperatura de 1200 $^{\rm O}{\rm C}\,.$

A tensão máxima de resistência em função da porcentagem de Nióbio, está representada na Figura 5.13, onde observa-se um aumento de σ_R com um aumento do teor de Nióbio.

As Figuras 5.14 e 5.15 apresentam os dados relativos à tensão de ruptura. Pode-se verificar que para uma mes ma temperatura de solubilização, $\sigma_{\rm rup}$ aumenta em função do

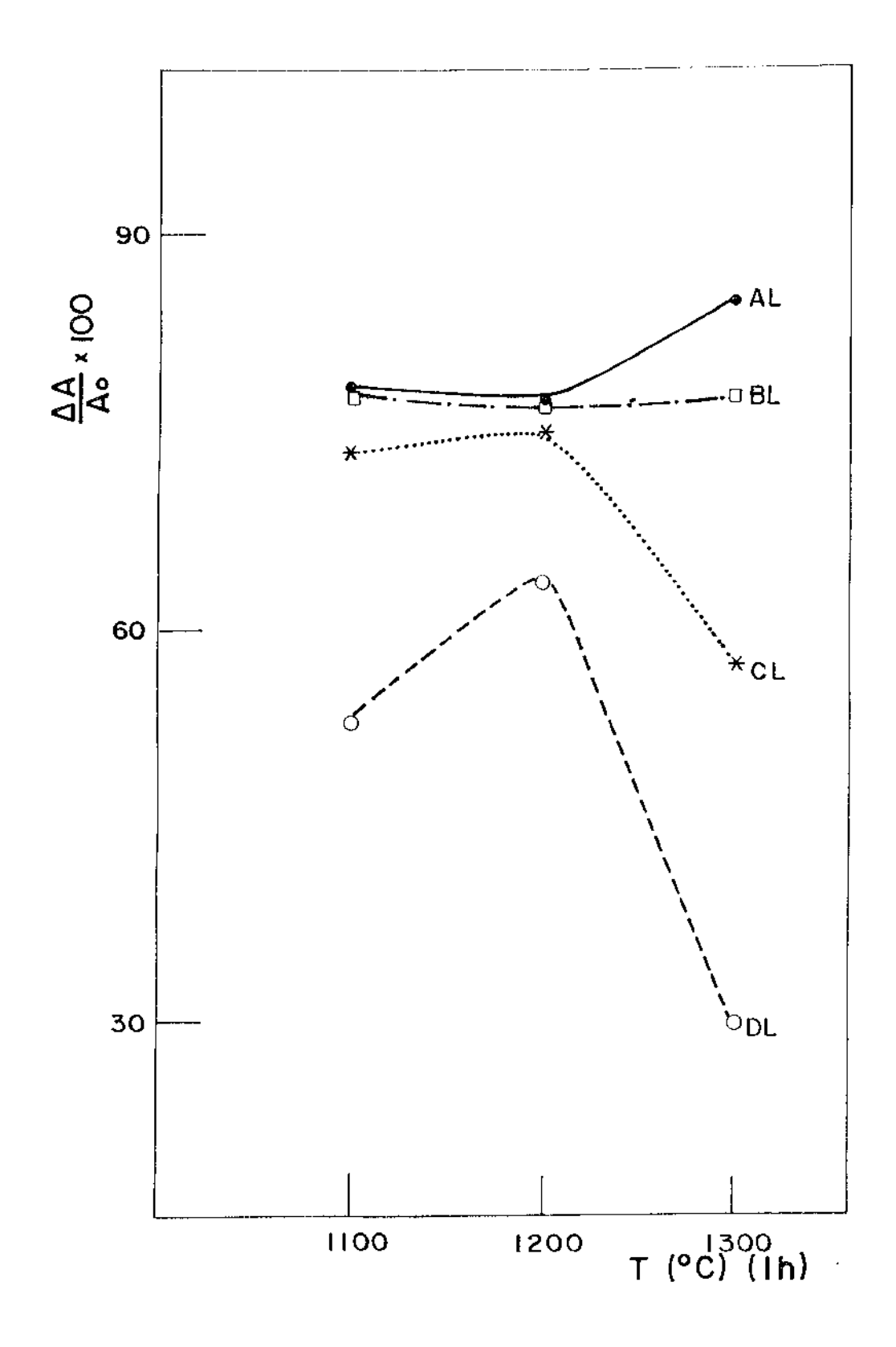


Figura 5.10- Porcentagem de redução em área na fratura versus temperatura de solubilização.

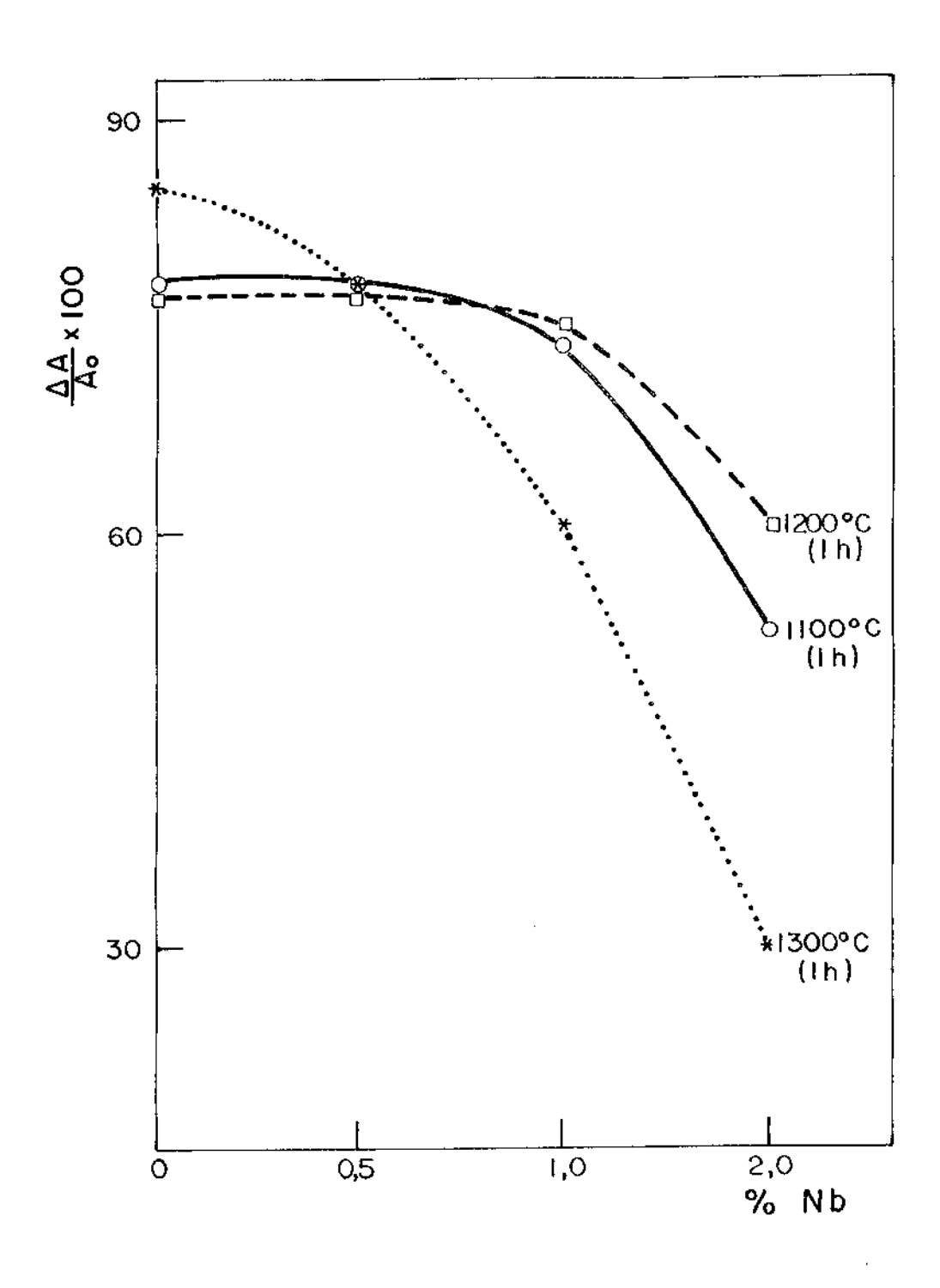


Figura 5.11- Porcentagem de redução em área na fratura versus teor de $\mathrm{Ni}\underline{\acute{o}}$ bio.

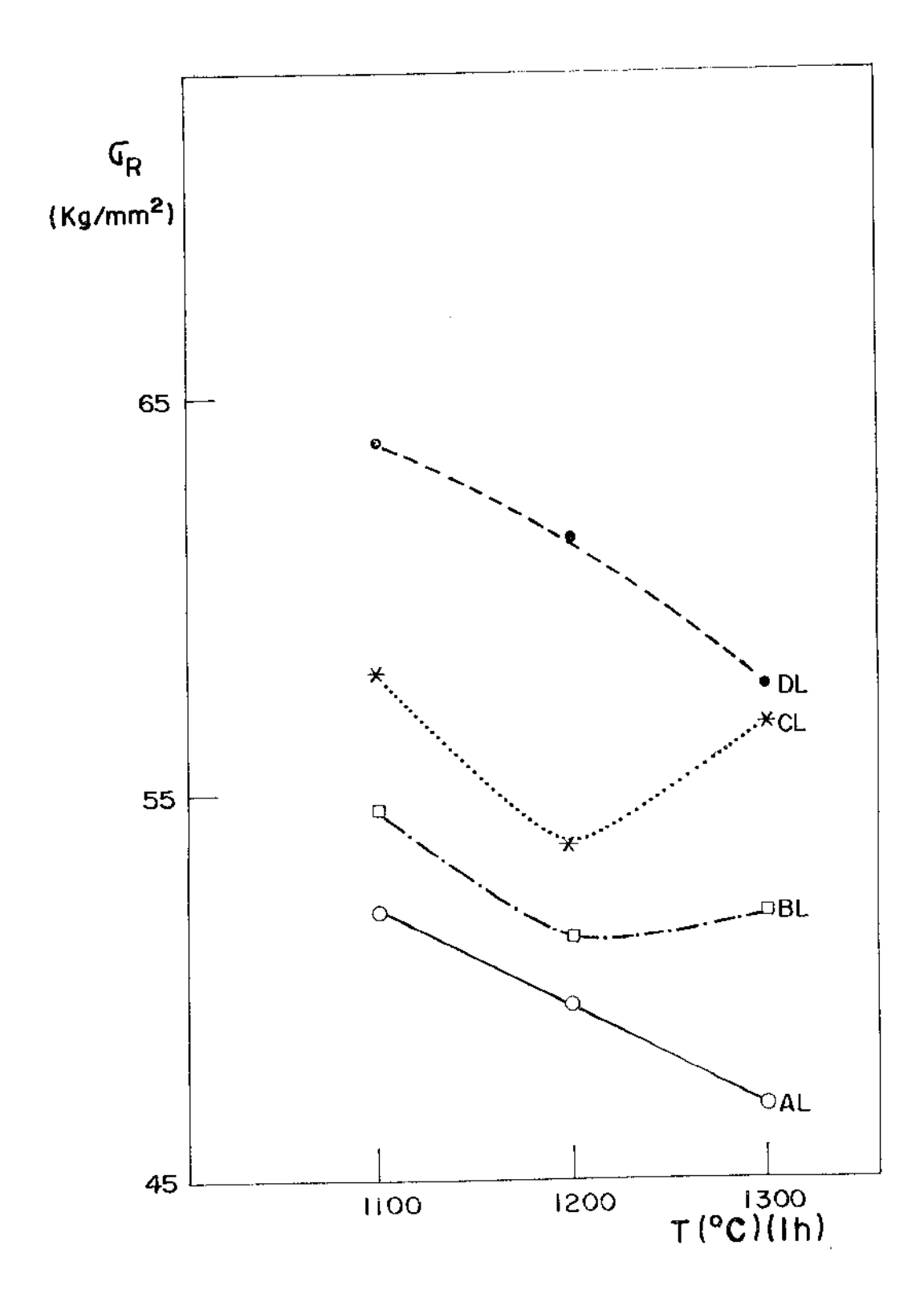


Figura 5.12- Tensão máxima de resistência em função da temperatura de solubilização.

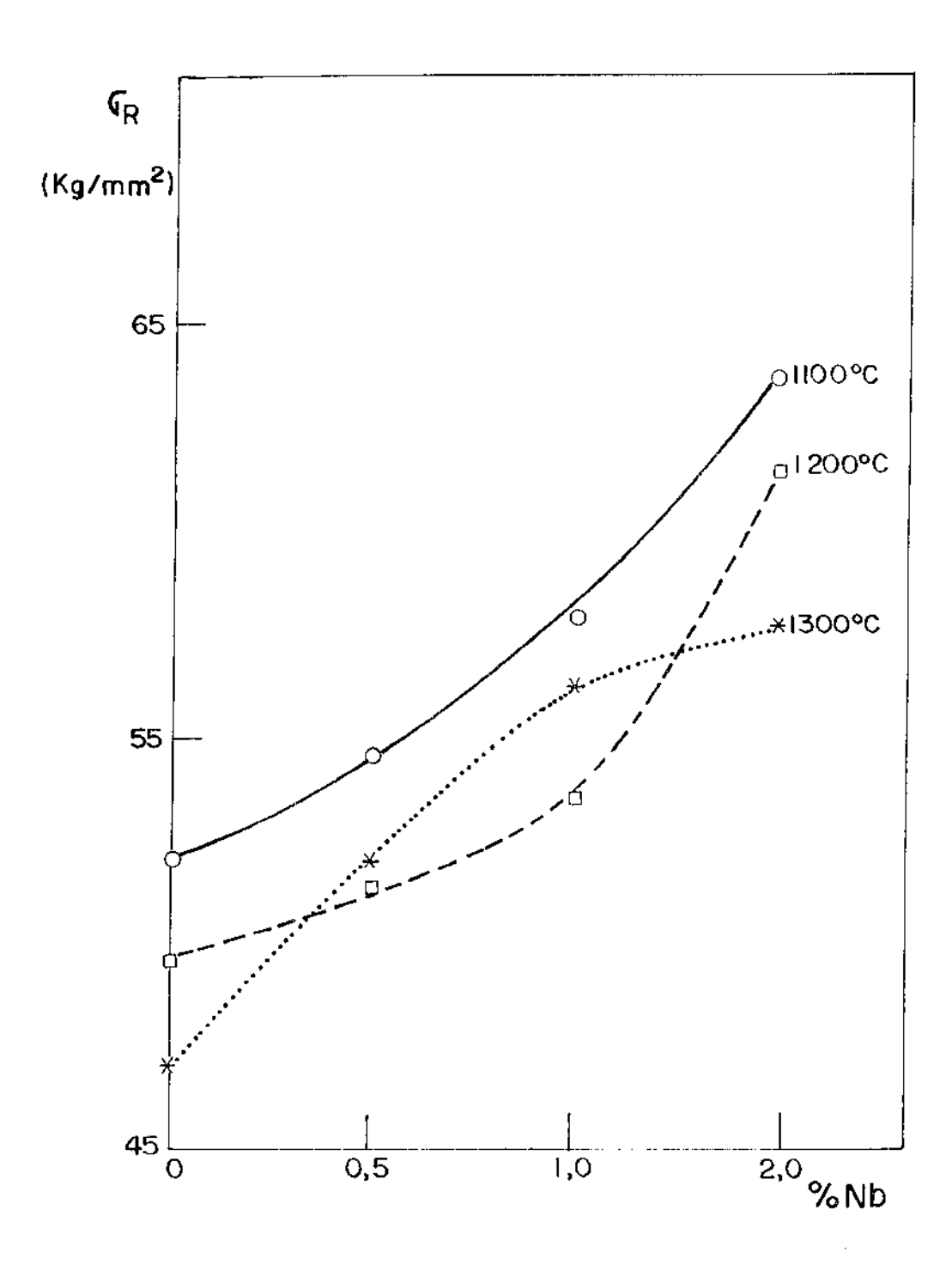


Figura 5.13- Tensão máxima de resistência versus teor de Nióbio.

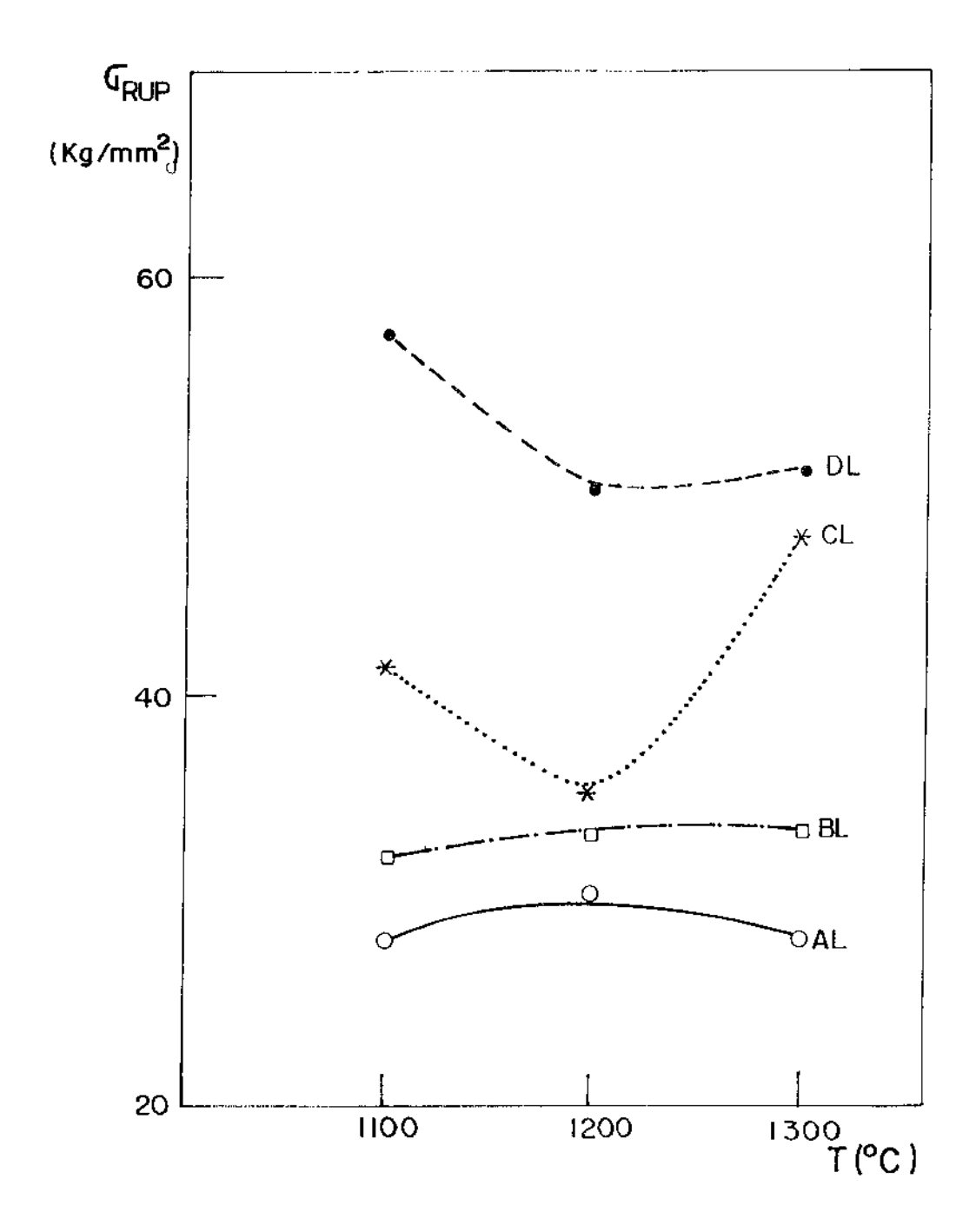


Figura 5.14- Variação da tensão de ruptura em função da temperatura do so lubilização.

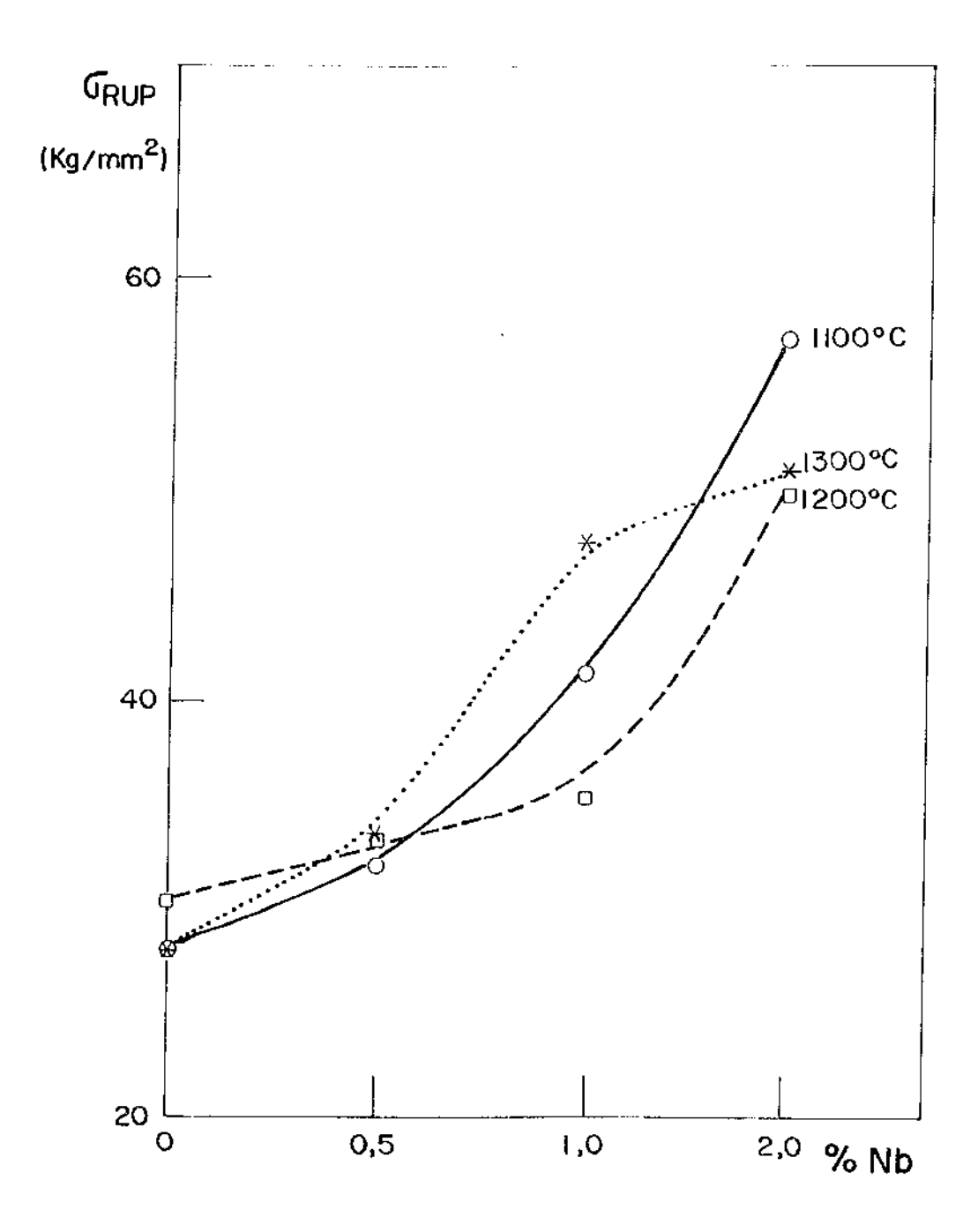


Figura 5.15- Variação da tensão de ruptura em função da porcentagem Nióbio.

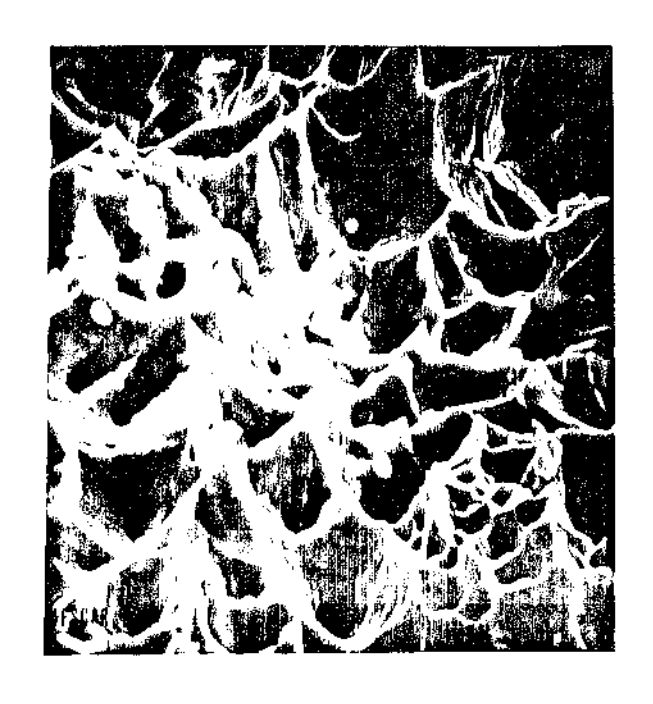
teor de Nióbio, enquanto que para uma mesma composição o efeito da temperatura não é muito significativo. No caso da amos tra CL $\sigma_{\rm rup}$ passa por um mínimo em torno de 1200 $^{\rm O}$ C.

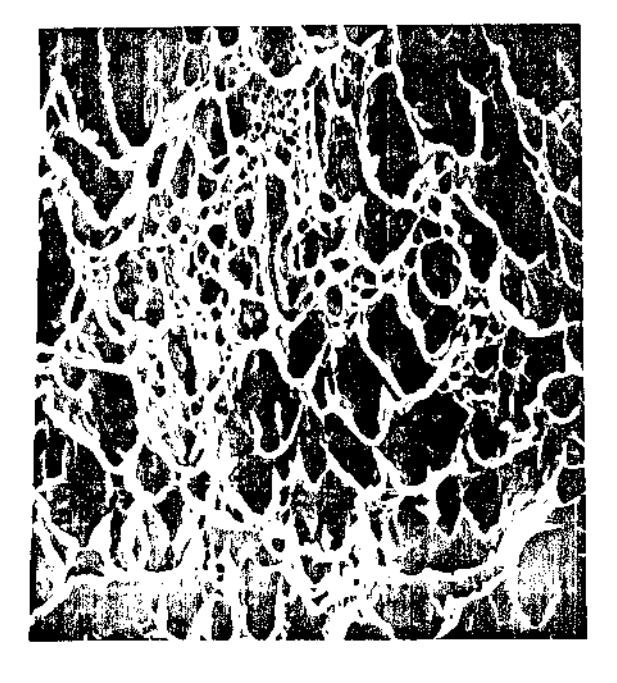
5.3- Fratografia

Após o ensaio de tração as superfícies de fratura foram analisadas no Microscópio Eletrônico de Varredura. As fratografias das Figuras 5.16, 5.17 e 5.18 apresentam as $s\underline{u}$ perfícies de fratura para as amostras solubilizadas nas temperaturas de 1100, 1200 e 1300 $^{\rm O}$ C, respectivamente.

Na fratografia da Figura 5.16a, correspondente à amostra AL1100, a superfície de fratura apresenta-se com cavidades equiaxiais de diferentes tamanhos, o que caracteriza a fratura dútil e ruptura por tração. A fratura ocorre por nu cleação, crescimento e coalescência da microtrinca. As microtrincas podem iniciar-se em precipitados ou inclusões, além de imperfeições como microporosidade. Observa-se nessa figura que a cavidade se originou em um precipitado ou uma inclusão. No interior das cavidades verifica-se uma parede ondula da que são finas linhas de escorregamento, indicando crescimento por escorregamento em muitos sistemas.

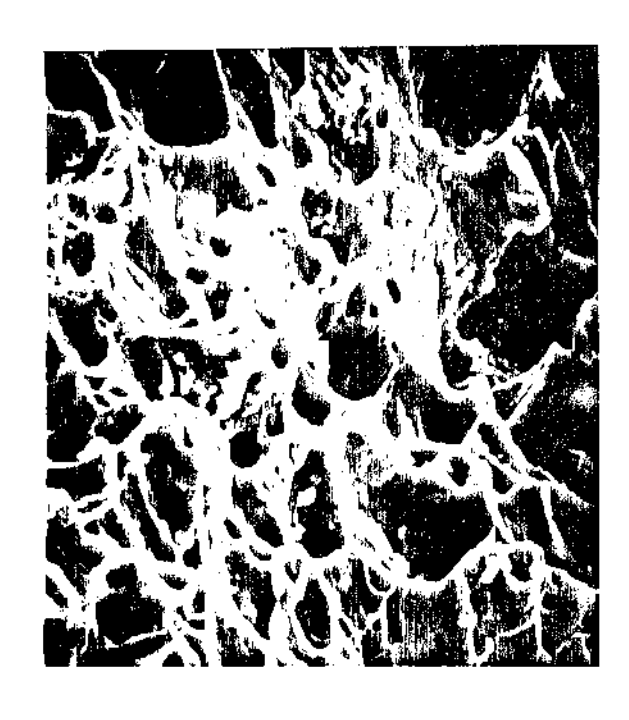
A fratografia da Figura 5.16b, relativa à amostra BL1100, apresenta um aspecto de fratura dútil, com cavidades equiaxiais de diferentes tamanhos. Observa-se que a nuclea ção ocorreu em partículas de precipitados ou inclusões. Analogamente ao caso anterior, as ondulações de parede interna das cavidades, indicam que seu crescimento foi por escorregamento em diversos sistemas.

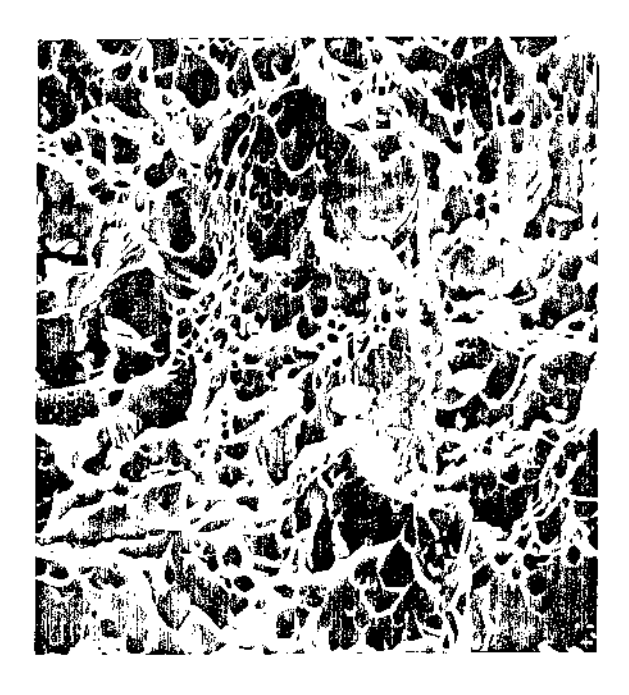




AL1100 1500X

BL1100 950X





CL1.100 1800X

DL1100 1450X

Figura 5.16- Fratografia das amostras: AL1100; BL1100; CL1100; DL1100.

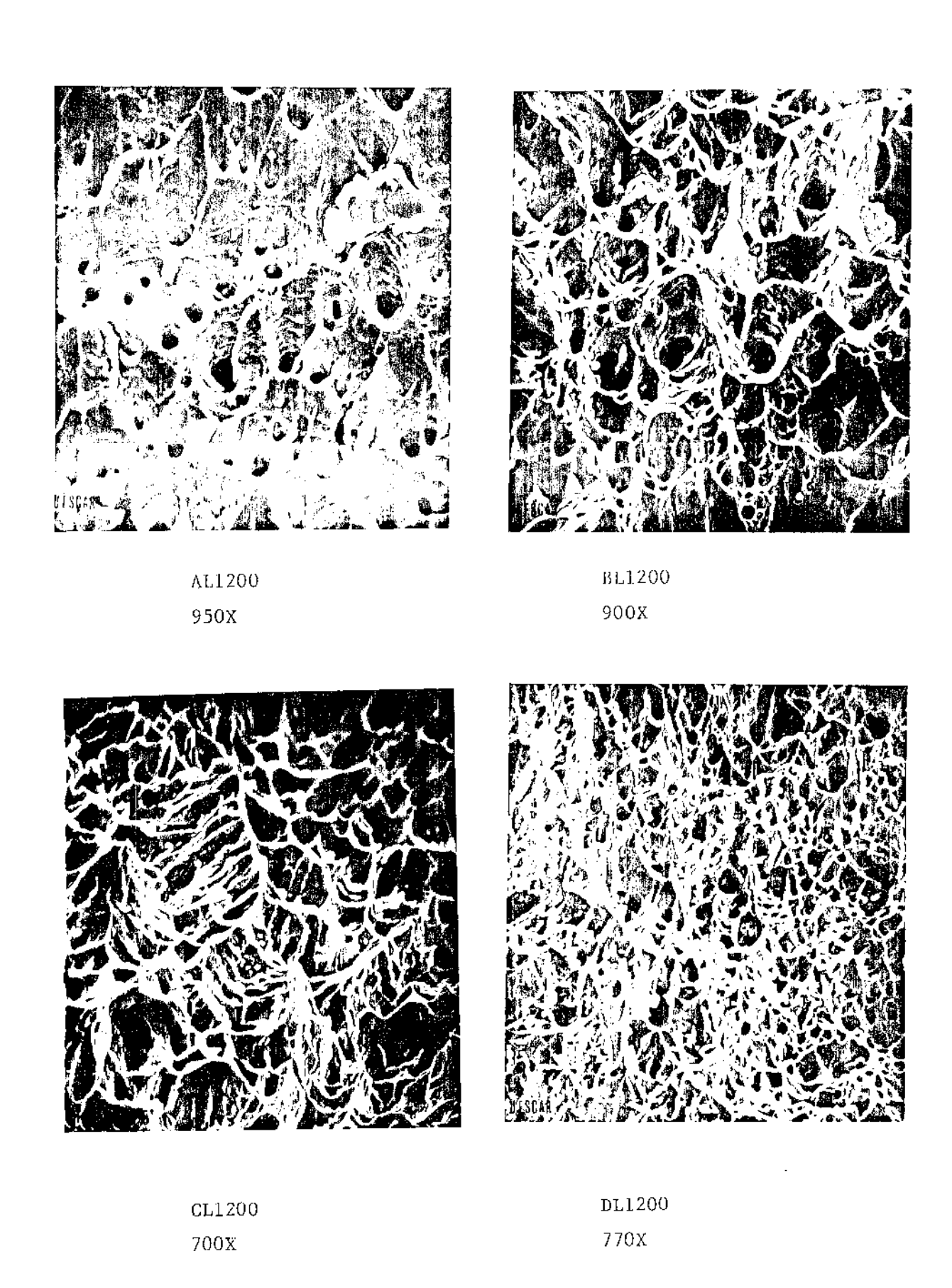
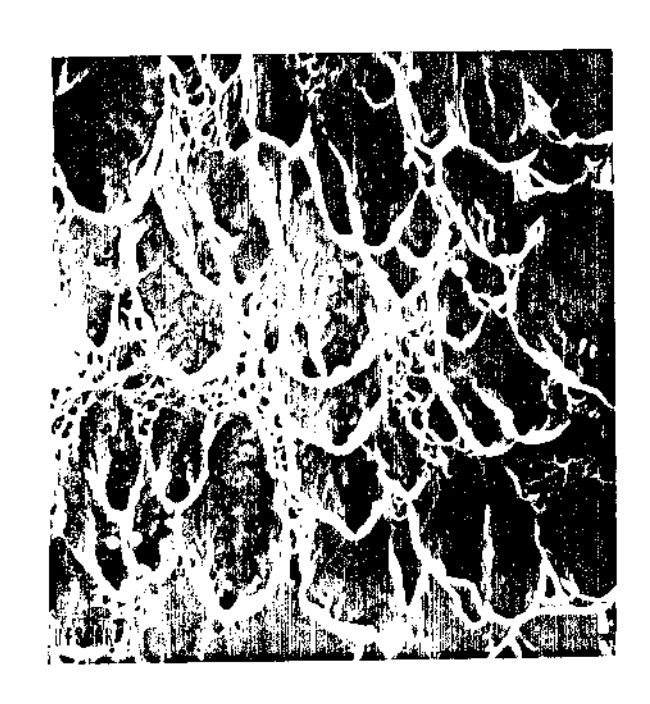
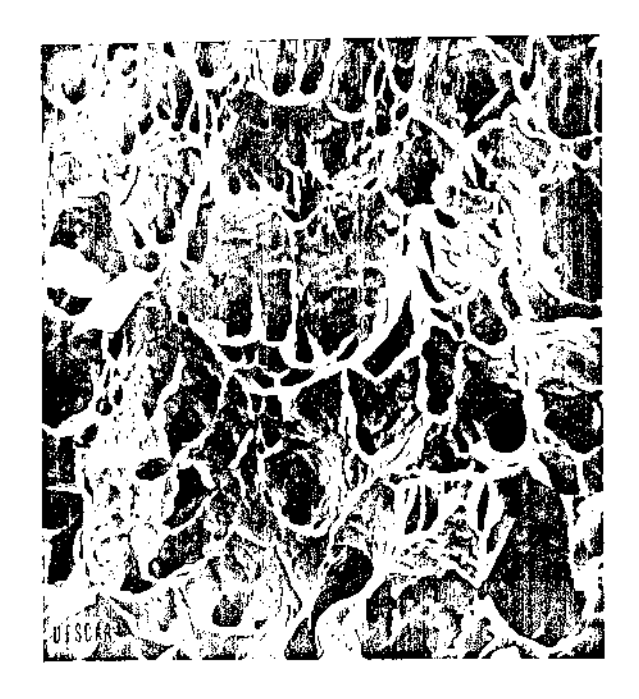
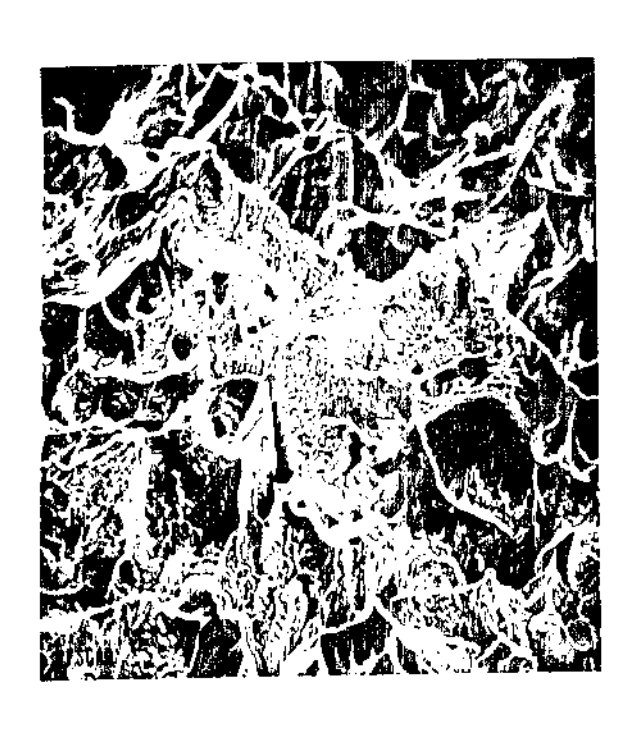


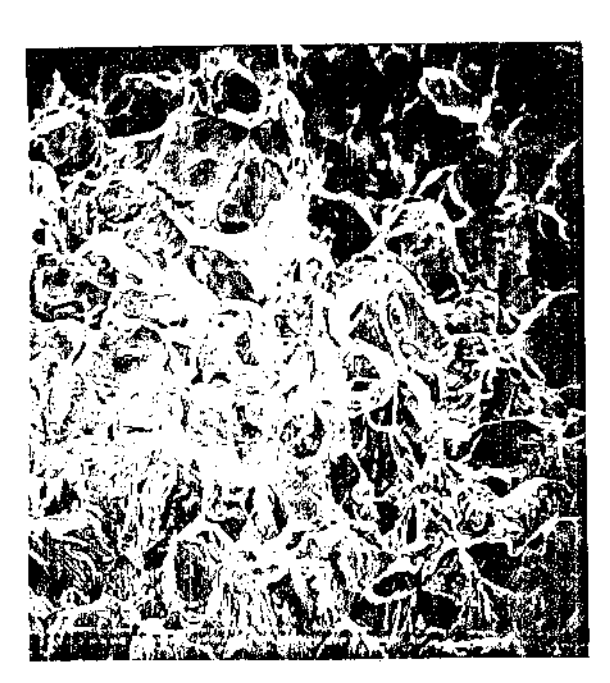
Figura 5.17- Fratografia das amostras: AL1200; BL1200; CL1200; DL1200.





дь1300 950х BL1300 850X





CL1300 400X DL1300 200X

Figura 5.18- Fratografia das amostras: AL1300; BL1300; CL1300; DL1300.

Na fratografia da Figura 5.16c, correspondente à amostra CL1100, observa-se cavidades de diferentes tamanhos. As maiores são de tamanho moderado sugerindo pouca deformação plástica. Verifica-se a presença de precipitados.

Em relação à fratografia da Figura 5.16d, relativa à DL1100, observa-se a presença de cavidades menores do que nas amostras anteriores e regiões com característica de fratura frágil.

A fratografia da Figura 5.17a, apresenta a superficie de fratura da amostra AL1200. Observa-se uma fratura dú til típica, com cavidades equiaxiais muito profundas. No fun do observa-se a presença de alguns precipitados ou inclusões. Verifica-se também a ondulação das paredes internas, indican do crescimento por escorregamento em vários sistemas.

A fratografia da Figura 5.17b apresenta a amostra BL1200. Observa-se cavidades de diferentes tamanhos sendo que, em algumas das maiores, aparece um precipitado ou uma in clusão. A rugosidade das paredes laterais \tilde{e} evidente.

Na Figura 5.17c aparece a fratografia da amostra CL1200. Observa-se a presença de cavidades de tamanho modera do, e o aspecto da fratura é do tipo dútil-frágil.

Na fratografia da Figura 5.17d relativa \tilde{a} amostra DL1200, observa-se uma característica semelhante \tilde{a} da amostra anteriormente analisada, salientando-se o aspecto dútil-fr \tilde{a} gil.

A amostra AL1300 é vista na fratografia da Figura 5.18a. Trata-se de uma fratura tipicamente dútil, com a presença de cavidades bastante profundas. Observa-se macro e mi cro-cavidades, sendo que em algumas delas nota-se a presença de precipitados ou inclusões. Como as outras amostras AL, as paredes das cavidades encontram-se bastante onduladas.

Na amostra BL1300, da fratografia da Figura 5.18b, observa-se cavidades bastante profundas com paredes laterais rugosas, apresentando característica típica de fratura dútil.

Em relação à CL1300 mostrada na fratografia da Figura 5.18c, o aspecto é de uma fratura mista dútil-frágil. Aparecem poucas cavidades de tamanhos reduzidos. Algumas regiões apresentam fratura por clivagem. Observa-se também a presença de microtrincas intergranulares na região central da fratografia.

A amostra DL1300, indicada na fratografia da Figura 5.18d, apresenta uma fratura intergranular do tipo frágil-dú til. Nota-se a presença de inúmeras microtrincas nucleadas aparentemente em contorno de grão. São muito poucas as regiões que apresentam aspecto de fratura dútil, prevalecendo o aspecto de fratura frágil intergranular.

5.4- <u>Corrosão</u>

Vés de voltametria, é idêntico para as amostras AL1300 e DL1300. Nos dois casos fica bem caracterizado dois picos anó dicos ($\mathbf{a_1}$ e $\mathbf{a_2}$), nos potenciais $\mathbf{E_1}$ = -290 mV e $\mathbf{E_2}$ = +1230 mV, respectivamente. A Figura 5.19 apresenta o aspecto dessas curvas. Pode-se observar que para as duas amostras existe uma região de evolução de hidrogênio, a potenciais catódicos com E < 520 mV, uma região ativa correspondente ao começo do pico $\mathbf{a_1}$, uma região de passividade que começa a um potencial da ordem de -100 mV. Apresentam ainda o início da região de transpassividade a um potencial em torno de +900 mV, uma pas sivação secundária, um potencial de evolução de oxigênio da ordem de 1500 mV e uma segunda transpassividade como analisada

mais adiante.

Observa-se também que a corrente crítica de passiva ção é maior para a amostra AL1300 do que para DL1300, enquan to que a corrente crítica da segunda passividade é maior para o aço DL1300 do que para AL1300. O aspecto da varredura em sentido catódico é semelhante nos dois casos.

A Figura 5.20 mostra como varia a corrente crítica de passivação em função do teor de Nióbio. Pode-se notar que essa corrente diminui com o aumento da concentração de Nióbio.

A Figura 5.21 apresenta as curvas de polarização obtidas ponto a ponto (25 mV cada 3 minutos) para as amostras AL1100, CL1100 e DL1100. Pode-se observar a redução da densidade de corrente crítica de passivação, e também que a adição de Nióbio não produz alterações significativas na corrente passiva (da ordem de 9x10⁻⁶ A/cm² em seu valor mínimo, para todas as amostras) e na região de transpassividade até potenciais em torno de 1000 mV.

As curvas de polarização das amostras AL1300, CL1300 e DL1300 estão indicadas na Figura 5.22. Nesse caso também é evidente a redução da corrente crítica com o teor de Nióbio. A corrente passiva é da mesma ordem de grandeza, em seu valor mínimo, para todas as amostras (10⁻⁵ A/cm²). Verifica-se no entanto, que para as amostras de alto teor de Nióbio, existe um alargamento da região de passividade em relação às amostras de baixo Nióbio. Nesse caso, a corrente de transpassividade começa nas amostras que não contém Nióbio a potenciais muito menos anódicos do que nas amostras de alto teor. Para potenciais maiores, dentro da região de transpassividade, to das as curvas passam a ter um comportamento semelhante, indicando que a presença do Nióbio não exerce nenhuma influência nessa região.

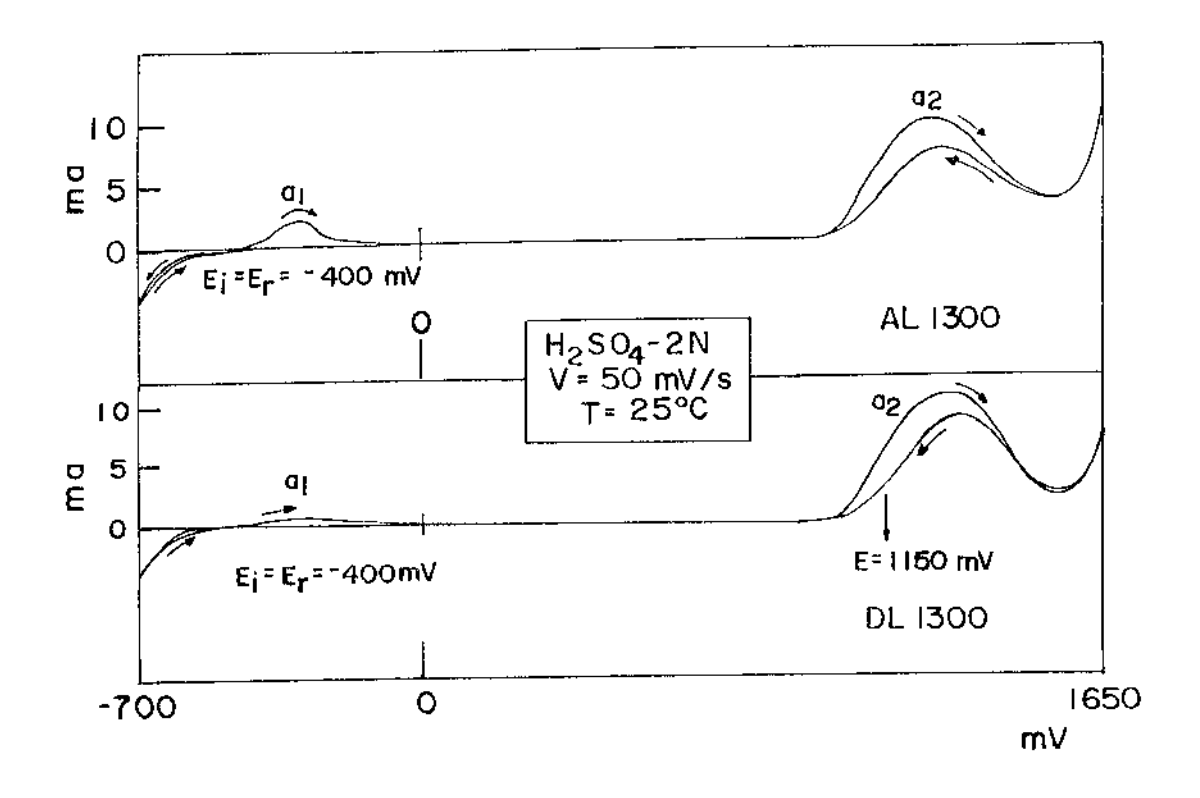


Figura 5.19- Curva de polarização, obtida por voltametria cíclica para amostras AL1300 e DL1300. As flexas indicam as direções da varredura e E, é o potencial inicial.

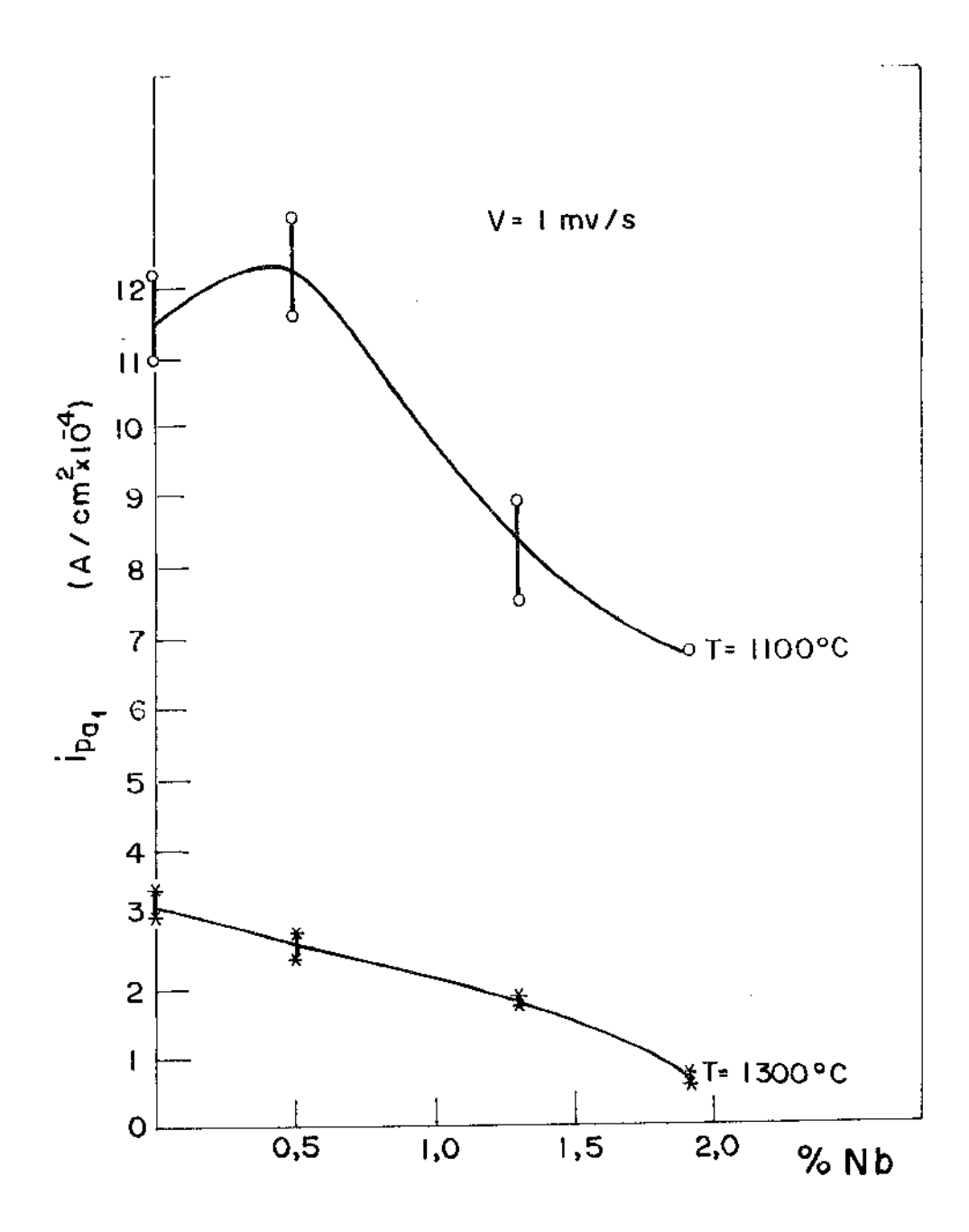


Figura 5.20- Corrente crítica de passivação (i_c) em função do teor de Nio bio para diferentes temperaturas de solubilização. H $_2$ SO $_4$ 2N . Velocidade de varredura: 1 mV/seg.

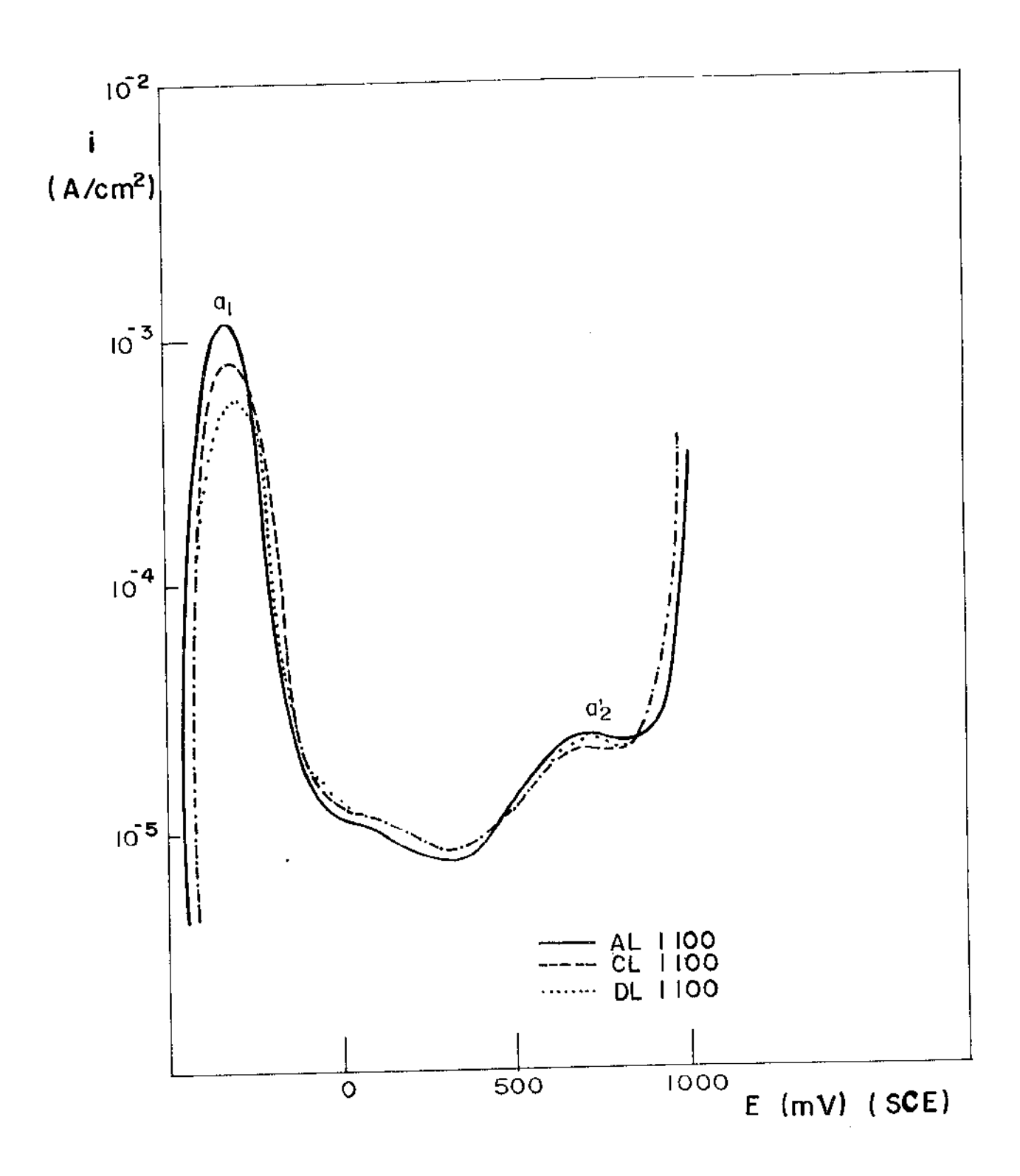


Figura 5.21- Curvas de polarização ponto a ponto das amostras AL1100, CL 1100 e DL1100, em ${
m H_2SO_4}$ 2N. (25 mV cada 3 minutos).

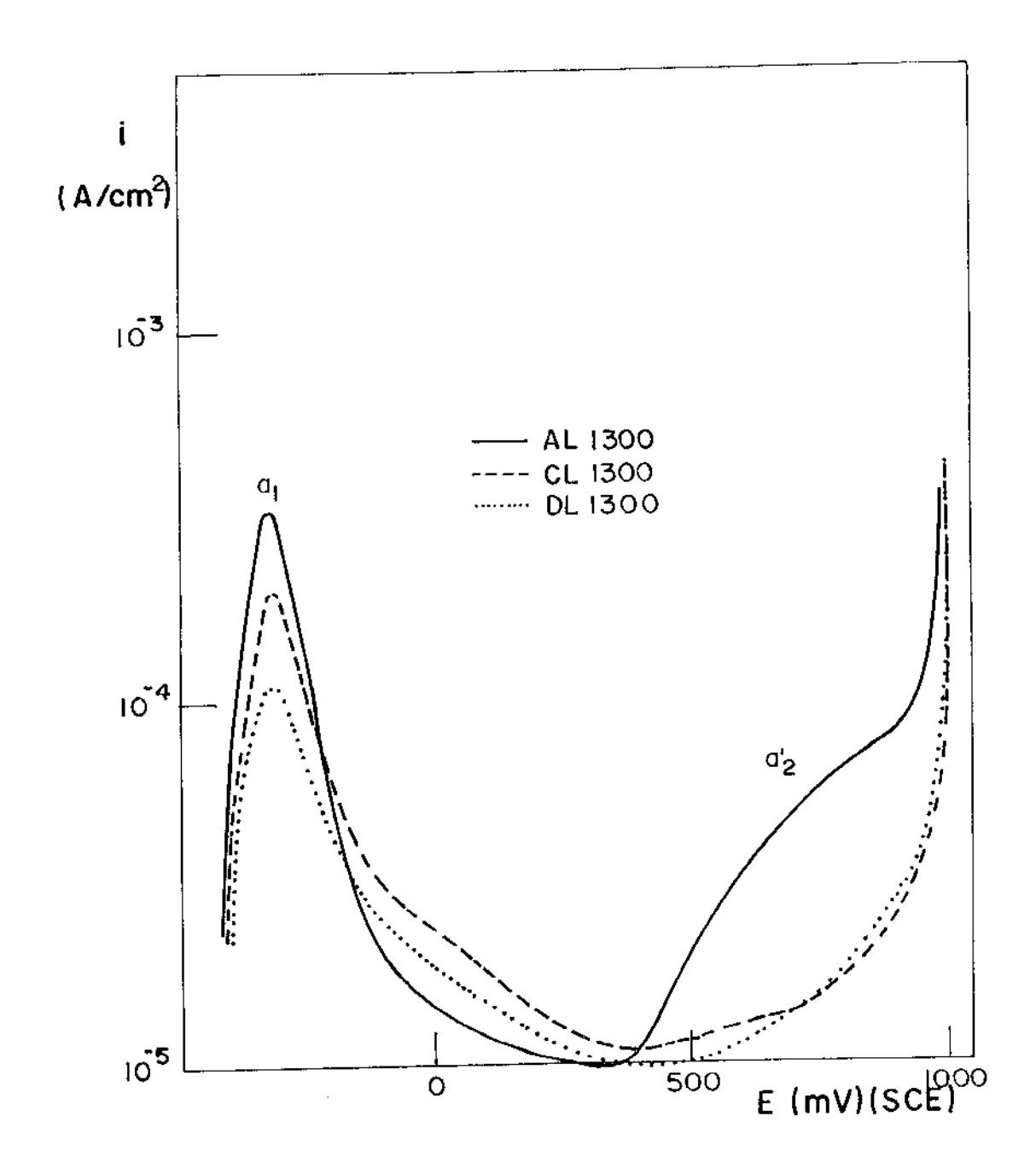


Figura 5.22- Curvas de polarização ponto a ponto das amostras AL1300, CL1300 e DL1300, em H₂SO₄ 2N. (25 mV cada 3 minutos).

Foram traçadas curvas voltamétricas no sentido cató dico, como indicado nas Figuras 5.23, 5.24, 5.25 e 5.26, para as amostras AL1300, CL1300 e DL1300. Nessas curvas, a amostra CL1300 apresenta resultados intermediários as outras duas e não foram desenhados para manter a simplicidade da figura.

As curvas voltamétricas indicadas na Figura 5.23 for ram obtidas imediatamente após a varredura anódica a 1 mV/seg em $\rm H_2SO_4$ 2N. Observa-se que ocorre uma inversão anódica-ca tódica a um potencial em torno de +390 mV para as duas amos tras. Na região anódica, a corrente é maior na amostra AL1300. Verifica-se um pico de redução (pico $\rm c_2$) a +1300 mV para DL1300 e em torno de zero para AL1300. As correntes de pico são 14 $\rm \mu A/cm^2$ e 16 $\rm \mu A/cm^2$, respectivamente.

A Figura 5.24 indica o efeito do envelhecimento ele troquímico nas curvas voltamétricas. Entende-se por envelhe cimento eletroquímico a condição potenciostática, a um potencial anódico, durante um certo intervalo de tempo. Nessa figura, o envelhecimento eletroquímico foi realizado a +700 mV durante 30 minutos. Pode-se verificar o sensível efeito do envelhecimento nas curvas voltamétricas. Ocorre uma translação do potencial do pico c₂ para valores mais catódicos (+68 mV e -80 mV, respectivamente para DL1300 e AL1300); a corrente de redução é sensivelmente menor para DL1300 (10 μA/cm²) do que para AL1300 (45,5 μA/cm²). A inversão anódica-catódica ca ocorre em torno de +540 mV para as duas amostras. Na região de evolução de hidrogênio as duas amostras apresentam praticamente o mesmo comportamento, independente da composição.

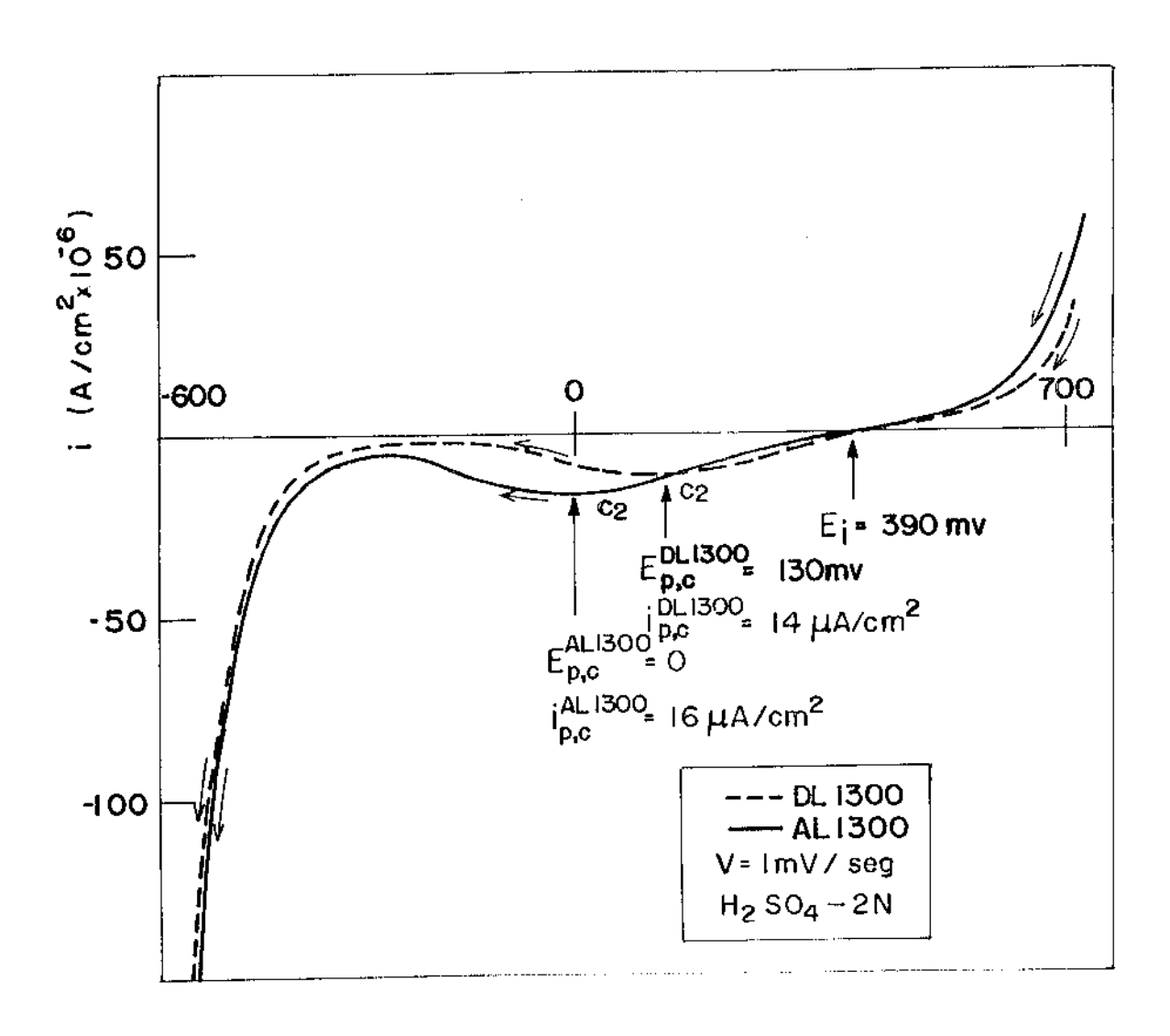


Figura 5.23- Varredura no sentido catódico para amostras AL1300 e DL1300 após varredura anódica, em ${\rm H_2SO_4}$ 2N. Velocidade de varredura de 1 mV/seg.

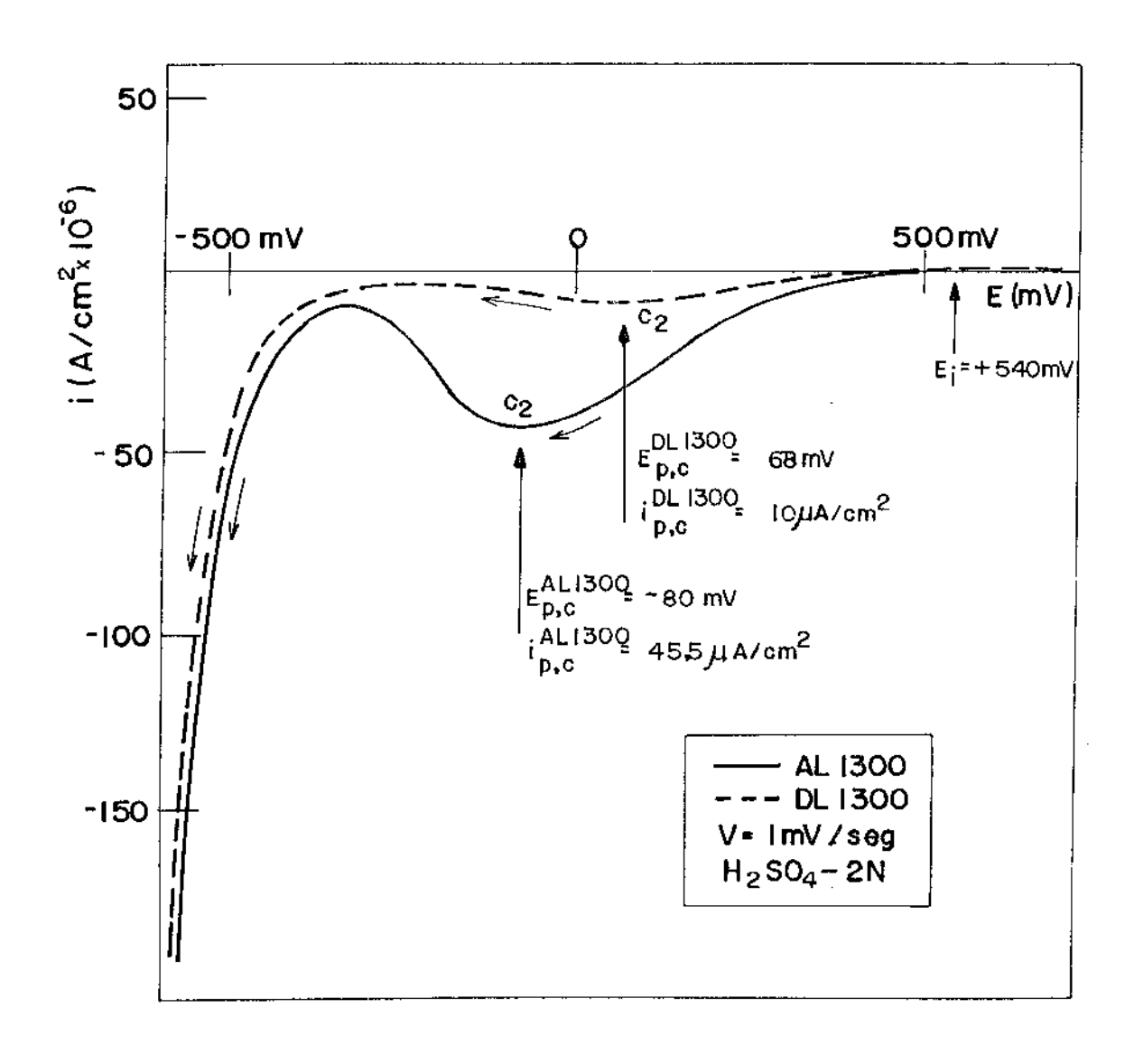


Figura 5.24- Varredura catódica, após varredura anódica (1 mV/seg) segu<u>i</u>
da de envelhecimento eletroquímico por 30 minutos a +700 mV.
H₂SO₄ 2N. Velocidade de varredura de 1 mV/seg.

Nas Figuras 5.25 e 5.26 estão representadas as var reduras catódicas em Na₂CO₃ 0,2 M, após varredura anódica a 1 mV/seg em H₂SO₄ 2N, para amostras sem envelhecimento e envelhecidas, respectivamente. Observa-se que aparece outro pico catódico de redução (pico c₁) a potenciais menores que -500 mV, resultado do corrimento da reação de evolução de hidrogênio a valores mais catódicos. Pode-se observar na Figura 5.26 o forte efeito do envelhecimento eletroquímico nas cur vas voltamétricas. O efeito marcante é que o envelhecimento diminui a corrente dos picos c1 e c₂ para DL1300 e aumenta es sa corrente para AL1300.

Foram realizadas curvas voltamétricas no sentido catódico, a partir de diferentes valores do potencial máximo (E_{max}) atingido na varredura anódica anterior. A Figura 5.27 apresenta essas curvas para o aço AL1300. Verifica-se que para potenciais compreendidos entre o potencial de passivação (E_{p}) e o potencial de completa passivação (E_{cp}), ocorre uma reativação durante a varredura no sentido catódico. A densidade de corrente do pico de reativação diminui à medida que E_{max} se aproxima do potencial E_{cp} . O pico de redução E_{cp} 0 aparece somente quando o potencial E_{max} for maior do que +500 mV, correspondente à faixa de potenciais relativa ao pico E_{cp} 0 (Figura 6.1).

Para o estudo da cinética de crescimento do filme de óxido superficial sobre aços inoxidáveis, utilizou-se a técnica de voltametria de varredura linear. Através da análi se de parâmetros experimentais como densidade de corrente de pico, potencial de pico, carga total para formação do filme de óxido superficial, em relação ao pico a₁, é proposto um modelo físico para o crescimento do filme de óxido superficial.

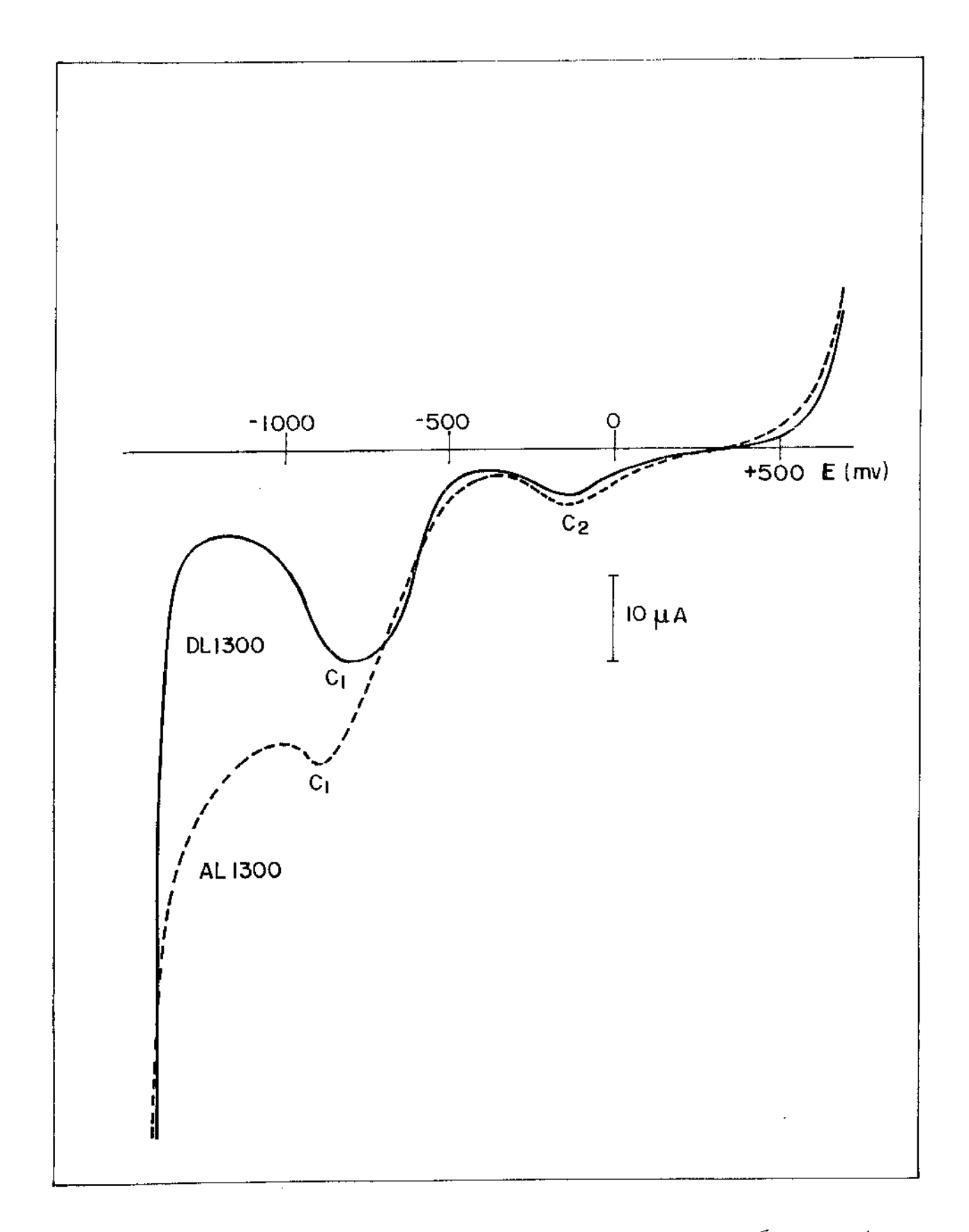


Figura 5.25- Varredura no sentido catódico em Na₂CO₃ 0,2 M, após varredura no sentido anódico a 1 mV/seg, em H₂SO₄ 2 N. Velocidade de varredura: 20 mV/seg.

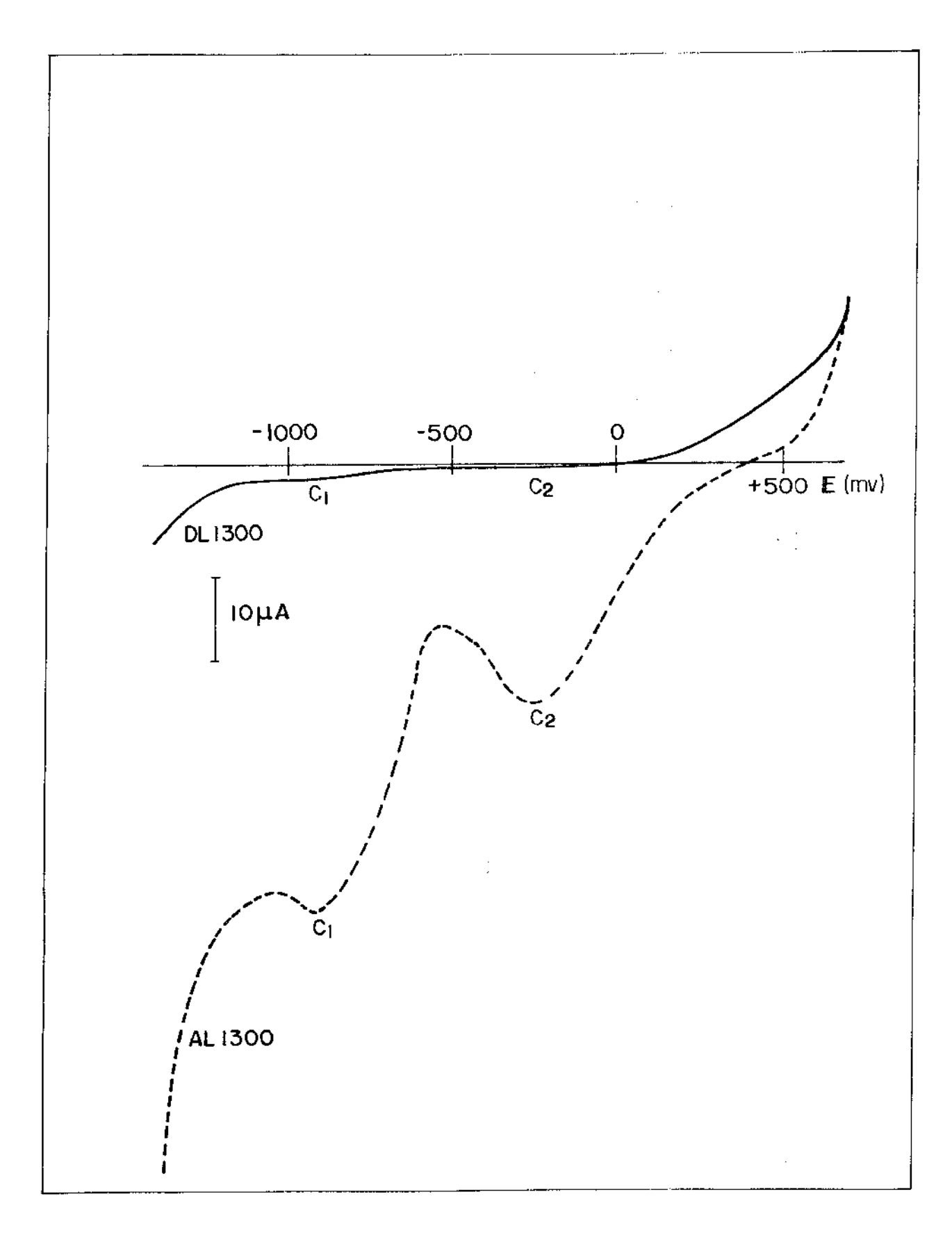


Figura 5.26- Varredura no sentido catódico em $\mathrm{Na_2CO_3}$ 0,2 M, após varredura na anódica (1 mV/seg) é 30 minutos de envelhecimento eletro químico em $\mathrm{H_2SO_4}$ 2 N. Velocidade de varredura: 20 mV/seg.

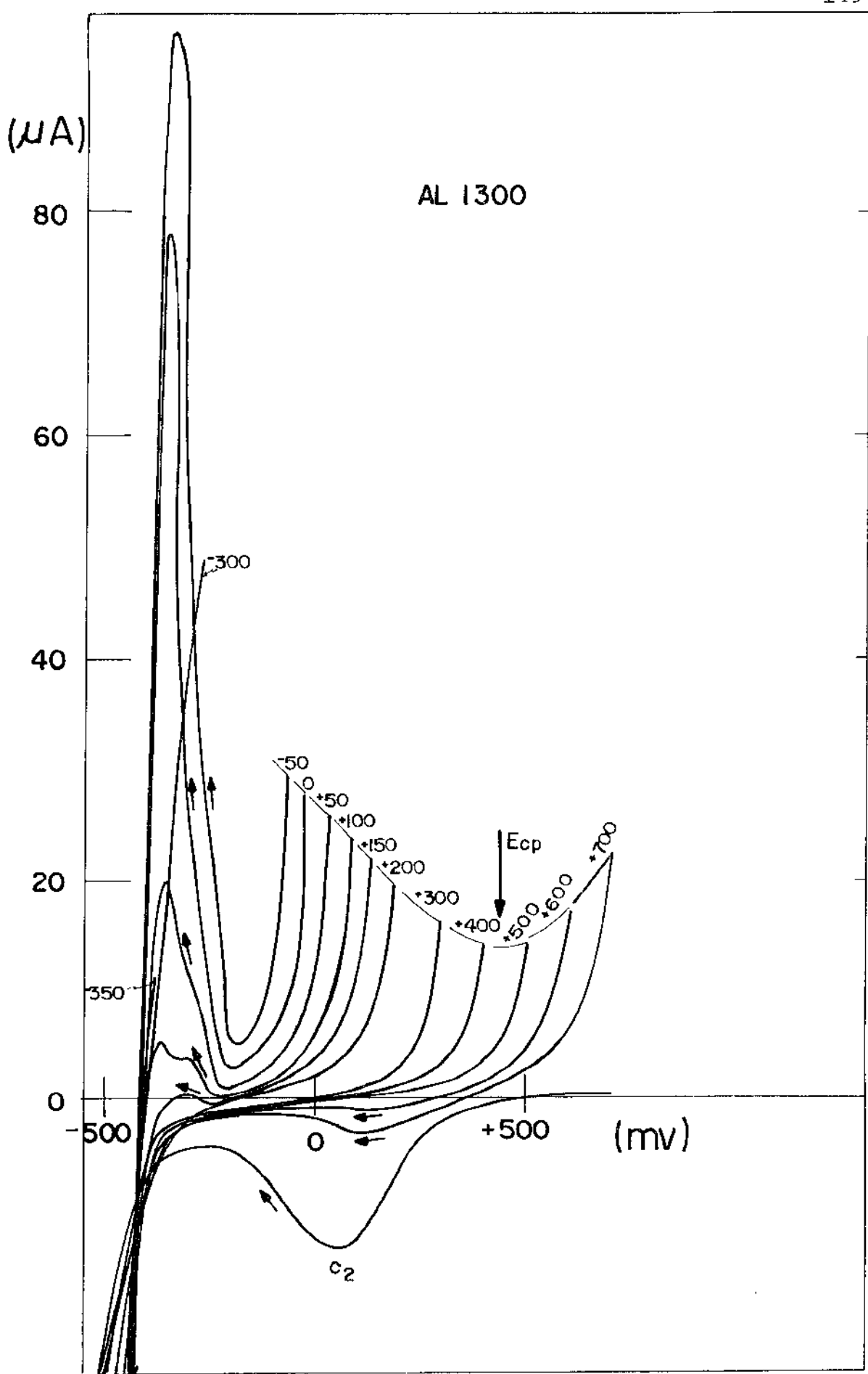


Figura 5.27- Curvas voltamétricas no sentido catódico, a partir de diferentes valores de Emax, atingido na varredura anódica anterior, para AL1300. As flechas indicam o sentido de varredura.

E = potencial de completa passivação. Velocidade de varredura: 5 mV/seg. H₂SO₄ 2 N.

A Figura 5.28 mostra voltametrias típicas, em função da velocidade de varredura, para o pico a_1 da amostra CL1300. A carga do pico foi medida, calculando-se a área sob a curva i = f(E) considerando que:

$$q = \int idt$$
 (5.1)

$$dt = \frac{dE}{v}$$
 (5.2)

Portanto:

$$q = \frac{1}{v} \int_{E_1}^{E_P} idE$$
 (5.3)

 $\rm E_i$ e $\rm E_p$ estão indicados na Figura 5.28, para uma velocidade de 200 mV/s e representam o potencial inicial de formação do filme e o potencial de pico, respectivamente. O eletrodo de trabalho era introduzido no eletrolito a um potencial catódico de -700 mV, para evitar a formação do filme de óxido e em seguida procedia-se à varredura de potenciais.

A Figura 5.29 indica que densidade de corrente de picos (i pal) obedece a uma relação linear com a velocidade de varredura.

A Figura 5.30 mostra a relação linear entre o potem cial de pico (E_{Pal}) e o logaritmo da velocidade de varredura, enquanto que a Figura 5.31 a relação linear entre a carga de pico (q_{al}) em relação a $v^{-1/2}$. Nesse caso ocorre uma varia ção no coeficiente angular dessa reta para velocidade de varredura da ordem de 20 mV/seg.

A variação linear de i_p com $v^{1/2}$ é citada na litera tura por diversos autores $^{(69,43)}$. De acordo com a discussão no capítulo 3, no trabalho de Ogura e Sato $^{(43)}$ a relação en tre i_{pal} e v dá linear com v e não com $v^{1/2}$. O erro na repre

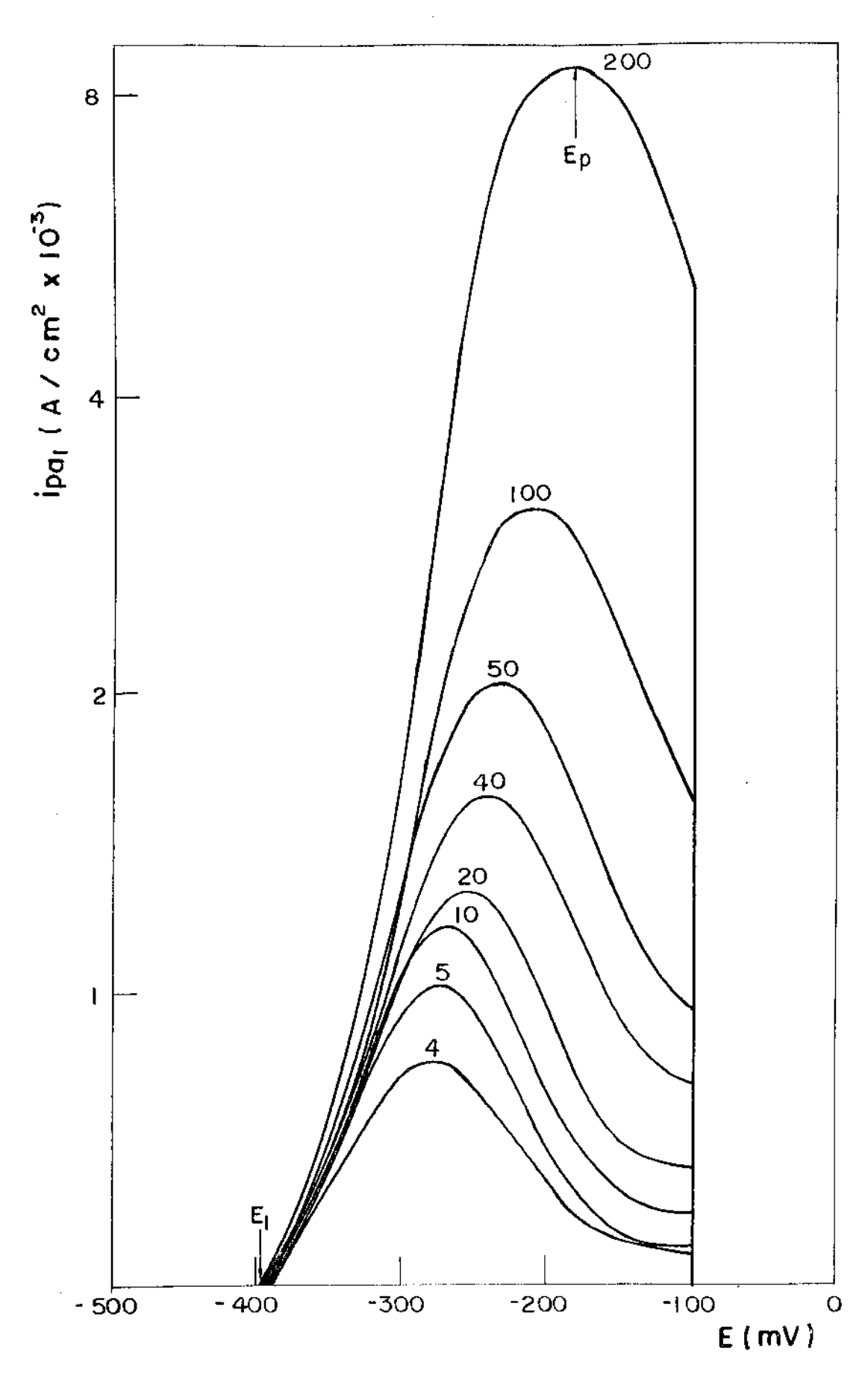


Figura 5.28- Voltametria em função da velocidade de varredura para o pico $a_1 = \text{para amostra CL1300.} \quad \text{Os numeros indicam a velocidade } \\ \text{de varredura em mV/seg. E}_1 = \text{potencial inicial de formação } \\ \text{do filme; E}_p = \text{potencial de pico.}$

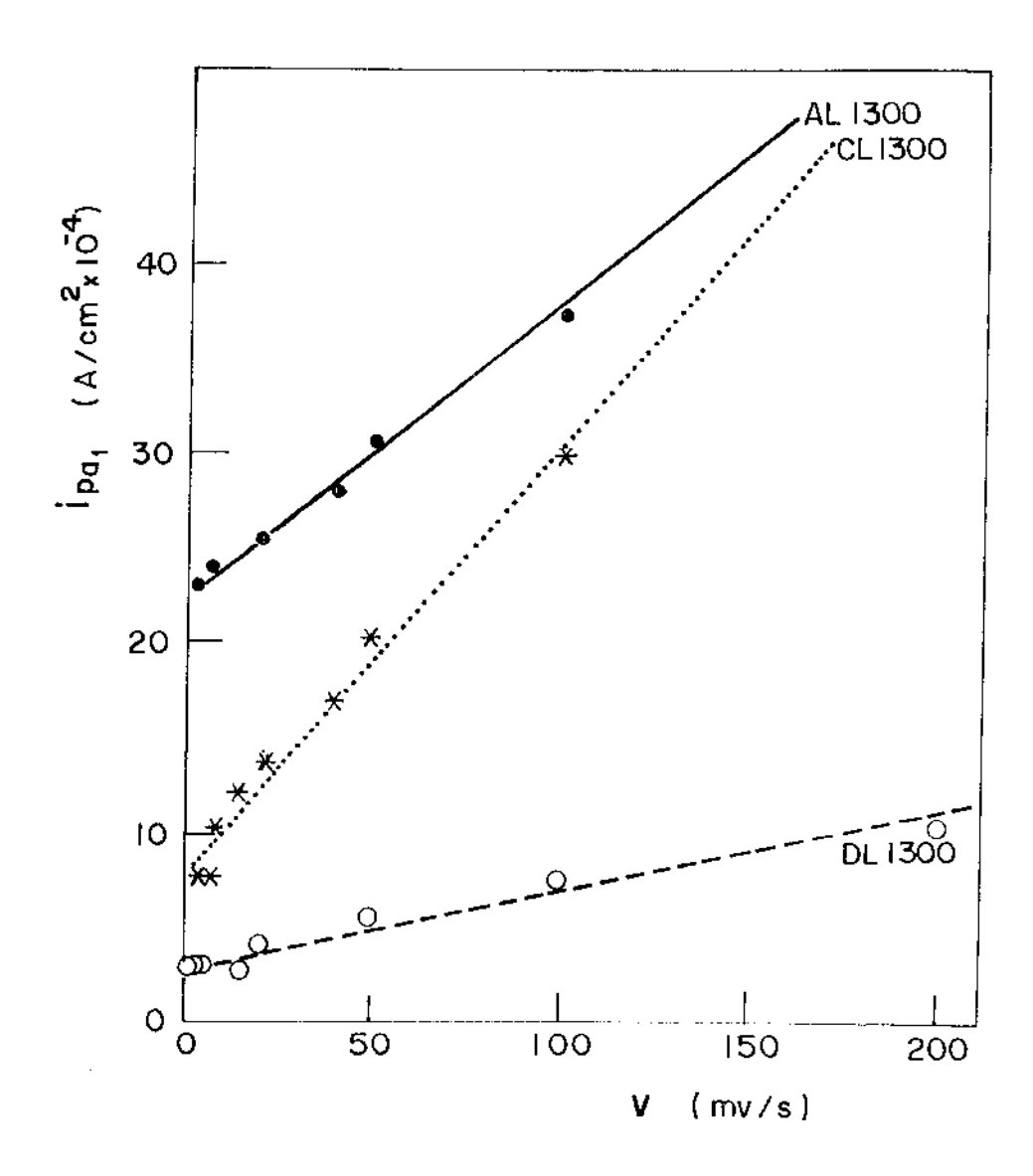


Figura 5.29- Relação i $_{\rm Pa_1}$ versus v para as amostras AL1300, CL1300 e DL1300.

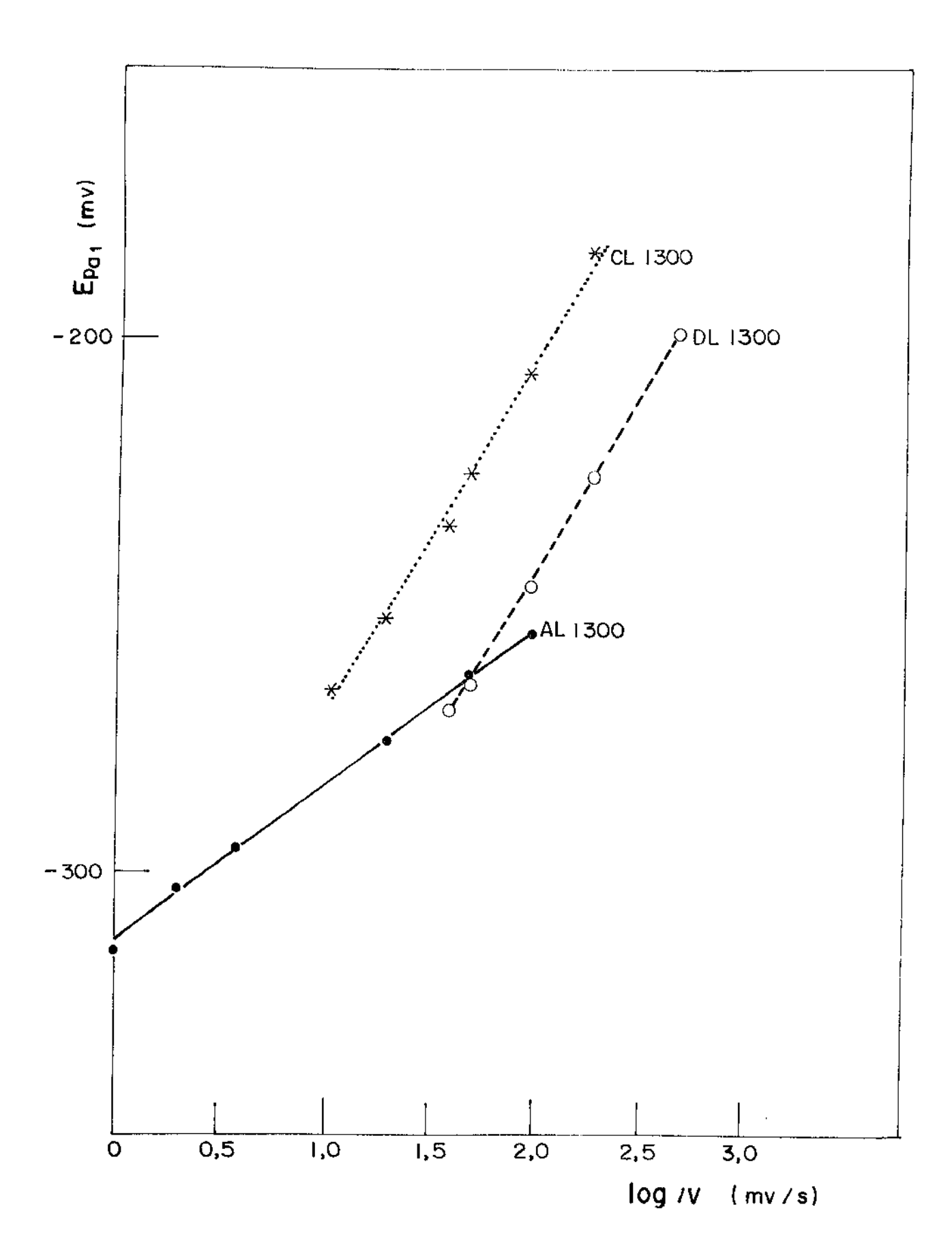


Figura 5.30- Relação $\rm E_{\rm Pal}$ versus log v para as amostras All300, Cl1300 e DL1300.

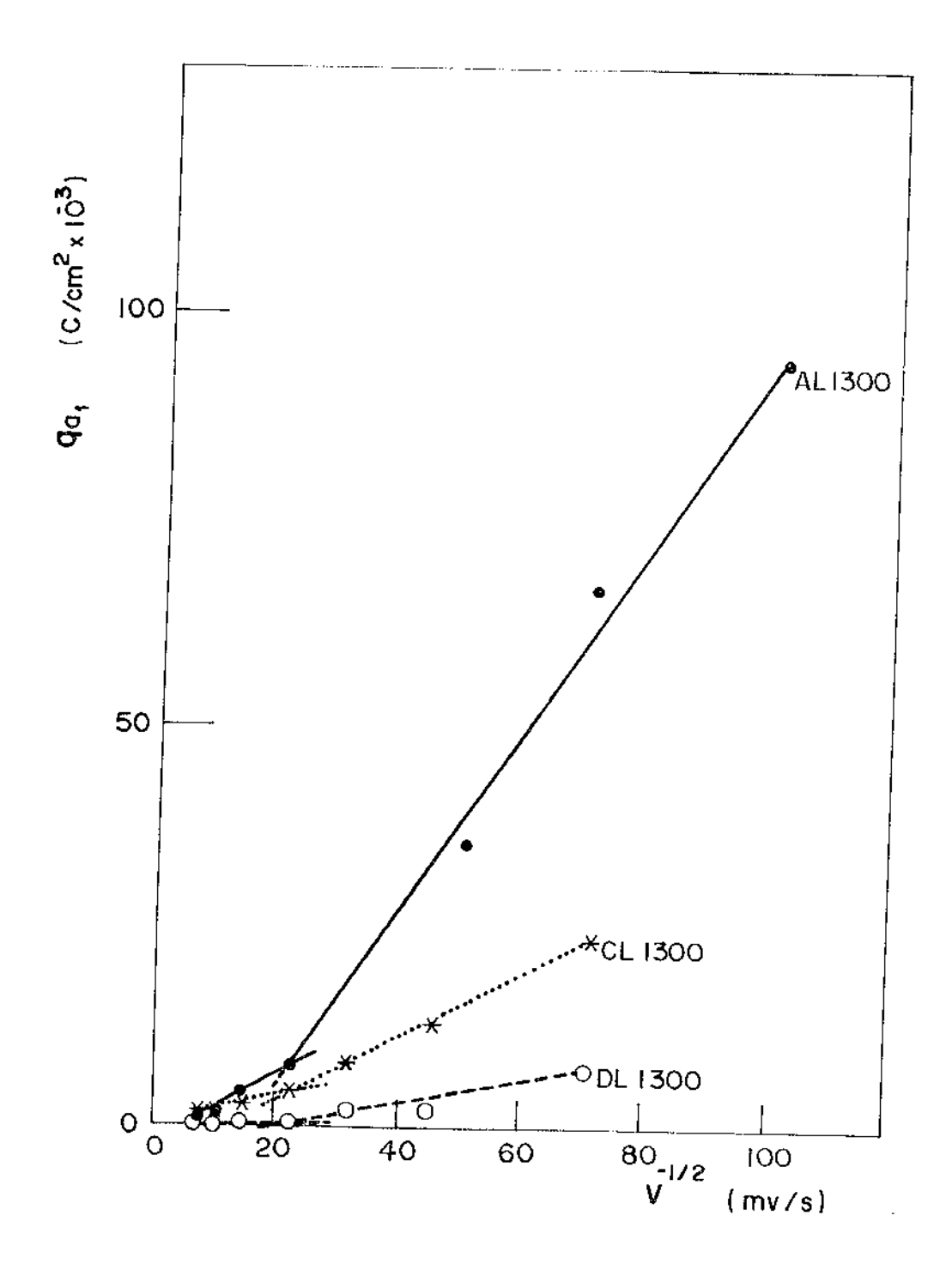


Figura 5.31- Relação q_{a_1} versus $v^{-1/2}$ para as amostras AL1300, CL1300 DL1300.

sentação com $v^{1/2}$ provém da aplicação das equações de Nicholson e Shain $^{(79)}$ a casos que não correspondem. A relação linear de i_{Pal} versus v encontrada nesse trabalho será discutida detalhadamente no Capítulo 6.

Como pode ser observado pela Figura 5.19, o pico de transpassividade aparece na varredura anódica (ida) e na var redura catódica (volta). Os gráficos da Figura 5.32 e 5.33 apresentam o efeito da velocidade de varredura na intensidade de corrente de pico de transpassividade (pico a2) para as var reduras anódica e catódica respectivamente, para o aço AL1300. Estas curvas foram obtidas iniciando a varredura a -600 mV a uma velocidade de 1 mV/seg até o potencial de +500 mV, onde a amostra era envelhecida por um minuto. Em seguida, realiza va-se a varredura a diferentes velocidades, no sentido anódi co e catódico. Observa-se pelas figuras anteriores que o pi co de ida aumenta com a velocidade de varredura, permanecendo constante dentro de uma faixa de irreprodutividade para velo cidades iguais ou menores que 20 mV/seg. O pico de volta di minui com o aumento da velocidade de varredura, permanecendo constante para velocidades menores do que 100 mV/seg. As Figu ras 5.34 e 5.35 consistem numa representação da intensidade de corrente do pico a, de ida e volta, respectivamente função de v^{1/2}.

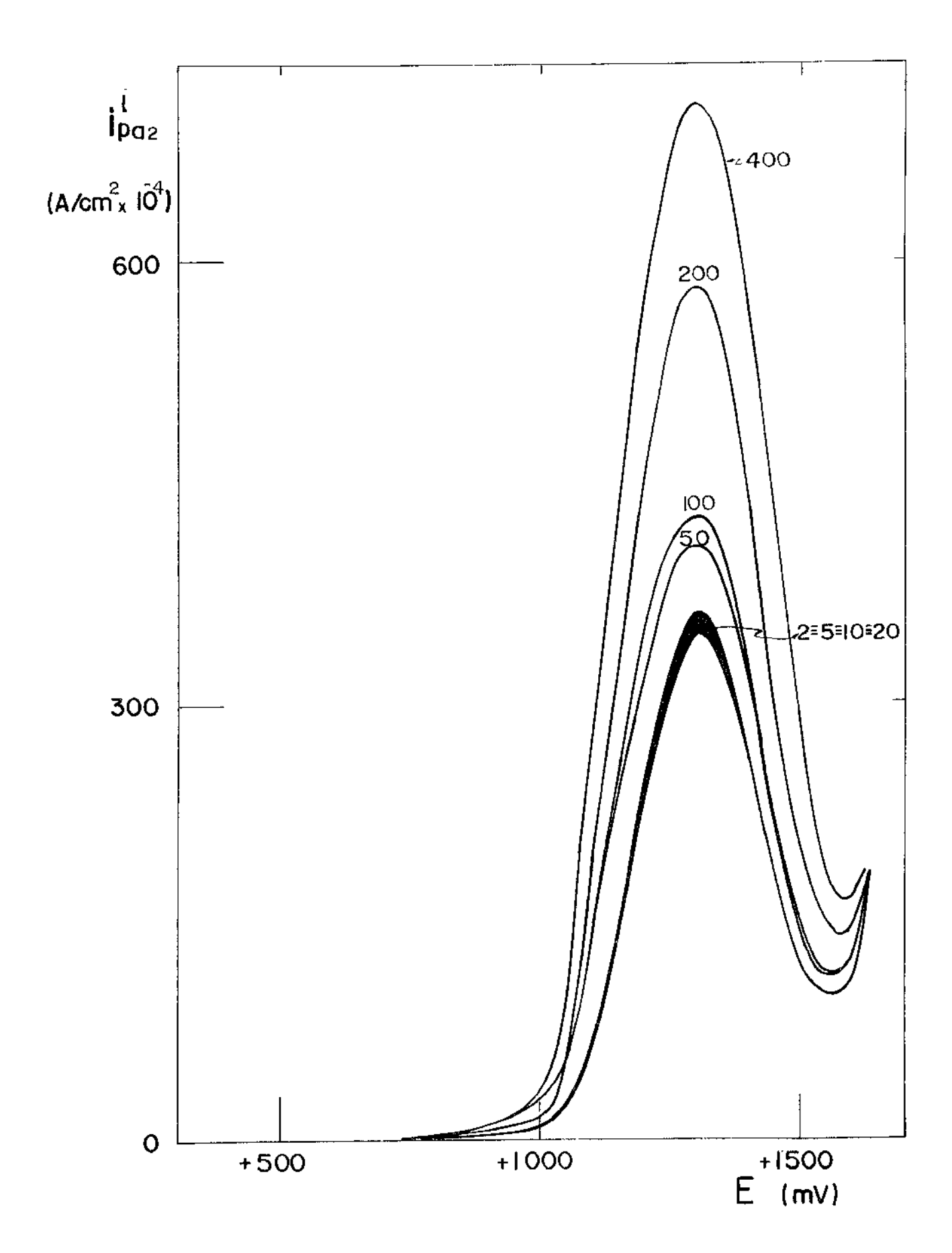


Figura 5.32- Voltametria no sentido anódico em função da velocidade de varredura para o pico a_2 da amostra AL1300. Os números indicam a velocidade de varredura em mV/seg.

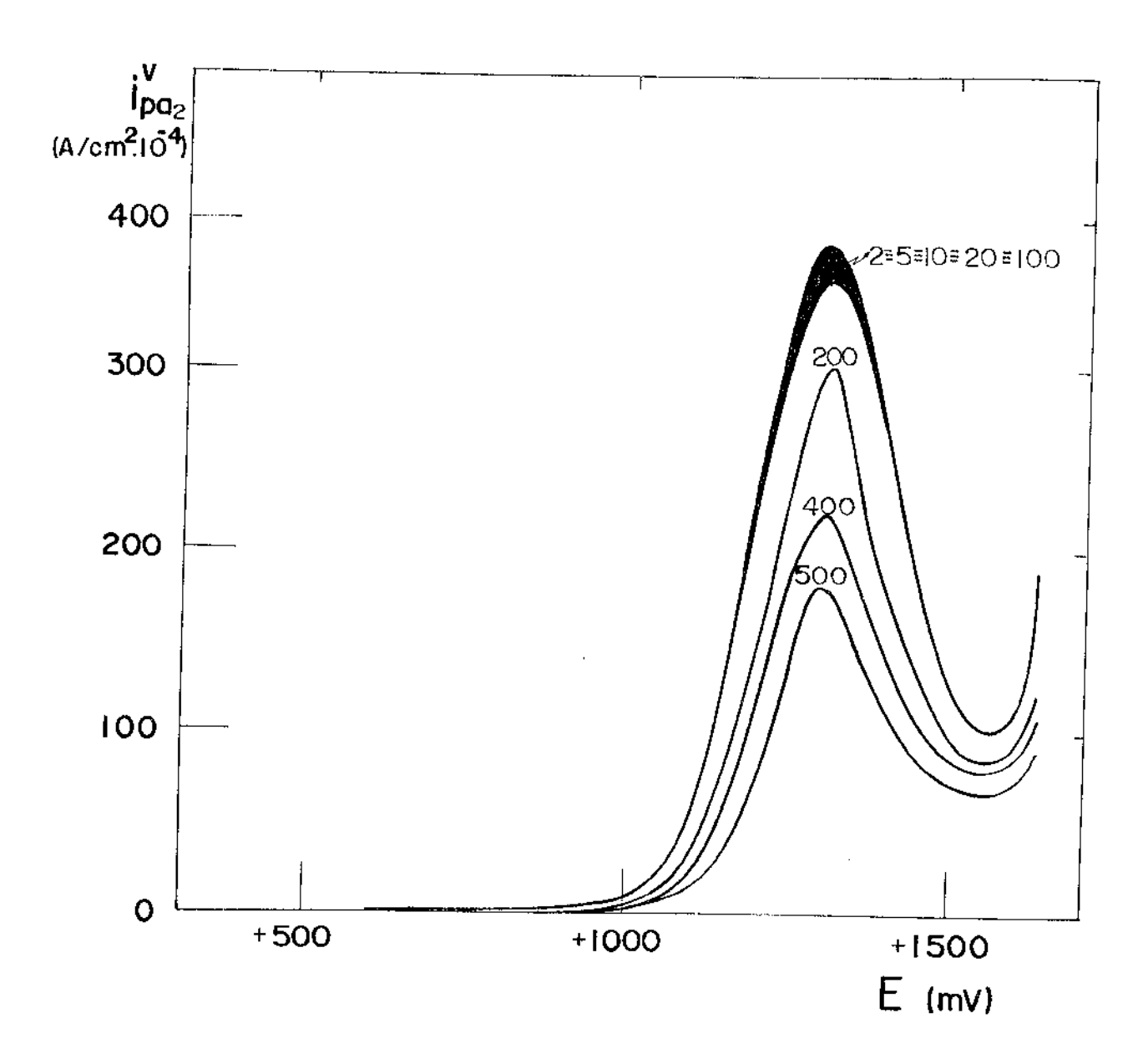


Figura 5.33- Voltametría no sentido catódico em função da velocidade de varredura para amostras AL1300. Os números indicam a velocidade de varredura em mV/seg.

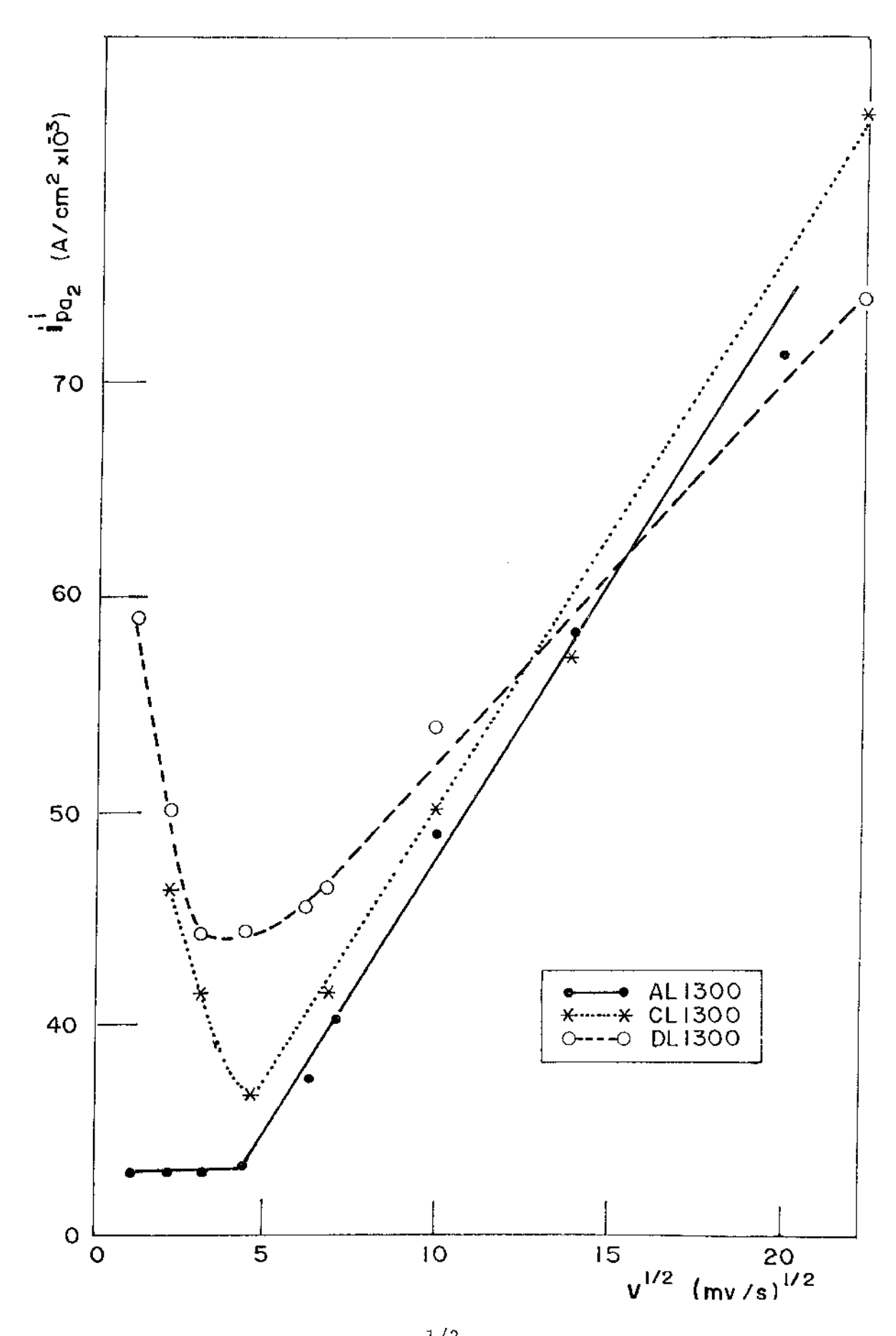


Figura 5.34- Relação $i_{\text{Pa}2}$ versus $v^{1/2}$. Varredura inicial de -600 a +500 mV a 1 mV/seg, seguida de envelhecimento eletroquímico a +500 mV durante 1 minuto. Em seguida realizava-se a varredu ra a diferentes velocidades. $H_2\text{SO}_4$ 2 N.

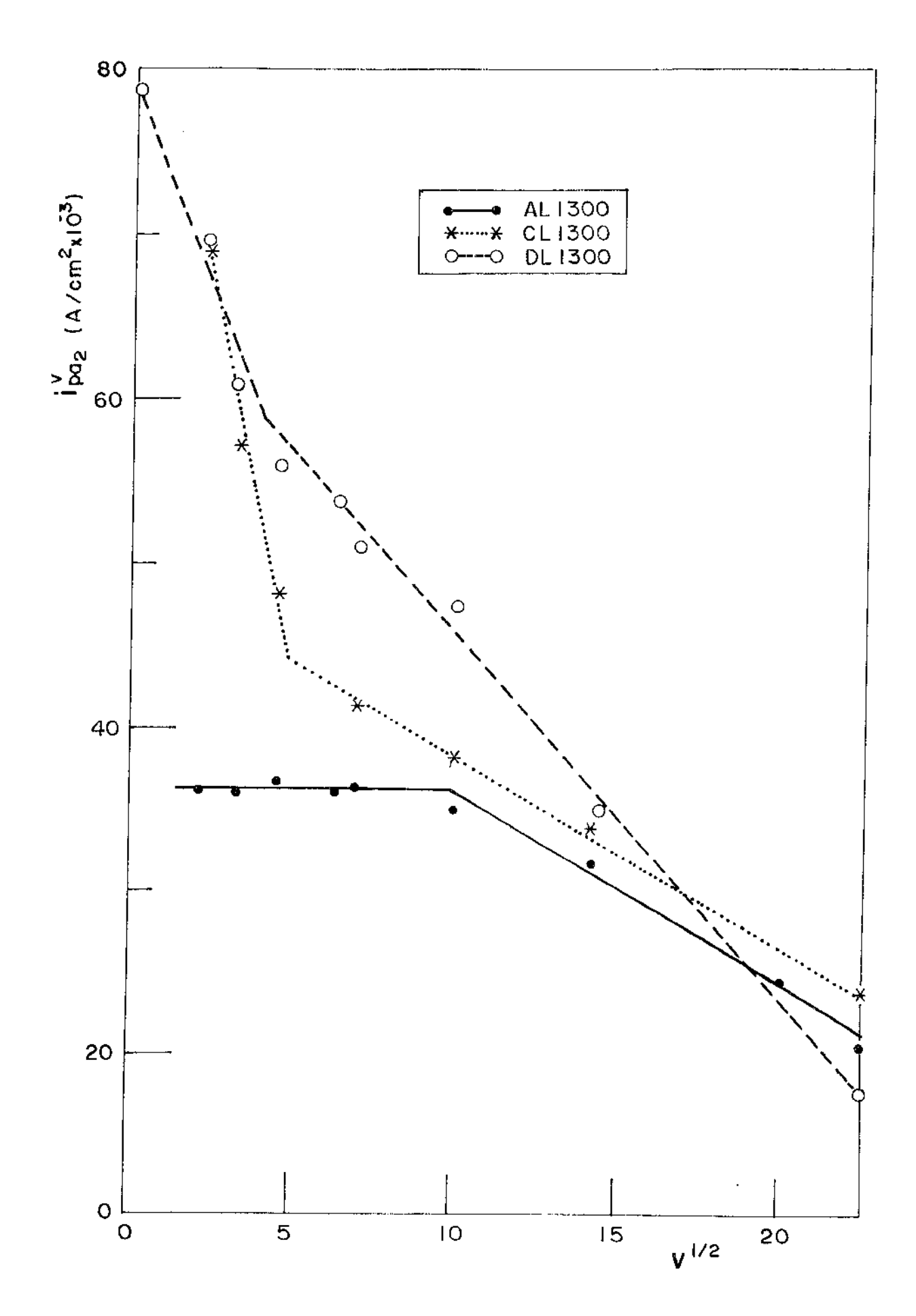


Figura 5.35- Relação $i_{Pa_2}^{v}$ versus $v^{1/2}$. Procedimento idêntico ao caso da figura anterior.

6- DISCUSSÃO

6.1- <u>Análise Qualitativa da Microestrutura e Comportamento Mecânico à</u> Temperatura Ambiente

A microestrutura dos aços estudados revela que a temperatura do tratamento térmico de solubilização, seguido de esfriamento em água à temperatura ambiente, exerce forte influência na estrutura final obtida. O Nióbio é um elemento alfageno, e influencia na estabilidade de fases a altas temperaturas, provocando uma expansão do domínio da fase δ , o que possibilita a obtenção de 37% e 53% de ferrita δ nas amostras CL1300 e DL1300.

Após a laminação a quente, as microestruturas indicadas nas fotografias da Figura 5.3, mostram que o Nióbio afe ta a recristalização do aço deformado à quente. Este efeito do Nióbio é bastante conhecido para os aços de alta resistên cia e baixa liga, e está associado à formação de carbonitre tos de Nióbio insolúveis, que atuam como pontos preferenciais para a nucleação heterogênea, aumentando a taxa de nucleação e consequentemente diminuindo o tamanho de grão recristaliza do. A precipitação de carbonitretos é favorecida pela defor mação plástica e pela diminuição da temperatura, sendo que o Nióbio eleva a temperatura de recristalização, tanto em solução como em precipitados (64).

Esses precipitados e o Nióbio em solução sólida, inibem o crescimento de grão. Para os aços solubilizados a altas temperaturas, os precipitados são dissolvidos ou sofrem um coalescimento, diminuindo a eficiência na inibição do crescimento de grão. Entretanto, nessas temperaturas o crescimento de grão passa a ser controlado pela presença de uma nova fase (ferrita δ).

Para os aços inoxidáveis austeníticos, o fenômeno de endurecimento por precipitação não é significativo, uma vez que a precipitação de carbonitretos ocorre preferencialmente em contornos de grão, o que torna seu efeito desprezível (65).

A variação da tensão de escoamento, indicada nas Figuras 5.8 e 5.9, mostra que esse parâmetro é afetado pelo teor de Nióbio e pela temperatura de solubilização. Os fato res que exercem maior influência na tensão de escoamento de aços inoxidáveis austeníticos são: a) o tamanho de grão, que segue uma relação do tipo de Hall-Petch,

$$\sigma_{\rm e} = \sigma_{\rm o} + {\rm Kd}^{-1/2}$$

b) o teor de ferrita δ , e c) os efeitos de endurecimento por solução sólida, onde os elementos mais efetivos são os interse ticiais Carbono e Nitrogênio; dos solutos substitucionais apenas os elementos formadores de ferrita provocam endurecimento significativo (66).

A diminuição contínua da tensão de escoamento com a temperatura de solubilização, indicada na Figura 5.8, para a amostra AL, está relacionada ao crescimento de grãos, o mesmo ocorrendo para as outras amostras quando solubilizadas a temperaturas menores que 1200 °C.

O aumento verificado na tensão de escoamento, rela

tivo ãs amostras BL, CL e DL, solubilizadas a temperaturas su periores a 1200 °C, pode estar associado à presença de ferrita delta. Quantidades crescentes de ferrita delta, provocam uma diminuição no tamanho de grão austenítico, aumentando a tensão de escoamento. Além disso, essa ferrita introduz outro mecanismo de endurecimento, conforme discutido no Capítulo 2.

Como o aumento da tensão de escoamento ocorre para altas temperaturas de solubilização, o efeito do Nióbio atra vés de um endurecimento por solução sólida deve ser considera do, uma vez que a essas temperaturas, a solubilidade de carbo nitretos de Nióbio na austenita e na ferrita é maior.

Para a amostra BL, embora não seja observada a presença de ferrita delta na análise por microscopia ótica, os dados relativos à tensão de escoamento sugerem uma fina precipitação dessa fase, para temperaturas maiores que 1200 °C.

A presença de ferrita delta tem um efeito marcante na dutilidade, como pode ser visto na Figura 5.10, para a amostra CL1300. A amostra DL1300 tem também sua dutilidade diminuida pela presença de ferrita delta, além do efeito da precipitação de um composto intermetálico rico em Cromo e Nióbio, em contorno de grão, como pode ser observado na fotografia da Figura 5.7c. A análise fratográfica das amostras CL1300 e DL1300, realizada sobre as fotografias da Figura 5.18c e 5.18d, revelam uma mudança no tipo de fratura para essas duas amostras, em relação aos casos anteriores. Esta fratura apresenta-se predominantemente como de caráter frágil do tipo in tergranular. As demais amostras, apresentam fratura dútil do tipo transgranular, caracterizada pela presença de cavidades de diferentes tamanhos. Este fato pode representar uma maior ou menor deformação plástica antecedendo à fratura dútil, que

é tanto mais característica quanto menor for o teor de Nióbio, para uma mesma temperatura de solubilização.

As Figuras 5.12 e 5.13 indicam que a tensão máxima de resistência, aumenta com o teor de Nióbio e diminui com a temperatura. Neste último caso, as amostras BL1300 e CL1300 são exceções, onde a tensão máxima aumenta com a temperatura. Os parâmetros que afetam essa propriedade são basicamente os mesmos que influenciam na tensão de escoamento. Assim, além do tamanho de grão, a freqüência de maclação tem efeito importante, pois uma alta densidade de maclas em geral indica baixa energia de falha de empilhamento, o que pode dar um grande número de deslocações parciais, resultando numa maior taxa de encruamento.

A presença de maclas é mais visível na amostra BL1300 do que na CL1300. Por isso, o efeito da ferrita delta no aumento da tensão máxima de resistência desses aços deve ser considerado. Outros fatores a serem considerados são o efeito do Nióbio em solução sólida na energia de falha de empilha mento, e a formação de martensita durante a deformação.

A baixa tensão de resistência da amostra DL1300 es tá associada com a presença do intermetálico em contorno de grão, como pode ser observado pelo aspecto da fratura, predo minantemente intergranular, como mostrado na fotografia da Figura 5.18d.

6.2- Aspectos Gerais das Curvas de Polarização

De acordo com a Figura 5.19 pode-se observar que as curvas de polarização das amostras AL1300 e DL1300, apresentam um aspecto típico; uma região de evolução de hidrogênio a

potenciais catódicos, uma região ativa seguida de uma passivação primária, uma região transpassiva e uma passivação secum dária e finalmente uma região de evolução de oxigênio a potem ciais suficientemente anódicos, que aparece conjuntamente com uma nova zona de dissolução transpassiva. Na região de evolução de hidrogênio, a presença do Nióbio no aço inoxidável facilita a dopagem do aço pelo hidrogênio, o que poderá alterar a sobretensão de hidrogênio nos aços com alto Nióbio (67). No entanto, uma análise mais cuidadosa, indica que o comportamem to dessas curvas de polarização é um pouco mais complexo. De uma forma esquemática tem-se a situação indicada na Figura 6.1.

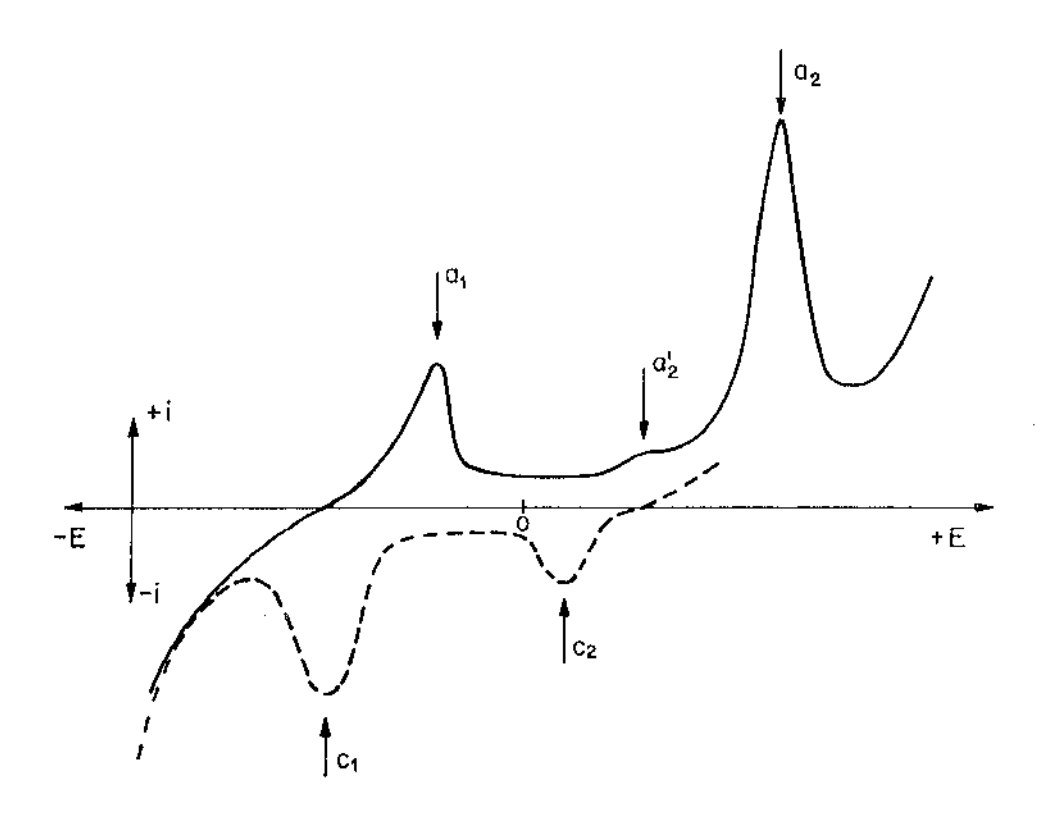


Figura 6.1- Resumo esquemático dos picos que aparecem nas curvas de pola rização. A línha contínua representa varredura anódica em so lução preferencialmente ácida e a pontilhada varredura catódica em solução preferencialmente neutra. (Desenho fora de esca la).

O pico \mathbf{a}_1 é atribuído a um fenômeno de formação de um filme de óxido superficial; a ¿ é um pico de pré-transpassi vidade e é muito bem identificado nas curvas de polarização ponto a ponto como indicado na Figura 5.22, embora não apare ça nas voltametrias. Esta figura mostra também que a presen ça de Nióbio no aço inoxidável inibe o aparecimento do a_2^{\prime} . O pico a_2^{\prime} está relacionado a um fenômeno de dissolução transpassiva através do óxido, que é dependente do potencial. O pico c₂ manifesta-se somente quando, na varredura anódica, se atinge potenciais localizados dentro da região dente ao pico a¦. O pico c_l não é observado quando a redução ế feita em ${
m H_2SO_4}$ 2N, uma vez que ế recoberto pela evolução de hidrogênio. Para defini-lo com precisão é necessário traçar a curva de polarização no sentido catódico, num meio de menor potencial de evolução de hidrogênio, como por exemplo Na₂CO₃ 0,2 M.

As Figuras 5.20, 5.21 e 5.22 indicam que a presença de Nióbio diminui a corrente crítica de passivação relativa ao pico a₁. O mesmo efeito se observa quando é aumentada a temperatura de solubilização. Existe dessa forma um efeito duplo do teor de Nióbio e da temperatura de solubilização na corrente crítica de passivação.

Segundo Hashimoto et alii⁽⁵⁹⁾ nos sistemas Fe-Cr-P-C e no 304, as superfícies menos ativas, requerem menor corrente para passivação do que superfícies mais ativas. A Figura 5.22 indica também que apesar do pico de pré-transpassividade a', ocorre um alargamento da região de passivação nas amostras contendo Nióbio, para as amostras solubilizadas a temperaturas elevadas.

De acordo com Sato (61), os metais que formam um

filme superficial de óxido semicondutor do tipo n, apresentam uma região de passividade mais larga, na direção dos valores mais positivos do potencial, que os metais que formam superficial do tipo p. Esta afirmação é feita segundo um mo delo baseado nos níveis de energia dos elétrons, distribuição de potencial e diferença de potencial na interface filme-solu ção, de acordo com o indicado na Figura 3.20. Nos óxidos po n o nível de Fermi localiza-se muito próximo da banda condução, enquanto que nos óxidos tipo p encontra-se mais pró ximo à banda de valência. O filme de óxido superficial forma do sobre os aços inoxidáveis, consiste basicamente de que apresenta caráter essencialmente do tipo n. O alargamento da região de passividade pode ser entendido considerando-se que o Nióbio se oxida na forma de $\mathrm{Nb}_2\mathrm{O}_5$. Neste caso, a dop<u>a</u> gem do óxido original de Cr_2O_3 com íons do tipo Nb^{+5} , promove um aumento da concentração de elétrons no óxido superficial para manter a neutralidade elétrica. Este fato aumenta o ca ráter n do óxido superficial, promovendo um alargamento da zo na de passividade.

6.3- Desenvolvimento de um Modelo Quantitativo para o Crescimento do Filme de Oxído Superficial no Pico a 1

Pode-se considerar que numa superfície metálica policida de um material policristalino, existe uma distribuição de energia livre superficial devido as diferentes fases e diferentes orientações cristalográficas, o que dará origem a diferentes atividades $a_{\rm Me,i}$ para as distintas áreas $a_{\rm i}$ do $m_{\rm e}$ tal.

Durante a formação de um filme de óxido sobre um metal em solução, o crescimento desse filme ocorrerá diferente

mente em cada área A, devido às diferenças na atividade metálica local. Considerar-se-á em uma primeira aproximação que a dissolução do óxido superficial é desprezível e que o mesmo recobre toda a superfície metálica.

O processo de oxidação de um metal em solução pode ser visto por um mecanismo de duas ctapas principais. Uma que considera a transição do átomo metálico localizado na estrutura ra cristalina superficial para a superfície metálica em forma de um átomo adsorvido e outra da superfície para a solução na forma oxidada. A primeira etapa depende da energia de ligação entre os átomos metálicos, que por sua vez depende da orientação cristalográfica, dada a natureza anisotrópica dos materiais metálicos (94). Este efeito pode ser observado pela variação do módulo de Young com a orientação cristalográfica, como indicado na Figura 6.2, para monocristais de Fe-3%Si.

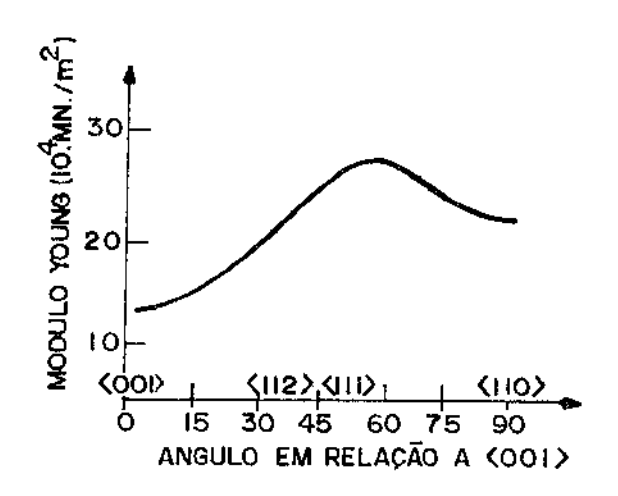


Figura 6.2- Anisotropia do módulo de Young para monocristais de Fe-3%Si (94)

Como consequência, também as operações de polimento podem introduzir diferentes índices de encruamento nas distintas áreas A_i , o que dá outra contribuição para as diferenças na distribuição da energia livre superficial. Os defeitos

superficiais, flutuações na composição, segregação de impurezas, etc. também devem ser considerados.

Pode-se representar a distribuição de energia livre superficial de acordo com a Figura 6.3. A Figura 6.3a é uma distribuição de energia livre superficial típica para metais de elevado módulo de elasticidade (Fe, Cr, Ni), enquanto que a Figura 6.3b corresponde a metais de baixo módulo de elasticidade (Sn, Pb, Zn, etc.). A Tabela VI.1 apresenta os valo res do módulo de elasticidade para esses distintos metais.

Metal	Módulo de Elastícidade (N/m²)		
Cromo	$24,82 \times 10^{10}$		
Ferro	$19,65 \times 10^{10}$		
Niquel	$21,37 \times 10^{10}$		
Estanho	$4,69 \times 10^{10}$		
Chumbo	1,79 x 10 ¹⁰		

Tabela VI.I- Modulo de etasticidade de alguns metais (94).

Na Figura 6.3 $\bar{G}_{superficial}$ é a energia livre superficial eletroquímica para uma determinada A_i , \bar{G}^{\neq} é a energia livre do complexo ativado, necessária à formação do filme em qualquer área A_i salvo os aspectos estatísticos e $\bar{\Delta G}^{\neq}$ a variação de energia livre necessária para o começo de formação do filme em uma parte da área do eletrodo. Nesse caso, em cada porcentagem de área com a mesma $\bar{G}_{superficial}$ a velocidade de formação do filme será

$$V_{\text{formação}} \propto \exp{-\frac{\overline{\Delta G}^{\neq}}{RT}}$$
 (6.1)

 $9,65 \times 10^{10}$

onde: $\overline{\Delta G}^{\neq} = \overline{G}^{\neq} - \overline{G}_{superficial}$

Zinco

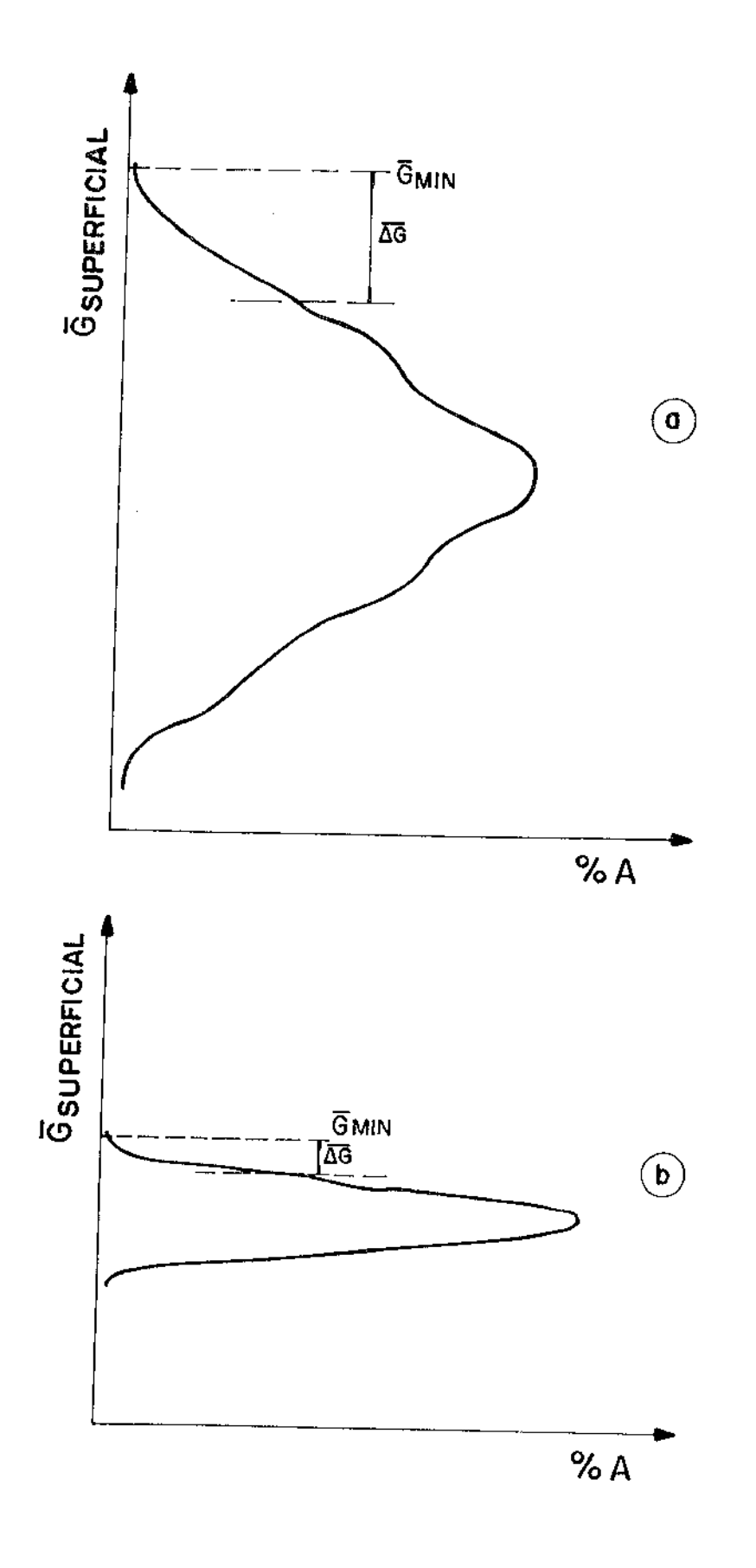


Figura 6.3- Representação esquemática da distribuição de energia livre su perficial num eletrodo sólido policristalino.

Devido à distribuição de energia livre superficial, durante a varredura de potencial, o crescimento do óxido su perficial em função do tempo (potencial), pode ser representa do de acordo com a Figura 6.4.

Supondo que a reação total seja controlada por um processo na interface metal-óxido, para cada área A_i com um particular $a_{Me,i}$, a corrente de formação do filme $I_{f,i}$ pode ser escrita:

$$I_{f,i} = nFk_f \exp (\alpha_{a,i}fE) \cdot a_{Me,i}$$
 (6.2)

onde: k_f = constante de velocidade específica;

 $\alpha_{\rm a,i}$ = coeficiente de transferência anódica na interfa ce metal/filme, na área ${\rm A_i}$;

$$f = \frac{F}{RT}$$
;

n = número de cargas elementares envolvidas na reação;

I_{f,i} = corrente de formação do filme para a área A_i.

A corrente total de formação do filme \mathbf{I}_{F} , será dada por:

$$I_{f} = \sum_{i} A_{i} I_{f,i} = nFk_{f} \exp (\alpha_{a,i}fE) \cdot \sum_{i} A_{i} \cdot a_{Me,i}$$
 (6.3)

Admitindo-se as seguintes hipóteses:

- a) $\alpha_{a,i} = \alpha_{a}$, isto é, todas as reações nas distintas áreas A_{i} possuem o mesmo coeficiente de transferência anódica;
- b) todas as reações anódicas tem o mesmo número de cargas ele mentares envolvidas;
- c) que a constante de velocidade específica seja sempre a mesma, para cada A. Nesse caso, a densidade de corrente de formação do filme pode ser escrita:

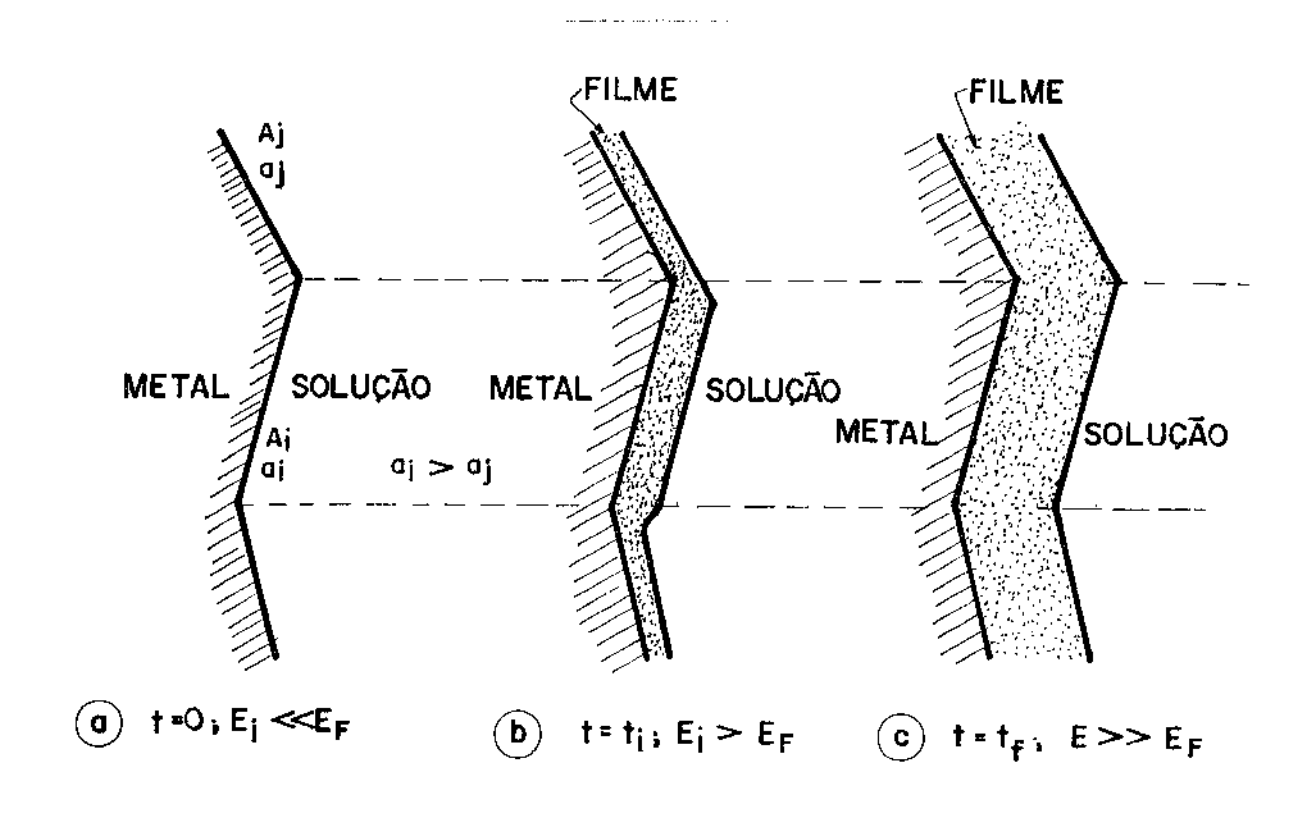


Figura 6.4- Modelo de crescimento do filme de passivação, enquanto estiver controlado na interface metal/filme.

- (a) Instante inicial, a um potencial muito menor que o potencial de Flade ($E_{\rm F}$), antes do início do pico voltamétrico.
- (b) Potencial próximo ao potencial de pico, durante a varred \underline{u} ra de potencial.
- (c) Potencial muito maior que o potencial de Flade no final do pico voltamétrico.

$$i_f = nFk_f \exp (\alpha_a fE) \sum_{i} \frac{A_i}{A} a_{Me,i}$$
 (6.4)

Definindo que

$$i_f^O = nFk_f \Sigma \frac{A_i}{A} a_{Me,i}$$
 (6.5)

a expressão (6.4) fica:

$$i_f = i_f^0 \exp(\alpha_a f E)$$
 (6.6)

O valor i deverá variar com a variação da distribuição das áreas superficiais, tipo de polimento, ou outro parâmetro que implique numa variação da energia livre superficial e na sua distribuição em torno de valores médios.

A equação (6.6) indica que quanto maior a atividade do metal nas distintas áreas A_i , maior será o valor de i_f^O e conseqüentemente maior será a intensidade de corrente de formação do filme para um mesmo potencial. Em outras palavras, quanto mais ativa a superfície metálica maior a corrente de formação do filme como encontrado por Hashimoto et all $^{(59)}$.

Admitir-se-á que a partir da passagem de uma carga $q_{m,i}$ (mC/cm²), em qualquer área A_i , o crescimento do filme passa a ser controlado por migração para uma espessura do filme me correspondente à carga $q_{m,i}$. Essa idéia terá como consequência o aparecimento de um pico como mostra a Figura 6.5, tendo em conta que as correntes controladas na interface me tal-filme, são maiores que as controladas pelo fluxo · iônico através do filme para o caso que q_i < $q_{m,i}$.

Pode-se escrever que:

$$q_{m,i} = \int_{0}^{t_{i}} i_{f,i} dt$$
 (6.7)

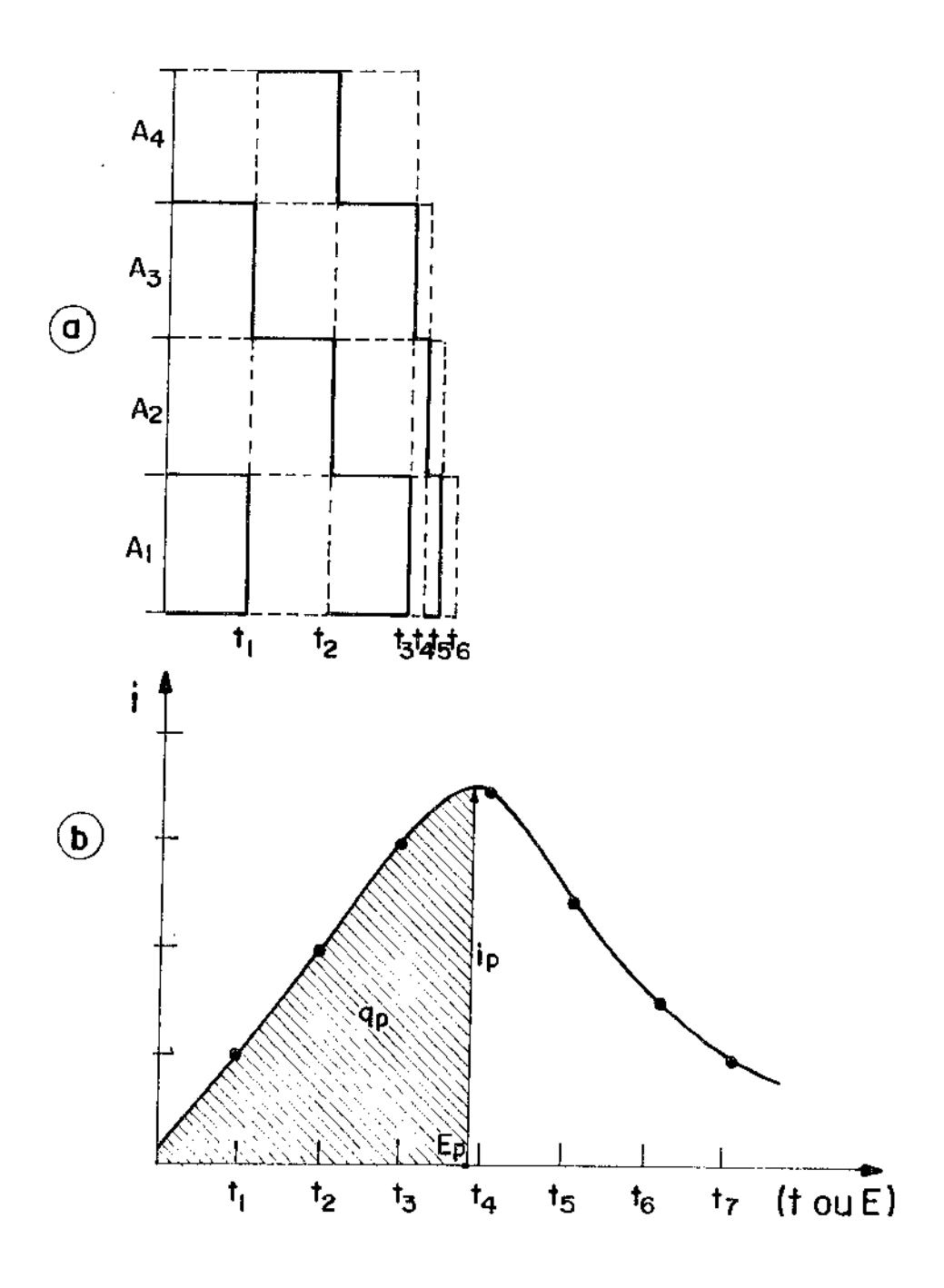


Figura 6.5- Representação esquemática do pico a: (a) mostrando o crescimento do filme de óxido; (b) mostrando a representação i x E ou í x t, correspondente ao caso a.

onde: t_i = tempo necessário para que a área A_i atinja a espessura limite correspondente a $q_{m.i}$;

 $q_{m,i}$ = māxima densidade de carga relativa a ārea A_i , a partir da qual o crescimento do filme passa a ser controlado por migração através do mesmo.

Dado que para a varredura de potenciais

$$E = E_{O} + vt \tag{6.8}$$

e portanto

$$\frac{dE}{v} = dt \tag{6.9}$$

onde v é a velocidade de varredura, pode-se obter a seguinte expressão, usando as equações (6.7), (6.2), (6.5) e (6.9):

$$q_{m,i} = i_{f,i}^{\circ} \frac{\exp \alpha_a f E_i}{\alpha_a f \cdot v} \left[\exp \alpha_a f v t_i - 1 \right]$$
 (6.10)

onde $\mathbf{E_i}$ é o potencial dependente de v para o qual a carga na área $\mathbf{A_i}$ atinge o valor de $\mathbf{q_{m,i}}$.

Dessa forma, a carga total será:

$$q_{p} = \sum_{i} q_{m,i} \frac{A_{i}}{A}$$
 (6.11)

ou

$$q_{p} = \frac{\exp(\alpha_{a}f.E_{i})}{\alpha_{a}f.v} \sum_{i} i_{f,i}^{O} \frac{A_{i}}{A} \left[\exp(\alpha_{a}fvt_{i}) - 1 \right]$$
 (6.12)

O valor de q_p é um valor médio e mesmo que os par \hat{a} metros A_i , $i_{f,i}^o$ e t_i sejam considerados constantes, não é uma função simples em relação a v, dado que os valores de $q_{m,i}$ são alcançados em diferentes potenciais devido \hat{a} distribuição

de energia livre superficial, conforme representado na Figura 6.6. O cálculo de \mathbf{q}_{p} implica para E < E (t < t) que o fenõ meno é controlado na interface metal/filme, o que significa que a área hachuriada da figura 6.6 representa o erro cometido no cálculo de \mathbf{q}_{p} , quando se utiliza a equação 6.12.

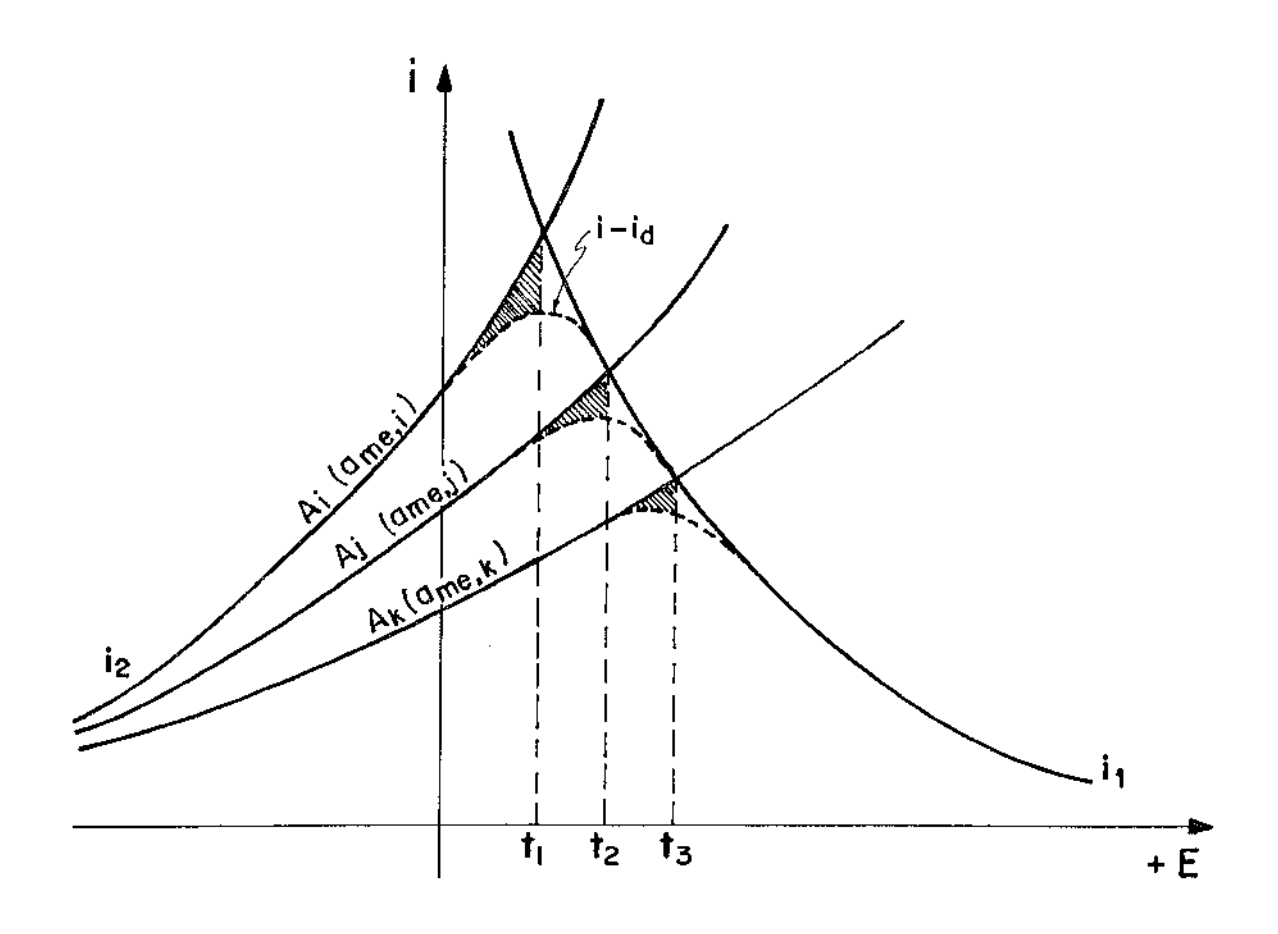


Figura 6.6- Representação esquemática das correntes correspondentes ao pi co a em função das correntes i_1 e i_2 . A corrente i_2 é o resultado do controle na interface metal/filme e a corrente i_1 é devida ao controle no filme. Discussão de i_1 e i_2 na página .

Para metais que possuem uma distribuição de energia superficial bastante estreita, como Antimônio, Estanho, Chum bo $^{(95)}$ pode-se considerar $t_i \simeq t_p$ e nesse caso a expressão 6.12 fica:

$$q_{p} = \frac{i_{p}}{\alpha_{a} f \cdot v}$$
 (6.13)

O tratamento teórico desse fenômeno pode ser feito considerando-se o modelo físico indicado na Figura 6.7.

Considera-se que a área superficial do eletrodo em qualquer potencial na região do pico, consiste de uma fração de área θ_3 totalmente descoberta, uma fração de área θ_2 coberta com um filme de óxido de espessura menor do que a espessura correspondente a q_m , e uma fração de área θ_1 , representando a área coberta com filme de óxido com espessura máxima (con siderando-se que o crescimento correspondente a cargas acima de q_m é desprezível).

Pode-se então, escrever que:

$$\theta_1 + \theta_2 + \theta_3 = 1 \tag{6.14}$$

Como na região correspondente a θ_1 o filme de óxido superficial atingiu sua espessura máxima, o mecanismo de crescimento fica controlado por uma corrente iônica de migração através do óxido $i_{m,1}$ (m, migração), ao passo que na região θ_2 onde a espessura do filme não atingiu um valor máximo, a cinética de crescimento fica controlada pela reação na interface metal-óxido de acordo com a corrente $i_{M/f,2}$ (M/f, metal/filme).

Será considerado que E < E transpassivação e por tanto de acordo com o item 4.5, a corrente de dissolução será independente do potencial. Levando-se em conta as correntes envolvidas no pico:

$$i_{d,2} = i_{d,1} = i_{d} = 0$$
 (d, dissolução) (6.15)

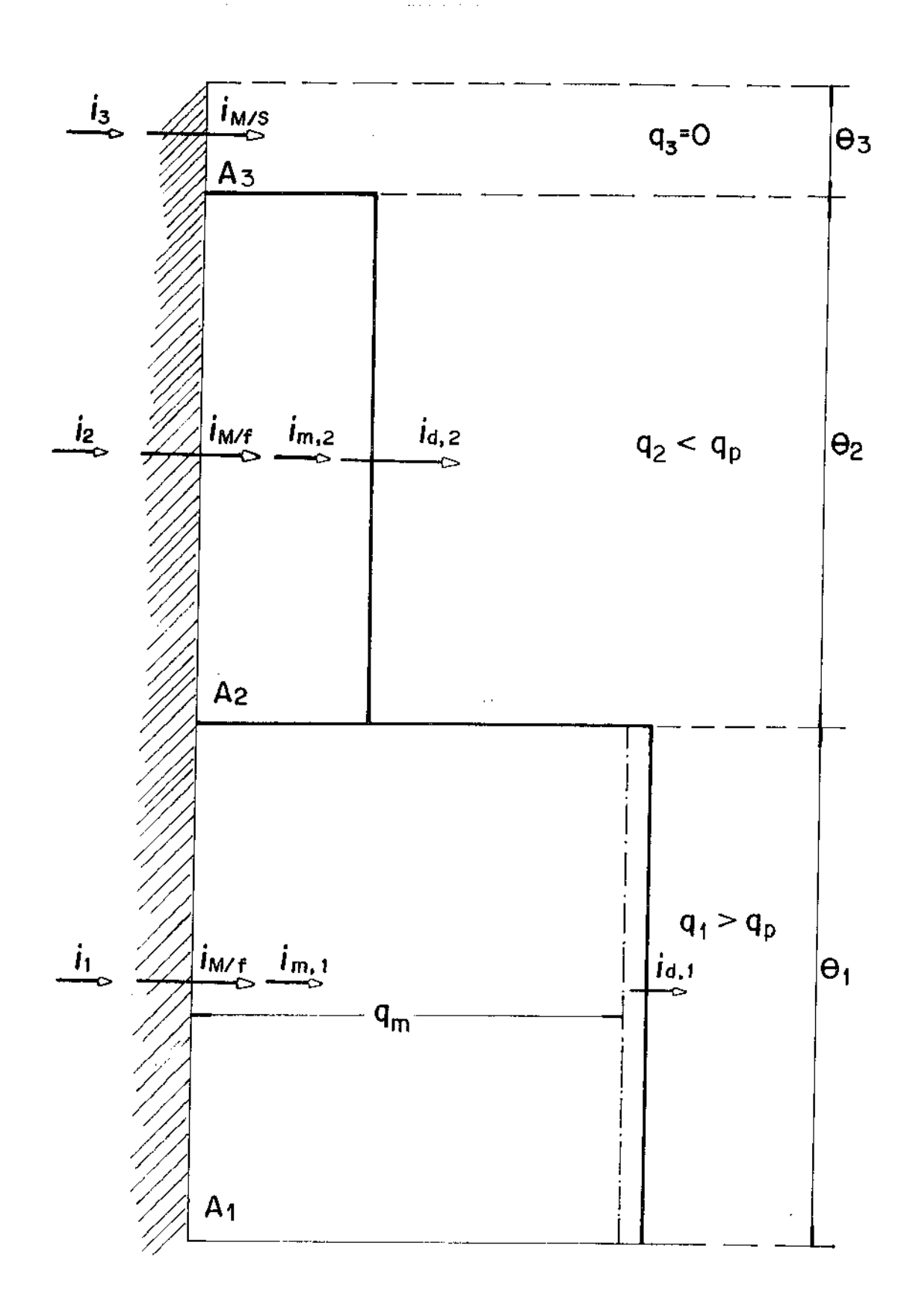


Figura 6.7- Modelo físico do crescimento de oxído superficial sobre um eletrodo solido de aço inoxidavel.

A parcela da corrente total que circula pela área 3 e que é igual à densidade de corrente na interface metal-solução, pode ser escrita de acordo com a expressão:

$$i_3 = i_{M/S} = i_{M/S}^{O'} \cdot \exp (\alpha_{M/S} f \Delta \phi_{M/S}) \qquad (6.16)$$

onde: i_3 = fração de densidade de corrente que circula pela área A_3 ;

$$\begin{split} \mathbf{i}_{\text{M/S}} &= \text{densidade de corrente na interface metal-solução;} \\ \alpha_{\text{M/S}} &= \text{coeficiente de transferência na interface metal-solução;} \\ -\text{solução;} \end{split}$$

 $\Delta \phi_{M/S}$ = diferença de potencial interno da interface metal-solução, definido como:

$$\Delta \phi_{\text{M/S}} = E + A \tag{6.17}$$

onde: E é o potencial de eletrodo e A é a queda de potencial interno eletrodo de referência-solução.

Na região correspondente a θ_2 , pode-se escrever que

$$i_2 = i_{M/f,2} = i_{M/f}^{O'} \exp (\alpha_{M/f}.f \wedge \phi_2)$$
 (6.18)

onde: i₂ = fração de densidade de corrente que circula pela área 2;

i_{M/f,2} = densidade de corrente na interface metal-filme na região 2;

 $\Delta \phi_2$ = diferença de potencial interno na interface metal/filme, na região 2, definido como:

$$\Delta \phi_2 = E - (\phi_a - \phi_S) + A \qquad (6.19)$$

Onde ϕ_a é o potencial interno no filme junto à interface — me tal/filme e ϕ_S o potencial interno da solução.

Em relação à região 1, tem-se (38):

$$i_1 = i_{m,1} = i_{m,1}^{O'} \cdot \exp \left[\alpha_f \cdot f \cdot \frac{a}{\ell} \left(\phi_a - \phi_b\right)\right]$$
 (6.20)

onde: $\alpha_{
m f}$ = coeficiente de transferência de carga do 1on, para passagem de uma posição à outra dentro do filme;

a = distância entre duas posições de mínima energia do
fon dentro do filme;

l = espessura da camada de óxido;

 $\phi_{\mathbf{b}}$ = potencial interno do óxido em sua superfície na interface filme-solução.

Assim, a corrente total que circula pelo eletrodo pode ser escrita como:

$$i = i_1 \theta_1 + i_2 \theta_2 + i_3 \theta_3$$
 (6.21)

Admitindo-se que $\theta_3 = 0$, vem que

$$\theta_2 = (1 - \theta_1) \tag{6.22}$$

e portanto a expressão (6.21) fica:

$$i = i_2(1-\theta_1) + i_1\theta_1$$
 (6.23)

A análise do modelo físico permite concluir que a variação da fração de área coberta θ_1 , deve ser proporcional à densidade de corrente i_2 e à fração de área θ_2 .

Logo, tem-se:

$$\frac{d0_1}{dt} = K(v) i_2 (1-0_1)$$
 (6.24)

onde: $\frac{d\theta_1}{dt}$ = taxa de variação com o tempo da fração de área coberta θ_1 ;

K(v) = constante de proporcionalidade, função da velocidade de varredura.

Os trabalhos de Ebersbach, Schwabe e Ritter (71) propuseram uma relação semelhante, como discutido na seção 3.1, expressão (3.6). No caso da expressão (6.24) não é necessá rio levar em consideração a taxa de degradação da camada pas siva devido ao pH do meio e/ou à presença de ânions SO₄²⁻, uma vez que essas variáveis podem ser desprezadas para o sistema estudado.

É necessário entretanto explicitar melhor o significado de K(v), o que não foi feito pelos autores acima, que consideraram essa constante como a área coberta por Coulomb.

Da expressão (6.23), vem:

$$i_2 = \frac{i - i_1 \theta_1}{\theta_2} \tag{6.25}$$

Considerando que $\theta_1 = \frac{A_1}{A}$ e $\theta_2 = \frac{A_2}{A}$ a expressão (6.25) pode ser escrita como:

$$i_2 = \frac{A}{A_2} i - \frac{A_1}{A_2} i_1$$
 (6.26)

Por outro lado, da expressão (6.24), vem:

$$i_2 = \frac{1}{K(v)(1-\theta_1)} \frac{d\theta_1}{dt} = \frac{1}{K(v)(A-A_1)} \frac{dA_1}{dt} = \frac{1}{K(v)A_2} \frac{dA_1}{dt}$$
 (6.27)

Comparando-se as expressões (6.25) e (6.27), tem-se:

$$\frac{d\theta_{1}}{dt} = K(v)i - K(v)i_{1}\theta_{1}$$
 (6.28)

e dai vem:

$$d\theta_1 = K(v)idt - K(v)\theta_1 i_1 dt \qquad (6.29)$$

Portanto:

$$\theta_1 = K(v)q - K(v) \int i_1 \theta_1 dt \qquad (6.30)$$

Da expressão (6.30) pode-se obter:

$$K(v) = \frac{\theta_{1t}}{q_{t} - \int_{0}^{t} i_{1}\theta_{1} dt}$$
 (6.31)

Para o caso particular em que todas $t_i = t_p$, e i_1 for desprezível em relação à corrente de pico, a expressão (6.31) fica:

$$K(v) = \frac{\theta_{1p}}{q_{p}}$$
 (6.32)

Para o caso geral

$$K(v) = \frac{0_{1p}}{q_p - \int_0^{t_p} i_{1} dt}$$
 (6.33)

Considerando em primeira aproximação que o denomina dor da expressão (6.33) é uma fração da carga de pico, isto é

$$q_{p} - \int_{0}^{t_{p}} i_{1}\theta_{1} dt \approx \lambda q_{p}$$
 (6.34)

pode-se escrever que

$$K(v) = \frac{\theta_{1p}}{\lambda q_{p}}$$
 (6.35)

onde $.0 < \lambda < 1$ e $\lambda = \lambda (v)$.

A expressão (6.35) mostra que a constante de propor cionalidade K(v) depende da velocidade através da fração λ , como também do fato de que a carga de pico depende da velocidade, como indicado na expressão (6.13).

O valor de K(v) não se refere a uma determinada área A_i , mas é um valor médio que depende da superficie analisada. Em K(v), θ_1 considera a porcentagem de área que atingir a espessura máxima no potencial do pico, enquanto que λ leva em conta que uma parte dessa área já atingiu uma carga maior que a carga de pico.

A espessura crítica dependerá em cada caso particular, da relação entre as densidades de corrente de troca relativas aos processos na interface metal/filme e no filme, e também da relação entre o coeficiente de transferência de carga na interface metal-filme e o coeficente de transferência de carga através do filme.

Deve-se levar em consideração a relação entre a es pessura do filme de óxido e a carga para formação do filme. Assim, um dado volume de óxido pode ser escrito como

$$V = \ell A = \frac{m}{\delta}$$
 (6.36)

onde m $\acute{\mathrm{e}}$ a massa do $\acute{\mathrm{o}}$ xido e δ $\acute{\mathrm{e}}$ a densidade do $\acute{\mathrm{o}}$ xido.

Considerando que m=nM e que $n=\frac{Q}{zF}$ a expressão (6.36) fica:

$$\ell A = \frac{nM}{\delta} = \frac{QM}{zF\delta}$$
 (6.37)

onde n é o número de moles de óxido, z é a valência do ion do óxido.

Assim, fazendo $\frac{Q}{A} = q$, tem-se:

$$\ell = q \frac{M}{zF \cdot \delta} \tag{6.38}$$

A expressão (6.38) indica que a espessura do filme de óxido, depende da velocidade de varredura pela dependência de q com v, podendo também a densidade do óxido depender des sa velocidade. (Não esquecer que são óxidos hidratados e so frem processo de envelhecimento).

Da expressão (6.24) pode-se escrever que:

$$\frac{d\theta_1}{1-\theta_1} = K(v) \quad i_2 \quad dt \tag{6.39}$$

Fazendo a integração de ambos os membros dessa equação, tem-se:

$$\int_{\theta_{1}=0}^{\theta_{1}} \frac{d(1-\theta_{1})}{1-\theta_{1}} = -\frac{K(v)}{v} \int_{-\infty}^{E} i_{2} dE$$
 (6.40)

onde $dE = \frac{dt}{v}$, e portanto

$$\ln (1-\theta_1) = -\frac{K(\mathbf{v})}{\mathbf{v}} \int_{-\infty}^{\mathbf{E}} i_2 d\mathbf{E}$$
 (6.41)

De acordo com as expressões (6.18) e (6.19), a integral do 29 membro da equação (6.41) fica:

$$-\frac{K(v)}{v} \int_{-\infty}^{E} i_2 dE = -\frac{K(v)}{v} \int_{-\infty}^{E} i_{M/f}^{o'} \exp(\alpha_{M/f} f \Delta \phi_2) dE =$$

$$= -\frac{K(v)}{v} \int_{-\infty}^{E} i_{M/f}^{O'} \exp \left[\alpha_{M/f} f \left[(\phi_{a} - \phi_{s}) - A\right] \cdot \exp \left(\alpha_{M/f} f E\right) dE\right]$$
(6.42)

Fazendo

$$i_{M/f}^{\circ} = i_{M/f}^{\circ'} \exp - \left\{ \alpha_{M/f} f \left[(\phi_a - \phi_s) - A \right] \right\}$$

tem-se

$$-\frac{K(v)}{v} \int_{-\infty}^{E} i_2 dE = -\frac{K(v)}{v} i_{M/f}^{O} \int_{-\infty}^{E} \exp(\alpha_{M/f} f E) dE \qquad (6.43)$$

Supõe-se neste modelo, que o valor de ϕ_a é pratica mente constante. Desta forma, dado que o valor de $(\phi_b^-\phi_s^-)$ é constante, enquanto o nível de Fermi não corte o limite superior da banda de valência na superfície do filme $^{(61)}$, o crescimento da espessura do óxido durante a varredura, implicará num decréscimo do gradiente de potencial no filme e consequentemente uma diminuição da força impulsora da corrente de migração se torne a partir de um certo momento, inferior a da interface metal/filme, passando a ser o processo controlador, transformando uma área θ_2 em uma área do tipo θ_1 . Em outras pala vras, esta consideração supõe que toda variação de potencial ocorre na interface metal/filme. Esquematicamente pode-se fazer uma representação de acordo com a Figura 6.8.

Fazendo a integração da equação (6.43), tem-se:

$$-\frac{K(v)}{v} \int_{-\infty}^{E} i_2 dE = -\frac{K(v)}{v} i_{M/f}^{O} (\alpha_{M/f}.f)^{-1} \exp (\alpha_{M/f}.f.E)$$

ou

$$-\frac{K(v)}{v} \int_{-\infty}^{E} i_2 dE = -\frac{K(v)}{v} (\alpha_{M/f}.f)^{-1}.i_2$$
 (6.44)

Comparando-se as expressões (6.41) e (6.44), obtem-se:

$$\ln (1-\theta_1) = -\frac{K(v)}{\alpha_{M/f}} i_2$$

ou

$$(1-\theta_1) = \exp \left[-\frac{K(v) i_2}{\alpha_{M/f} \cdot f \cdot v}\right]$$
 (6.45)

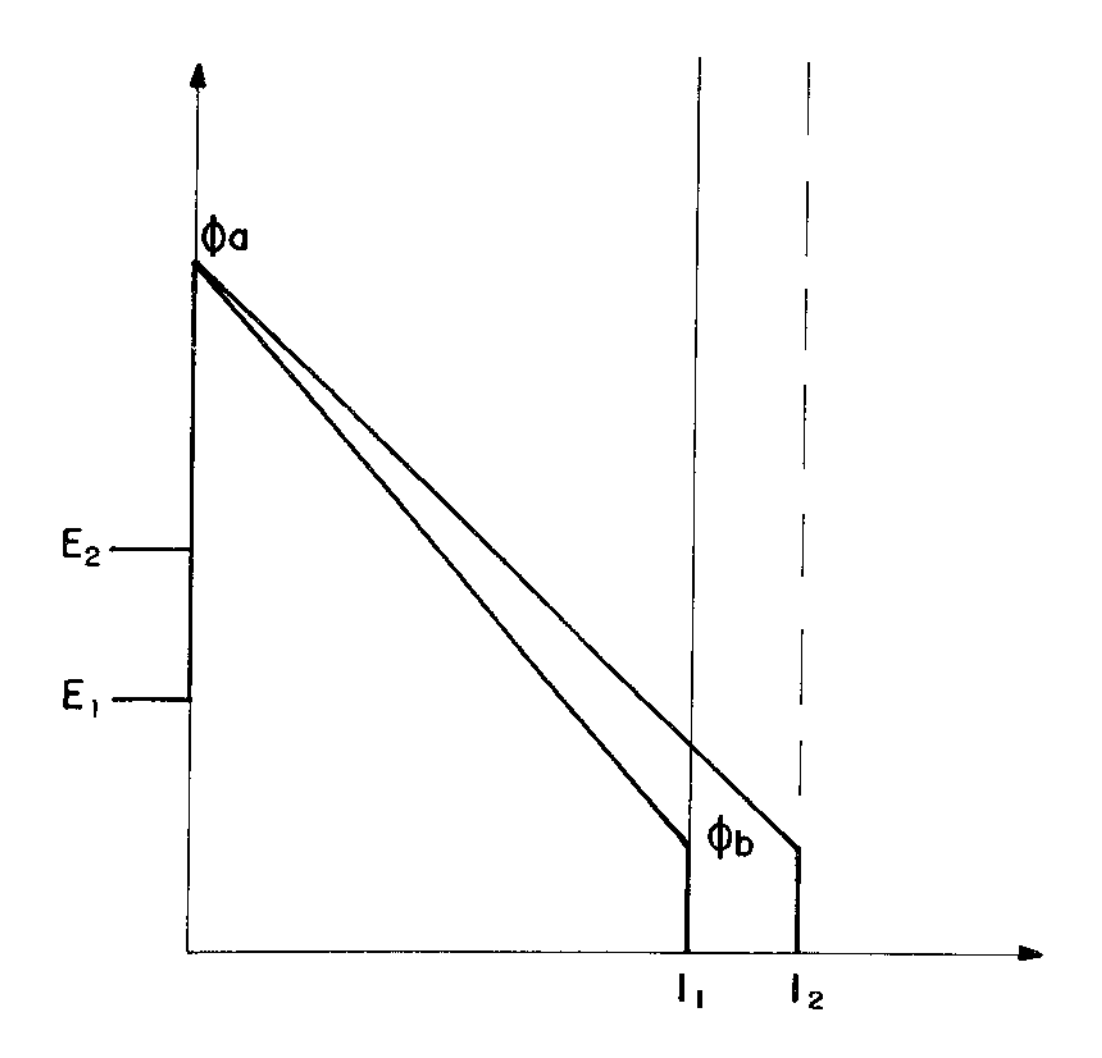


Figura 6.8- Redução do gradiente de potencial devido ao crescimento do óxido e a um ϕ_a constante.

A partir das expressões (6.23) e (6.45) pode-se escrever:

$$i = i_2 \exp \left[-\frac{K(v) i_2}{\alpha_{M/f} \cdot f \cdot v}\right] + i_1 \theta_1$$
 (6.46)

No caso de $i = i_p$; $i_1 = i_{1p}$ e $i_2 = i_{2p}$ nas condições de pico tem-se:

$$\left(\frac{\mathrm{d}i}{\mathrm{d}E}\right)_{V} = 0 \tag{6.47}$$

$$\left(\frac{\text{di}_{2p}}{\text{dE}}\right)_{E_{p}} \exp\left[-\frac{K(\mathbf{v})i_{2p}}{\alpha_{M/f}f.\mathbf{v}}\right] - \frac{i_{2p}K(\mathbf{v})}{\alpha_{M/f}f.\mathbf{v}} \left(\frac{\text{di}_{2p}}{\text{dE}}\right)_{E_{p}} \cdot \exp\left[-\frac{K(\mathbf{v})i_{2p}}{\alpha_{M/f}f.\mathbf{v}}\right] + \left(\frac{\text{di}_{1p}\theta_{1p}}{\text{dE}}\right)_{E_{p}} = 0$$
(6.48)

Admitindo-se em primeira aproximação (hipótese que será discutida mais adiante) que

$$\left(\frac{\operatorname{di}_{1p}^{\theta}_{1p}}{\operatorname{dE}}\right)_{E_{p}} = 0 \tag{6.49}$$

da equação (6.48) vem que:

$$1 - \frac{i_{2p} K(v)}{\alpha_{M/f} f \cdot v} = 0$$
ou
$$i_{2p} = \frac{\alpha_{M/f} f v}{K(v)}$$
(6.50)

As equações (6.45) e (6.50) permitem escrever, nas condições de pico que:

$$(1 - \theta_{1p}) = \exp \left[-\frac{K(v) \alpha_{M/f} \cdot f \cdot v}{\alpha_{M/f} \cdot f \cdot v \cdot K(v)} \right]$$
ou

$$(1 - \theta_{1p}) = e^{-1} \tag{6.51}$$

$$\theta_{1p} = 1 - e^{-1} = 0.63$$
 (6.52)

ou ainda que:

$$\theta_{2p} = e^{-1}$$
 (6.53)

Da expressão (6.49) e (6.52) vem que:

$$\left(\frac{\text{di}_{1p}}{\text{dE}}\right)_{\text{E}_{p}} = 0$$
(6.54)

Assim, impondo a condição da equação (6.54) na derivação da equação (6.20), obtem-se:

$$\left(\frac{\text{dilp}}{\text{dE}} \right) = i_{\text{m,l}}^{\text{o'}} \alpha_{\text{f}} \text{ f } \left\{ \frac{\text{a}}{\ell} \left[\frac{\text{d} (\phi_{\text{a}} - \phi_{\text{b}})}{\text{dE}} \right]_{\text{E}_{\text{p}}} - \text{a} (\phi_{\text{a}} - \phi_{\text{b}}) \frac{1}{\ell^{2}} \left(\frac{\text{d}}{\text{dE}} \right)_{\text{E}_{\text{p}}} \right\} = 0$$

e daī

$$\frac{a}{\ell} \left[\frac{d(\phi_a - \phi_b)}{dE} \right]_{E_p} = \frac{a}{\ell^2} (\phi_a - \phi_b) \left[\frac{d\ell}{dE} \right]_{E_p}$$

Dessa expressão vem:

$$\left[\frac{d(\phi_{a}-\phi_{b})}{(\phi_{a}-\phi_{b})}\right]_{E_{p}} = \left(\frac{d\ell}{\ell}\right)_{E_{p}}$$

ou

$$\ell n(\phi_a - \phi_b)_{E_p} = \ell n \ell_p + cte$$

ou

$$\frac{\phi_{a}^{-\phi}b}{\ell p} = constante \tag{6.55}$$

A expressão (6.55) é válida na condição de pico e é constante para as distintas velocidades de varredura, sendo que $\ell_{\rm p}$ é relativo às áreas $\ell_{\rm l}$ e está relacionado com a carga destas áreas e não a $\ell_{\rm p}$ que varia com a velocidade.

Considerando agora as expressões (6.23), (6.50) e (6.51), tem-se:

$$i_p = \alpha_{M/f} f e^{-1} \frac{v}{K(v)} + i_{1p} \theta_{1p}$$
 (6.56)

onde K(v) é dado pela expressão (6.35).

Tomando-se novamente a expressão (6.18), pode-se es crever que:

$$i_{2p} = i_{M/f}^{O} \exp(\alpha_{M/f} f E_{p})$$
 (6.57)

onde $i_{\text{M/f}}^{\text{O}}$ é dado pela expressão (6.42). A expressão (6.57) pode ser escrita como:

$$E_{p} = \frac{1}{\alpha_{M/f}^{f}} \cdot \ln(i_{2p}) - \frac{1}{\alpha_{M/f}^{f}} \cdot \ln(i_{M/f}^{O}) \qquad (6.58)$$

Considerando as expressões (6.23) e (6.51), a relação (6.58) fica:

$$E_{p} = \frac{1}{\alpha_{M/f}f} \ell_{n} \left(\frac{i_{p} - i_{1p} \ell_{1p}}{e^{-1}} \right) - \frac{1}{\alpha_{M/f}f} \ell_{n} \left(i_{M/f}^{O} \right)$$
(6.59)

6.4- Aplicação do Modelo Proposto aos Resultados Experimentais

As expressões (6.56) e (6.59), deduzidas anterior mente, são muito importantes. Elas relacionam as variáveis experimentais como densidade de corrente de pico e potencial de pico com os parâmetros teóricos $\alpha_{\text{M/f}}$, K(v), $i_{\text{M/f}}^{\text{O}}$, i_{lp} e θ_{lp} .

Os resultados experimentais mostraram que uma boa aproximação para K = K(v) é

$$K(v) = K_1 v^n$$
, com K_1 constante (6.60)

Das expressões (6.56) e (6.60) vem que:

$$i_p - i_{1p}\theta_{1p} = \frac{\alpha_{M/f} \cdot f \cdot e^{-1}}{K_1} v^{(1-n)}$$
 (6.61)

ou

$$\ln (i_p - i_{1p} \theta_{1p}) = \ln \left(\frac{\alpha_{M/f} \cdot f \cdot e^{-1}}{K_1} \right) + (1-n) \ln v \quad (6.62)$$

Para a determinação dos parâmetros teóricos util \underline{i} zou-se o método por aproximações sucessivas na seguinte se quência:

a) Atribui-se inicialmente a $i_{1p}\theta_{1p}$ um valor aproximado e obtém-se um valor de (l-n) a partir da inclinação da reta obtida na relação $\ln(i_p-i_{1p}\theta_{1p})$ x \ln v. Pode-se também obter um valor de α a partir da inclinação da reta obtida da relação E_p x \ln v.

Conhecido α pode-se determinar K a partir do intercepto da relação linear $\ln(i_p-i_{1p}\theta_{1p}) \times \ln v$.

b) Para o valor de (1-n) obtido, lineariza-se a existar pressão (6.61) que fornece novo valor para $i_{1p}\theta_{1p}$, que permite a sequência do processo de aproximações sucessivas.

As Figuras 6.9 e 6.10 apresentam os gráficos $i_p \times v^{(1-n)}$ e $\ln(i_p-i_{1p}) \times \ln v$ respectivamente, após a utilização do método anterior, para as amostras AL1300, CL1300 e DL1300.

Os valores numéricos obtidos estão indicados na Tabela VI.2.

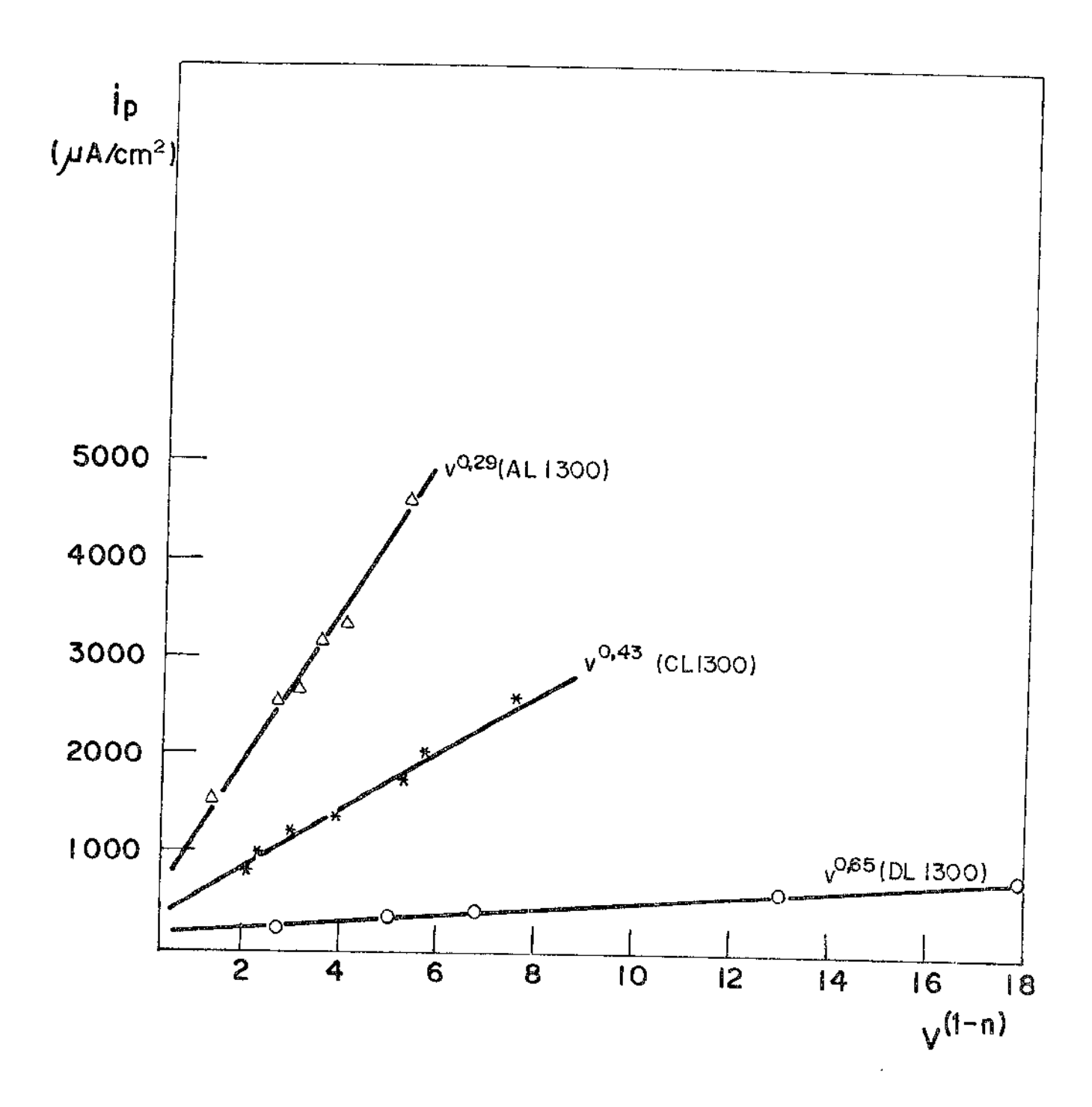


Figura 6.9- Relação i_p versus $v^{(1-n)}$.

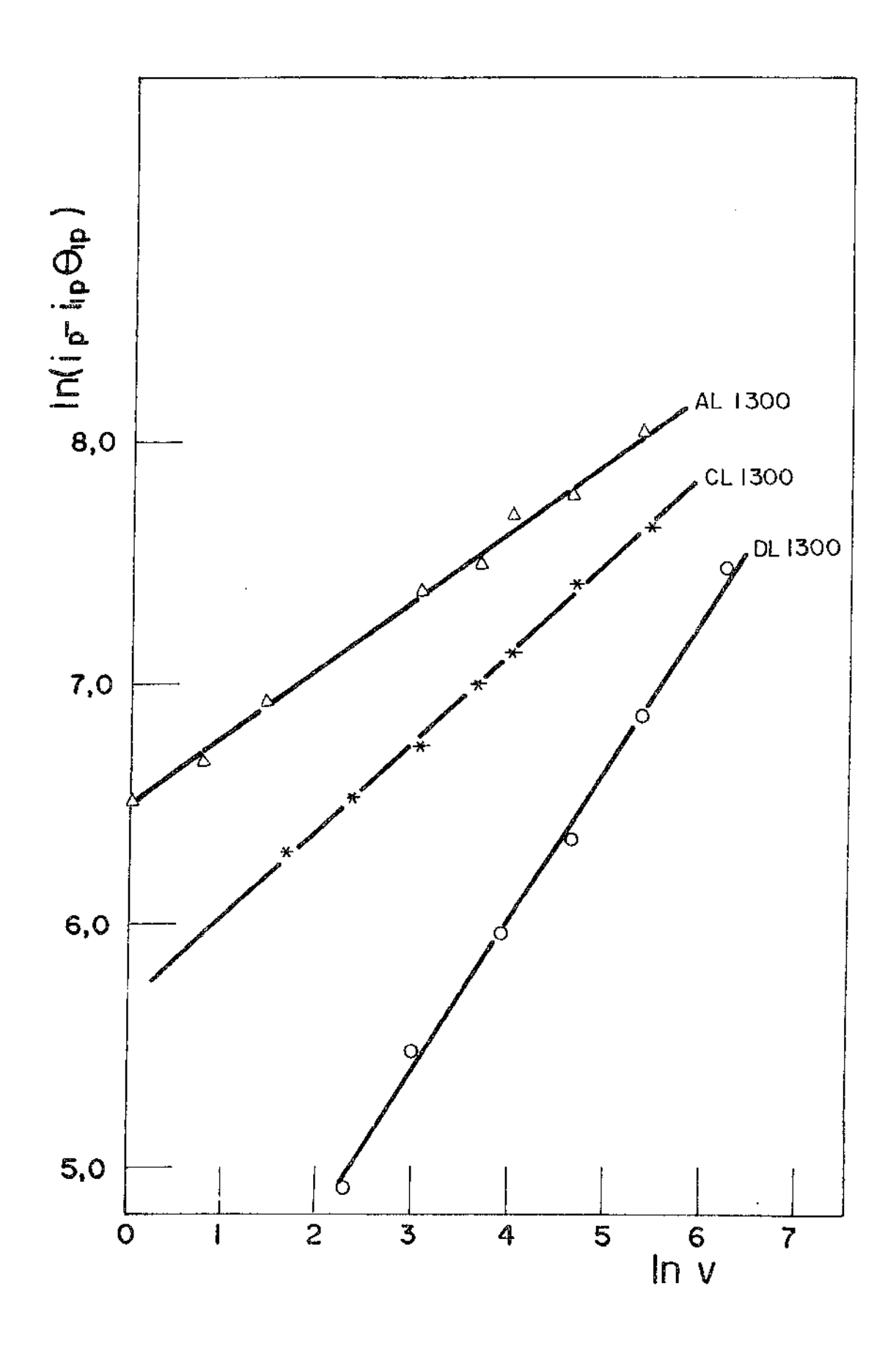


Figura 6.10- Relação $\ln(i_p - i_{1p}\theta_{1p})$ versus $\ln v$.

Tabela VI.	2- Valores	numéricos	para ((1-n),	ilp ⁰ 1p,	к ₁	eα _{M/f}	para	as	\underline{amos}
		300, CL130			•					

Aço	1-n	n	i _{lp} θ _{lp} (μΑ/cm ²)	K ₁	α _{M/f}
AL1300 0,29 0,71 695		7,94×10 ⁻⁶	0,44		
CL1300	0,43	0,57	436	$2,82 \times 10^{-5}$	0,58
DL1300	0,65	0,35	188	$3,16 \times 10^{-4}$	0,67

A Figura 6.11 apresenta o gráfico $E_p \times \ln(i_p - i_1 p^\theta_1 p)$ de acordo com a expressão (6.59), que permite obter o valor de $\alpha_{M/f}$ através das inclinações das curvas e o valor de $i_{M/f}^0$ através da intersecção delas com o eixo das ordenadas. Estes valores estão indicados na Tabela VI.3.

Tabela VI.3- Relação de $\alpha_{M/f}$ e $i_{M/f,2}^{o}$ em função do teor de Nióbio.

Aço	α _{M/f}	i ^o _{M/f,2} (μA/cm ²)
AL1300	0,44	0,504x10 ⁶
CL1300	0,57	0,595×10 ⁶
DL1300	0,68	1,016x10 ⁶

A relação linear apresentada na Figura 6.11, reforça a hipótese de que ϕ_a é uma constante, dado que

$$E_{p} = \frac{1}{\alpha_{M/f}} \ln \left(\frac{i_{p}^{-i} 1 p^{0} 1 p}{e^{-1}} \right) - \frac{1}{\alpha_{M/f} \cdot f} \ln \left(i_{M/f}^{o} \right)$$

e que

$$i_{M/f}^{O} = i_{M/f}^{O'} \exp - \left\{ \alpha_{M/f} f \left[(\phi_a - \phi_s) - A \right] \right\}$$

Considerando agora as expressões (6.45) e (6.50) pode-se escrever que:

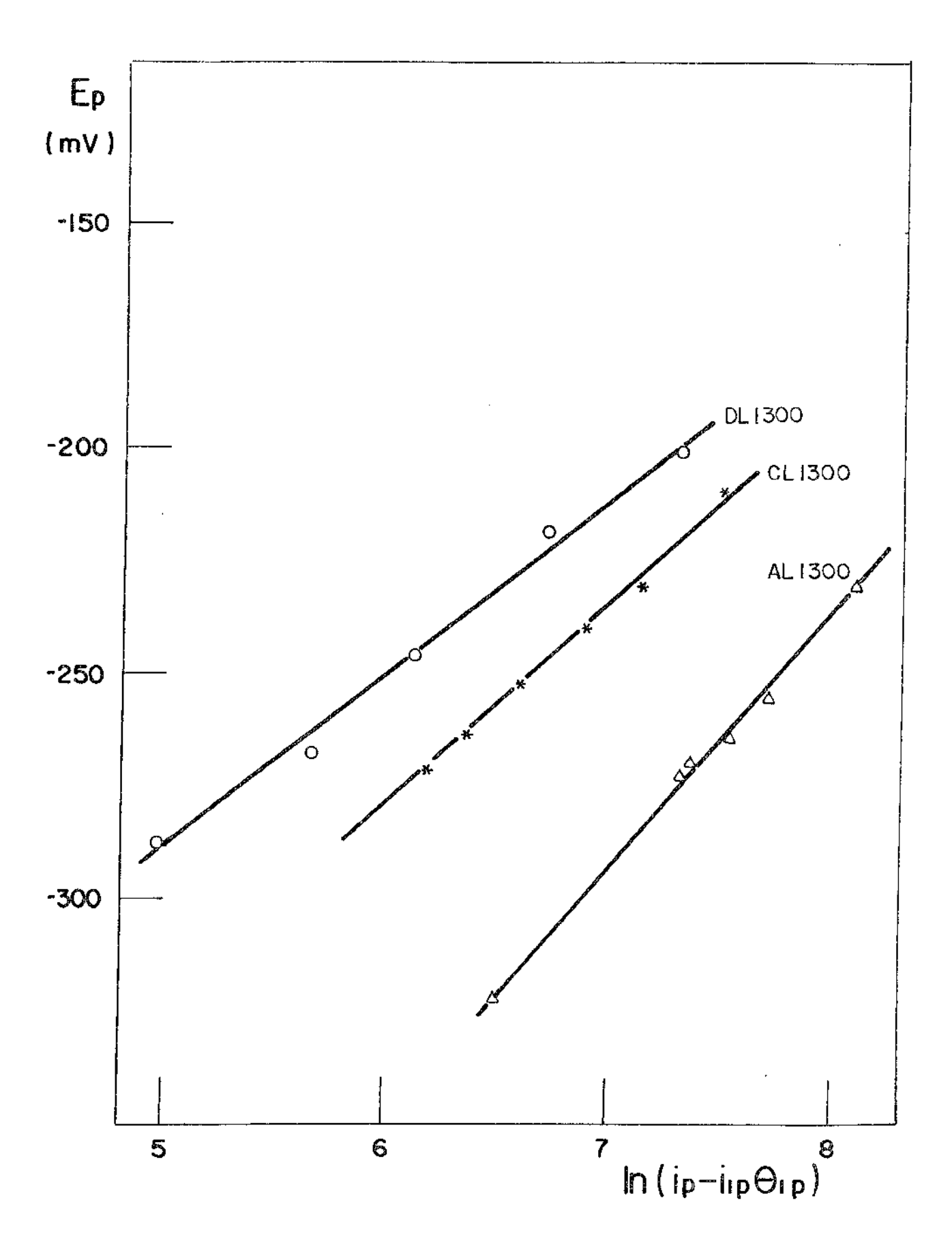


Figura 6.11- Relação E_p versus $ln(i_p-i_{1p}0_{1p})$.

$$(1-\theta_1) = \exp\left(-\frac{i_2}{i_{2p}}\right) = \theta_2 \tag{6.63}$$

Assim sendo, a equação (6.23) nas condições de pico pode ser escrita da seguinte forma:

$$i_p - i_{1p}\theta_{1p} = i_{2p} \exp \left(-\frac{i_2}{i_{2p}}\right) = i_{2p}\theta_{2p}$$
 (6.64)

A expressão (6.64) indica que nas condições de pico, a diferença entre a curva experimental, representada por i_p , e a expressão teórica $i_{2p} \exp\left(-\frac{i_2}{i_{2p}}\right) = i_{2p}\theta_{2p}$ deve ser igual a $i_{1p}\theta_{1p}$, supondo que $i_d = 0$. Nesse caso, o valor de i_{2p} po de ser calculado pela expressão (6.57).

As Figuras 6.12, 6.13 e 6.14 são representações da curva experimental, junto com os gráficos $i_2\theta_2$, i_2 , i_1 e $(i_1\theta_1+i_d)$, calculados a partir dos resultados experimentais, usando o modelo para uma velocidade de varredura de 10 mV/seg enquanto que as Figuras 6.15, 6.16 e 6.17 correspondem à velocidade de 100 mV/seg.

Nas Figuras 6.12 e 6.15, observa-se que para poten ciais mais catódicos do que -350 mV o valor da corrente experimental é menor do que $i_2\theta_2$. Este fato ocorre devido à corrente de hidrogênio não ser desprezível nesses potenciais, de maneira que nessa região a curva real está representada pela linha tracejada, corrigida em função dessa corrente, obtida por extrapolação da reta de Tafel na região de evolução de hidrogênio, a partir da Figura 6.19. Essas retas de Tafel são aparentes e dependem da velocidade de varredura; esta dependência provém do fato que a diferentes velocidades de varredura, para um mesmo potencial, tem-se distintas camadas de óxido.

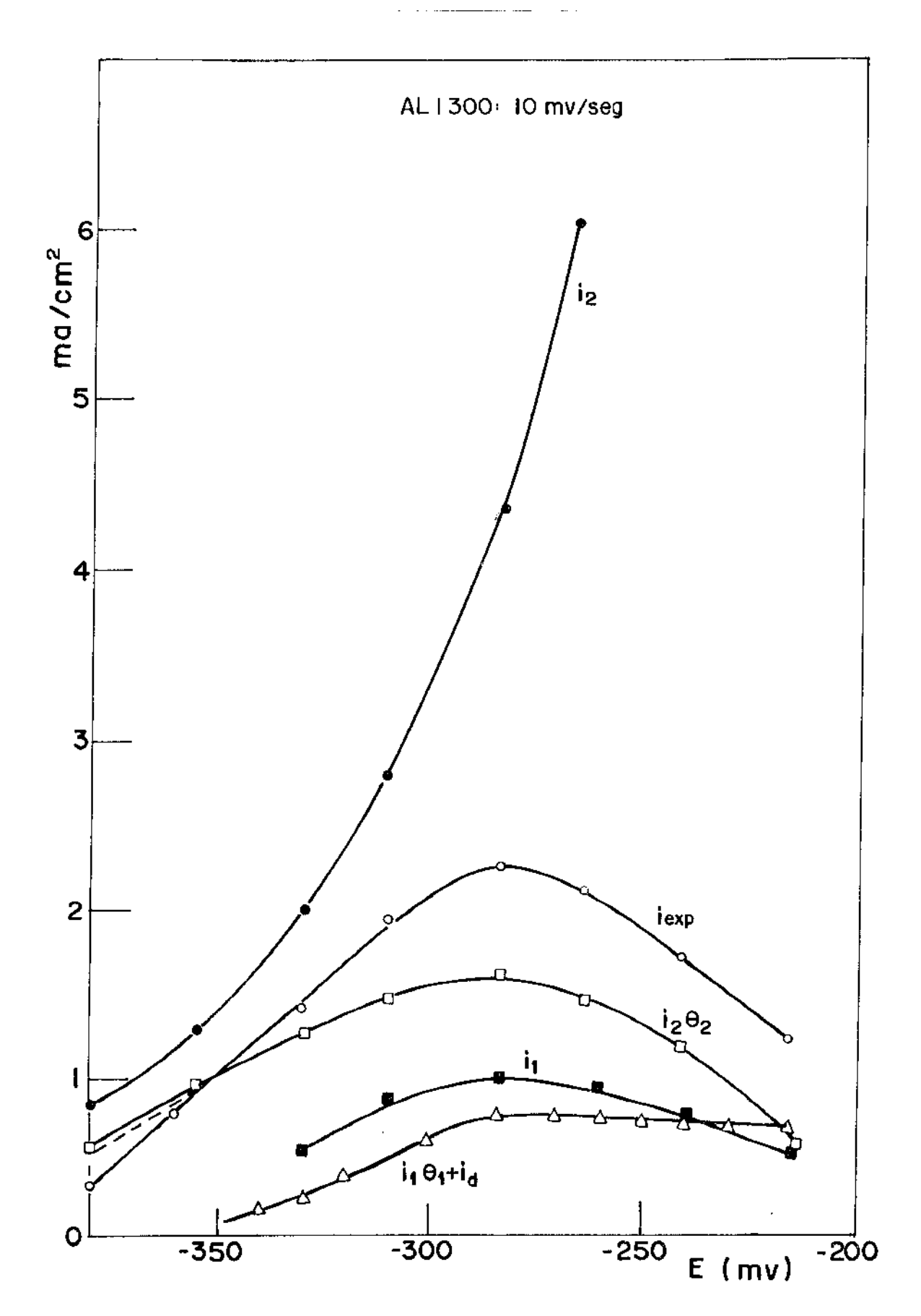


Figura 6.12- Representação da curva experimental e dos valores de i_2 , $i_2\theta_2$, i_1 e $(i_1\theta_1+i_d)$, para AL1300 a velocidade de varredura de 10 mV/seg.

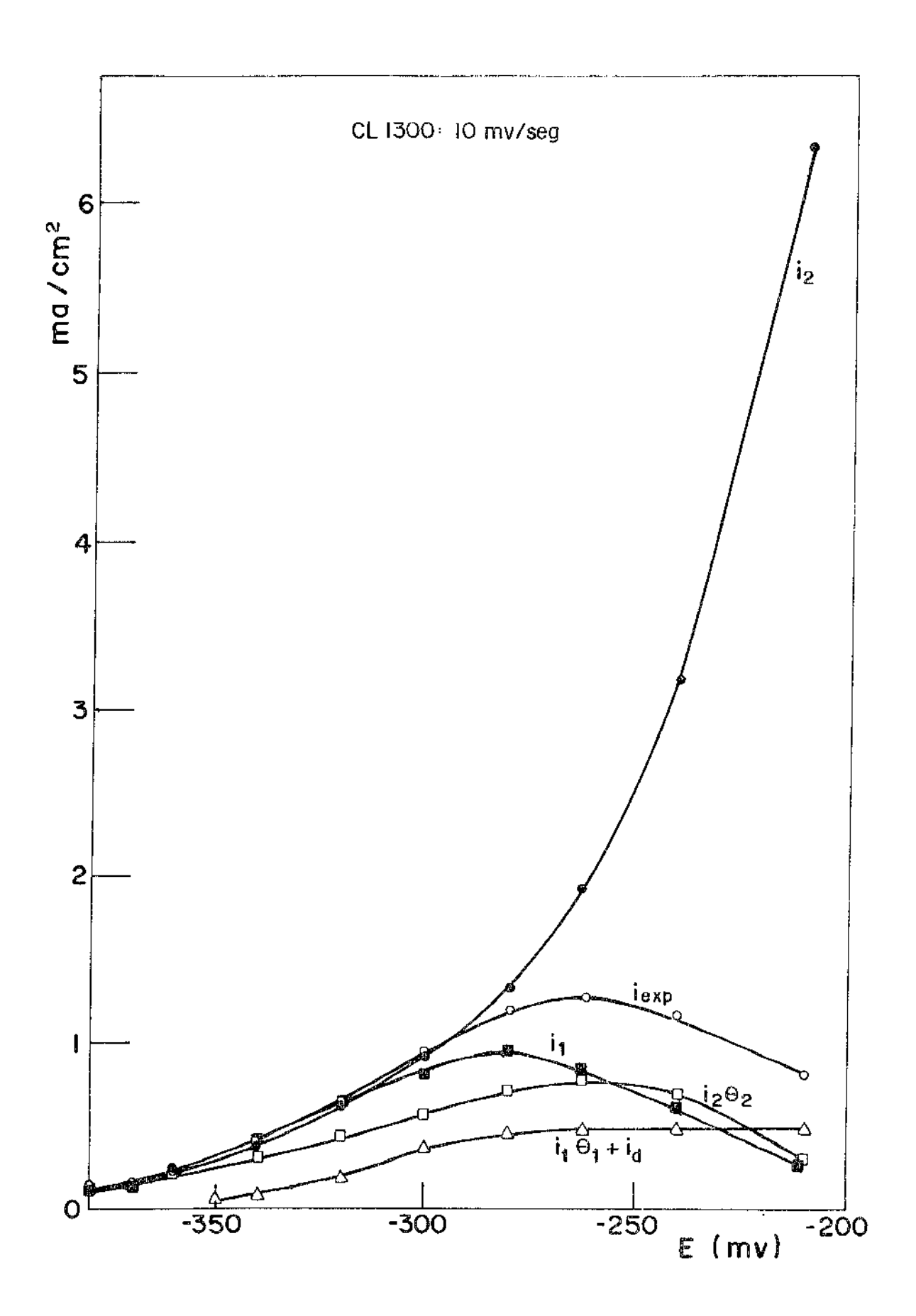


Figura 6.13- Representação da curva experimental e dos valores de i_2 , $i_2\theta_2$, i_1 e $(i_1\theta_1+i_d)$, para CL1300 a velocidade de varredura de 10 mV/seg.

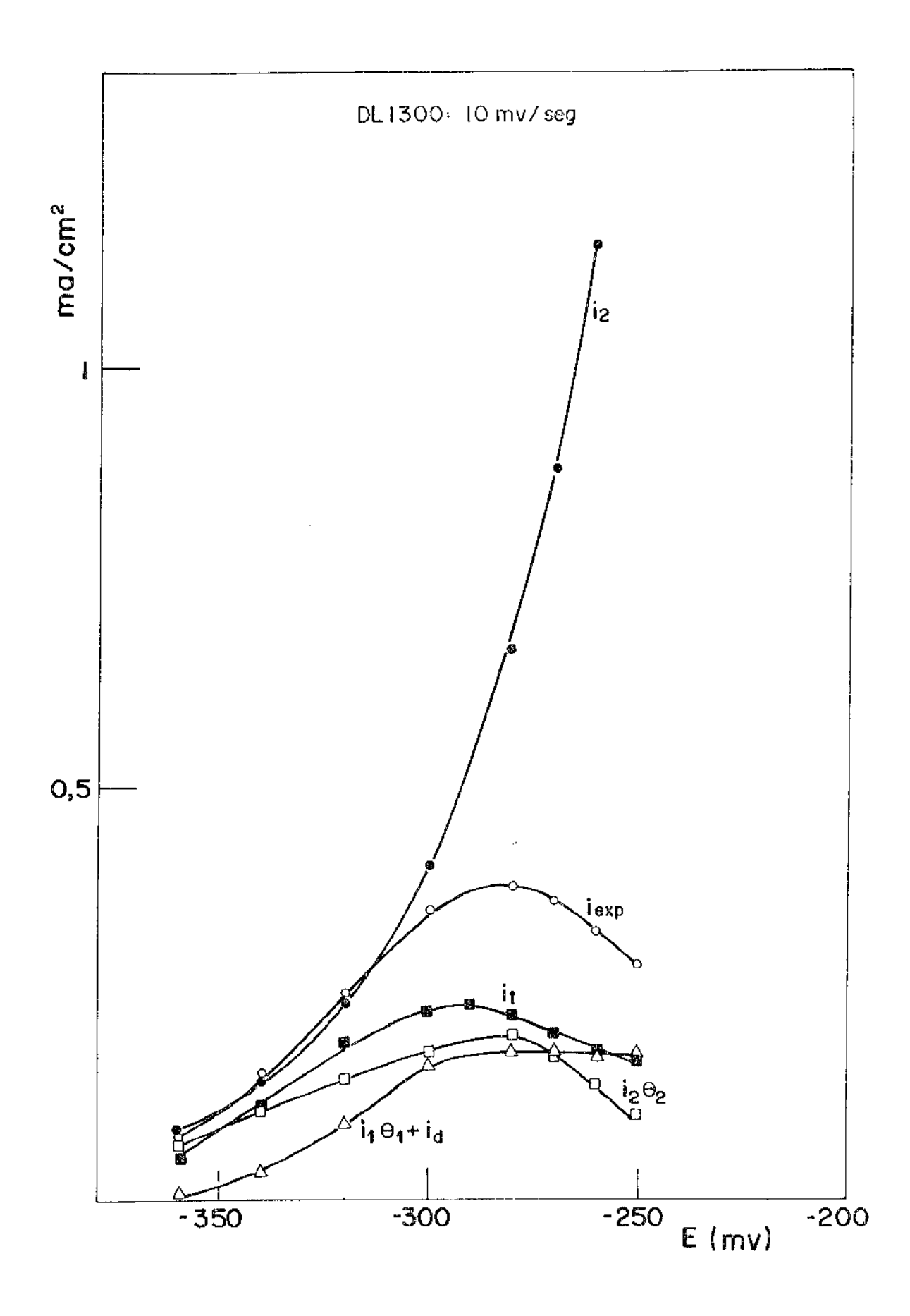


Figura 6.14- Representação da curva experimental e dos valores de i_2 , $i_2\theta_2$, i_1 e $(i_1\theta_1+i_d)$, para DL1300 a velocidade de varredura de 10 mV/seg.

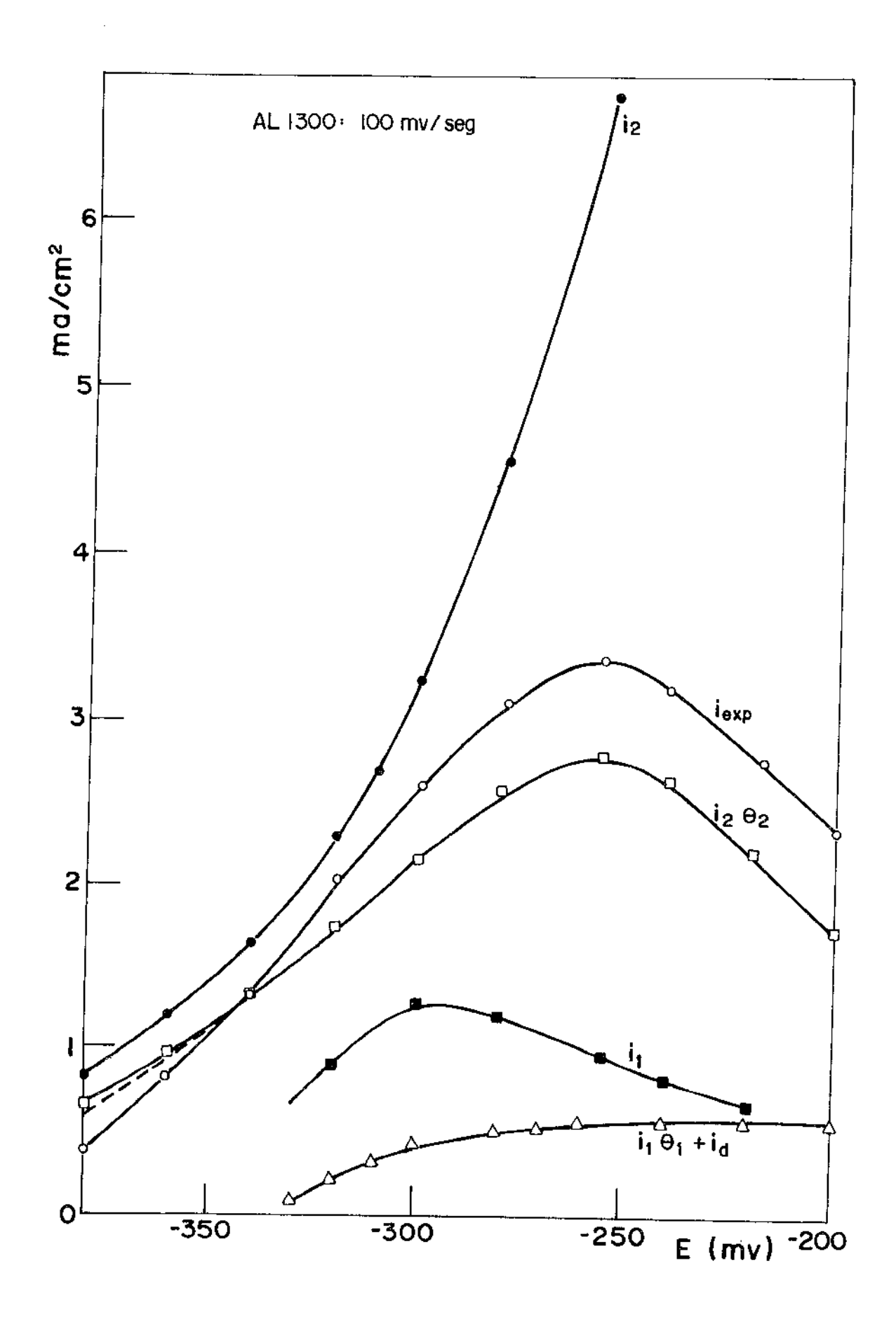


Figura 6.15- Representação da curva experimental e dos valores de i_2 , $i_2\theta_2$, i_1 e $(i_1\theta_1+i_d)$, para AL1300 a velocidade de varredura de 100 mV/seg.

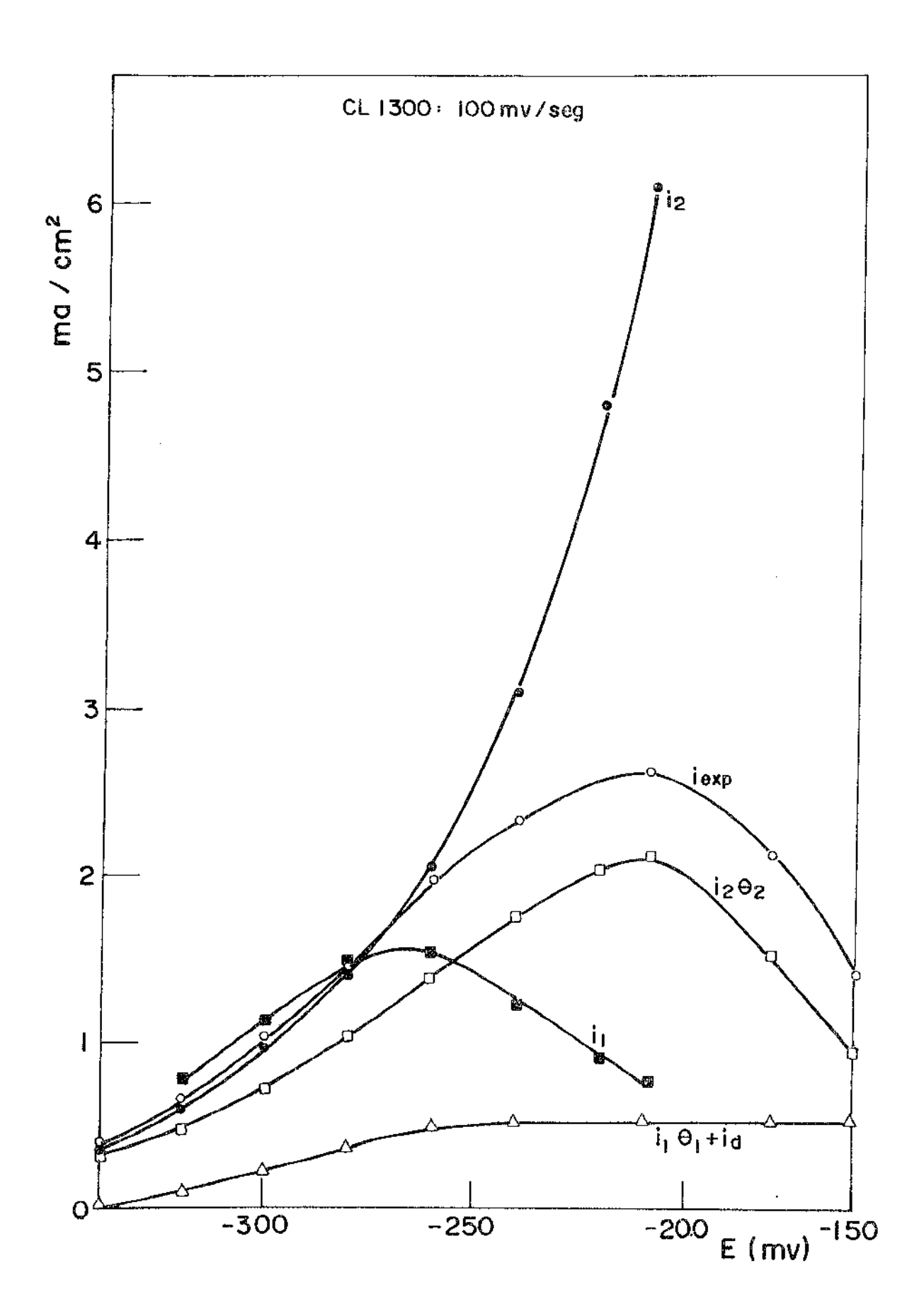


Figura 6.16- Representação da curva experimental e dos valores de i_2 , $i_2\theta_2$, i_1 e $(i_1\theta_1+i_d)$, para CL1300 a velocidade de varredura de 100 mV/seg.

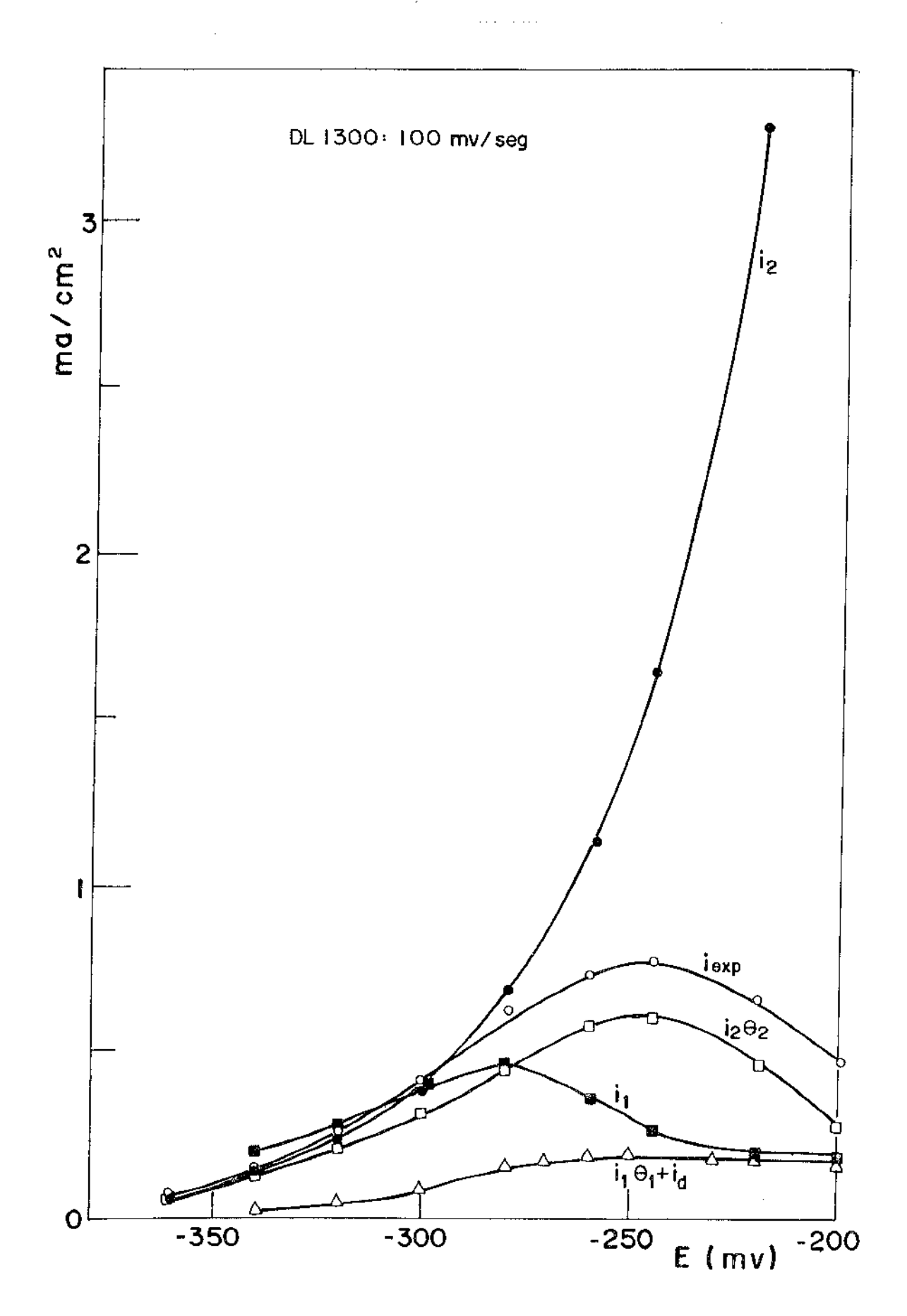


Figura 6.17- Representação da curva experimental e dos valores de i_2 , $i_2\theta_2$, i_1 e $(i_1\theta_1+i_d)$, para DL1300 a velocidade de varredura de 100 mV/seg.

Nas figuras citadas acima, i_2 foi calculado a partir das equações (6.18) e (6.42) enquanto que θ_2 foi obtido da relação (6.45).

O valor de (i θ 1⁺ⁱd) foi obtido considerando-se o caso mais geral da equação (6.23), isto é, admitindo-se que i_d é diferente de zero. Na realidade, para o sistema estudado, a corrente de dissolução do óxido é muito menor do que i₁ e i₂ e portanto pode ser desprezada. Experimentalmente a corrente de dissolução pode ser determinada, considerando-se a corrente dentro da região passiva. Pode-se verificar pela Figura 5.22 que essa corrente é da ordem de 10 μ A/cm² para os diferentes aços, ao passo que as correntes de pico são maio res que 500 μ A/cm². Conhecido o valor de i₁ θ 1, pode-se calcular o valor de i₁, considerando-se que a expressão (6.45) per mite o cálculo de θ 1.

De acordo com a expressão (6.20) i deveria variar de acordo com a linha tracejada da Figura 6.18, no entanto passa por um máximo que depende da velocidade de varredura. Es te comportamento anômalo pode ser entendido, considerando que os parâmetros a e £ podem variar devido à presença de água de hidratação no filme de óxido, a baixos potenciais e tendo em conta que nos filmes finos o campo será muito grande.

A Tabela VI.4 resume a diferença entre as curvas teórica e experimental nas condições de pico para as duas velocidades de varredura citadas anteriormente.

Os resultados da Tabela VI.4 indicam que o termo $i_{1p}\theta_{1p}$ não é função da velocidade de varredura. Isto ocorre porque no potencial de pico, a expressão $\frac{\phi_a^{-\phi}b}{\ell_p}$ é constante nas áreas A_1 de acordo com a relação (6.55).

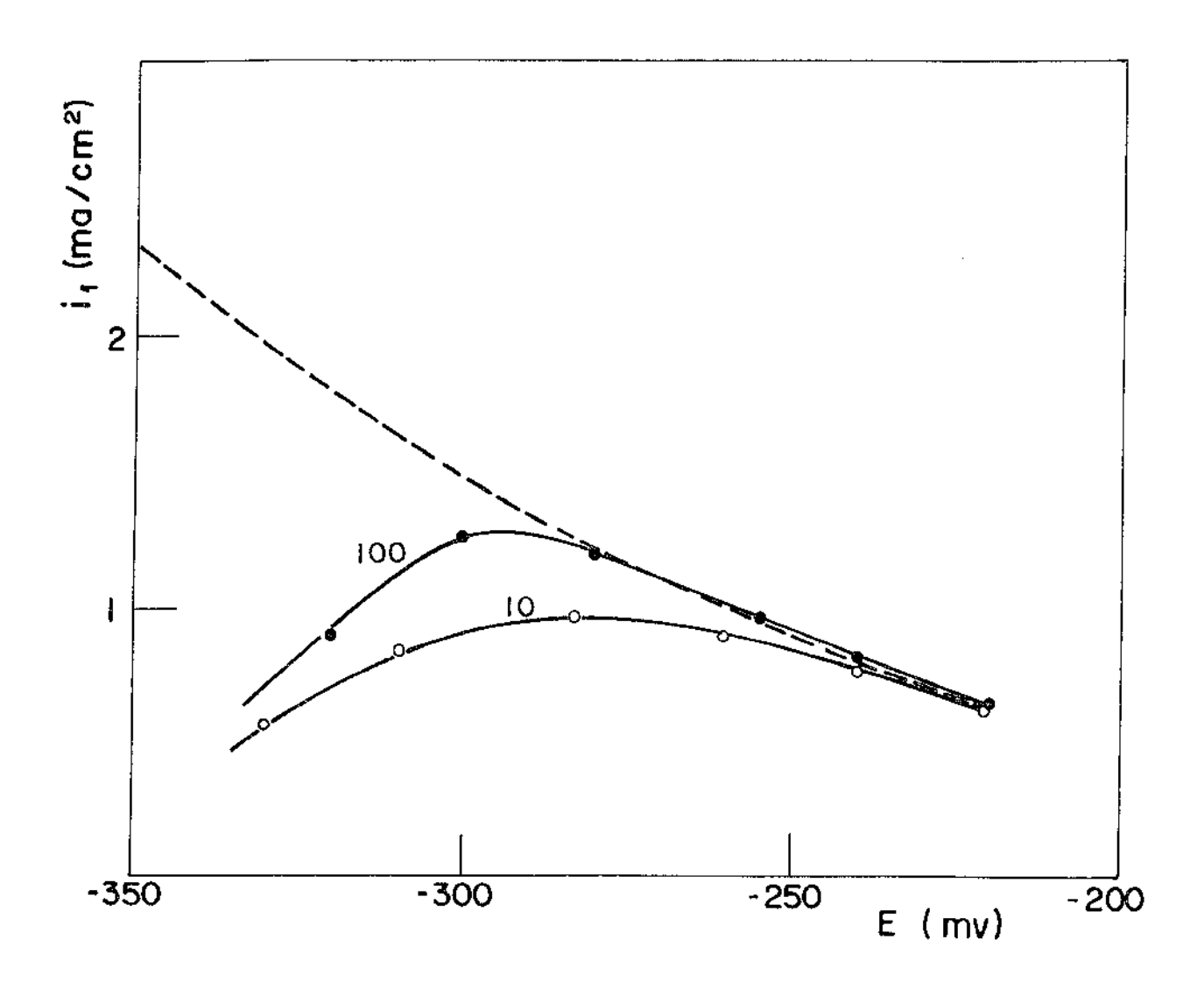


Figura 6.18- Variação de i_1 com a velocidade de varredura para Λ L1300.

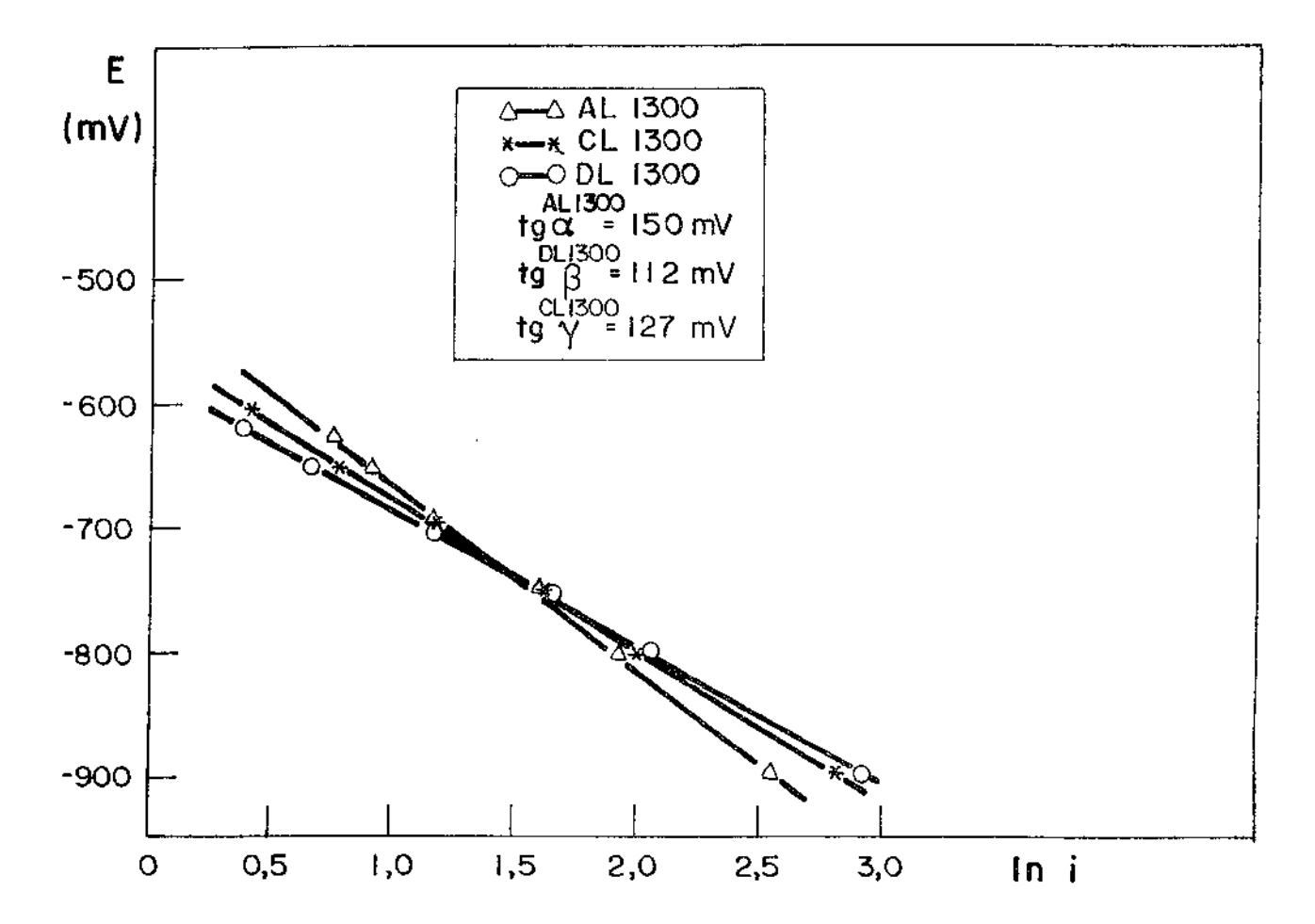


Figura 6.19- Reta de Tafel da reação de evolução de hidrogênio para os di ferentes aços. Velocidade de varredura igual a 10 mV/s.

Aço	i _{lp} para v = 10 mV/seg	$i_{1p}^{\theta} i_{p}^{para}$ $v = 100 \text{ mV/seg}$
A11300	625 μA/cm ²	615 μA/cm ²
CL1300	$475 \mu \text{A/cm}^2$	485 μA/cm ²
DL1300	$175 \mu \text{A/cm}^2$	$175 \mu\text{A/cm}^2$

Tabela VI.4- Valores de $i_{1p}^{\ \theta}_{1p}$ para diferentes velocidades de varredura.

6.5- Analise Qualitativa do Pico a 2

A partir do início do pico a_2 , ocorre um ataque $s\underline{e}$ letivo da ferrita δ contida nos aços CL1300 e DL1300 cuja $i\underline{n}$ tensidade aumenta com o potencial (para uma mesma v) dentro da região ativa do pico a_2 . Da mesma forma, na voltametria, no aço AL1300 ocorre uma revelação de grãos que ocorre também em CL1300 e DL1300, nos contornos de grão austenita-austenita. Estes dois fenômenos estão indicados nas fotografias da Figura 6.20.

O ataque seletivo da ferrita δ (observado por mi croscopia ótica) depende do tempo de exposição aos potenciais do pico a₂. Este ataque não é observado para velocidades de varredura maiores que 100 mV/seq.

O ataque seletivo da ferrita δ nos aços DL1300 e CL1300 e o revelado de grão no aço AL1300, não são caracter<u>i</u> zados por uma natureza autocatalítica, visto que em medidas ponto a ponto a corrente atinge valores estacionários, embora apareça um pico na relação i x E.

Como indicado nas Figuras 5.34 e 5.35 para os aços que contém ferrita delta a relação i versus v passa por um mínimo, enquanto que para o aço AL1300 i aumenta continuamente

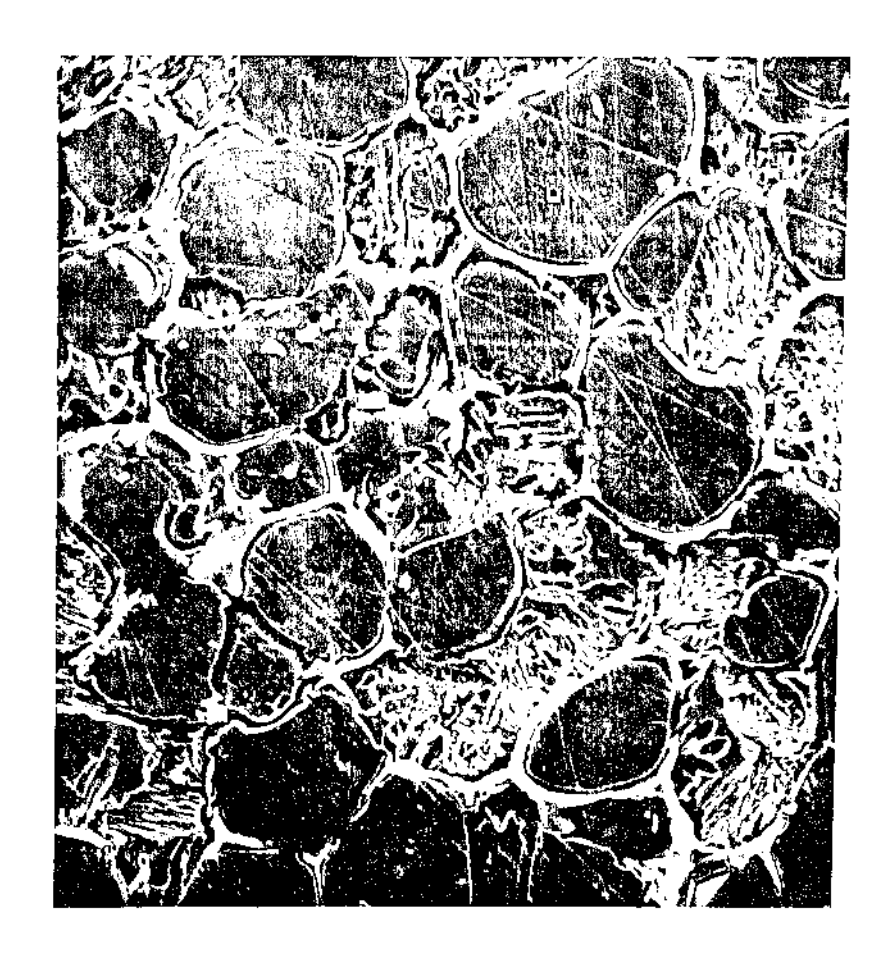




Figura 6.20- Ataque da ferrita delta na amostra DL1300 e revelação de grão na amostra AL1300.

com esta variável a partir de 20 mV/seg, não passando por um valor mínimo.

O fenômeno de mínimo está relacionado com a ferrita delta uma vez que ocorre um aumento da rugosidade devido ao ataque seletivo, que é tanto maior quanto menor for a velocidade de varredura, resultando num aumento da verdadeira área de reação.

A revelação de contorno de grão na amostra AL1300 implica em uma pequena corrente que não se manifesta na relação de corrente de pico versus velocidade de varredura, como pode ser observado através do fato de i ser constante para baixas velocidades de varredura.

As curvas apresentadas nas Figuras 6.21 indicam que as transformações que ocorrem no filme superficial são dependentes do potencial e da velocidade de varredura.

Para velocidades de varredura baixas, entre 2 e 20 mV/seg, a velocidade da reação de formação do óxido é maior do que a velocidade de varredura, permitindo uma acomodação do óxido com o potencial e por isso a corrente não depende da velocidade de varredura (Figura 6.19 - tracejada). A medida que o potencial se aproxima do seu valor de pico, produz-se uma transformação no filme de passivação que obriga a dissolução transpassiva a passar por um máximo. Nesta transformação o filme é tanto mais passivo quanto mais acima do potencial de pico estiver o potencial.

Quando a velocidade de varredura anódica é maior do que 20 mV/seg (curva continua da Figura 6.21), o pico aumenta porque a velocidade de transformação do filme é mais lenta do que a velocidade de varredura, o que provoca uma defasagem em relação à transformação dando correntes maiores.

Analogamente, pode-se entender a diminuição da corrente na varredura catódica, uma vez que o filme, nestes casos (v > 20 mV/seg), é mais passivo que aquele de baixas velocidades de varredura, provocando assim uma redução na corrente.

Este fato pode ser comprovado experimentalmente da do que, se a varredura anódica a altas velocidades, é interrompida num potencial (potencial E_a , na Figura 6.21), a corrente diminui para o mesmo valor correspondente a varreduras de baixas velocidades. Quando a varredura é reiniciada a corrente tende a tomar os valores da varredura correspondente. O mesmo fenômeno ocorre na varredura catódica, com a corrente aumentando a um nível idêntico âquele da varredura de baixas velocidades, quando interrompida a varredura num dado potencial (potencial E_c na Figura 6.21).

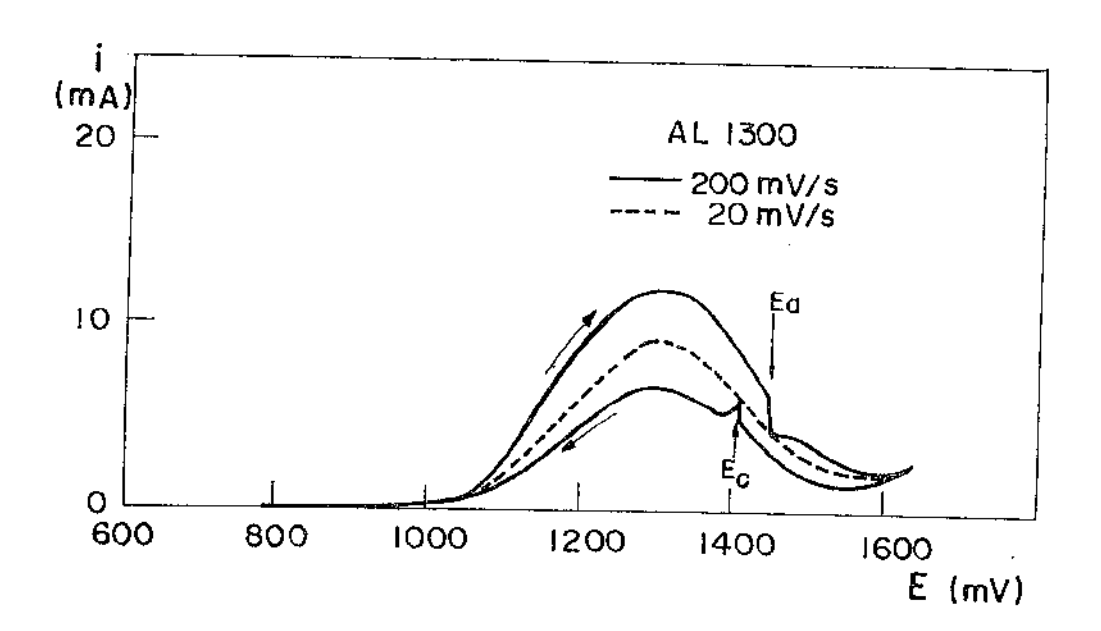


Figura 6.21- Efeito da velocidade e da interrupção da varredura na corrente do pico a₂, para o aço AL1300.

Essa análise é evidente para o aço AL1300. Nos aços contendo Nióbio, ela se torna mais complexa devido ao ataque seletivo da ferrita δ . No entanto, dado que também nas amos tras com Nióbio ocorre o aparecimento do pico na varredura ca tódica, a análise deverá ser semelhante.

Para o aço AL1300 ocorre uma corrosão generalizada na região da $I^{\underline{a}}$ transpassividade dando lugar a uma relação de Tafel como indicado na Figura 6.22, com uma tg α igual a 110 mV, para velocidades de varreduras menores ou iguais a 20 mV/seg (correntes independentes da velocidade de varredura).

Considerando-se então uma corrosão generalizada no início do pico a₂, em condições de dissolução estacionária, o aço deverá dissolver-se de acordo com sua composição. Este fato pode ser observado através dos ensaios de perda de massa, realizados a potencial constante dentro da região de transpas sividade, cujos resultados estão indicados nas Figuras 6.23, 6.24 e 6.25 e resumidos na Tabela VI.5.

Tabela VI.5- Dissolução do aço AL1300 a diferentes potenciais. Análise por espectrometria de absorção atômica.

Metal _	% no Aço	$1^{\frac{a}{2}}$ Transpassividade E = 1120 mV		3 ^{<u>a</u>} Transpassiv. E = 1720 mV
Fe	70%	69%	69%	73%
Cr	18,5%	20%	19%	13%
Ní	11%	10,5%	11%	13%

O envelhecimento eletroquímico na região do pico a₂, gera óxidos superficiais relativamente espessos, possíveis de serem observados através de microscopia ótica, como indicado nas Figuras 6.26, 6.27 e 6.28. Como pode ser observado, o crescimento desses óxidos ocorre de forma globular, às vezes

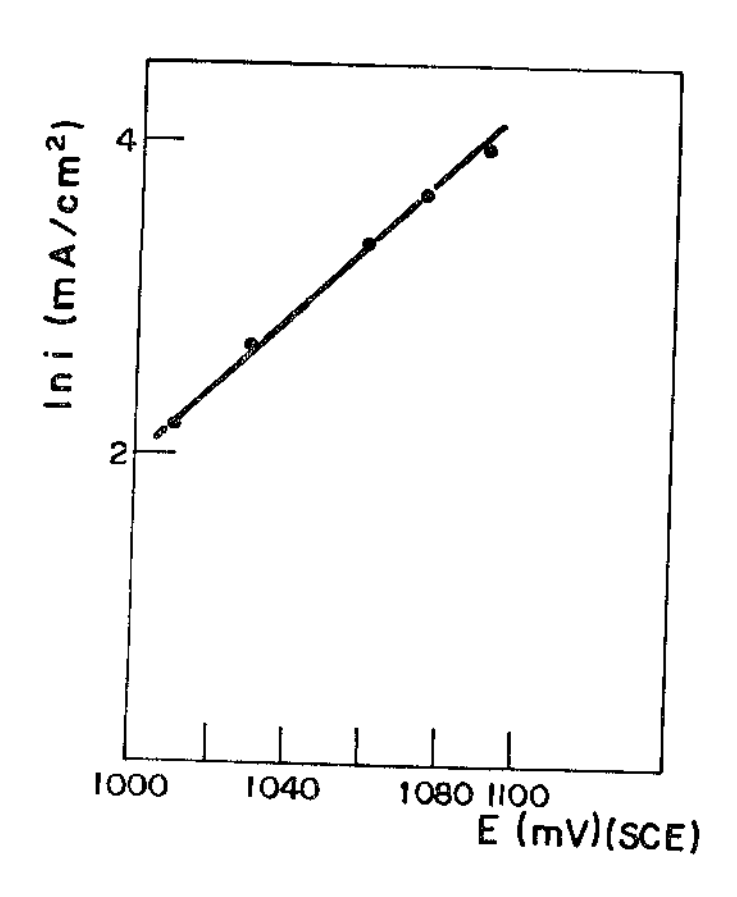


Figura 6.22- Relação ℓ n i versus E no início da $1^{\underline{a}}$ transpassividade para AL1300 e velocidades de varredura menores ou iguais a 20 mV/s.

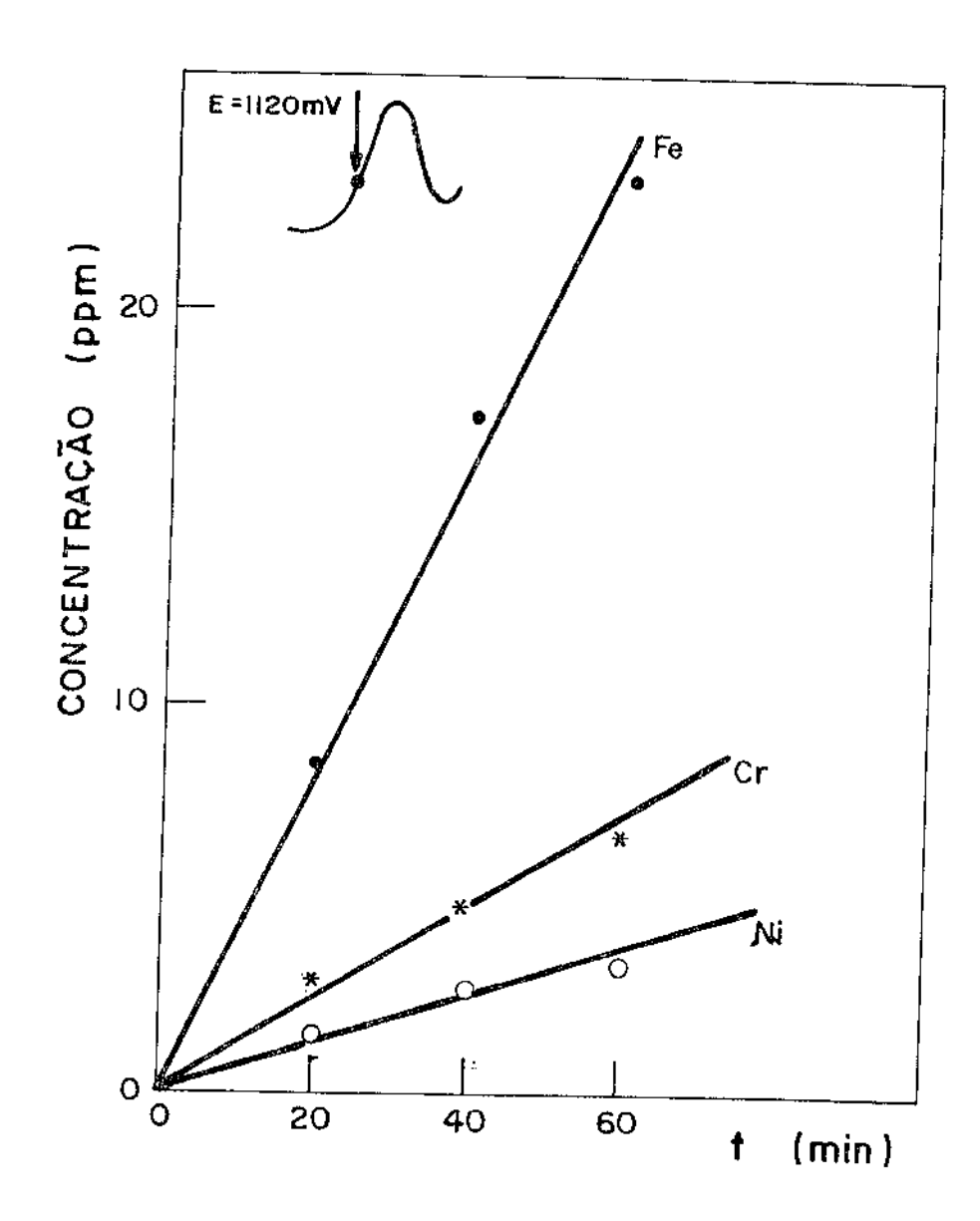


Figura 6.23- Concentração de Ferro, Cromo e Níquel em função do tempo num ensaio de perda de massa da amostra AL1300, realizado a um potencial de +1120 mV, dentro da região da l^a transpassivida de.

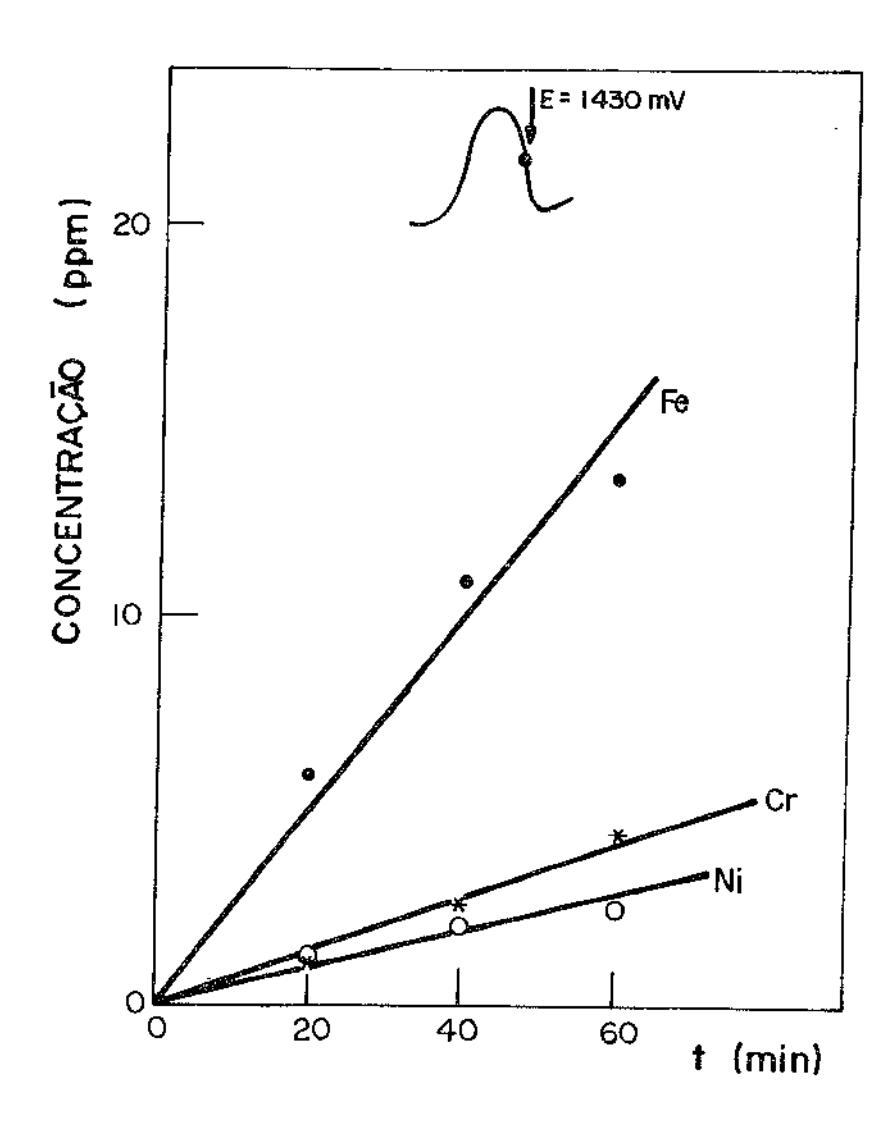


Figura 6.24- Concentração de Ferro, Cromo e Níquel em função do tempo num ensaio de perda de massa realizado a um potencial de +1430 mV, dentro da região da 2ª passividade.

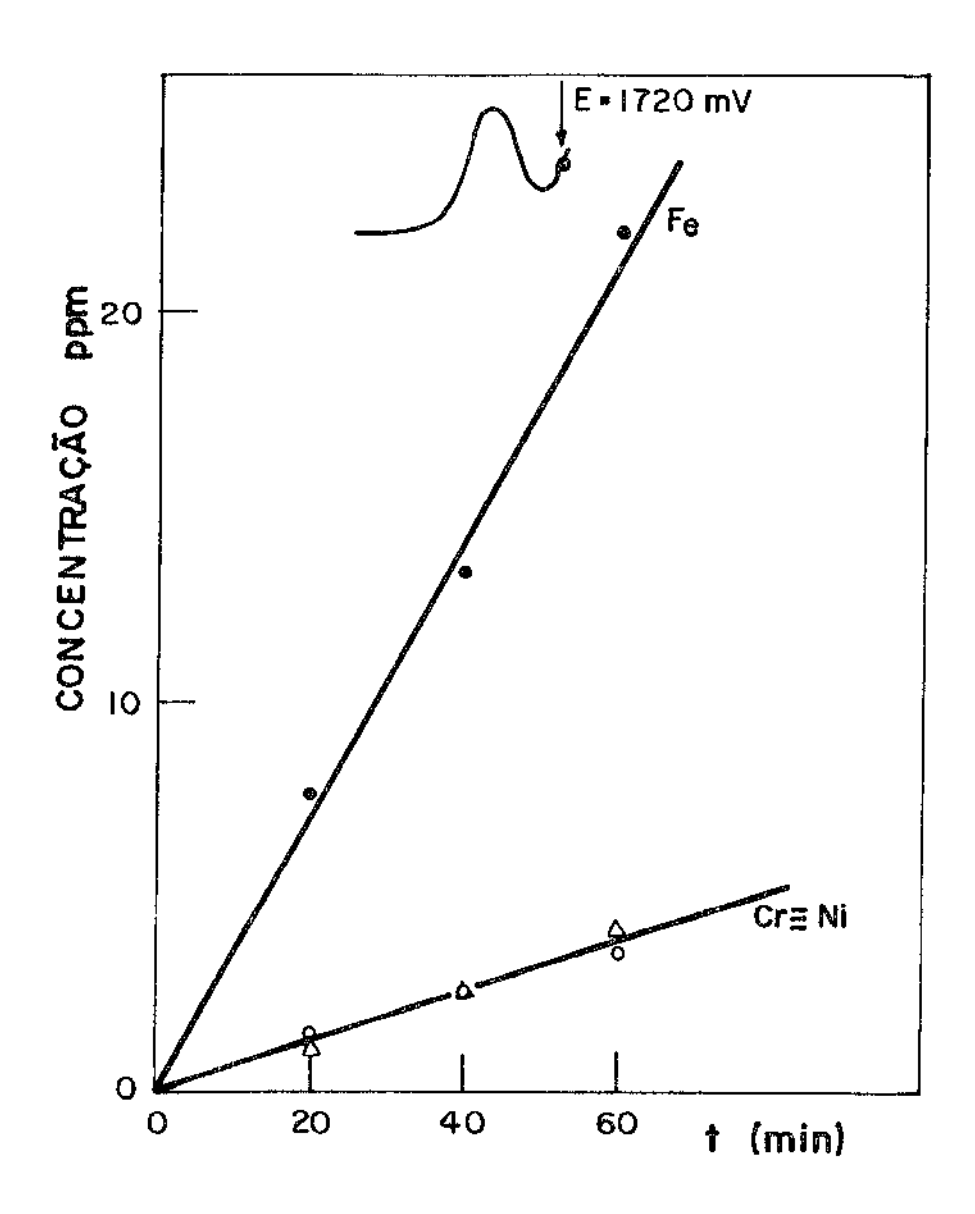


Figura 6.25- Concentração de Ferro, Cromo e Niquel em função do tempo num ensaio de perda de massa realizado a um potencial de +1720 mV, dentro da região de 2ª transpassividade.

condensados como se fossem o resultado de um crescimento difu sional tridimensional.

Dessa forma, observa-se que somente o início da transpassividade pode ser explicado pela teoria de Sato (61), teo ria esta que justifica o efeito do Nióbio nesses aços. No en tanto, a formação de filmes de óxidos globulares durante o en velhecimento, discorda dessa teoria que prevê uma redução da espessura do óxido na zona de transpassividade. Isto mostra que se a teoria de Sato explica bem o início da transpassividade, não explica a transpassividade em si. Pode-se conside rar que numa primeira etapa ocorra a redução na espessura do óxido, o que dá condições de um aumento na densidade de cor rente, dando lugar a um filme de maior espessura de forma glo bular, conjuntamente com um processo de dissolução do óxido.

O crescimento de um filme de óxido globular, simultaneamente à manutenção de uma elevada densidade de corrente pode ocorrer, supondo-se que este filme de óxido globular se ja altamente defeituoso de vacâncias catiônicas e aniônicas.

A 2ª passividade seria o resultado de que, dado o aumento do potencial e portanto da corrente de transpassiva ção, atinge-se uma situação em que os defeitos presentes come çam a decrescer em número, provocando uma diminuição da corrente. Para uma possível interpretação deste resultado, pode-se salientar que os defeitos apresentam carga, e que existe um grande campo, associado a elevados potenciais anódicos. Sob a ação desse campo, os defeitos tendem a coalescer, formando vazios, que já foram observados no crescimento de óxidos em altas temperaturas (96).

Na região de evolução de oxigênio, o eletrodo é ata cado localmente em forma de pitting, trazendo um novo aumento na corrente de dissolução.

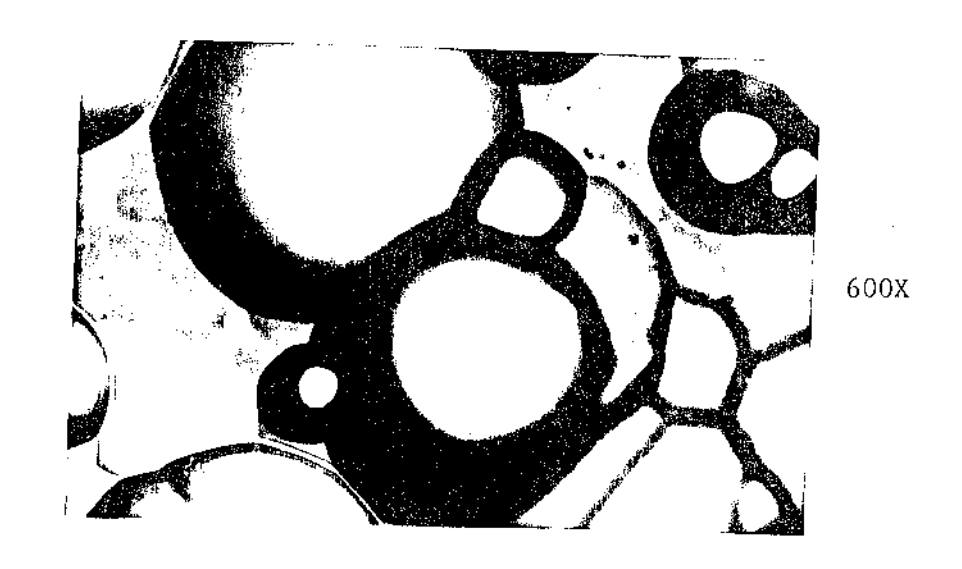
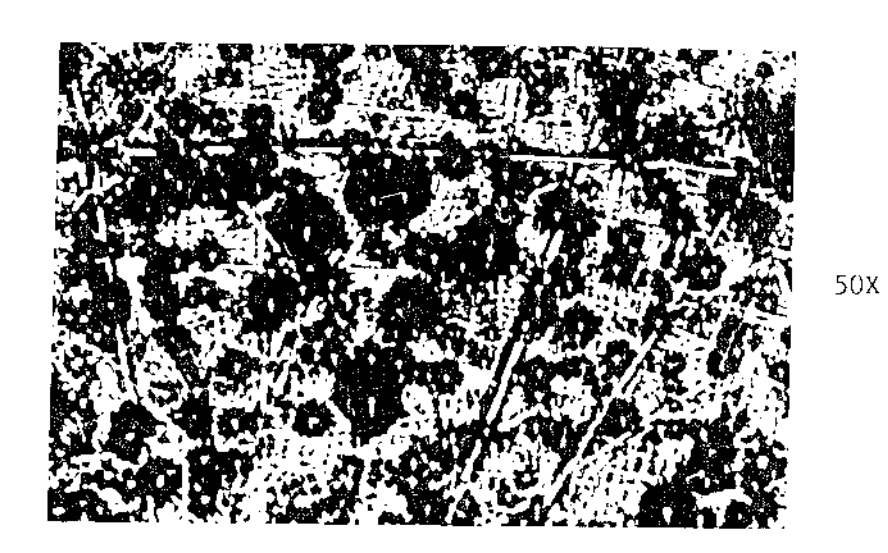
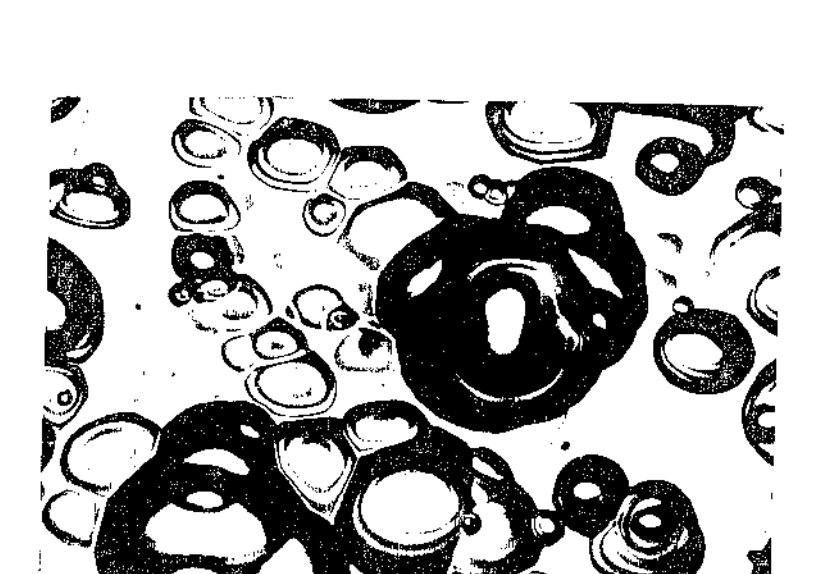




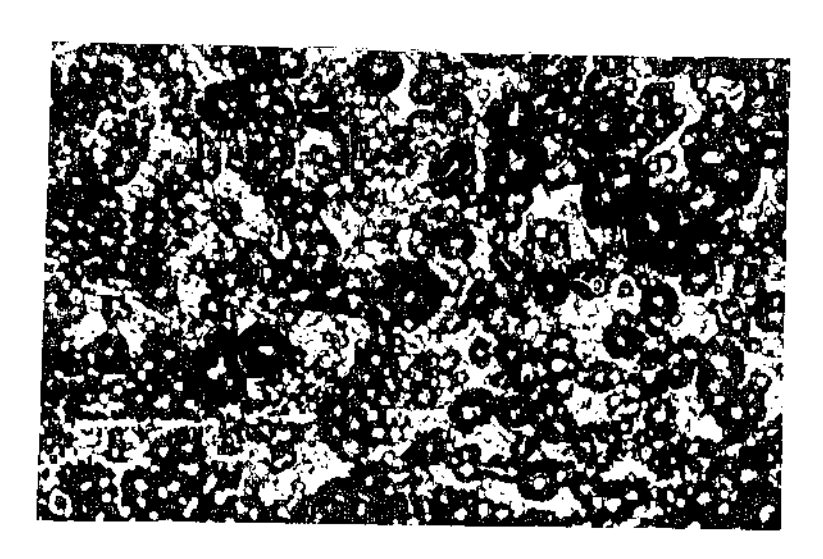
Figura 6.26- Óxidos superficiais formados por envelhecimento eletroquími co dentro da região da $1^{\underline{a}}$ transpassividade (E = 1120 mV).



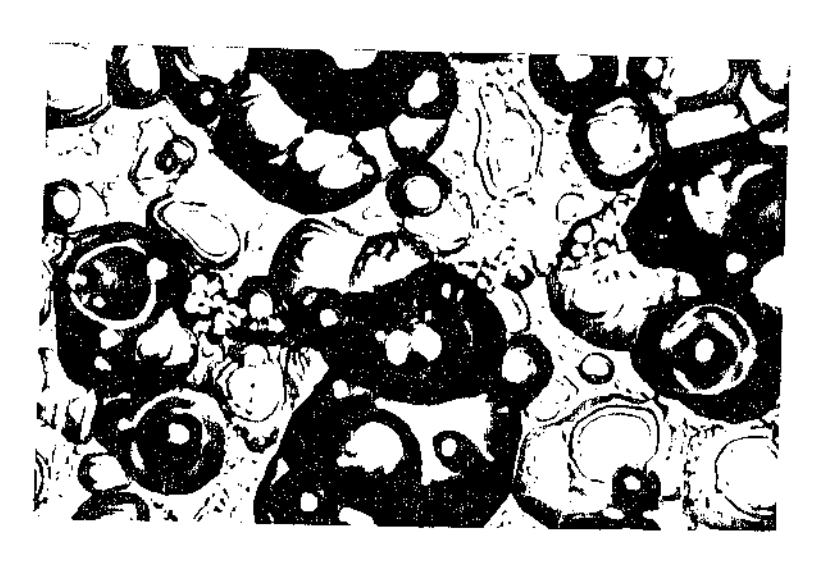


400X

Figura 6.27- Óxidos superficiais formados por envelhecimento eletroquími co dentro da região da $2^{\underline{a}}$ passividade (E = 1430 mV).



50x



400X

Figura 6.28- $\overline{0}$ xidos superficiais formados por envelhecimento eletroquimi co dentro da região da $2^{\frac{a}{2}}$ transpassividade (E = 1720 mV).

6.6- Discussão Qualitativa dos Picos da Varredura Catódica

A Figura 5.27 indica que o pico c_2 aparece somente quando o potencial anódico máximo atingido está compreendido na região da transformação a_2^i . A Figura 6.29 mostra que a_2^i efetivamente é uma transformação prévia à transpassividade porque produz uma mudança de variação de qc_2 com E_{max} (linhas tracejadas na Figura 6.25) e que a_2^i facilita a redução do filme do pico c_1 . Embora a transformação a_2^i só se apresente v_2^i sível nas medidas ponto a ponto, também ocorre em DL1300, ain da que inibida pela presença de Nióbio, pois também promove uma mudança na variação de qc_2 com E_{max} como no caso anterior.

Observa-se que nas voltametrias em ${\rm H_2SO_4}$ - 2N o pico ${\rm c_1}$ não aparece. Este pico é visível somente quando a varredu ra catódica é realizada em meios onde a evolução de hidrogê nio ocorre a potenciais mais catódicos, como por exemplo, ${\rm Na_2CO_3}$ 0,2 M, de acordo com o indicado nas Figuras 5.25 e 5.26, após a varredura anódica em ${\rm H_2SO_4}$ - 2N. Essas figuras indicam também que os picos ${\rm c_1}$ e ${\rm c_2}$ dependem do teor de Nióbio e do envelhecimento eletroquímico.

Na Figura 5.27 verifica-se uma reativação (que aparece como corrente anódica) quando o potencial máximo atingido é menor do que o potencial de completa passivação. Para os casos analisados essa reativação é tanto menor quanto mais próximo do potencial de completa passivação estiver o potencial máximo. O pico de reativação é menor nas amostras contendo Nióbio.

Este pico de reativação é de difícil interpretação. Ogura e Sato (43) identificaram essa reativação em eletrodos de Ferro e atribuiram a uma dissolução do metal base através do óxido.

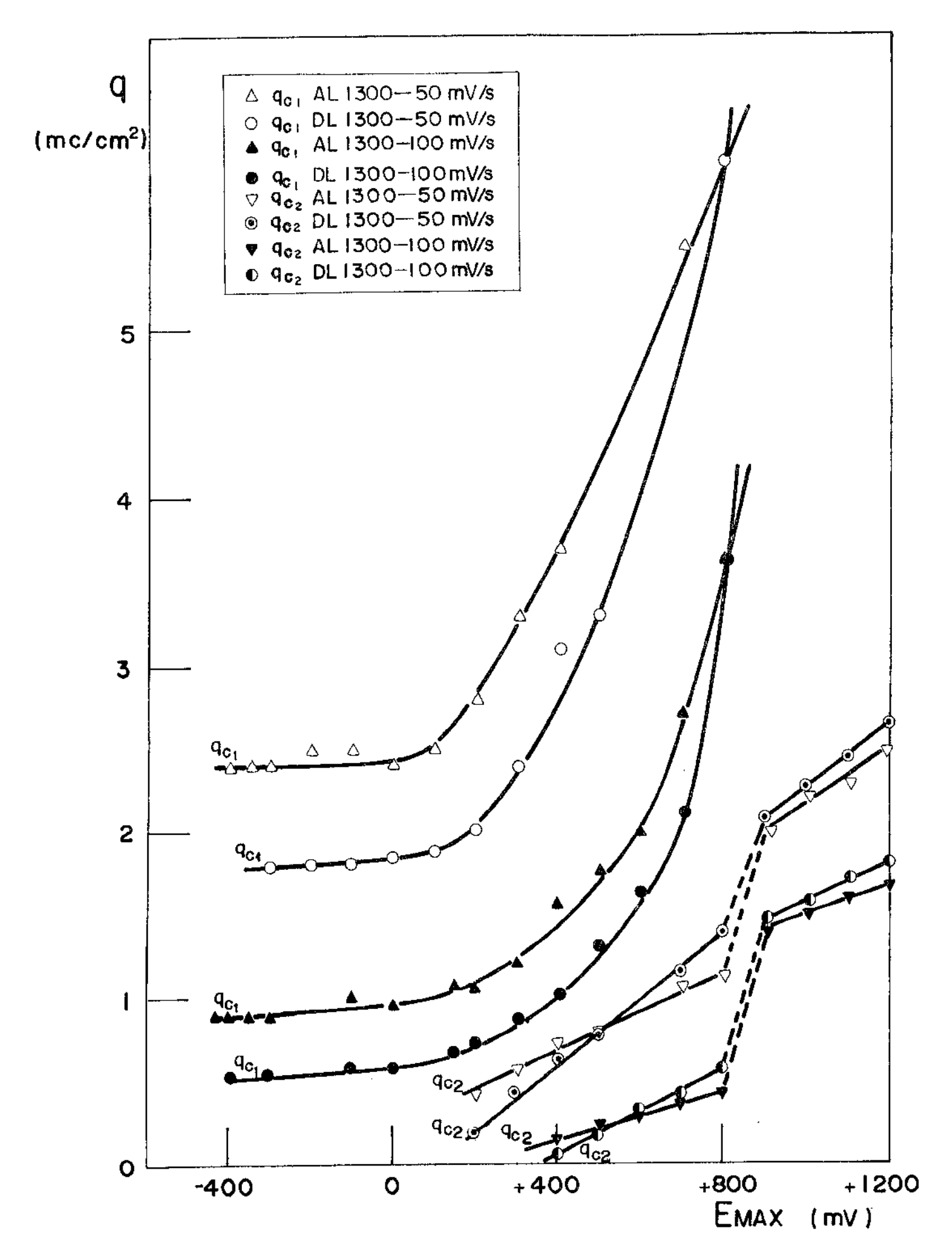


Figura 6.29- Carga do pico c_1 (q_{c_1}) e carga do pico c_2 (q_{c_2}) versus E_{\max} .

Uma análise da carga envolvida na formação do filme de óxido no pico a_1 , comparada com as cargas relativas aos picos c_1 e c_2 indica que somente uma parcela do óxido formado em a_1 é reduzida.

Para que se produza a redução do filme, deve ocor rer uma redução dos ions metalicos na interface metal-filme de acordo com uma reação do tipo

$$M^{Z+}(\tilde{o}xido) + ze(metal) - M_{(metal)}$$
 (6.65)

sendo que essa reação libera ions 0 que deverão migrar em direção à interface filme-solução. Esses dois processos ocor rerão se houver a geração de um sobrepotencial correspondente. Segundo Vetter (38) a distribuição do potencial através do filme pode ser representada de acordo com a Figura 6.30.

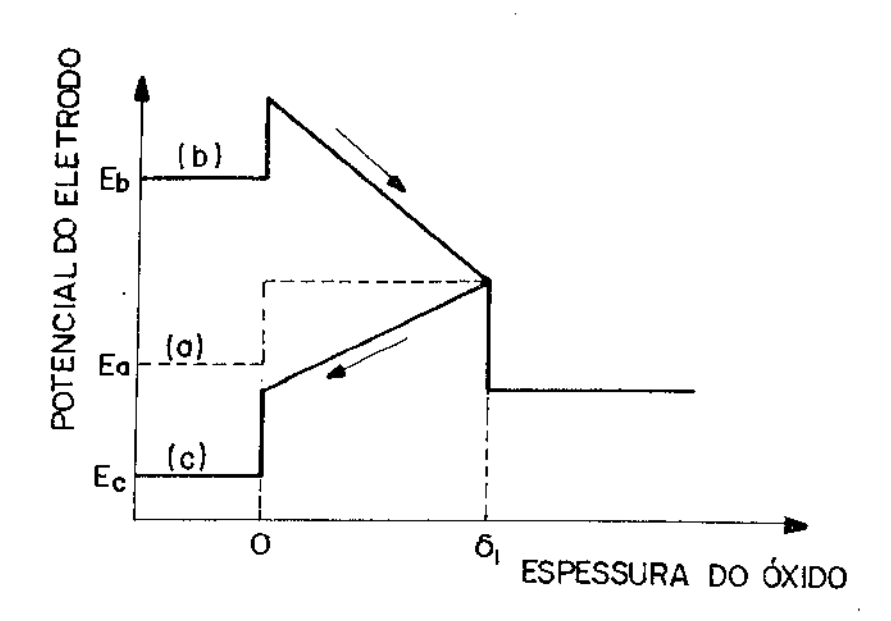


Figura 6.30- Diagrama esquemático do comportamento do potencial através do filme passivo (38).

- (a) Potencial de Flade: i = 0.
- (b) Potencial maior do que potencial de Flade: i=i corrosão.
- (c) Potencial menor do que potencial de Flade: i=i redução.

Durante a redução, representada pela situação (c) na Figura 6.30, a variação de potencial interno na interface metal-filme e no filme, com relação a seus valores no potencial de Flade (Figura 6.30 a), definem os sobrepotenciais dos processos de corrosão ou de redução. Supõe-se neste caso, reversibilidade ou equilíbrio na interface filme-solução.

pode-se entender uma redução parcial do filme de óxido, considerando-se que durante a aplicação de um potencial cada vez mais catódico, que possibilite a redução do filme, gera-se na interface metal-filme uma distribuição de cargas, de maneira que as cargas negativas ficam do lado do metal. Como conseqüência, ocorre um entortamento da banda de condução e de valência que dada a espessura do óxido pode-se considerar linear. Segundo Sato, esses dois fenômenos fazem com que o óxido na superfície da interface filme/solução se transforme num semicondutor degenerado, como indicado na Figura 6.31(a).

Dessa forma, uma determinada região na superfície do filme fica sem campo conforme representado na Figura 6.31 (b). Este fenômeno provoca um impedimento na migração de fons $0\frac{1}{2}$ que é necessária para o prosseguimento da redução, promovendo consequentemente uma detenção do processo de redução.

No caso de filmes nos aços inoxidáveis contaminados com fons de maior valência, (Nióbio num filme de Cr_2O_3) tor nam-se mais tipo n, com um aumento no Nível de Fermi, necessi tando de menores potenciais catódicos para que o fenômeno de impedimento da redução comece a ocorrer. Este fato explicaria o observado na Figura 6.32, onde o potencial de pico cor respondente ao aço AL1300 é mais negativo do que aquele relativo ao aço DL1300.

A Figura 6.33 indica que a carga envolvida no fen<u>ô</u>

meno de redução diminui com o aumento da velocidade de varredura. Com o aumento da velocidade de varredura o entortamento das bandas ocorre mais rapidamente precipitando o impedimento da redução pelo mecanismo exposto anteriormente.

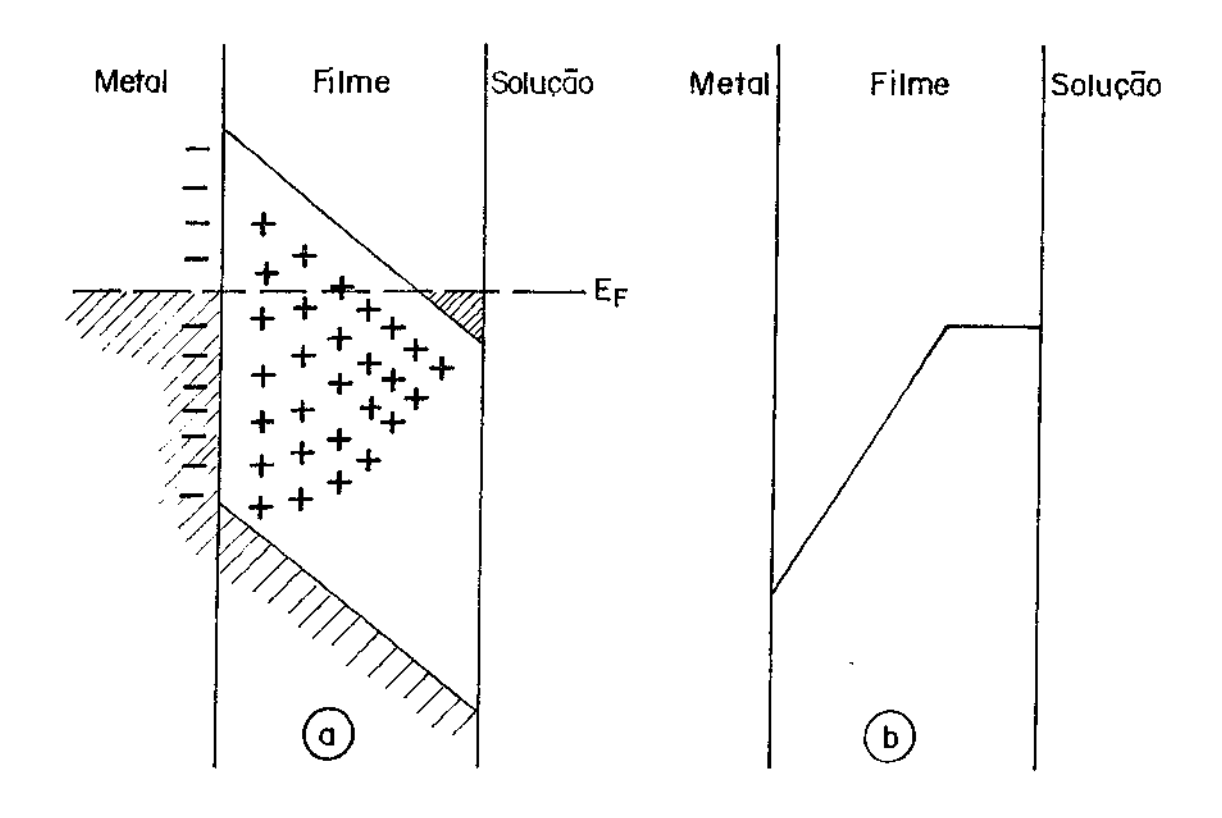


Figura 6.31- Representação esquemática de um semicondutor parcialmente de generado através de modelo de bandas $^{(61)}$.

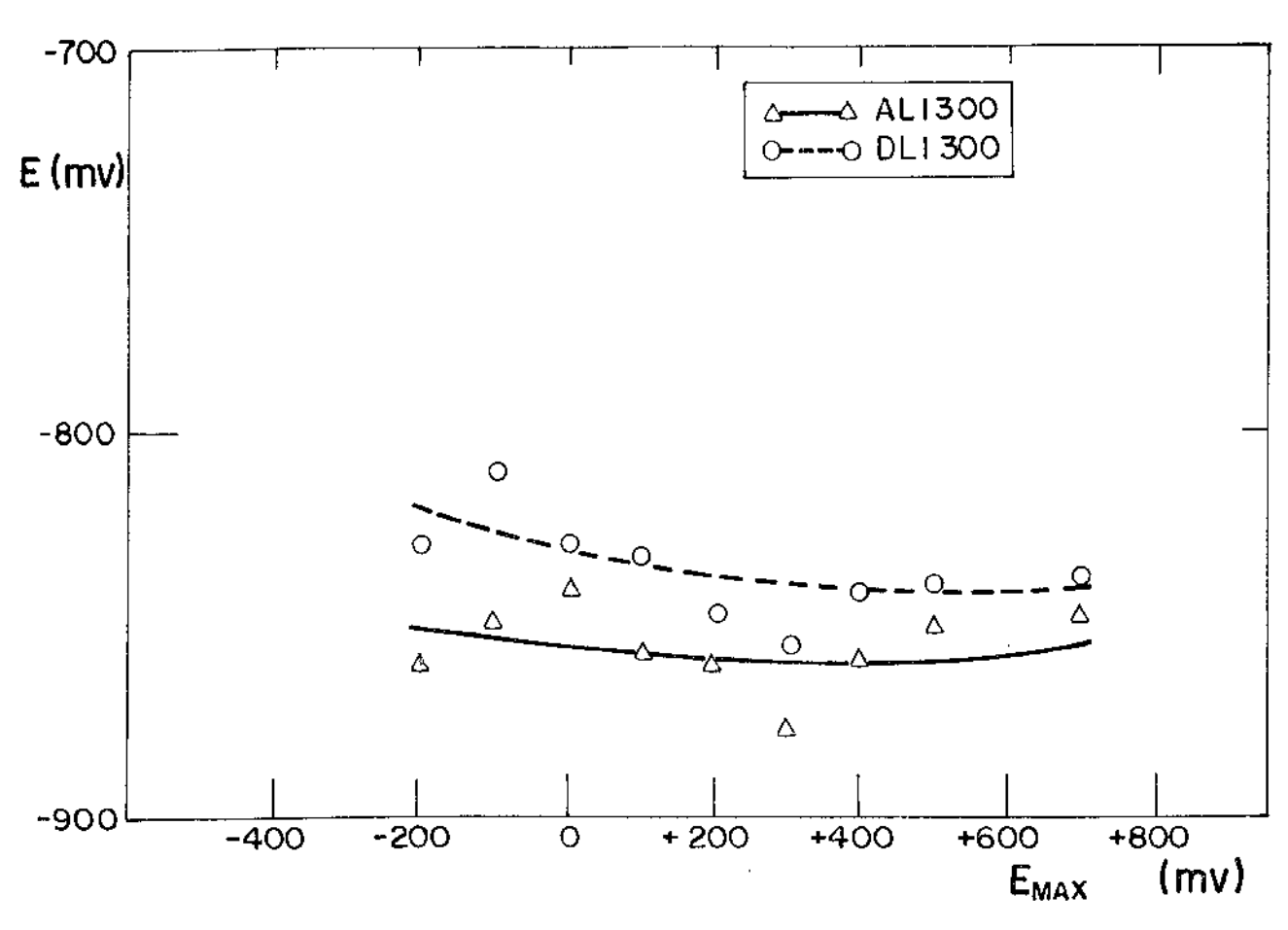


Figura 6.32- Potencial do pico e $_1$ em função do E $_{\rm max}$. Velocidade de $\rm \,var$ redura: 50 mV/seg.

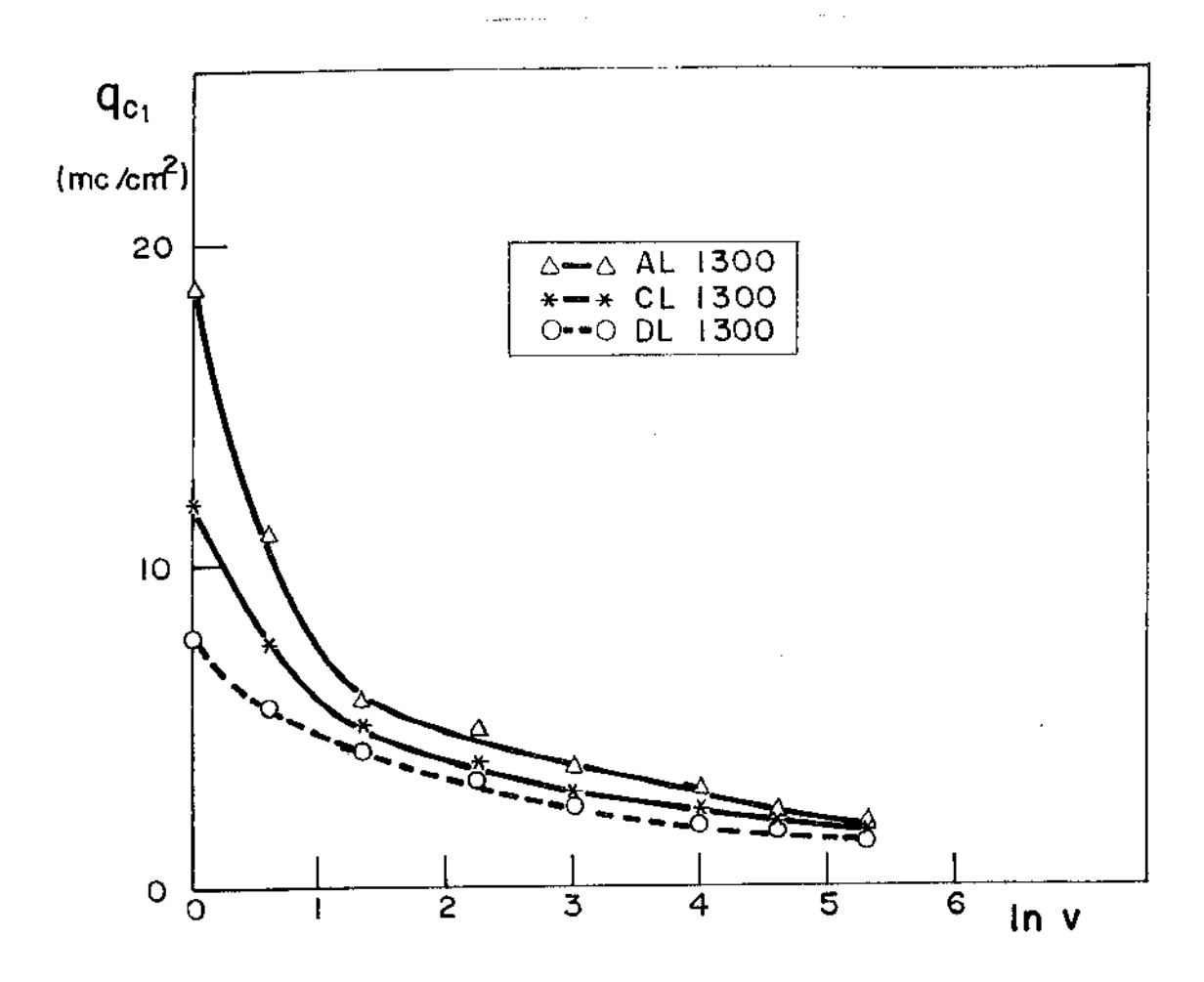


Figura 6.33- Carga do pico c $_1$ (q $_{c_1}$) versus ℓ n v.

7- CONCLUSÕES

- 7.1- O modelo quantitativo proposto para o crescimento do filme de óxido superficial é válido para o sistema aço ino xidável com ou sem Nióbio em ${\rm H_2SO_4}$ 2N.
- 7.2- O crescimento do filme no pico a está controlado por duas reações paralelas que ocorrem sobre a superfície. Uma que está controlada pela reação na interface metal-filme e a outra controlada pela corrente de migração através do óxido, quando este atingir espessura maior ou igual do que a espessura crítica.
- 7.3- A densidade de corrente crítica de passivação diminui com o aumento do teor de Nióbio.
- 7.4- Para amostras solubilizadas em altas temperaturas o Nióbio promove um alargamento da região passiva, devido à presença de fons Nb⁺⁵ na estrutura do óxido superficial, o que aumenta sua característica semicondutora tipo n.
- 7.5- O coeficiente de transferência de carga na interface me tal-filme aumenta com o teor de Nióbio.
- 7.6- O valor de $i_{M/f,2}^{O}$ aumenta com o teor de Nióbio, o que fa cilita a passivação a mais baixos potenciais, pois mais rápido fica controlado pela migração através do filme.
- 7.7- Os filmes de óxidos superficiais dopados com Nióbio são

- mais estáveis em ${\rm H_2SO_4}$ 2N do que aqueles sem Nióbio, pelo fato de serem mais dificilmente reduzíveis.
- 7.8- Nos metais de elevado módulo de elasticidade deve-se con siderar que o crescimento do filme ocorrerá de forma não uniforme, pois existirá uma distribuição de energia livre superficial numa faixa de energia bastante ampla.
- 7.9- Na região de transpassividade ocorrem reações no filme de óxido superficial que são dependentes do potencial e da velocidade de varredura. Para velocidades de varredura menor ou igual a 20 mV/s a taxa de transformação do filme é maior que a variação de potencial, o que permite um rearranjo do filme para cada potencial. Para v > 20 mV/s a corrente aumenta na varredura anódica porque a taxa de transformação do filme é menor do que a velocidade de varredura. Isto faz que o filme não corresponda à condições estacionárias no potencial correspondente. Da mesma forma, a corrente é menor para mais altas velocidades na varredura catódica porque o filme não corresponde às condições de equilíbrio.

8- SUGESTÕES PARA FUTUROS TRABALHOS

- 8.1- Verificar se o modelo proposto é válido para o aço inoxi dável em meio de ${\rm H_2SO_4}$ de diferentes concentrações.
- 8.2- Efeito do envelhecimento eletroquímico na cinética de redução de filmes de óxido superficiais crescidos sobre aços inoxidáveis. Verificação do efeito do Nióbio.
- 8.3- Influência do teor de Nióbio e do envelhecimento eletro químico na resistência ao pitting de aços inoxidáveis.
- 8.4- Estudo do pico de reativação que aparece nas varreduras no sentido catódico, após varredura anódica até diferentes valores de E_{max} .
- 8.5- Medida do teor de Nióbio no filme de óxido superficial em função do envelhecimento eletroquímico usando técnica de análise de superfície.

9- BIBLIOGRAFIA

- (1) METALS HANDBOOK. 9th. ed. Ohio, ASM, 1980, v.3.
- (2) DEUCHLER, W.; FENTNER, P.; PIEGER, B.; TISCHNER, H.; KRATZER, A. Pitting and active corrosion behaviour of a duplex cast stainless steel in media used in flue gas desulfurization. In: INTERNATIONAL CONGRESS OF METALLIC CORROSION, 8, Mainz-Germany, 1981. Proceedings. Frankfurt, Dechema, 1981, v. 1, p. 152.
- (3) GROSS, C.J. & ROBINSON, F.P.A.; Effect of the addition of up to 18% manganese on the microstructure and corrosion properties of a 14,5% Chromium Stainless Steel.

 In: INTERNATIONAL CONGRESS OF METALLIC CORROSION, 8, Mainz-Germany. Proceedings. Frankfurt-Dechema, 1981. v.l, p.114.
- (4) MINICK, G.A. & OLSON, D.L. Effect of columbium additions in austenitic stainless steel castings to inhibit in tergranular corrosion. Mat. Perf., 41, sept. 1975.
- (5) KLODT, D.T. & MINICK, G.A. Materials Protection and Performance, 12: 28, 1973.
- (6) NICHOLSON, R.D. Creep rupture of steels for nuclear reactor applications. Aston University, 1975. (Ph.D. Thesis) 118 p.
- (7) RODRIGUES, J.A. Propriedades de tração do Nb policrista líno dopado com hidrogênio. São Carlos, Instituto de Física e Química de São Carlos, USP, 1980. 235p.
- (8) BIRBAUM, H.K.; GROSSBECK, M.; GAHR, S. The effects of hydrogen on the mechanical properties and fracture of Zr and refractory metals. In: AMERICAN SOCIETY FOR METALS. Hydrogen in Metals. ASM, 1974, p.303.
- (9) BULHÕES, L.O.S. & D'ALKAINE, C.V. The Niobium electrode in high alkaline solution. In: INTERNATIONAL CONGRESS OF METALLIC CORROSION, 8, Mainz-Germany. Proceedings. Frankfurt-Dechema, 1981. v.1, p. 225-228.
- (10) TELEDYNE WAH CHANG ALBANY. Columbium. 1981 (catálogo).
- (11) CAMPOS, M.P. de, Filho. Introdução à Metalurgia Extrativa e Siderurgia. LTC, 1981. p.7.

- (12) INFORME Estatístico Setor Metalúrgico. Consider, no 56, ago. 1982.
- (13) KEATING, F.H. Chromium-Nickel Austenitic Steels. London, Butterworth, 1956.
- (14) PUGH, J.W. & NISBET, J.D. A study of the Iron-Chromium -Nickel ternary system. Journal of Metals, 188: 268, febr. 1950.
- (15) PRYCE, L. & ANDREWS, K.W. J. Iron Steel Institute, 195: 415, 1960.
- (16) BRIGGS, J.Z. & PARKER, T.D. The Super 12% Cr Steels.
 Climax Molybdenum, 1965.
- (17) SCHNEIDER, H. Foundry Trade J., 108: 562, 1960.
- (18) HATTERSLEY, B. & HUME-ROTHERY, J. Iron & Steel Institute, 207: 683, 1966.
- (19) COHEN, M.; MACHLIN, E.S.; PARANJPE, V.G. Thermodynamics in Physical Metallurgy. Cleveland, ASM, 1950. p.242-270.
- (20) KRISEMENT, O. Arch. Eisenhuttenwesen, 24: 191-198, 1953.
- (21) AVERBACH, B.L.; KULIN, G.A.; COHEN, M. Cold working of metals. Cleveland, ASM, 1949, p. 290-319.
- (22) PICKERING, F.B. Heat treatment aspects of metal joining processes. London, The Iron & Steel Institute, 1972.
- (23) IRVINE, K.J. et al. J. Iron & Steel Institute. 207: 1017, 1969.
- (24) IRVINE, K.J. et al. J. Iron & Steel Institute. 199: 153, 1961.
- (25) HOLMES, B. & DYSON, D.J. J. Iron & Steel Institute, 208: 469, 1970.
- (26) DULIEU, D. & NUTTING, J. ISI Spec. Rep., 86:140, 1964.
- (27) GURNEY, R.W. Proc. Roy. Soc., A134, 137, 1931.
- (28) GERISCHER, H. Z. Physik. Chemie. NF26: 223, 1960.
- (29) WAGNER, C. Corrosion Science, 5:751, 1965.
- (30) UHLIG, H.H. & KING, P.F. J. Electrochemical Society, 106: 1, 1959.

- (31) UHLIG, H.H. Corrosion Science, 7:325, 1967.
- (32) KABANOV, B.N. & LEIKIS, D.I. Z. Elektrochem., 62: 660, 1958.
- (33) KOLOTYRKIN, Ya. M. Z. Elektrochem., 62: 664, 1958.
- (34) NAGAYAMA, N. & COHEN, M. J. Electrochem. Soc., 110:670, 1963.
- (35) BRUSIC, V. University of Pennsylvania, 1971. (Ph.D. Thesis).
- (36) SATO, N. & OKAMOTO, M. J. Electrochem. Soc., 111: 197, 1964.
- (37) PAVLOV, D. & POPOVA, R. Electrochim. Acta, 15: 1483, 1970.
- (38) VETTER, K.J. Electrochemical kinetics. Theoretical and Experimental Aspects. New York, Academic Press, 1967, p. 748.
- (39) DOGONADZE, R.R.; KUZNETSOV, A.M.; CHERNENKO, A.A. Uspekki Khimi, 34: 1779, 1965.
- (40) MORIN, F.J. Phys. Rev., 93: 1195, 1954.
- (41) HOAR, T.P. J. Electrochem. Soc., 117(1): 17c, 1970.
- (42) VETTER, K.J. & GORN, F. Electrochim. Acta, 18: 321, 1973.
- (43) OGURA, K. & SATO, K. Electrochim. Acta, 25: 857, 1980.
- (44) SEO, M.; MATSUMURA, Y.; SATO, N. In: INTERNATIONAL CONGRESS OF METALLIC CORROSION, 8, Mainz-Germany.

 **Red of the congression of the congres
- (45) SCHULTZE, J.W. & HABIB, M.A. J. Appl. Electrochem., 9: 255, 1979.
- (46) STIMMING, U. & SCHULTZE, J.W. Electrochem. Acta, 24: 859, 1979.
- (47) RHODIN, T.N. Oxide films on stainless steels. Corrosion, 12: 41, 1956.
- (48) RHODIN, T.N. The relation of thin films to corrosion. Connosion, 12: 465, 1956.
- (49) OKAMATO, G. Passive film of 18-8 stainless steels structure and its function. Corrosion Science, 13: 471, 1973.

- (50) OGAWA, H.; OMATA, H.; OKADA, H. Auger Electron Spectros copic and Electrochemical Analysis of the Effect of Alloying Elements on the Passivation Behaviour of stainless steel. Corrosion, 34: 52, 1978.
- (51) SEO, M. & SATO, N. Depth profiles of passive films on iron-base alloys. In: INTERNATIONAL CONGRESS OF ME TALLIC CORROSION, 7, Rio de Janeiro Brasil. Proceedings. 1978. v.l, p.176.
- (52) ISHIKAWA, T. Effects of cyclic potential sweep on the electrochemical passivation of stainless steels. In: INTERNATIONAL CONGRESS OF METALLIC CORROSION, 7, Rio de Janeiro, Brasil. Proceedings. 1978. v.1, p. 363.
- (53) SAITO, H.; SHIBATA, T.; OKAMOTO, G. The inhibitive action of bound water in the passive film of stainless steel against chloride corrosion. Connosion Science, 19: 693, 1979.
- (54) PRĀZĀK, M.; SEN, T.X.; KUCHYÑKA, D. Selective corrosion study by anodic stripping of CrNi Steel. *Electrochim*. Acta, 25: 509, 1979.
- (55) Vu QUANG, K.; TRAISNEL, M.; DAMIE, P.; BAVAY, J.C. In fluence of chemical composition and temperature on the passivation of some stainless steels and nickel-based alloys in sulphuric acid. J. of Applied Electrochem., 10: 703, 1980.
- (56) MANNING, P.E. & DUQUETTE, D.J. The effect of temperature (25°-289°C) on pit initiation in single phase and duplex 304L stainless steel in 100 ppm Cl solution. Corrosion Science, 20: 597, 1980.
- (57) BOGAERTS, W.; VAN HAUTE, A.; BRABERS, M.J. Passivity of austenitic stainless steel in high temperature high pressure aqueous solutions. In: INTERNATIONAL CONGRESS OF METALLIC CORROSION, 8, Mainz Germany. Frankfurt-Deckema, 1981. v.l, p.31.
- (58) MCBEE, C.L.; KRUGER, J. Nature of passive films on Iron-Chromium alloys. *Electrochim*. Acta, 17: 1337, 1972.
- (59) HASHIMOTO, K.; OSADA, K.; MASUMOTO, T.; SHIMODAIRA, S.

- Characteristics of passivity of extremelly corrosion-resistant amorphous Iron Alloys. Contosion Science, 16: 71, 1976.
- (60) SATO, N. & NODA, T. Ion migration in anodic barrier oxide films on Iron in acidic phosphate solutions. Electrochim. Acta, 22: 839, 1977.
- (61) SATO, N. Anodic breakdown of passive films on metals.

 J. Electrochem. Soc., 129: 255, 1982.
- (62) SCHNEIDER, H. Foundry Trade J., 108: 562, 1960.
- (63) KEOWN, S.R. & PICKERING, F.B. In: Conference on Creep Strength of Steels and High Temperature Alloys. Shef field, The Metals Society, 1974.
- (64) NOBREGA, B.N. et al. Caracterização microestrutural de aços Niocor e suas juntas soldadas. Metalungia, ABM, 34: 242, 1978.
- (65) ISORÉ, A.J.; ABDALLA, T.C.; ALEIXO, C. Influência do nitrogênio, do tamanho de grão e do encruamento sobre o limite de escoamento de um aço austenítico ao manga nês tipo DIN W Nr 1.3817 (0,5C-19Mn-4Cr). In: CON GRESSO ANUAL DA ABM, 37, 1982. Resumas. v.1, p.44.
- (66) IRVINE, K.J.; GLADMAN, T.; PICKERING, F.B. The strength of austenitic stainless steels. In: PICKERING, F. B. ed. The metallurgical evolution of stainless steels. London, ASM, 1979, p. 379.
- (67) KURI, S.E.; DIANES, D.R. Efeito da adição de Nióbio na dopagem eletrolítica de aços inoxidáveis austeníticos. In: I CONGRESSO DE INICIAÇÃO CIENTÍFICA E TECNOLÓGICA EM ENGENHARIA, I, 1982. Resumos, v.1, p.95.
- (68) HANSEN, C. Constitution of binary alloys. New York, 1958.
- (69) D'ALKAINE, C.V. Voltametry at solid electrodes. Differencial equation for one of the cases of a solid electrode given an insoluble quasi non-conducting film.

 In: SIMPŌSIO BRASILEIRO DE ELETROQUÍMICA E ELETROANA
 LÍTICA, 3. Resumos. São Carlos, 1982, p. 349.
- (70) SHIBATA, T. & OKAMOTO, G. Effect of the potential of etching treatment and passivation treatment on the stability of passive stainless steels. Boshoku Gijutsu,

- 21(6): 263, 1972.
- (71) EBERSBACH, U.; SCHWABE, K.; RITTER, K. On the kinetics of the anodic passivation of Iron, Cobalt and Nickel. Electrochim. Acta, 12: 927, 1967.
- (72) OKAMOTO, G. & SHIBATA, T. Tracer study of bound water in the passive film formed on stainless steels. In: INTERNATIONAL CONGRESS OF METALLIC CORROSION, 3, Moscow. Proceedings. 1969, v.1, p. 396.
- (73) FAULKNER, L.R. & BARD, A.J. Electrochemical Method.

 John Aley ed., p.96.
- (74) MULLER, W.J. Z. Elektrochem., 33: 401, 1927.
- (75) FROMHOLD, A.T., Jr. Space-charge effects on anodic film formation. In: DIGGLE, J.W., ed. Oxides and oxides films. New York, Marcel Dekker, 1976, v.3, p.6.
- (76) DIGGLE, J.W. Dissolution of oxides phases. In: DIGGLE, J.W., ed. Oxides and oxides films. New York, Mardel Dekker, 1976, v.2, p.289.
- (77) VETTER, K.J. Z. Elektrochem. Angew Phys. Chem., 55: 274, 1951.
- (78) VETTER, K.J. & GORN, F. Werkstoffe und Korrosion. 21: 703, 1970.
- (79) NICHOLSON, R.S. & SHAIN, J. Anal. Chem., 36: 706, 1964; 37: 178, 1965; 37: 190, 1965.
- (80) D'ALKAINE, C.V. A ser publicado.
- (81) PARSONS, R. Ann. Univ. Ferrara Sez, 5: Suppl. 5/3, 1970.
- (82) GUIDELLI, R. & FORESTI, M.L. Electrochim. Acta, 18:301, 1973.
- (83) GERISCHER, H. Z. Physik. Chem. NF 26, 1960, p. 223-225.
- (84) GERISCHER, H. Nat. Bur. Stand. Publication, 455, 1976.
- (85) DICKERTMANN, D. & SCHULTZE, J.W. & VETTER, K.J. J. Electroanalyt. Chem., 55: 429, 1974.
- (86) STIMMING, U. & SCHULTZE; J.W. Ber Busenger. Phys. Chem., 80: 1297, 1976.

- (87) OKAMOTO, G.; SUGITA, T.; NISHIYAMA, S. & TACHIBANA, K.
 In: NACE, ed. Passivity and its breakdown of Iron
 and Base Alloys. Houston, USA, 1976, p. 106.
- (88) CROLET, J.L.; SERAPHIN, J. & TRICOT, R. Mém. Scí. Rev. Mét., 74: 281, 1977.
- (89) MACHIN, R. & GUHA, P. Werkstoffe und Korrosion, 25: 40, 1974.
- (90) CABRERA, N. & MOTT, N. Rep. Progr. Phys., 12: 163, 1949.
- (91) LIDIARD, A. In: FLUGGE, S., ed. Handbuch der Physik, Springer Verlag, Berlim, 1957, p. 246.
- (92) PRAZĀK, M. Comunicação pessoal.
- (93) BULHÕES, L.O. & JOANNI, E. Corrosão do Nióbio em 98% ${\rm H_2SO_4}$ na faixa de temperatura de 25-80 °C. Anais da $6^{\frac{a}{4}}$ Reunión Latinoamericana de Eletroquímica y Corrosion. México, 1983, p. 184.
- (94) ANDERSON, J.C.; LEAVER, K.D.; ALEXANDER, J.M. & RAWLINGS, R.D. Materials Science. Thomas Nelson and Sons ed., England, 2nd edition, 1974, p. 179.
- (95) D'ALKAINE, C.V. A ser publicado.
- (96) SCULLY, J.C. Fundamentos de la corrosion. Editora Alham bra S/A. Espanha, 1968, p. 13.